الجمهورية الجزائرية الديمقراطية الشعبية République Algérienne Démocratique et Populaire وزارة التعليم العالى والبحث العلمى

Ministère de l'Enseignement Supérieur et de la Recherche Scientifique

#### Centre Universitaire Abdelhafid Boussouf -Mila

Institut des Sciences et de Technologie Département de Génie Civil et Hydraulique



N	oRe	f.														
Τ.	111		•	•	•	•		•	•	•	•	•	•	•	•	•

## Projet de Fin d'Etude préparé en vue de l'obtention du diplôme de MASTER

Spécialité : Génie Civil **Option: Structure** 

# Étude d'un bâtiment R+7 à usage multiple en zone sismique IIa

#### Réalisé par :

- Bouloudnine wiam
- lattafi ilham

## Soutenu devant le jury :

Président M. Brahimi Abdelkader. M. Tioua Tahar. **Examinateur** M. Rabhi Moustafa. **Promoteur** Mme Abada Rofia **Promoteur** 

Année universitaire : 2021/2022

## **Dédicace**

## Je dédié ce modeste travail à :

A mes parents : « qui représentent ma source d'affectation de courage et d'inspiration et qui ont autant sacrifié pour me voir atteindre ce but ».

A mes frères : YOUNES, WASSIM.

Mon amie: HALA.

A toute ma famille, grande et petite.

A tous ceux que je porte dans mon cœur.

«ILHAM»

## **Dédicace**

## Je dédié ce modeste travail à :

A mes chers parents : « qui représentent ma source d'affectation de courage et d'inspiration et qui ont autant sacrifié pour me voir atteindre ce but».

A mes frères : Raid, Moayed

Et mes sœurs : Soundous, Assala

A toute ma famille Bouloudnine, et la famille de ma mère Latreche.

A toute la promotion 2022, et à tous mes amis sans exception.

A tous ceux que je porte dans mon cœur.

« WIAM»

## Remerciements:

Nous remercions Dieu le Tout-Puissant qui nous a permis de mener à bien ce travail académique par l'inspiration et la détermination.

Tout d'abord, nous voudrions exprimer nos sincères remerciements et notre reconnaissance à nos deux encadreurs MOUSTEFA RABEHI et ROFIA ABADA pour leur encadrement et tous les conseils et les précieuses informations qu'ils nous ont offerts, ce qui a contribué à faire avancer et à enrichir le sujet de notre étude.

Nous adressons également nos sincères remerciements à tous les membres du jury, sans oublier de remercier tous nos enseignants universitaires de l'institut de génie civil et hydraulique de l'université Abdelhafid Boussouf Mila, pour toutes les connaissances que nous avons acquises grâce à eux.

Nous vous disons merci beaucoup pour vos efforts.

## LISTE DES SYMBOLES

Symboles	Notations
$\mathbf{A}^{'}\mathbf{A_{ser}}$	Section d'aciers comprimés et sections d'aciers à l'ELS
	respectivement.
$\mathbf{A_t}$	Section d'un cours d'armature transversale.
A	Coefficient d'accélération de zone.
A	Coefficient de la fibre neutre.
В	Aire d'une section de béton.
$\mathbf{B_r}$	Section réduite.
b	La largeur en générale.
c	Cohésion du sol.
D	Facteur d'amplification dynamique.
$\mathbf{E}$	Module d'élasticité longitudinale.
E <sub>i</sub>	Module de Yong instantané.
Ev	Module de Yong différé.
Es	Module d'élasticité de l'acier
ELU	Etat limite ultime.
ELS	Etat limite de service.
f <sub>bu</sub>	Contrainte ultime du béton.
f <sub>e</sub>	Limite d'élasticité de l'acier.
f <sub>c28</sub>	Résistance à la compression du béton à l'âge de 28 jours.
f <sub>t28</sub>	Résistance à la traction du béton à l'âge de 28 jours.
f <sub>ji</sub>	Flèche instantanée due aux charges permanentes sans revêtement.
f <sub>gi</sub>	Flèche instantanée due aux charges permanentes.
$\mathbf{f_{qi}}$	Flèche instantanée due aux charges permanentes et d'exploitations.
$\mathbf{f_{gv}}$	Flèche différée due aux charges permanentes.
$\Delta_{ m f}$	Fleche totale.
$\Delta_{\mathrm{fadm}}$	Fleche admissible.
G	Charges permanentes.
Н	Hauteur.
ht	Hauteur totale du plancher à corps creux / Hauteur des
h	nervures duradier.
h <sub>cc</sub>	Hauteur du corps creux.
h <sub>r</sub> h <sub>dc</sub>	Hauteur de la dalle du radier.
	Hauteur de la dalle de compression.
h <sub>e</sub> I	Hauteur libre d'étage. Moment d'inertie.
$ m I_f$	Moment d'inertie. Moment d'inertie fissuré.
	Charge d'exploitation / facteur de qualité.
Q L	Portée d'un élément.
$\mathbf{L}_{ extbf{max}}$	Longueur maximale entre deux éléments porteurs.
$L_{\rm X}$	Distance entre de deux poutrelles.
L <sub>x</sub> L <sub>y</sub>	Distance entre de deux poddenes.  Distance entre nus d'appuis dans le sens de disposition des
Lly	poutrelles.
M	Moment en générale.
$\mathbf{M}_{\mathbf{a}}$	Moment en appui.
$\mathbf{M_t}$	Moment en travée.
$\mathbf{M_0}$	Moment isostatique.
N	Effort normal.

N	Nombre de contre marche sur la volée / Coefficient
R	d'équivalenceAcier-Béton. Coefficient de comportement global.
S	Section d'un élément.
$S_{ra}$	Surface du radier.
d <b>S</b> t	Espacement des armatures.
$T_1, T_2$	Périodes caractéristiques associées à la catégorie du site.
$\mathbf{V}$	Effort tranchant.
$\mathbf{W}$	Poids de la structure.
$\sigma_{ m bc}$	Contrainte de compression du béton.
$\sigma_{ extsf{st}}$	Contrainte de traction dans l'acier. Coefficient de sécurité concernant le béton.
γ <sub>b</sub> γ <sub>w</sub>	Pois volumique de l'eau.
'w γ s	Coefficient de sécurité concernant l'acier
$\sigma_{ m adm}$	Contrainte admissible.
Ţ	Contrainte de cisaillement.
ξ	Pourcentage d'amortissement critique.
Ct β	Coefficient qui dépend du système de contreventement.  Coefficient de pondération.
λi	Coefficient instantané.
$\lambda_{ m v}$	Coefficient différé.
$\mathbf{F}_{\mathbf{s}}$	Coefficient de sécurité = 1.5.
S <sub>ba</sub>	Surface totale du bâtiment.
t St	Espacement des armatures.
${f Z}$	Bras de levier
f	La flèche.
h <sub>N</sub>	Hauteur mesurées en mètre à partir de la base de la structure j'squat dernier étage.
$egin{aligned} \mathbf{h_N} \ & & & & & & & & & & & & & & & & & & $	dernier étage.  Diamètre des armatures transversales.
	dernier étage.
$\Phi_{\rm t}$	dernier étage. Diamètre des armatures transversales. Coefficient de la fissuration. Moment ultime réduite.
Φt Η μ <sub>bu</sub> L <sub>r</sub>	dernier étage. Diamètre des armatures transversales. Coefficient de la fissuration. Moment ultime réduite. Langur de recouvrement.
Φt Η μ <sub>bu</sub> L <sub>r</sub> lf	dernier étage. Diamètre des armatures transversales. Coefficient de la fissuration. Moment ultime réduite. Langur de recouvrement. Langur de flambement.
Φt Η μ <sub>bu</sub> L <sub>r</sub>	dernier étage. Diamètre des armatures transversales. Coefficient de la fissuration. Moment ultime réduite. Langur de recouvrement.
Φt Η μ <sub>bu</sub> L <sub>r</sub> lf	dernier étage. Diamètre des armatures transversales. Coefficient de la fissuration. Moment ultime réduite. Langur de recouvrement. Langur de flambement.
Φt Η μ <sub>bu</sub> L <sub>r</sub> lf V	dernier étage. Diamètre des armatures transversales. Coefficient de la fissuration. Moment ultime réduite. Langur de recouvrement. Langur de flambement. Effort tranchant
Φt H μ <sub>bu</sub> Lr lf V D Ns	dernier étage. Diamètre des armatures transversales. Coefficient de la fissuration. Moment ultime réduite. Langur de recouvrement. Langur de flambement. Effort tranchant Position des armatures tendues par apport a la fibre la plus comprimés
Φt H μ <sub>bu</sub> Lr If V D Ns N u	dernier étage. Diamètre des armatures transversales. Coefficient de la fissuration. Moment ultime réduite. Langur de recouvrement. Langur de flambement. Effort tranchant Position des armatures tendues par apport a la fibre la plus comprimés Effort normale de service
Φt H μ <sub>bu</sub> Lr lf V D Ns	dernier étage. Diamètre des armatures transversales. Coefficient de la fissuration. Moment ultime réduite. Langur de recouvrement. Langur de flambement. Effort tranchant Position des armatures tendues par apport a la fibre la plus comprimés Effort normale de service Effort normale ultime

$\mathbf{q}_{\mathbf{u}}$	La charge répartie ultime
qs	La charge répartie service
G	La charge permanente
PP	Poutre principale
PS	Poutre secondaire

CV: Condition vérifiée

CNV: Condition non vérifiée

## **SOMMAIRE**

LISTE DES SYMBOLES	
Introduction Générale :	1
Chapitre I : Présentation du projet et caractéristiques des Matéri	aux
I.1 Introduction:	3
I.2 Présentation de l'ouvrage :	3
I.2.1 Dimensions en plan :	3
I.2.2 Dimensions en élévation :	3
I.3 Caractéristique du site d'assise :	7
I.4 Les éléments de l'ouvrage :	7
I.4.1 Planchers:	7
I.4.2 Maçonnerie :	8
I.4.3 Revêtement :	8
I.4.4 Terrasse:	8
I.4.5 Escalier :	9
I.4.6 Ascenseur:	9
1.4.7 Ossature :	9
I.4.8 Isolation:	9
I.4.9 Acrotère:	9
I.4.10 Balcon:	9
I.5 Caractéristiques des matériaux:	10
I.5.1 Béton :	10
I.5.1.1 Définition:	10
I.5.1.2 Composition du béton :	10
I.5.1.3 Résistance caractéristique du béton :	11
I.5.2 L'acier:	14
I.5.2.1 Définition :	14
I.5.2.2 Résistance caractéristiques de l'acier :	15
I.5.2.3 Contrainte limite de l'acier :	15
I.6 Etats limites:	17
I.7 Actions et sollicitations :	18
L7.1 Actions:	18

	I.7.2 Sollicitations:	18
	I.8 Conclusion	19
	Chapitre II : Pré dimensionnement des éléments	
	II.1Introduction:	22
	II.2 Pré dimensionnement des éléments non structuraux :	22
	II.2.1 les planchers :	22
	II .2.1.1Plancher à corps creux :	22
	II.2.2. Les dalles pleines	25
	II.2.2.1. Balcons:	25
	II.2.2 Pré dimensionnement les escaliers :	26
	II.2.3 Pré dimensionnent L'acrotère :	27
	II .3 Pré dimensionnement des éléments structuraux :	28
	II.3.1 Pré dimensionnement les voiles :	28
	II.3.2 Pré dimensionnement les poteaux :	29
	II.3.3 Pré dimensionnement des poutres :	30
	II.3.3.1 Poutres principales :	30
	II.3.3.2 Poutre secondaires :	31
	II. 4 Évaluation des charges et surcharges :	31
	II.4.1 Les planchers :	31
	II.4.2 Balcon:	33
	II.4.3 Cloison extérieures:	34
	II.4.4.Escalier:	34
	II.4.5 Acrotère:	35
	II.5 Descente de charges :	35
	II.5.1 Loi de dégression : (DTR B.C.2.2)	35
]	II.5.2 Vérification de la section de poteau	. 39
]	II.6 Conclusion	. 40
	Chapitre III : Calcul des éléments secondaires	
	III .1 introduction :	12
	III .2 Acrotère:	
	III.2.1 Evaluation des charges :	. 43

III.3 les escaliers :	46
III.3.1 définition des éléments d'un escalier :	. 46
III.3.2 schéma statique :	47
III.3.3 charge et surcharge :	. 47
III.3.4 combinaison des charges :	. 48
III.3.5 calcul des sollicitations :	. 48
III.3.6 Ferraillage:	51
III.3.7 Vérification à ELS :	. 53
III.3.8 Vérification de l'effort tranchant : (BAEL91.A.5.1, 1)	. 54
III.3.9 Vérification de la flèche: BAEL91 (art B.6.5, 1)	. 54
III.3.10 Etude de la poutre palière :	. 58
III.3.11 Evaluation des charges	. 59
III.3.12 Ferraillage:	60
III.4 Calcul des balcons :	64
III.4.1 Sollicitations 1:	65
III.4.1 Sollicitations 2:	70
III.4.2 Ferraillage:	72
III.5 L'ascenseur:	75
III.5.1 Redimensionnement :	. 75
III.5.2 Détermination des charges et surcharges :	. 76
III.5.3 Combinaison des charges :	. 76
III.5.4 Calcul des efforts :	. 76
III.5.5 Ferraillage de la dalle :	. 70
III.5.6 vérification :	78
III.6.Plancher:	80
III.6.1 définition :	80
III.6.2 Plancher à corps creux :	. 81
III.6.3 Etude des poutrelles :	. 81
III.6.4 Calcul des planchers (poutrelles):	. 81
III.6.4.1 Méthode forfaitaire :	. 81
III 6.4.2 Méthode Caquot:	85

III.6.4.3 Ferraillage:	85
III.6.4.4 Vérification des conditions de la méthode forfaitaire :	87
III.6.4.5 Evaluation des charges :	88
III.6.4.6 Combinaisons d'action :	89
III.6.4.7 Détermination des sollicitations des planchées :	89
III.6.4.8 Ferraillage des poutrelles (terrasse):	95
III.6.4.9 Ferraillage des poutrelles :	107
III.7 Etude de la table de compression	115
III.8 Conclusion	115
Chapitre IV : Étude dynamique	
IV.1 Introduction	117
IV.1 Étude dynamique :	117
IV.2. Objectif de l'Étude dynamique	117
IV.3 Choix de la méthode de calcul	118
IV.3.2. La méthode d'analyse modale spectrale	122
IV.4. Étape de calcul par la méthode statique équivalent	122
IV.4.1. Modélisation.	122
IV.4.2. Calcul de la force sismique totale	126
IV.4.3. Distribution de la résultante des forces sismiques selon la hauteur	129
IV.4.4.Distribution horizontale des forces sismique	130
IV.4.5. Justification de la sécurité	132
Chapitre V : Etude des éléments structuraux	
V. Etude des éléments structuraux	138
V.1. Ferraillage des portiques	138
V.1.1. Les poutres	139
V.1.1.1. Ferraillage des poutres	140
V.1.2. Les poteaux	147
V.1.2.1. Ferraillage des poteaux	149
V.2 Les voiles	156
V.2.1 Introduction	156
V.2.2 Stabilité des constructions vis-à-vis des charges latérale	157

	V.2.3 Rôle de contreventement	157
	V.2.4 Avantages des voiles	158
	V.2.5 Combinaisons des actions	158
	V.2.6 Recommandations du RPA99	158
	V.2.7 Règles communes	159
	V.2.8 Disposition des voiles	160
	V.2.9 Ferraillage des voiles	160
	V.2.9.1 Armatures verticales	161
	V.3 Conclusion	167
	Chapitre VI : Études de l'infrastructure	
	VI.I Introduction:	169
	VI.II. Choix et type de fondations :	169
	VI.3. Dimensionnement et calcul des semelles :	170
	VI.3.1. semelles isolées :	170
	VI.3.2. Semelles Filantes :	172
	VI.3.3. Calcul de la hauteur de la semelle :	174
	VI.3.4.Calcul de Ferraillage :	174
	VI.3.5.Poutre de redressement :	176
	VI.3.6. Etude de longrine :	178
C	Conclusion générale	182
В	BIBLIOGRAPHIE	184
Α	Annexes	186

## Liste des tableaux

## **CHAPITRE I: PRESENTATION DU PROJET**

Tableau I. 1 : composantes de béton	10
Tableau I. 2: fe en fonction du type d'acier	15
Tableau I. 3 : Caractéristique mécanique de Béton et l'Acier	20
CHAPITRE II : PRÉ DIMENSIONMENT DES ÉLÉMENTS	
Tableau II. 1 : Section des poteaux préalables	29
Tableau II. 2 : Évaluation des charges permanentes et d'exploitation du plancher terrasse	32
Tableau II. 3 : Évaluation des charges permanentes et d'exploitation du plancher courant	33
Tableau II. 4 : Évaluation des charges permanentes et d'exploitation de dalle de balcon	33
Tableau II. 5 : les charges permanentes et d'exploitations d'une cloison	34
Tableau II. 6: Charge permanente et d'exploitation de la paillasse	34
Tableau II. 7 : Charges permanentes et d'exploitation d'un palier	34
Tableau II. 8 : charges permanentes et d'exploitation d'un acrotère.	35
Tableau II. 9 : Les différentes sections de poteau	37
Tableau II. 10: La descente de charge de poteau	37
Tableau II. 11: Résultats des vérifications au flambement	40
CHAPITRE III : CALCUL LES ÉLÉMENTS SECONDAIRE	
Tableau III. 1 : calcul de la combinaison des charges	48
Tableau III. 2 : La valeur du moment fléchissant et l'effort tranchant à l'ELU	49
Tableau III. 3 : La valeur du moment fléchissant et l'effort tranchant à l'ELS	50
Tableau III. 4: calcules des sollicitations du escalier	50
Tableau III. 5 : Armatures longitudinale à l'ELU	52
Tableau III. 6 : Armatures longitudinale.	53
Tableau III. 7 : Armatures de répartitions.	53
Tableau III. 8: Vérification des contraintes à l'ELS.	54
Tableau III. 9 : vérification de la flèche.	55
Tableau III. 10: Les moments et l'effort tranchant	60
Tableau III. 11: Ferraillage dans les deux sens.	73
Tableau III. 12 : Vérification à L'ELS de la dalle pleine type 2	74
Tableau III. 13 : tableau récapitulatif des résultants de ferraillage	77
Tableau III. 14: Vérification des contraintes de la dalle en travée et sur appuis dans les de de la dalle en travée et sur appuis dans les de la dalle en travée et sur appuis dans les de la dalle en travée et sur appuis dans les de la dalle en travée et sur appuis dans les de la dalle en travée et sur appuis dans les de la dalle en travée et sur appuis dans les de la dalle en travée et sur appuis dans les de la dalle en travée et sur appuis dans les de la dalle en travée et sur appuis dans les de la dalle en travée et sur appuis dans les de la dalle en travée et sur appuis dans les de la dalle en travée et sur appuis dans les de la dalle en travée et sur appuis dans les de la dalle en travée et sur appuis dans les de la dalle en travée et sur appuis dans les de la dalle en travée et sur appuis dans les de la dalle en travée et sur appuis de la da	eux
sens	
Tableau III. 15: Les charges et surcharges revenants aux poutrelles	
Tableau III. 16: Les sollicitations à ELU et ELS, poutrelle type 1(Plancher Terrasse)	92
Tableau III. 17 : Les sollicitations à ELU et ELS, poutrelle type 2(Plancher Terrasse)	
Tableau III. 18: Ferraillage de la poutrelle type 1.	96

Tableau III. 19: Ferraillage de la poutrelle type 1	97
Tableau III. 20 : Vérification des contraintes à l'ELS	100
Tableau III. 21: Les sollicitations à ELU et ELS, poutrelle type 1(Plancher étage)	102
Tableau III. 22: Les sollicitations à ELU et ELS, poutrelle type 2 (Plancher étage)	103
Tableau III. 23: Les sollicitations à ELU et ELS, poutrelle type 3 (Plancher étage)	
Tableau III. 24: Ferraillage de la poutrelle type 2.	108
Tableau III. 25: Ferraillage de la poutrelle type 2	109
Tableau III. 26: Vérification des contraintes à l'ELS	112
CHAPITRE IV : ÉTUDE DYNAMIQUE ET SISMIQUE	
Tableau IV. 1 : Valeurs des pénalités Pq.	119
Tableau IV. 2: Périodes et facteurs de participation modale (Résultats Robot 2014). Source	
Auteures	124
Tableau IV. 3 : Valeurs des pénalités Pq.	128
Tableau IV. 4: Distribution de la résultante des forces sismiques selon la hauteur	129
Tableau IV. 5 : Vérification de la résultante des forces sismique	130
Tableau IV. 6 : Centre de masse et centre de torsion.	131
Tableau IV. 7: vérification de L'excentricité dans chaque niveau	132
Tableau IV. 8 : Déplacements et Efforts tranchant de chaque Diaphragme.	132
Tableau IV. 9: Déplacements relatifs.	133
Tableau IV. 10: L'effet P-∆□dans les sens longitudinal.	134
Tableau IV. 11: L'effet P-∆□dans les sens transversal	134
Tableau IV. 12: Les moments stabilisant et renversement selon le sens x-x	135
Tableau IV. 13: Les moments stabilisant et renversement selon le sens y-y	136
CHAPITRE V : CALCUL DES ÉLÉMENTS RÉSISTANTS	
Tableau V.1 : Les différentes combinaisons.	
Tableau V.2 : Sollicitations de la poutre principale.	
Tableau V.3: Ferraillage des poutres principales	
Tableau V.4: Sollicitations Des poutres Secondaires	
Tableau V.5: Ferraillage des poutres Secandaires	
Tableau V.6 : Vérification de la contrainte de cisaillement pour les poutres secondaires	
Tableau V.7 : Sollicitations des poteaux.	
Tableau V.8 : Caractéristiques mécanique des matériaux.	150
Tableau V.9 : Tableaux récapitulatifs des résultats pour le ferraillage longitudinal des	1 ~ 4
poteaux.	
Tableau v.10 : Calcul du ferraillage transversal pour les poteaux	
Tableau v.11 : Tableau récapulatif pour la Vérification de cisaillement.	
Tableau V.12 : Sollicitations de calcul dans les voiles (RDC à 7 <sup>éme</sup> étage)	102

Tableau V.13 : Ferraillage des voiles à yy et xx (RDC à 7 <sup>éme</sup> étage)	
CHAPITRE VI : ÉTUDE DE L'INFRASTRUCTURE	
Tableau VI. 1 : Charge due sur la semelle.	173
Tableau VI. 2: Résultats du moment maximal.	176
Tableau VI. 3: Calcul de Ferraillage	176

## Liste des figures

## **CHAPITRE I: PRESENTATION DU PROJET**

Figure I. 1 : Vue en plan du réez de chaussée.	4
Figure I. 2: Vue en plan de l'étage courant	5
Figure I. 3: Vue en plan de terrasse	6
Figure I. 4: Plancher corps creux	7
Figure I. 5: dalle pleine	8
Figure I. 6: Évaluation de la résistance f cj en fonction de l'âge du béton	11
Figure I. 7: Diagramme contraintes- déformations du béton à ELU	13
Figure I. 8 : Diagrammes des contraintes du béton à l'ELS	14
Figure I. 9: Diagramme contraintes déformation de l'acier.	16
CHAPITRE II : PRÉ DIMENSIONMENT DES ÉLÉMENTS	
Figure II. 1 : Plancher à corps creux.	22
Figure II. 2 : dimensions de la section en T.	24
Figure II. 3: Schéma d'escalier	26
Figure II. 4 : Coupe de l'acrotère.	27
Figure II. 5 : Coupe de voile en élévation	29
Figure II. 6: coupe plancher terrasse.	32
Figure II. 7: coupe plancher étages courant + RDC.	33
CHAPITRE III : CALCUL LES ÉLÉMENTS SECONDAIRE	
Figure III.1 : schéma réel et statique de l'acrotère:	42
Figure III. 2 : Schéma de ferraillage d'un acrotère.	46
Figure III. 3 : les diagrammes des moments et des efforts tranchants à ELU et ELS	51
Figure III. 4: Schéma de ferraillage d'escalier	57
Figure III. 5: Diagrammes des Moments fléchissant et de l'effort tranchant de la palière	59
Figure III. 6 : Ferraillage de poutre palière.	64
Figure III. 7 : Section théorique pour le ferraillage du balcon.	65
Figure III. 8 : Schéma de ferraillage du balcon Type 1	69
Figure III. 9: Section théorique pour le ferraillage du balcon.	70
Figure III. 10: Schéma de ferraillage du balcon.	75
Figure III. 11 : vue en plan de la dalle machine.	75
Figure III. 12 : disposition constructive des armatures de l'ascenseur	80
Figure III. 13: Schéma d'une poutrelle.	81
Figure III. 14: Evaluation des efforts tranchants.	84
Figure III. 15: Evaluation des moments et efforts tranchants type 01(plancher terrasse)	93

Figure III. 16: Evaluation des moments et efforts tranchants type 02(plancher terrasse)	95
Figure III. 17: Coupe de Section Rectangulaire et Section en T	95
Figure III. 18: Evaluation des moments et efforts tranchants type 01(plancher étage)	103
Figure III. 19: Evaluation des moments et efforts tranchants type 02(plancher étage)	105
Figure III. 20: Evaluation des moments et efforts tranchants type 03(plancher étage)	107
Figure III. 20: Evaluation des moments et efforts tranchants type 03(plancher étage) Figure III. 21: Ferraillage de poutrelle.	
Figure III. 22: Ferraillage de la table de compression	115
CHAPITRE IV : ÉTUDE DYNAMIQUE ET SISMIQUE	
Figure IV. 1: Décrochements en plan limites autorisé par le RPA/2003	120
Figure IV. 2: Interface de la structure sur Robot 2014	123
Figure IV. 3: Système de contreventement.	123
Figure IV. 4: 1er mode de déformation de la structure à cause des efforts sismiques dans	le plan
X-Y (résultats de Robot 2014).	125
Figure IV. 5: 2éme mode de déformation de la structure à cause des efforts sismiques da	ns le
plan X-Y (résultats de Robot 2014).	125
Figure IV. 6: 3éme mode de déformation de la structure à cause des efforts sismiques da	
plan X-Y (résultats de Robot 2014).	126
Figure IV. 7: Distribution de l'effort tranchant au niveau de l'étage k	131
Figure IV. 8: Représentation des forces pour le calcul du moment de renversement et le n	noment
stabilisant	135
CHAPITRE V : CALCUL DES ÉLÉMENTS RÉSISTANTS	
Figure V.1 : Ferraillage de la poutre principale	146
Figure V.2 : Ferraillage de poutre secandaire .	147
Figure V.3 : Ferraillage des poteaux.	156
Figure V.4 Disposition des armatures verticales (vue en plan)	157
Figure V.5: Disposition des voiles	160
Figure V .6 : Ferraillage du voile .	167
CHAPITRE VI : ÉTUDE DE L'INFRASTRUCTURE	
Figure VI. 1 : Types des fondations.	
Figure VI. 2 : Schéma de ferraillage de Semelle isolé	171
Figure VI. 4: Schéma de ferraillage de poutre de redressement.	
Figure VI. 5: Schéma de ferraillage de longrine.	180

#### Résumé:

Ce projet est une étude technique pour la réalisation d'un bâtiment à usages multiples composé d'un rez-de-chaussée + 7 étages dans la Wilayat de Mila, qui est classé dans la zone sismique (**II** a) selon le système parasismique version 2003 algérien.

Les dimensions et l'armement de tous les éléments de résistance du bâtiment ont été déterminés en appliquant les normes et lois en vigueur en Algérie (BAEL91, RPA99, version 2003 modifiéee99).

Le bâtiment a également été modélisé à l'aide du programme d'application d'éléments finis ROBOT2014, tandis que le processus de dessin a été réalisé par AUTOCAD2008.

Enfin, nous avons étudié l'infrastructure du bâtiment en calculant les fondations.

#### Abstract:

This project is a technical study for the realization of a multipurpose building consisting of a ground floor + 7 floors in the Wilayat of Mila, which is classified in the seismic zone (II a) according to the Para seismic system version 2003 Algerian.

The dimensions and armament of all the elements of resistance of the building were determined by applying the standards and laws in force in Algeria (BAEL91, RPA99, version 2003 modifiede99).

The building was also modeled using the finite element application program ROBOT2014, while the drawing process was carried out by AUTOCAD2008.

Finally, we studied the infrastructure of the building by calculating the foundations.

#### الملخص:

هذا المشروع عبارة عن دراسة تقنية لإنجاز بناية متعددة الاستعمالات تتألف من طابق أرضي + 7 طوابق بولاية ميلة المصنفة ضمن المنطقة الزلزالية (II a) حسب نظام مقاومة الزلازل نسخة 2003 الجزائري.

تم تحديد الأبعاد و تسليح كل العناصر المقاومة للبناية بتطبيق المعايير و القوانين المعمول بها في الجزائر (BAEL91, RPA99, version 2003 modifiee99)

كما قمنا بنمذجة البناية باستعمال البرنامج التطبيقي للعناصر المنتهية ROBOT2014 في حين تمت عملية الرسم بطريقة الرسم التقني AUTOCAD2008

و في الأخير قمنا بدر اسة البنية التحتية للبناية و ذلك بحساب الأساسات.



#### **Introduction Générale:**

Le Génie civil représente l'ensemble des techniques concernant les constructions civiles, les ingénieurs civils se sont ceux qui s'occupent de la conception, de la réalisation de l'exploitation et de la réhabilitation d'ouvrages de construction et d'infrastructures urbaines dont ils assurent la gestion afin de répondre aux besoins de la société.

On peut les regrouper en deux catégories, les travaux publics qui sont des ouvrages de construction d'utilité générale et les bâtiments qui s'apprêtent à abriter des vies humaines, tout en assurant la sécurité du public et la protection de l'environnement.

Dans le cadre de ce projet, nous avons procédé au calcul d'un bâtiment implanté dans une zone de moyenne sismicité (II a), comportant un Rez-de-chaussée plus 7 étages (R+7), dont le système de contreventement mixte est assuré par des voiles et des portiques .Il a pour but de dimensionner les ouvrages d'une façon résistance et économique.

- <u>Le Premier chapitre</u>: consiste à la présentation complète du bâtiment, la définition des différents éléments et le choix des matériaux à utiliser.
- <u>Le deuxième chapitre</u>: présente le pré dimensionnement des éléments structuraux (tel que les poteaux, les poutres et les voiles), et non structuraux (comme les planchers).
- <u>Le troisième chapitre</u>: calcul des éléments secondaire (l'acrotère, les poutrelles, les escaliers) fait l'objet.
- Le quatrième chapitre : portera sur l'étude dynamique du bâtiment, la détermination de l'action sismique et les caractéristiques dynamiques propres de la structure lors de ses vibrations. L'étude du bâtiment sera faite par l'analyse du modèle de la structure en 3D à l'aide du logiciel de calcul ROBOT.
- <u>Le cinquième chapitre</u>: calcul des ferraillages des éléments structuraux, fondé sur les résultats du logiciel ROBOT 2014.
- <u>Sixième chapitre</u>: le calcul et dimensionnement de l'infrastructure pour détermination le type de fondations.

Enfin, nous avons conclu notre étude par une conclusion générale qui concrétise les différents résultats que nous avons pu atteindre.

Chapitre I : Présentation du projet et caractéristiques des Matériaux

#### I.1 Introduction:

Ce chapitre, consacré à des généralités, donne la définition des caractéristiques géométriques de la structure objet de notre étude ainsi que les caractéristiques mécaniques des matériaux utilisés pour sa réalisation. Cette étape est indispensable pour un calcul adéquat.

### I.2 Présentation de l'ouvrage :

Notre travail de fin d'étude vas 'intéresser à l'étude d'un bâtiment (R+7) (Rez-de-chaussée plus sept étages) à usage multiple ; le RDC est à usage commercial et les autres étages sont à usage d'habitation. Le bâtiment est implanté à la wilaya de MILA, classée comme une région de moyenne sismicité (**ZONE**II<sub>a</sub>) selon le règlement parasismique algérien **RPA 99 version 2003**.

#### I.2.1 Dimensions en plan:

- Largeur totale en plan ......16,75m.
- Longueur totale en plan .....29,90m.

#### I.2.2 Dimensions en élévation :

- Hauteur totale de bâtiment (avec l'acrotère).....H= 25,08 m
- Hauteur d'étage ......h=3,06m.
- Hauteur de l' RDC.....h= 3,06m.

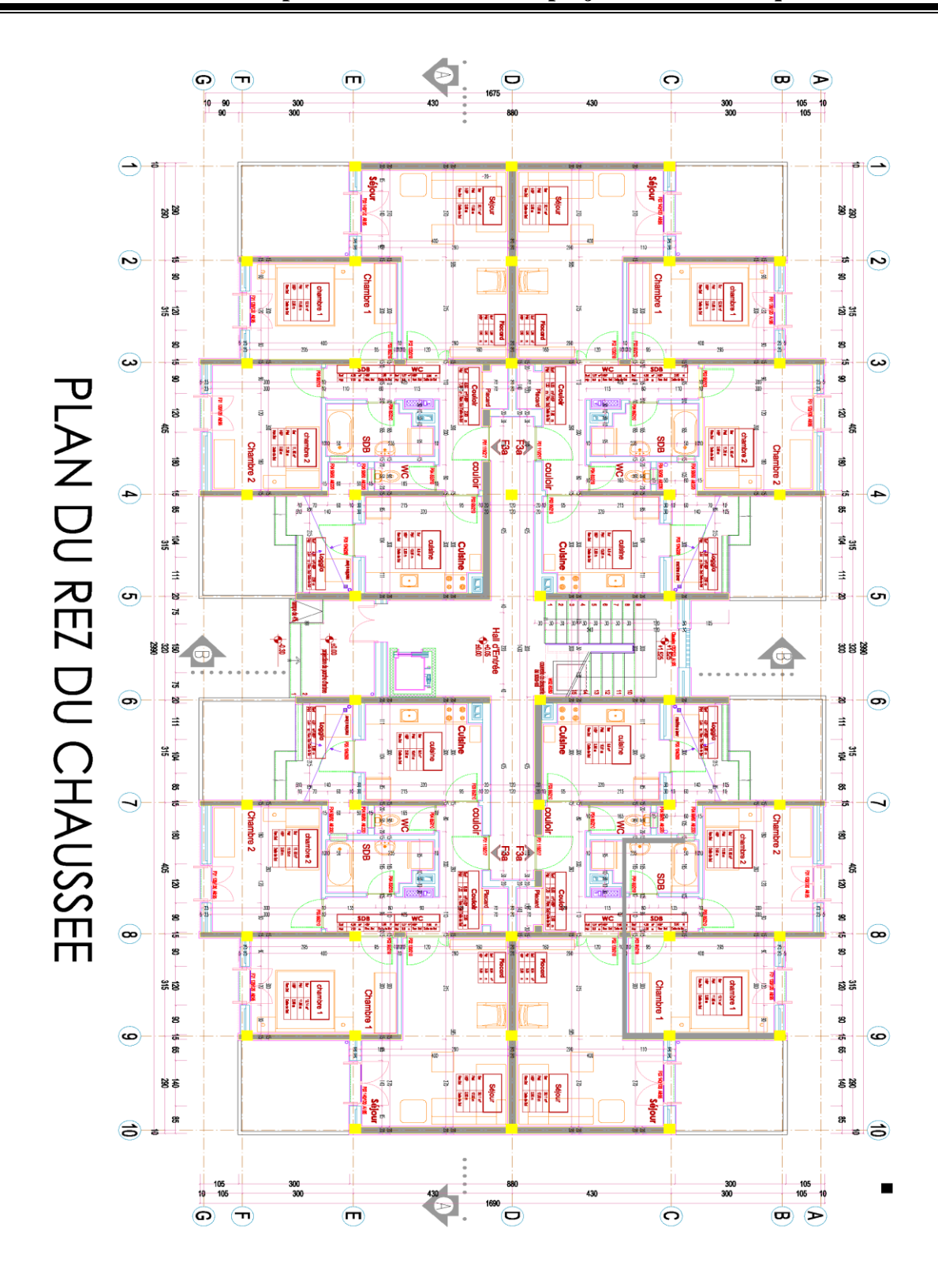


Figure I. 1 : Vue en plan du réez de chaussée.

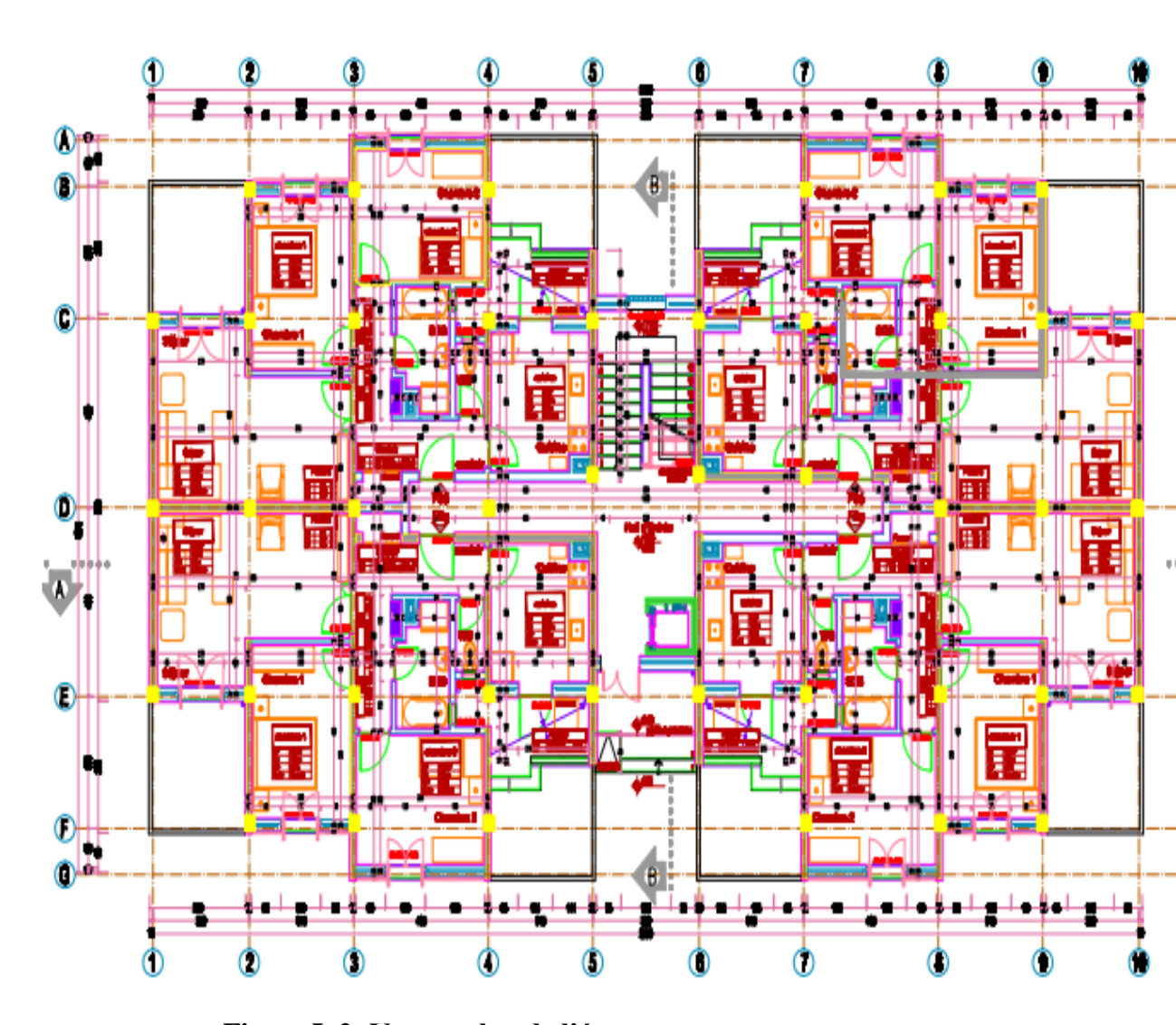


Figure I. 2: Vue en plan de l'étage courant

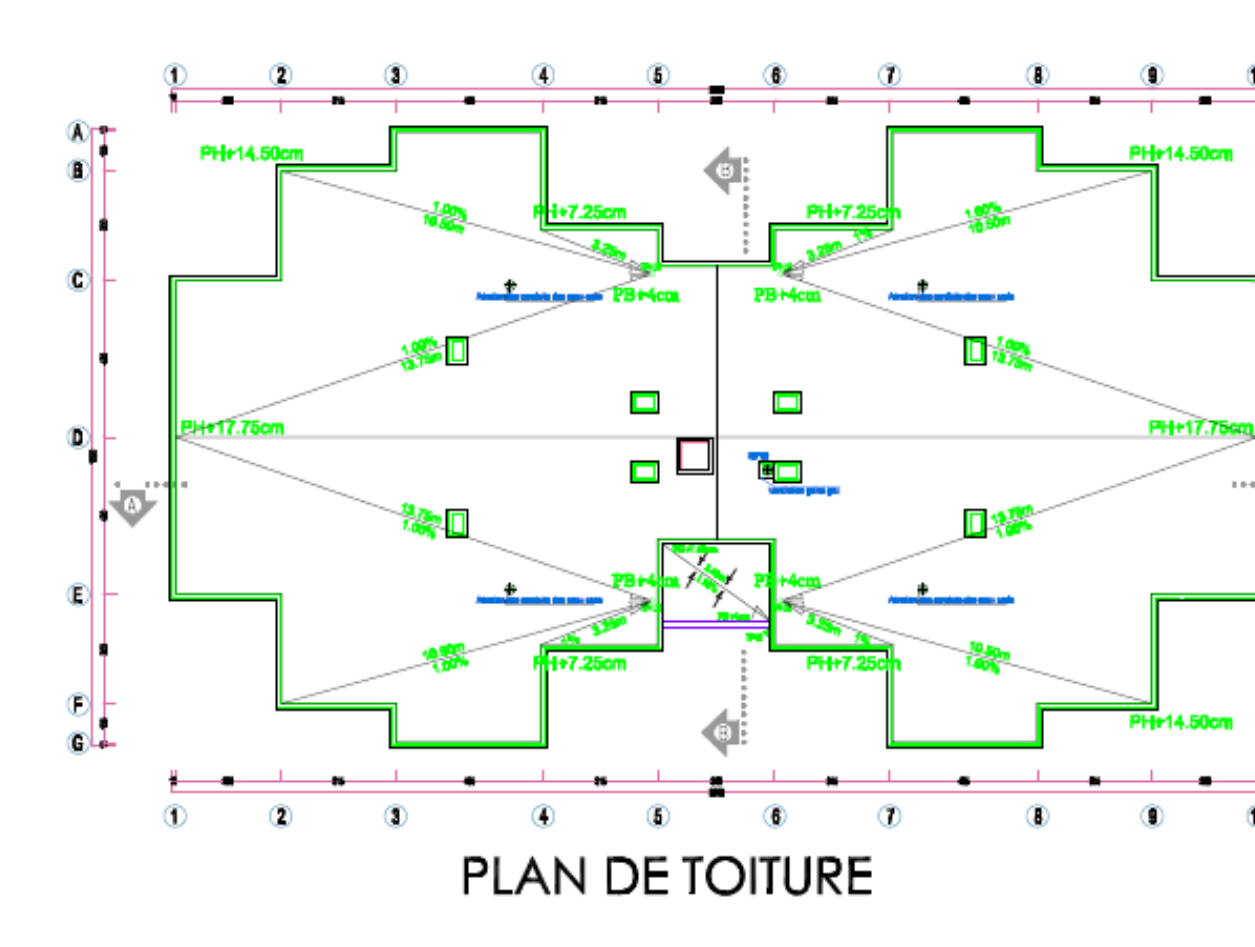


Figure I. 3: Vue en plan de terrasse

### I.3 Caractéristique du site d'assise :

- Le bâtiment est implanté dans une zone classée par les règles parasismiques Algériennes 99/version 2003 comme Une zone de sismicité moyenne (zone II).
- L'ouvrage appartient au groupe d'usage 2.
- Le site est considéré comme meuble (Site 3)
- Contrainte admissible du  $\sigma_{sol}$  =1.5 bars.

## I.4 Les éléments de l'ouvrage :

#### I.4.1 Planchers:

Les planchers sont des éléments porteurs horizontaux qui ont deux fonctions principales qui sont la séparation des différents niveaux et reprendre les différentes charges et surcharges, dans Notre projet on a opté pour (02) deux types de plancher :

• Plancher corps creux :(16+4cm) pour le RDC et les étages courant.

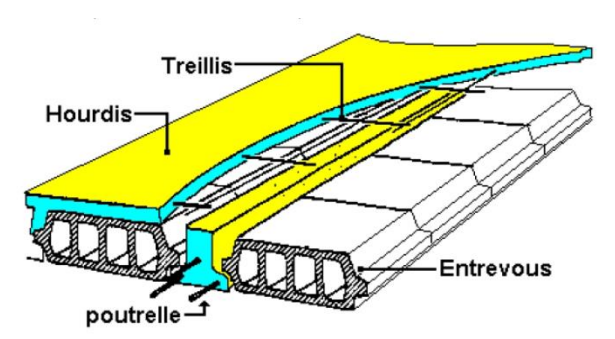


Figure I. 4: Plancher corps creux

• **Dalle pleine**: pour les balcons.

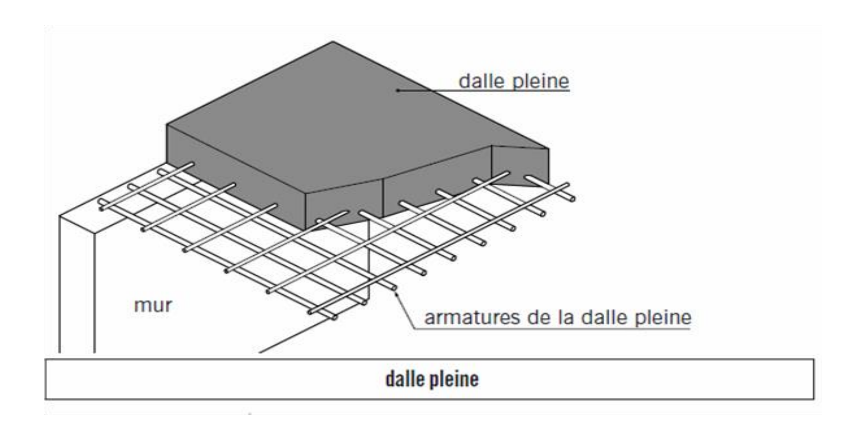


Figure I. 5: dalle pleine

#### I.4.2 Maçonnerie:

La maçonnerie de notre structure sera exécutée en briques creuses.

- **a.** Murs extérieurs: sont réalisé en briques creuses de (15 cm; 10 cm), L'âme d'air de 5 cm d'épaisseur.
- **b.** Murs intérieurs (cloisons de répartition) : ils sont constitués par une cloison de 10 cmd'épaisseur.

#### I.4.3 Revêtement:

Est constitué de

- Enduit en plâtre pour les plafonds et les cloisons.
- Enduit en ciment pour les murs extérieurs.
- Revêtement en carrelage pour les planchers et les escaliers.
- Le plancher terrasse sera recouvert par une étanchéité multicouche imperméable évitant la pénétration des eaux pluviales.

### I.4.4 Terrasse:

La terrasse est inaccessible sauf pour entretien avec un acrotère périphérique en béton arméde 60 cm de hauteur.

#### I.4.5 Escalier:

Ce sont des éléments non structuraux qui permettre le passage d'un niveau à un autre avec deuxvolées et paliers de repos.

- Escalier à deux volées avec un seul palier utilisé pour l'accès du RDC vers 1<sup>er</sup>étage.
- Escalier à trois volées avec deux paliers utilisés pour l'accès du SS vers RDC.

#### I.4.6 Ascenseur:

L'ascenseur est un appareil élévateur permettent le déplacement vertical (elle fait le mouvement va-et-vient) et accès aux différents niveaux du bâtiment, il est composé essentiellement de la cabine et de sa machinerie.

#### 1.4.7 *Ossature* :

C'est une ossature auto- stable réalisé en système de portique (poteaux- poutres).

#### I.4.8 Isolation:

- L'isolation acoustique : est assurée par le vide de corps creux et la masse du Plancher ; par contre au niveau de murs extérieurs l'isolation est assurée par le vide d'air entre les deux parois.
- L'isolation thermique : est assurée par les couches de liège pour les planchers terrasses ; et par le vide d'air pour les murs extérieurs.

#### I.4.9 Acrotère:

Au niveau de la terrasse (inaccessible), le bâtiment est entouré d'un acrotère réalisé en béton armé (de 60 cm de hauteur et de 10 cm d'épaisseur), elle a un rôle de protéger les murs extérieurs du débordement des eaux pluviales.

#### I.4.10 Balcon:

Par définition le balcon est une saillie pratiqué sur la façade d'un bâtiment.

#### I.5 Caractéristiques des matériaux:

#### 1.5.1 Béton :

#### I.5.1.1 Définition:

Le béton est un matériau constitué par le mélange, dans les proportions convenables de ciment, de granulats (sables et gravillon) et de l'eau et éventuellement de produits d'addition (adjuvant), le mélange obtenu est une pâte qui durcit rapidement. Le béton armé est obtenu en introduisant dans le béton des aciers (armatures) disposés de manière à équilibrer les efforts de traction.

Le béton armé utilise dans la construction de l'ouvrage sera conformé aux règle technique de conception et de calcul des structures comme les règles B.A.E.L.91 et R.P.A 99.

#### I.5.1.2 Composition du béton :

Un béton courant un mètre cube, est composé de:

350 Kg de ciment (CPA 325).

✓ 400*l* Sable (0 <Dg< 5mm).

800*l* de:

✓ Gravillons (5 < Dg < 15mm).

✓ Gravier

(15 < Dg < 25mm).

175 l d'eau de gâchage.

Le béton obtenu aura une masse volumique qui varie entre 2200 Kg/m<sup>3</sup> et 2500Kg /m<sup>3</sup>.

Composantes	Graviers 15/25	Sable 0/5	Ciment	Eau
Volume	800L	400L	7sacs	175L
Poids (kg)	1200	600	350	175

Tableau I. 1 : composantes de béton

#### I.5.1.3 Résistance caractéristique du béton :

#### a) Résistance à la compression :

Dans les constructions courantes, le béton est défini, du point de vue mécanique par sa résistance caractéristique à la compression (à 28 jours d'âge noté « fc28 »).

Cette résistance (fcj en MPa) est obtenue par un grand nombre d'essais de compression jusqu'à la rupture sur une éprouvette cylindrique normalisée de 16 cm de diamètre et 32 cm de hauteur.

Le durcissement étant progressif, fcj est fonction de l'âge du béton. Aussi, la valeur conventionnellement retenue pour le calcul des ouvrages est f<sub>cj</sub>.

• Pour des résistances  $f_{c28} \le 40 \text{Mpa}$ :

$$f_{cj} = \frac{\mathbf{j}}{\underset{3j}{4,76+0,8}} f_{c28}$$
 si  $j < 28$  jours

$$f_{cj} = 1.1 f_{c28}$$
 si  $j > 28$  jours

• Pour des résistances 
$$f_{c28} > 40$$
Mpa:  
 $f_{cj} = \frac{j}{\underset{5j}{1,40+0,9}} f_{c28}$  si  $j < 28$  jours

$$f_{cj} = f_{c28}$$
 si  $j > 28$  jours

Pour notre étude on prend  $f_{c28} = 25$ MPa

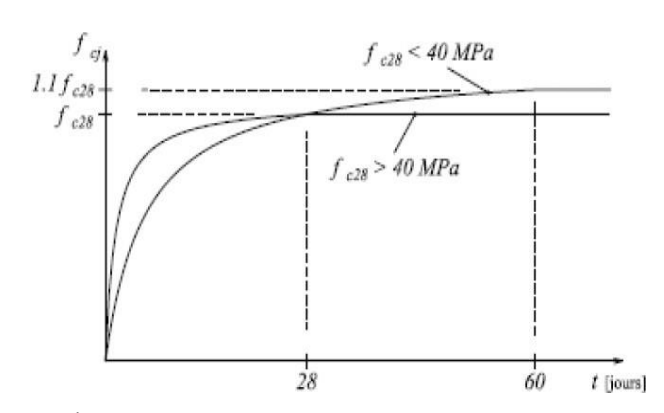


Figure I. 6: Évaluation de la résistance fcj en fonction de l'âge du béton

#### b) Résistance à la traction :

La mesure directe de la résistance à la traction par un essai de traction axiale

étant délicate on a recours à deux modes opératoires différents:

- Flexion d'éprouvettes prismatiques non armées.
- Fendage diamétral d'une éprouvette cylindrique (essai Brésilien)

La résistance caractéristique à la traction du béton à (j) jours notée  $f_{tj}$  est plus faible

que la résistance à la compression et elle est conventionnellement définit par la

relation:

$$f_{tj} = 0.6 + 0.06 f_{cj}$$
 si  $f_{c28} \le 60$ MPa.

$$f_{tj} = 0.275 (f_{cj})^{2/3}$$
 si  $f_{c28} >$ 

60MPa.Pour notre cas:  $f_{c28} = 25$ MPa  $\rightarrow$ 

$$f_{t28} = 2.1 \text{MPa}$$

- c) Module de déformation longitudinale du béton :
- Module de déformation longitudinale instantané :

Pour un chargement d'une durée d'application inférieure à 24 heures, le module dedéformation longitudinale instantanée du béton de j jours est égal:

$$E_{ij}$$
= 11000( $f_{cj}$ ) <sup>1/3</sup> (MPA); pour  $f_{c28}$ = 25MPa;  $E_{i28}$ = 32164,20 MPa.

• Module de déformation longitudinale différé :

Le module de déformation longitudinal différée du béton (" $E_{vj}$ "à "j" jours) qui permet de calculer la déformation finale du béton (qui prend en compte les déformations de fluage du béton) est donné par la formule:  $E_{vj} = (1/3) E_{ij}$ 

$$E_{\nu j} = 3700 \, (f_{cj}) \, \frac{1}{3} \, (MPA)$$

Pour notre cas : 
$$f_{c28}$$
= 25 MPA ;  $E_{v28}$ =10818,87 MPA

#### d) Coefficient de poisson:

Le coefficient de poisson représente la variation relative de dimension transversale d'unepièce soumise à une variation relative de dimension par longitudinale.

Dans  $\Delta l$  le calcule, le coefficient de poisson est pris égal à :

$$\nu = \frac{(\Delta d / d)}{(\Delta L/L)}$$

Avec:

 $\Delta d$ : Déformation relative transversale.  $\Delta L$ : Déformation relative longitudinale. D'âpres le

C.B.A.93, il est pris égale à :

v = 0 dans le calcul des sollicitations à l'ELU (béton fissuré).

 $\nu = 0.2$  dans le calcul des déformations à l'ELS (béton non fissuré)...

#### e) Contraintes limites du béton :

En limitant les contraintes à (résistance de compression ultime), et en tenant Compte des coefficients de sécurité sur les matériaux, on a:

#### **Etat limite ultime(ELU):**

#### • Contrainte ultime de compression :

Le diagramme contrainte-déformation du béton utilisé dans ce cas est le diagramme decalcul dit : « parabole-rectangle » Les sollicitations de calcul à considérer résultant des combinaisons d'actions ponton retient les plus

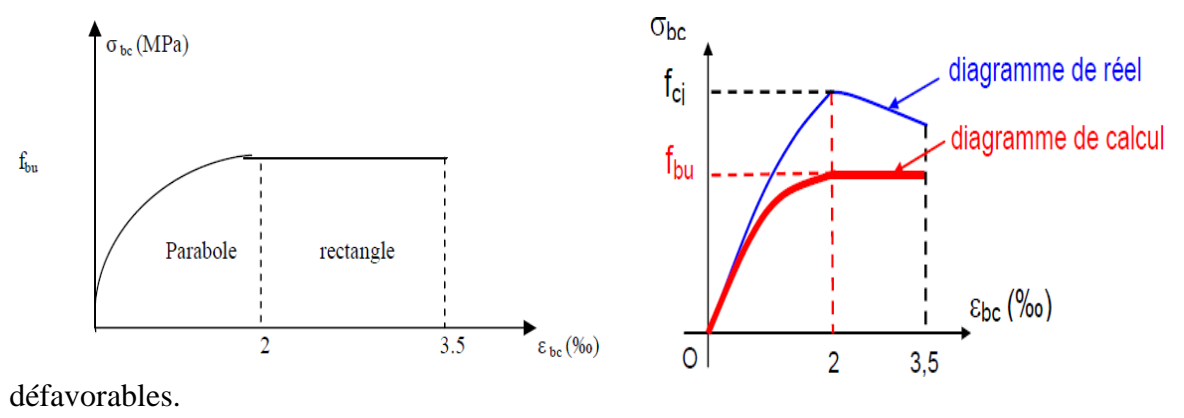


Figure I. 7: Diagramme contraintes- déformations du béton à ELU

 $f_{bc}$ : Contrainte ultime du béton en compression Pour  $2\% \le \varepsilon_{bc} \le$ 

3,5%  $\varepsilon_{bc}$ :  $\varepsilon_{bc}$ : Déformation du béton en compression.

 $\gamma b$ : Coefficients de sécurité : ( $\gamma b = 1,5$  cas général).

 $(\gamma b = 1.15 \text{ cas accidentel}).$ 

 $\theta$ : dépend de la durée d'application des charges.

 $\theta$  = 1 lorsque la durée probable d'application de la combinaison d'actions est >24h.

$$f_{bc} = \frac{0.85.f_{cj}}{\theta \gamma_b}$$

 $\theta = 0.9$  lorsque cette durée est comprise entre 1 h et 24 h.

 $\theta = 0.85$  lorsque cette durée est inférieure à 1 h.

Le coefficient de minoration 0,85 a pour objet de couvrir l'erreur faite en négligent le fluage du béton.

#### • Contrainte limite de cisaillement:

La contrainte ultime de cisaillement est limité par  $\tau_u \leq \overline{\tau_u}$  Sachant que :

La contrainte ultime du cisaillement du béton est définie par :

$$\tau u = \frac{v_u}{b*d}$$

- V<sub>U</sub>: Effort tranchant.
- b, d: Dimensions de pièce.
  - On vérifier par là c'est condition:

$$\tau_u \le \min_{\gamma b} (0.2 \text{ fc28} \text{ ; 5MPa}) = 3,33\text{MPa}$$
 si fissuration peu préjudiciables.

$$\tau_u \le \min \left( \frac{0.15 \text{ fc28}}{\text{c28}} ; 4\text{MPa} \right) = 2,50$$
 si fissuration préjudiciable ou très préjudiciable.

Etat limite de service (ELS):

Dans le cas de l'ELS, on suppose que le diagramme des contraintes reste dans le domaineélastique linéaire, et est défini par son module d'élasticité.

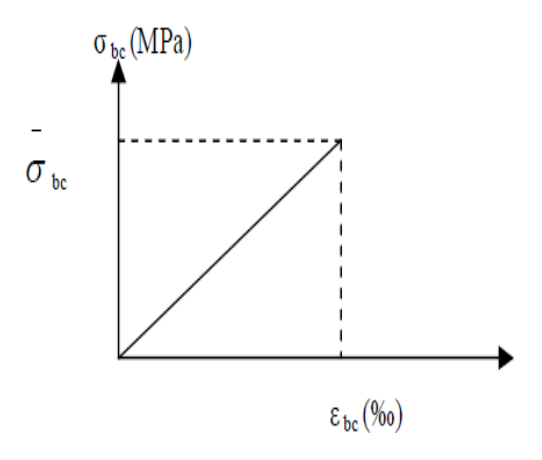


Figure I. 8 : Diagrammes des contraintes du béton à l'ELS

La contrainte de compression du béton doit être au plus égale à:  $\sigma_{bc} = \overline{\sigma}_{bc}$ 

Avec: 
$$\overline{\sigma}_{bc} = 0.6 f_{c28} \implies \overline{\sigma}_{bc} = 15MPa$$

#### I.5.2 L'acier:

#### I.5.2.1 Définition:

L'acier est un alliage métallique constitué principalement de fer et de carbone

en faible pourcentage (comprises entre 0,02 % et 2 % en masse pour le carbone). L'acier est unmatériau caractérisé par une bonne résistance aussi bien en traction qu'en compression; Sa bonne adhérence au béton, en constitue un matériau

## Nuance donc pour 0.15à 0.25% de carbone.

- Nuance mi-dure et dure pour 0.25à0.40% de carbone.
- ✓ Le module d'élasticité longitudinal de l'acier est pris égale à : E₅= 200 000 MPa.

### I.5.2.2 Résistance caractéristiques de l'acier :

#### • Limite d'élasticité garantie Fe:

On définit la résistance caractéristique de l'acier comme étant sa limite d'élasticité :  $f_e$ 

#### Principales armatures utilisés

homogène .On distingue deux types d'aciers :

	Aciers ronds lisses		Aciers	à hautes	Treillis soudé à	Treillis soudés	à
	adhérences		fils lisses	haute adhérence			
désignation	FeE215	FeE235	FeE400	FeE500	TLE500	FeTE500	
$f_e[MPa]$	215	235	400	500	500	500	

Tableau I. 2: fe en fonction du type d'acier

Dans notre cas on utilise des armatures à haute adhérence, un acier de FeE400.

#### I.5.2.3 Contrainte limite de l'acier :

#### 

La contrainte de l'acier est donnée par:  $\sigma = f_e$  (MPA)

#### Avec:

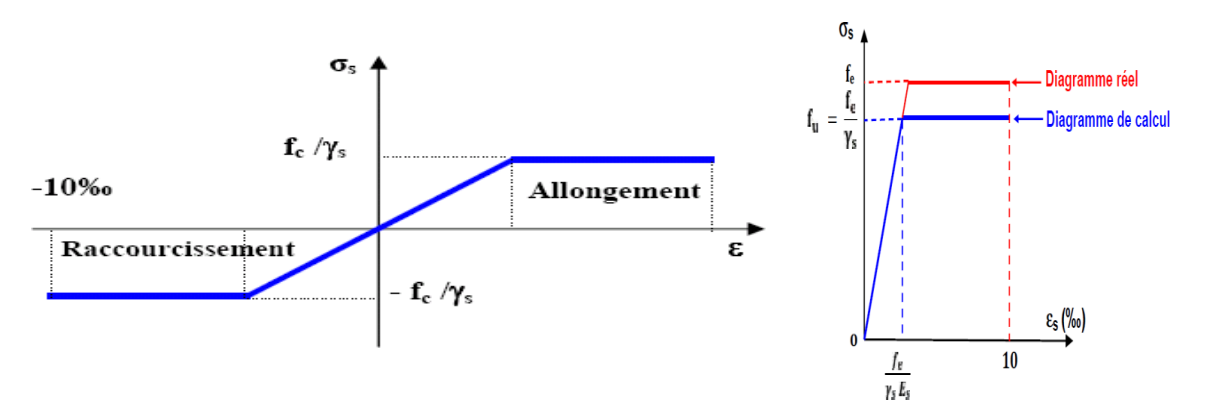
f<sub>e</sub>= Contrainte limite d'élasticité garantie de l'acier.

 $\gamma_s$  =Coefficient de sécurité.tel que :

 $\checkmark$   $\gamma_s$ = 1 Situation accidentelle.

 $\checkmark$   $\gamma_s$ = 1.15 Situation durable.

D'après **le règlement [BAEL 91 Art A.2.2.2]**, le diagramme des contraintesdéformations à



L'ELU est comme suit

Figure I. 9: Diagramme contraintes déformation de l'acier.

> à Etat ultime de service (ELS) :

✓ Fissuration peu préjudiciable (F.P) :

 $\sigma_{st} \leq f_e$  pas de limitation

✓ Fissuration préjudiciable (F.P) :

$$\sigma_{\rm st} = \min (2/3f_{\rm e}; 110\sqrt{\eta.f_{tj}}) \,{\rm Mpa}.$$

✓ Fissuration très préjudiciable (F.T.P) :

$$\sigma_{st} = \min (1/2 f_e; 90 \sqrt{\eta. f_{tj}}) \text{ Mpa.}$$

η: Coefficient numérique des armatures :

- $\eta = 1$  Pour les ronds lisses (RL).
- $\eta = 1.6$  Pour les armatures à haute adhérence (HA)

> Coefficient de scellement

- $\Psi s = 1$ ; Pour les ronds lisses.
- $\Psi s = 1.5$ ; Pour les hautes adhérences.

> Le coefficient d'équivalence

Le coefficient d'équivalence noté «n » avec :

$$n = \frac{E_b}{E_s}$$

$$E_s: Module de déformation de l'acier E_b: Module de déformation du béton$$

### I.6 Etats limites:

On distingue deux types d'états limites:

a. Les états limites ultimes (E.L.U)

Il correspond à la limite :

- De l'équilibre statique.
- De la résistance de l'un des De matériaux (béton et l'acier).
- la stabilité de forme (flambement).
- b. Les états limites de services (E.L.S)

Il correspond à la limite :

• Décompression de béton.

- D'ouverture des fissures.
- Des déformations.

### I.7 Actions et sollicitations :

### I.7.1 Actions:

Les actions sont les forces et les couples dues aux charges appliquées à une structure et auxDéformations imposées, elles proviennent donc :

### a. Action permanents(G):

Elles ont une intensité constante ou très peu variable dans le temps ; elles comportent :

- Le poids propre de la structure.
- Les efforts dus à des terres ou à des liquides dont les niveaux varient peu.
- Les charges des équipements fixes.
- L'effort dus aux déformations permanentes imposées à la structure (retrait, fluage,....).

### b. Actions variables (Q):

Leur intensité varie fréquemment et d'une façon importante dans le temps. On distingue :

- Les charges d'exploitation.
- Les actions climatiques (définies par les règles Neige et Vent).
- Les actions dues à la température.

#### c. Actions accidentelles (Fa):

Ce sont celles provenant de phénomènes qui se produisant rarement et avec une courteDurée d'application, on peut citer

- **!** Les chocs.
- Les séismes.
- **!** Les explosions.
- Les feux

### *I.7.2 Sollicitations*:

Les sollicitations sont des efforts (efforts normaux, efforts tranchants) et des moments (moments de flexion, moments de torsion) calculés à partir des actions.

### **Sollicitation de calcul :**

Les combinaisons utilisées dans notre étude :

➤ A l'état limite ultime (ELU) :

$$1,35G+1,5Q$$

➤ A l'état limite de service (ELS) :

$$G + Q$$

Les combinaisons accidentelles (séisme, choc...) utilisées dans notre étude selon Les règles parasismiques algériennes (Le RPA99/version 2003) :

 $G+Q \pm E$ 

 $G+Q\pm1,2E$ 

 $0.8G \pm E$ 

Avec:

 $\begin{cases} G = \text{charge permanente} \\ Q = \text{charge d'exploitation} \\ E = \text{effort de s\'eisme} \end{cases}$ 

### I.8 Conclusion

Dans notre projet, les valeurs utilisées sont :

### • Pour béton

$$f_{c28} = 25MPa$$
 ,  $f_{t28} = 2,1MPa$ 

 $E_{i28} = 32164.2$ MPa Module de déformation instantané

E<sub>v28</sub> =10818.87 MPa Module de déformation Différé

$$\begin{cases} f_{bu} = 14.17 \text{ MPa Situation durable.} \\ f_{bu} = 18.48 \text{ MPa Situation accidentelle} \\ \text{ELS } \{ \bar{\sigma}_{bc} = 15 \text{MPa} \end{cases}$$

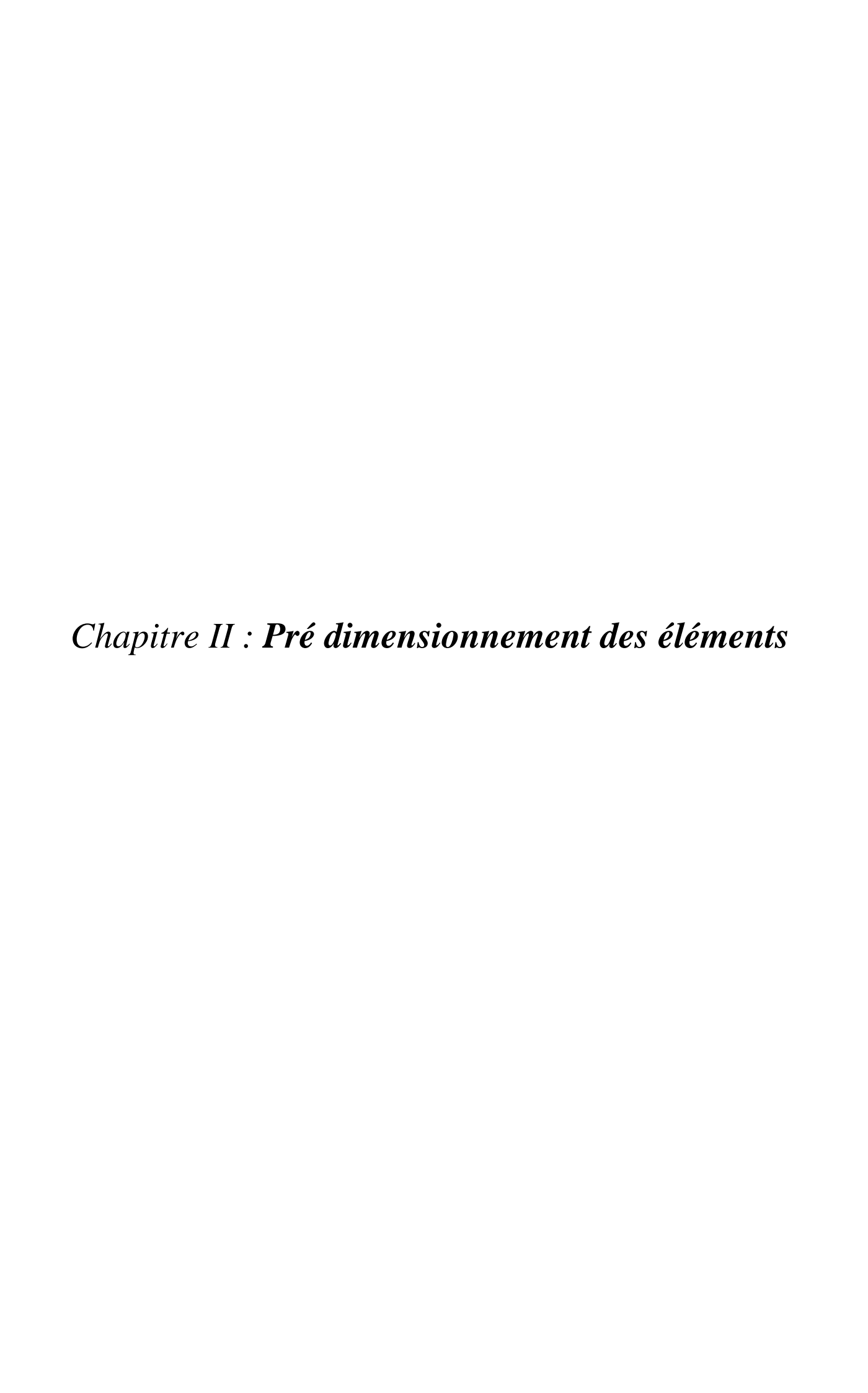
### • Pour l'acier

ELU 
$$\begin{cases} \sigma_S = 348 \text{ MPA} & \text{Situation durable} \\ \sigma_S = 363.63 \text{MPA} & \text{Situation accidentelle} \end{cases}$$

Matériaux	Caractéristique	Valeurs (MPa)	
	Résistance caractéristique (fc2s	25	
	Contrainte limite à l'ELU: situation durable		14,17
Dátan		situation accidentelle	18,48
Béton	Contrainte limite à l'ELS $(\sigma_{bc})$		15
	Module de déformation longitu	32164,19	
	Module de déformation longitu	10818.87	
	Limite d'élasticité fe		400
	Module d'élasticité		2*10 <sup>5</sup>
Acier	Contrainte de calcul à l'ELU:	situation durable	348
Acici		situation accidentelle	400
	Contrainte à l'ELS:	FPN	348
		FN	201,63
		FTN	164,97

Tableau I. 3 : caractéristique mécanique de Béton et L'Acier .

Dans ce 1er chapitre, nous avons présenté préinscription du projet avec toute sa caractéristique, nous avons donné les caractéristiques des matériaux utilisées ainsi que les codes et règlement en vigueur. Le Chapitre suivant fera l'objet du pré dimensionnement de tous les éléments structure de notre ouvrage.



### II.1 Introduction:

Le pré dimensionnement a pour but ''le pré calcul ''des sections des différents éléments résistants de la structure, il sera fait selon le BAEL 91 et le RPA 99/ version 2003. Il a pour but de trouver le meilleur compromis entre coût et sécurité.

Pour cela nous évaluons une descente des charges et surcharges afin de déterminer ce qui revient à chaque élément porteur, de tous les niveaux et ce jusqu'à la fondation.

### II.2 Pré dimensionnement des éléments non structuraux :

## II.2.1 les planchers :

Les planchers sont des aires horizontales limitant les différents niveaux d'étage d'unbâtiment. Leur principal rôle est la transmission des efforts horizontaux aux différents éléments de contreventement et la répartition des charges et surcharges sur les éléments porteurs. En plus de cette participation à la stabilité de la structure, ils offrent une isolation thermique et acoustique entre les différents étages. Dans notre structure, on a deux types de planchers :

- Plancher à corps creux.
- Plancher à dalle pleine.

### II .2.1.1Plancher à corps creux :

Ce sont les planchers les plus utilisés dans le bâtiment courants. Il permet d'avoir un plafond uni et une bonne isolation thermique et phonique, en plus d'être économique. Ce type de plancher est constitué de :

- Corps creux : dont le rôle est le remplissage, il n'a aucune fonction de résistance.
- Poutrelles : éléments résistants du plancher.
- Dalle de compression : c'est une dalle en béton armé, sa hauteur varie de 4 à 6 cm.
- Treillis soudés.

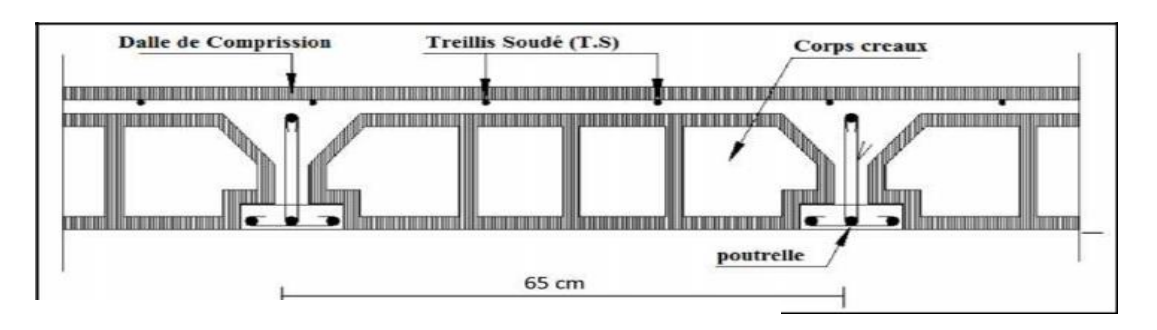


Figure II. 1 : Plancher à corps creux.

L'épaisseur des planchers est choisie d'une manière à satisfaire des conditions d'utilisation Plus que les conditions de résistance.

Pour trouver cette épaisseur on vérifiera les Conditions ci-après :

#### 1. Condition de résistance au feu :

- e = 07 cm : Pour une (01) heure de coupe de feu.
- e = 11cm : Pour deux (02) heures de coupe de feu.
- e = 17.5cm: Pour quatre (04) heures de coupe

de feu. Dans notre projet on prend e = 15cm.

## 2. Condition acoustique:

Pour assurer une isolation phonique minimale, l'épaisseur de plancher doit être supérieureou égale à 15 cm; on adopte une épaisseur de : e=16cm.

### 3. Condition de résistance à la flèche :

La hauteur du plancher est déterminée à partir la condition de rigidité donnée par le

**CBA93** comme suite:

$$h_t \geq \frac{Lmax}{22.5}$$

Avec;

 $h_t$ : Hauteur totale du plancher (Epaisseur).

 $L_{max}$ : La portée maximale entre nus d'appuis dans le sens de disposition des poutrelles.

$$h_t \ge \frac{405}{22.5} = 18 \text{ cm}$$

Donc: en adopte

 $h_t = 20$  cm.

Dalle de compression = 4

cm.

Corps creux = 16 cm.

### a) Les poutrelles :

Les poutrelles sont des sections en T en béton armé, servant à transmettre les charges réparties ou concentrées aux poutres principales, elles sont calculées en flexion simple.

## > Dimensionnement des poutrelles :

### 1. Calcul de largeur de la nervure :

$$0.4h \le b_0 \le 0.6h$$
 Avec

 $h = 20 \text{ cm} 8 \text{ cm} \le b_0 \le 12 \text{ cm}$ 

On adopte :  $b_0 = 10$  cm.

$$b = 2 b_1 + b_0$$

$$b_1 \ge \min(\frac{L_x}{2}; \frac{L_{max}}{10})$$

Avec:

 $L_x$ : représente la distance entre poutrelles ( $l_x = 55$  cm).

L max : représente la distance entre nus d'appuis des poutres secondaires

$$(L_{max} = 405 \text{ cm}).$$

tel que:

$$L_x = b - b0 = 65 - 10 = 55 \text{ cm}.$$

$$b_1 \ge \min(\frac{55}{2}; \frac{405}{10}) = \min(27.5; 40.5)cm$$

On adopte:

$$b_1 = 27.5 \text{ cm}$$

Pour la vérification:

$$b = 2b_1 + b_0 = 2(27.5) + 10 = 65 \text{ cm}$$

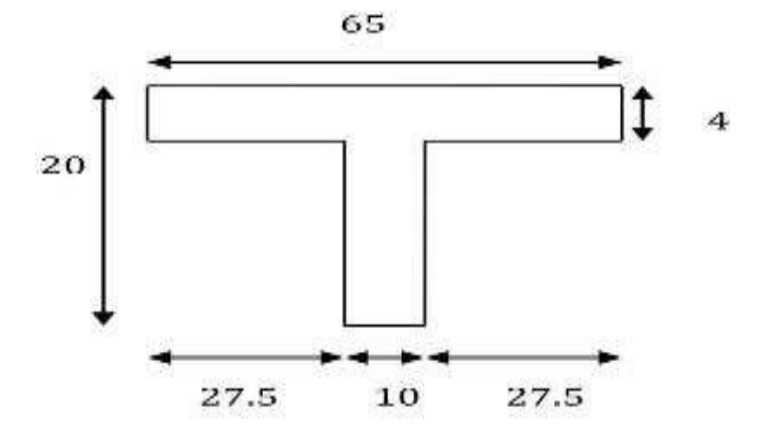


Figure II. 2: dimensions de la section en T.

# II.2.2. Les dalles pleines

## II.2.2.1. Balcons:

Le balcon est constitué d'une dalle pleine, il travaille comme une console encastrée au niveau de la poutre de rive. Leurs dimensions doivent satisfaire les conditions suivantes :

### a. Résistance au feu :

- Pour une heure de coupe de feu:  $e \ge 7$  cm,
- Pour une neure de coupe de l'année.
  Pour deux heures de coupe de feu: e ≥ 11 cm,
- Pour quatre heures de coupe de feu:  $e \ge 17,5$  cm.

## b. Condition d'isolation acoustique :

Selon les règles techniques (CBA93) en vigueur en l'Algérie l'épaisseur du plancher doit être supérieure ou égale à 13cm pour obtenir une bonne isolation acoustique.

On limite donc notre épaisseur e =14cm.

#### c. Résistance à la flexion :

Les condition qui doivent vérifier selon le nombre des appuis sont les suivant :

- $e \ge \frac{L_x}{20}$ • Pour une dalle sur un seul appui :
- Pour une dalle sur deux appuis :  $\frac{L_x}{35} \le e \le \frac{L_x}{30}$ .
- Pour une dalle sur trois ou quatre appuis :  $\frac{L_x}{50} < e < \frac{L_x}{40}$

### Pour notre projet nous avons :

Type 1: dalle sur un seul appui

$$e \ge \frac{L_x}{20}$$

$$e \ge \frac{120}{20} = 6 \ cm$$

on adopte : e = 15 cm.

Type 2: dalle sur deux appuis:

$$\frac{L_x}{35} < e < \frac{L_x}{30}$$

$$\frac{165}{35} < e < \frac{165}{30} \to 4.74 < e < 5.5$$

on adopte : e = 15 cm.

### II.2.2 Pré dimensionnement les escaliers :

L'escalier est la partie d'ouvrage qui sert à assurer la liaison entre les différents niveaux d'une construction, est déterminé par sa montée, son emmarchement, son giron, sa hauteur de marche.

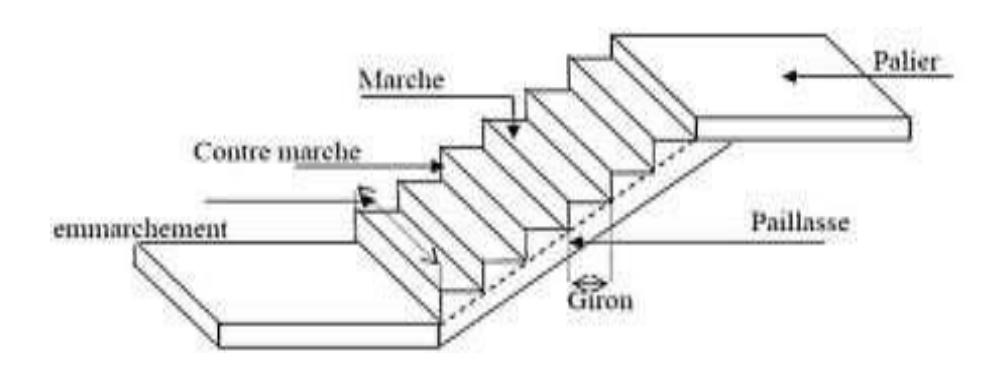


Figure II. 3: Schéma d'escalier

Pour les dimensions des marches "g" et contre marche "h" on utilise généralement la formule de BLONDEL.

On a:: 59 < 2 h + g < 66

H: hauteur de la marche (contre marche) la plus courante varie de 14 à 20cm (17cm en moyenne)

g:largeure de la marche, la plus courante varie de 22à33cm ( 30cm en moyenne)

On prend 2h+g = 64cm (généralement)

H: hauteur entre les faces supérieurs des deux paliers successifs d'étage (H=n.h=

he/2) n:nombre de contre marches

L: la projection horizontale de la longueur total de la volée L = (n-1) g

n: doit être racine de l'équation suivante:

$$64n^2 - (2H + 64 + L).n + 2H = 0$$

### **La Calcul de nombre de marches:**

 $H = n \times h \Rightarrow n = H/h$  Avec :n: nombre de contre marches

H:de mi-hauteur d'un étage

h:hauteur d'une contre marche

H=153cm et on prend h=17cm

Donc n =  $\frac{153}{17}$  = 9 le nombre de marche serait alors n-1= 8 marches

D'autre part (n-1) g=L 
$$\Rightarrow$$
 g =  $\frac{L}{n-1} = \frac{240}{8} = 30 \text{ cm}$ 

donc on a 8 marches avec g=30cm, h=17cm.

$$tg\alpha = \frac{17}{30} = 0,567 \Rightarrow \alpha = 29,54^{\circ}$$

## **Epaisseur de la paillasse:**

$$\Rightarrow L = 240$$

$$12 \ cm \le ep \le 16 \ cm$$

On prend ep = 15 cm.

### II.2.3 Pré dimensionnent L'acrotère :

L'acrotère est une construction complémentaire du plancher terrasse destinée essentiellement à protéger Les personnes contre la chute, les dimensions d'acrotère son donnée sur la figure cicontre

G l'acrotère = Poids volumique x S l'acrotère

$$S = S_1 + S_2 + S_3$$

$$S = (0.6 \times 0.1) + (0.10 \times 0.05) + (\frac{0.05 \times 0.10}{2})$$

$$S = 0.0675 \text{ m}^2$$

$$G = \rho \times S = 25 \times 0.0675 = 1.687 KN/ml$$

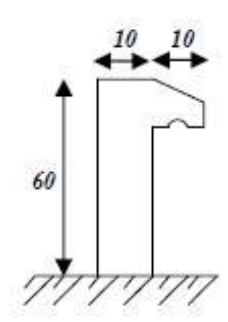


Figure II. 4 : Coupe de l'acrotère.

$$G = 168.7 \text{ Kg/ml}$$

Avec:

• G : poids propre de l'acrotère en mètre linéaire.

• ρ : Poids volumique du béton : 25 KN/m3

### II .3 Pré dimensionnement des éléments structuraux :

### II.3.1 Pré dimensionnement les voiles :

Les voiles sont des murs réalisées en béton armés, ils auront pour rôle contreventement du bâtiment et Éventuellement supporter une fraction des charges verticales.

On considère comme voiles les éléments satisfaisant à la condition  $L \ge 4$ \*e.

L : La longueur du voile.

e: L'épaisseur du voile

Dans le cas contraint, ces éléments sont considérés comme des éléments linéaires

Le, **R.P.A 99 V2003**, (**7.7.1 P56**), exige une épaisseur minimale de 15cm, de plus l'épaisseur R.P.A

99 V2003, doit être déterminée en fonction de la hauteur libre d'étage he et des conditions de rigidité aux extrémités.

Les voiles servent : - à reprenant les efforts horizontaux (séismes, vents).

- à reprenant les efforts verticaux (charges et surcharges).
- les transmettent aux fondations.

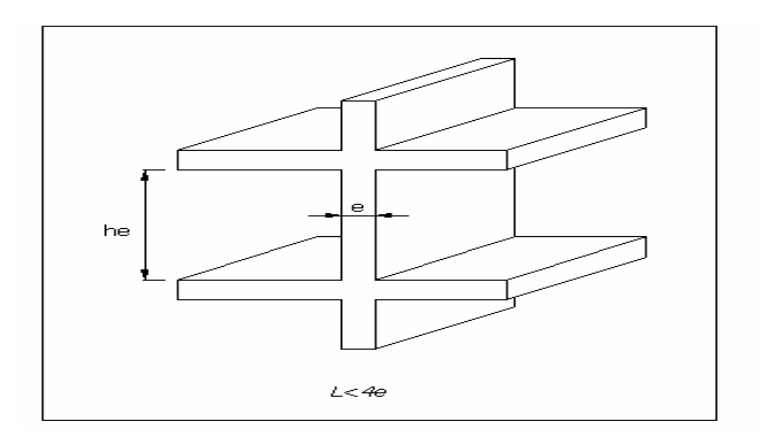


Figure II. 5 : Coupe de voile en élévation

On prend comme pré dimensionnement: e = 15cm

# II.3.2 Pré dimensionnement les poteaux :

Les poteaux sont des éléments porteurs chargés de reprendre les charges et surcharges issues des différents niveaux pour les transmettre au sol par l'intermédiaire des fondations.

Les dimensions de la section transversale des poteaux selon le RPA99, doivent satisfaire les conditions suivantes pour :

 $Min(b; h) \ge 25$ 

Min (b; h) =  $h_e/20$ 

$$1/4 = (b/h) = 4$$

On fixera les dimensions des poteaux après avoir effectué la descente de charge, tout en vérifiant les recommandations du RPA99/version 2003 citées ci-dessus.

Les dimensions des poteaux supposées :

Tableau II. 1 : Section des poteaux préalables

Etages	RDC	1 <sup>er</sup> <b>et</b> 2 <sup>eme</sup>	3 <sup>eme</sup> <b>et</b> 4 <sup>eme</sup>	5 <sup>eme</sup> <b>et</b> 6 <sup>eme</sup>	7 <sup>eme</sup>
Section (b ×h)  cm <sup>2</sup>	50 ×55	45 ×50	40 ×45	35 ×40	30 ×35

## II.3.3 Pré dimensionnement des poutres :

Les poutres sont des éléments porteurs en béton avec des armatures en acier incorporé, servant de base à transmettre les charges aux poteaux.

## II.3.3.1 Poutres principales :

Les poutres seront pré dimensionné par la condition de la flèche et elles sont vérifiées par le R.P.A99 version 2003.

$$\frac{L_{max}}{15} \le h_t \le \frac{L_{max}}{10}$$
$$0.4 h_t \le b \le 0.7 h_t$$

Avec:

h t : hauteur de la poutre.

L max : distance maximale entre nus d'appuis (L = L max = 4.70 m)

D'où:

$$\frac{470}{15} \le h_t \le \frac{470}{10} \to 31.33 \le h_t \le 47$$
 donc:

Soit:  $h_t=40 \text{ cm}$ b=30 cm

### Vérification:

On doit vérifier les dimensions adoptées aux exigences du RPA (Art : 7.5.1 RPA 99 version 2003) qui sont les suivantes:

Ces conditions sont vérifiées donc on opte pour les l'ensemble des poutres principales les dimensions suivantes:

$$h = 40 cm$$

$$b = 30 cm$$

### II.3.3.2 Poutre secondaires:

$$\frac{L_{max}}{15} \le h_t \le \frac{L_{max}}{10}$$
$$0.4 h_t \le b \le 0.7 h_t$$

Avec:

h t : hauteur de la poutre.

L max : distance maximale entre nus d'appuis (L = L max = 4.05 m)

D'où:

$$\frac{405}{15} \le h_t \le \frac{405}{10} \to 27 \le h_t \le 40.5$$
 donc:

Soit:  $h_t = 30 \text{ cm}$ b = 30 cm

### **Vérification:**

On doit vérifier les dimensions adoptées aux exigences du RPA (Art : 7.5.1 RPA 99 version 2003) qui sont les suivantes :

Ces conditions sont vérifiées, donc on opte pour l'ensemble des poutres secondaires les dimensions suivantes:

$$h = 30 cm$$

$$b = 30 cm$$

# II. 4 Évaluation des charges et surcharges :

L'évaluation des charges et surcharges consiste à calculer successivement pour chaque élément porteur de la structure, la charge qui lui revient à chaque plancher et ce jusqu'à la fondation. Les différents charges et surcharges existantes sont :

- Les charges permanentes (G).
- Les surcharges d'exploitation (Q).

### Selon le DTR B.C.2.2

# II.4.1 Les planchers:

### a) Plancher terrasse:

La terrasse est inaccessible et réalisée en plancher à corps creux surmonté de plusieurs couches de protection en forme de pente facilitant l'évacuation des eaux pluviales.

## Charge permanente et charge d'exploitation :

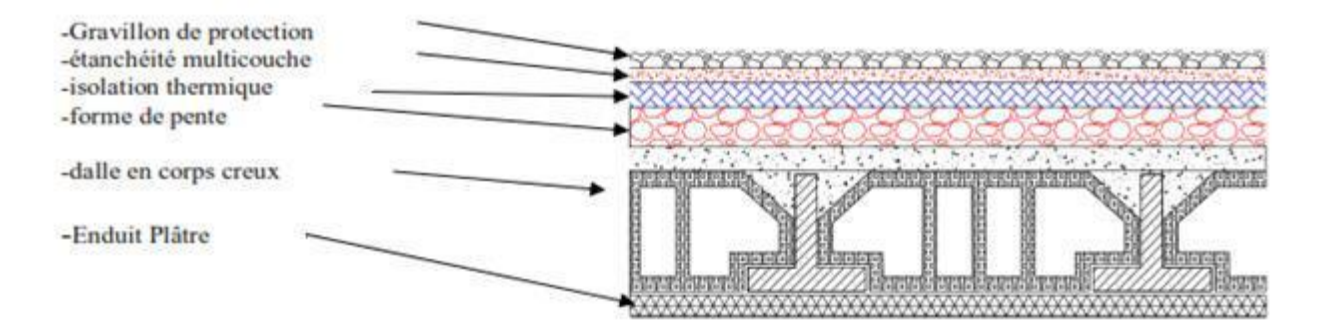


Figure II. 6: coupe plancher terrasse.

Tableau II. 2 : Évaluation des charges permanentes et d'exploitation du plancher terrasse.

N	Désignation	e (m)	$\gamma(N/m^3)$	Charge (N/m²)
1	Gravillon de protection	0.05	20000	1000
2	Etanchéité multicouche	0.02	6000	120
3	Forme de pente	0.1	22000	2200
4	Isolation thermique	0.04	4000	160
5	dalle à corps creux	0.20	14000	2800
6	Enduit en plâtre	0.02	10000	200
•	Charge permanent		$G_T = 6330$	
	Surcharge d	on	$Q_T = 1000$	

# b) Plancher étage courant :

Les planchers des étages courant sont en corps creux.

## Charge permanente et charge d'exploitation :

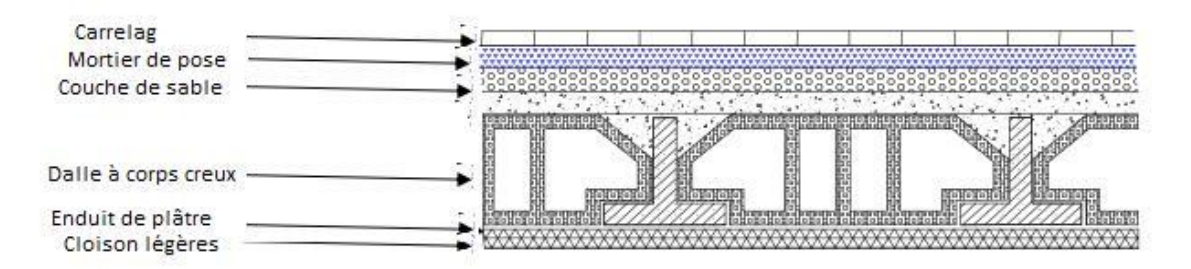


Figure II. 7: coupe plancher étages courant + RDC.

Tableau II. 3 : Évaluation des charges permanentes et d'exploitation du plancher courant.

0	Désignation	e (m)	$\gamma$ (N/ $m^3$ )	Charge (N/m <sup>2</sup>		
	Cloison en brique	0.1	9000	1000		
1	Carrelage	0.02	20000	440		
2	Mortier de pose	0.02	20000	400		
3	Couche de sable	0.03	18000	540		
4	Plancher à corps creux	2800				
5	5 <b>Enduit en plâtre</b> 0.02 10000					
	$G_E = 5380$					
	Sur	$O_E = 1500$				

### II.4.2 Balcon:

Tableau II. 4 : Évaluation des charges permanentes et d'exploitation de dalle de balcon

N	Désignation	e (m)	$\gamma$ (N/ $m^3$ )	Charge (N/m²)
1	Carrelage	0.02	22000	440
2	Mortier de pose	0.02	20000	400
3	Lit de sable	0.03	18000	540
4	Dalle	0.15	25000	3750
5	Enduit en plâtre	0.02	10000	200
	Charge .permanente	$G_b = 5330$		
	Surcharge d'exploita	$Q_b = 3500$		

# II.4.3 Cloison extérieures:

Tableau II. 5: les charges permanentes et d'exploitations d'une cloison

N	Désignation	e (m)	$\gamma(\mathbf{N}/m^3)$	Charge (N/m <sup>2</sup> )		
1	Enduit de ciment (extérieur)	0.02	18000	360		
2	Brique creux de 15	0.15	9000	1350		
(3	Lame d'air	0.05	-	-		
4	4 Brique creux de 10 0.1 9000		9000	900		
5	Enduit plâtre (intérieure)		10000	200		
		0.02				
	Charge permanente totale					

# II.4.4.Escalier:

## 1. le paillasse :

Tableau II. 6: Charge permanente et d'exploitation de la paillasse

N	Désig	gnation	e (m)	$\gamma(N/m^3)$	Charge (N/m <sup>2</sup> )
1		Horizontal	0.02	22000	440
	Carrelage	Vertical	$0.02^{h}/g$	22000	249.33
2	mortier de	Horizontal	0.02	20000	400
	pose	Vertical	$0.02^{h}/g$	20000	226.67
3	3 Poids des marches		0 .17/2	25000	2125
4	Poids de l	a paillasse	0.13/cosα	25000	3735.21
5	Enduit e	en plâtre	0.02/cosα	10000	200
6	6 Gardes corps		-	-	600
	Char	G=8571			
Charge d'exploitation totale				Q = 2500	

# 2. Palier de repos :

Tableau II. 7: Charges permanentes et d'exploitation d'un palier

N	Désignation	e (m)	$\gamma(N/m^3)$	Charge		
				$(N/m^2)$		
1	Carrelage	0.02	22000	440		
2	Mortier	0.02	20000	400		
3	Lit de sable	0.02	18000	360		
4	Dalle pleine	0.15	25000	3750		
5	Enduit en plâtre	0.02	10000	200		
	<i>G<sub>pr</sub></i> = <b>6400</b>					
	Surcharge d'exploitation					

### II.4.5 Acrotère:

Tableau II. 8 : charges permanentes et d'exploitation d'un acrotère.

Désignation	h (m)	Surface(m)	poids propre total (KN/ml)	Surcharge d'exploitation Q(KN/ml)
Acrotère	0.6	0.068	1.70	1

## II.5 Descente de charges :

La descente des charges consiste à calculer pour chaque élément vertical les charges reprises, en parant de l'étage le plus haut et de cumuler jusqu'aux fondations ; Ce calcul doit être fait pour chaque catégorie de charge :

- > Charge permanent (G),
- Charge d'exploitation(Q).

## II.5.1 Loi de dégression : (DTR B.C.2.2) [5] :

On adoptera pour le calcul des points d'appui les charges d'exploitation suivantes :

Sous dernier étage (étage 1)...... $Q_0+Q_1$ 

Sous étage immédiatement

inferieure

$$Q_0 + 0.95 (Q_1 + Q_2)$$

(étage 3)

$$Q_0 + 0.90 (Q_1 + Q_2 + Q_3)$$

(Étage 4)

$$Q_0 + 0.85 (Q_1 + Q_2 + Q_3 + Q_4)$$

(Pour n étage 
$$\geq 5$$
)  $Q_0 + \frac{3+n}{2n}$   $(Q_1 + Q_2 + Q_3 + Q_4 + \dots + Q_n)$ 

En tenant compte de la dégression des surcharges de la façon suivante :

$$\sum Q = Q_0 = 1 \text{ KN}$$

$$\sum Q = Q_1 + Q_2 = 2.5 \text{ KN}$$

$$\sum Q = Q_0 + 0.95 (Q_1 + Q_2) = 3.850 \text{ KN}$$

$$\sum Q = Q_0 + 0.90 (Q_1 + Q_2 + Q_3) = 5.05 \text{ KN}$$

$$\sum Q = Q_0 + 0.85 (Q_1 + Q_2 + Q_3 + Q_4) = 6.1 \text{ KN}$$

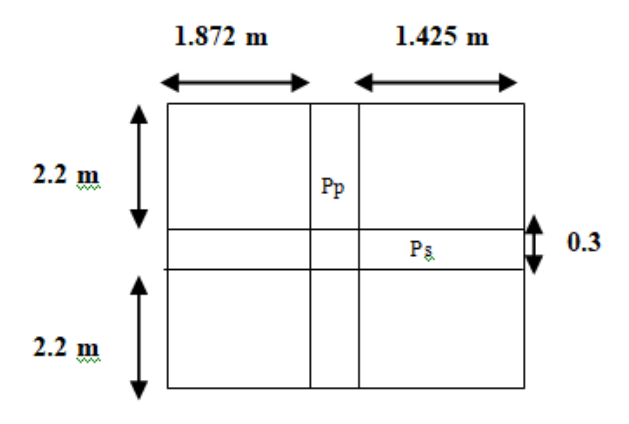
$$\sum Q = Q_0 + 0.80 (Q_1 + Q_2 + Q_3 + Q_4 + Q_5) = 7 \text{ KN}$$

$$\sum Q = Q_0 + 0.75 (Q_1 + \dots + Q_6) = 7.75 \text{ KN}$$

$$\sum Q = Q_0 + 0.71 (Q_1 + \dots + Q_7) = 8.455 \text{ KN}$$

$$\sum Q = Q_0 + 0.68 (Q_1 + \dots + Q_8) = 9.16 \text{ KN}$$

Pour la vérification de leur section dans ce cas on prend un type de poteau suivant :



Poteau intermédiaires : (la surface afférente )

$$S_T = [S_1 + S_2 + S_3 + S_4]$$
  
 $S_T = [(2.2 \times 1.872) \times 2 + (2.2 \times 1.425) \times 2]$   
 $S_T = 14.50 \ m^2$ 

### • Poutre:

$$G_{pp1} = 25 \times 2.20 \times 0.3 \times 0.4 = 6.6 \text{ KN}$$

$$G_{pp2} = 25 \times 2.20 \times 0.3 \times 0.4 = 6.6 \text{ KN}$$

$$G_{ps1} = 25 \times 1.425 \times 0.3 \times 0.3 = 3.20 \text{ KN}$$

 $G_{ps2} = 25 \times 1.872 \times 0.3 \times 0.3 = 4.212 \text{ KN}$ 

 $G_{p.tot} = 20.61 \text{ KN}$ 

Tableau II. 9 : Les différentes sections de poteau

Les niveaux	Section du Poteau	La surface du	La surface
		poteau (S) m <sup>2</sup>	afférente
			$(\mathbf{s})m^2$
RDC	50 ×55	0.28	14.50
1 <sup>er</sup> et2 <sup>eme</sup>	45 ×50	0.23	14.50
3 <sup>eme</sup> et 4 <sup>eme</sup>	40 ×45	0.18	14.50
5 <sup>eme</sup> et 6 <sup>eme</sup>	35 ×40	0.14	14.50
7 <sup>eme</sup>	30 ×35	0.11	14.50

Tableau II. 10: La descente de charge de poteau

Niveau	Element	G(KN)	Q(KN)
	Plancher terasse	6.33×14.50=91.79	
N0	Poteau (30×35)	20.61	
	Total	112.4	14.50
	Venant N0 +Poteau	0.3×0.35×3.06×25=8.03	
N0+ Poteau	$(30 \times 35)$		
$(30\times35)$			
	Total	120.43	
N1	Venant N0+	120.43	
	poteau (30×35)	5.38×14.50=78.01	
	GP .tot	20.61	
	Totale	219.05	36.25
N1+ Poteau	Venant N1	219.05	
$(30\times35)$	Poteau (30×35)	8.03	
	Totale	227.08	
N2	Venant N1+poteau	227.08	
	plancher étage	78.01	
	Gp Tot	20.61	
	Total	325.7	55.83
N2+poteau(35×40)	Venant N2	325.7	
-	Poteau (35×40)	10.71	
	Total	336.41	
N3	Venant N2+ poteau	336.41	
	Plancher étage	78.01	
	GP.TOT	20.61	
	Total	435.03	73.23

N3+ Poteau	Venant N3	435.03	
$(35\times40)$	Poteau (35×40)	10.71	
(007710)	Totolia (SSA 10)	101/1	
	Total	445.74	
N4	Venant N3+ poteau	445.74	
	Plancher étage	78.01	
	GP.TOT	20.61	
	Total	544.36	88.45
N4+ Poteau	Venant N4	544.36	
$(40\times45)$	Poteau (40×45)	13.77	
,	Total	558.13	
		250.15	
N5	Venant N4+ poteau	558.13	
	N3Plancher étage	13.77	
	GP.TOT	20.61	
	Total	592.51	101.5
N5+ Poteau	Venant N5	592.51	101.0
(40×45)	Poteau (40×45)	13.77	
(1015)	Total	606.28	
	Venant N5+ poteau	606.28	
N6	Plancher étage	78.01	
	GP.TOT	20.61	
	Total	704.9	112.38
N6+poteau (45×50)	Venant N6	704.9	
•	Poteau (45×50)	17.21	
	Total	722.11	
N7	Venant N6+ poteau	722.11	
	Plancher étage	78/01	
	GP.TOT	20.61	
	Total	820.73	122.59
N7+poteau (45×50)	Venant N7	820.73	
	Poteau (45×50)	17.21	
	Total	837.94	
N8	Venant N7+ poteau	837.94	
	Plancher étage	78.01	
	GP.TOT	20.61	
	Total	936.56	132.82
N8+poteau (50×55)	Venant N8	936.56	
	Poteau (50×55)	21.03	
	Total	957.59	

Les sommes des charges permanant :  $G_{TOT} = 957.59 \text{ KN}$ .

Les sommes des charges D'exploitation : Q<sub>TOT</sub> =132.82 KN.

## II.5.2 Vérification de la section de poteau :

Selon le CBA93 (article B.8.11) [2] on doit majorer pour les poteaux centraux dans le casd'un bâtiment à deux travées l'effort de compression ultime Nu à 15% telle que :

$$Nu = 1.35 G + 1.5 Q$$

$$Nu = 1.35 \times 957.59 + 1.5 \times 132.82 = 1491.97 \text{ KN}$$

$$Nu^* = 1.15 x (1.35 G + 1.5 Q)$$

Nu\* =1.15 
$$(1.35 \times 957.59 + 1.5 \times 132.82) = 1715.77 \text{ KN}$$

Donc:  $Nu^* = 1715.77 \text{ KN (pour le poteau } (50 \times 55)$ 

L'effort normal agissant ultime Nu d'un poteau doit être au plus égale à la valeur suivante

$$N_u \le \bar{N} = \alpha \left[ \frac{B_r \times f_{c28}}{0.9 \times \gamma_b} + \frac{f_e}{\gamma_s} \times A_S \right]$$

 $\alpha$ : est un coefficient fonction de l'élancement mécanique  $\lambda$ .

 $\lambda$ : élancement d'EULER.

$$\lambda = \frac{L_f}{i}$$
  $\lambda = \max(\lambda_x, \lambda_y)$  avec:

$$\lambda_{x} = \sqrt{12} \times \frac{L_f}{b}$$
 et  $\lambda_{y} = \sqrt{12} \times \frac{L_f}{h}$ 

L<sub>f</sub>: Longueur de flambement L<sub>f</sub> =  $0.7 \times L_0$ 

i : Rayon de giration  $\mathbf{i} = \sqrt{\frac{I}{B}}$ 

I: Moment d'inertie de la section par rapport à l'axe passant par son centre de gravité et perpendiculaire au plan de flambement  $I = \frac{b \times h^3}{12}$ 

$$\lambda_{\rm X} = \sqrt{12} \times \frac{L_f}{h} = \sqrt{12} \times \frac{0.7 \times 3.06}{0.5} = 14.84$$

$$\lambda_{y} = \sqrt{12} \times \frac{L_f}{h} = \sqrt{12} \times \frac{0.7 \times 3.06}{0.55} = 13.4$$

$$\lambda = 14.84 < 50 \ \alpha = \frac{0.85}{1 + (\frac{\lambda}{35})^2} = \frac{0.85}{1 + (\frac{14.84}{35})^2} = 0.82$$

 $B_r$ : est la section réduite du poteau obtenue en déduisant de sa section réelle 1 cmd'épaisseur sur tout son périphérique.

$$B_r = (h - 0.2) (b - 0.02)$$

$$B_r = (0.55 - 0.2) (0.5 - 0.02)$$

$$B_r = 0.254 \text{ m}^2$$

A : est la section d'acier comprimé prise en compte dans le calcul.  $A = max (A_{BAEL};)$ 

#### • Selon BAEL

 $A_{BAEL} = max (4 \text{ cm}^2/\text{m de périmètre}, 0.2\% \text{B}).$ 

$$A_{BAEL} = \max (4 \times (0.5 + 0.55) \times 2; 0.2 \times \frac{50 \times 55}{100}) = \max (8.4; 5.5)$$

$$A_{BAEL} = max (8.4; 5.5) \quad donc : A_{BAEL} = 8.4 \text{ cm}^2$$

### • Selon RPA 99 / 2003

 $A_{RPA} = 0.8\%B$  (zone $II_a$ )

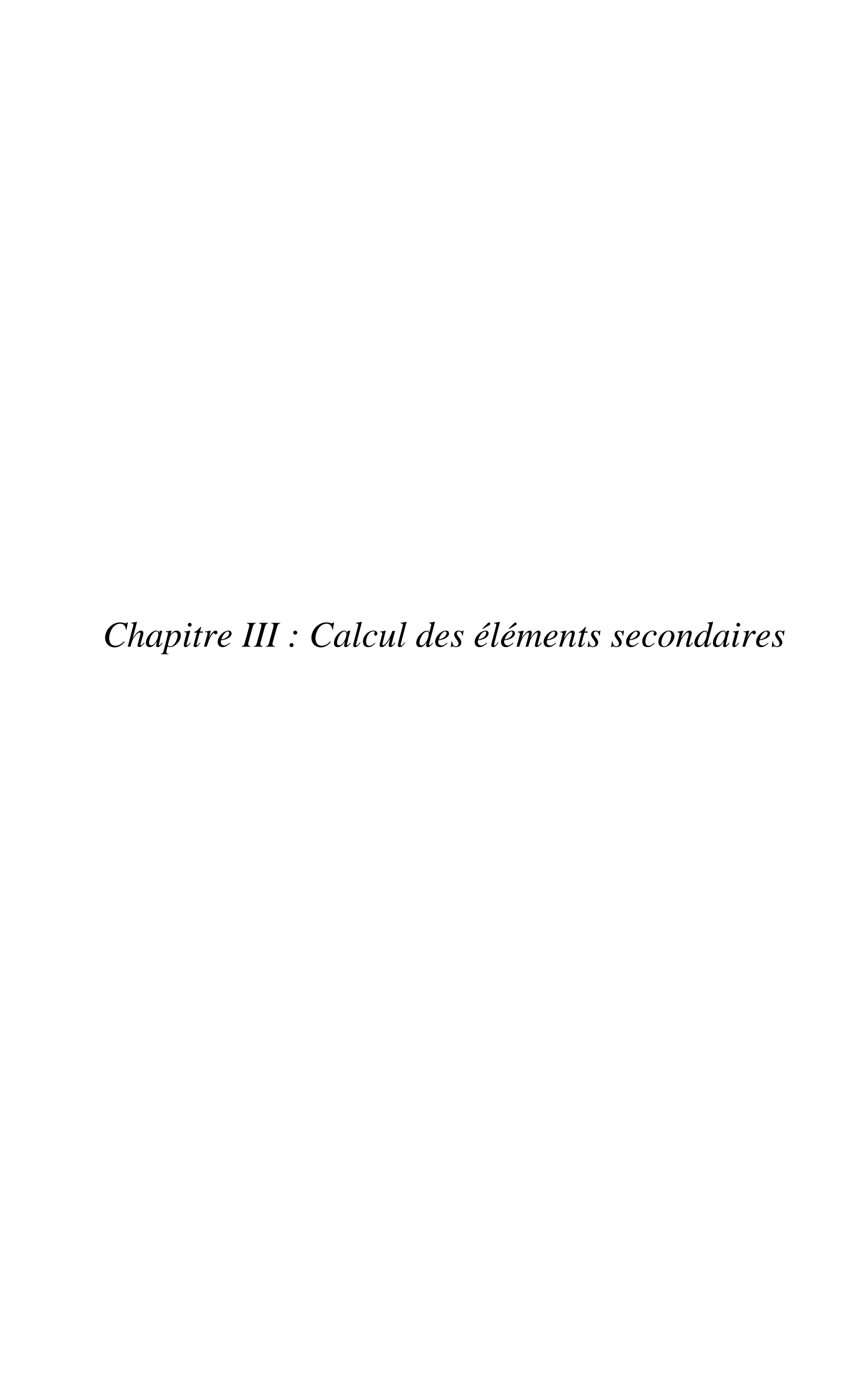
$$A_{RPA} = 0.8 \times \frac{50 \times 55}{100} = 22 \text{ cm}^2 \text{ donc} : A_{RPA} = 22 \text{ cm}^2$$

Tableau II. 11: Résultats des vérifications au flambement

Poteau	Nu* (KN)	A	$A_{min}^{BAEL}$ (cm <sup>2</sup> )	$A_{min}^{RPA}$ (cm <sup>2</sup> )	A (cm²)	Br (m²)	N (KN)	Condition
50x55	1715.77	0.82	8.4	22	22	0.254	4484.51	CV
45x50	1512.37	0.81	7.6	18	18	0.206	3597.13	CV
40x45	1116.34	0.80	6.8	14.4	14.4	0.163	2815.51	CV
35x40	818.33	0.79	6	11.2	11.2	0.125	2136.46	CV
30x35	415.07	0.77	5.2	8.4	8.4	0.092	1536.82	CV

### II.6 Conclusion:

Cette étape représente le point de départ et la base de la justification à la résistance, la stabilité et la durabilité de l'ouvrage, nous a permis d'avoir une idée sur les dimensions des éléments structuraux afin d'éviter un surdimensionnement d'acier et du béton.



### III.1 introduction:

Dans toute structure on distingue deux types d'éléments :

Les éléments porteurs principaux qui contribuent aux contreventements directement.

Les éléments secondaires qui ne contribuent pas aux contreventements directement.

Ils peuvent être en maçonnerie (cloisons, murs extérieurs etc. ...) ou en bétonarmé (acrotère, balcon, escalier .....Etc.).

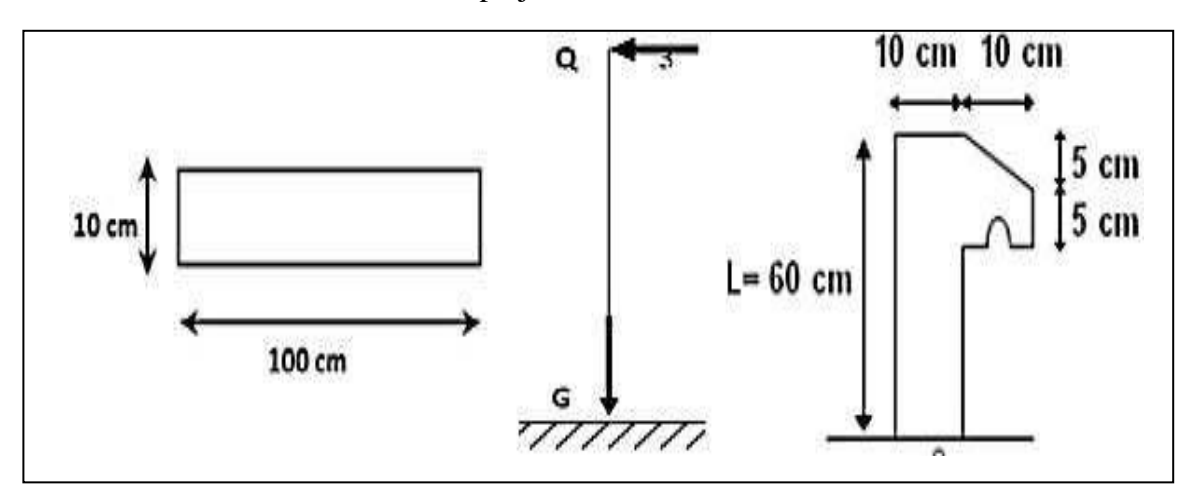
Dans ce chapitre on va calculer des éléments ci-après :

- Acrotère. - dalle pleine.

Escalier. - balcon.Plancher. - ascenseur.

### III.2 Acrotère:

L'acrotère est un élément non structural entourant le bâtiment au niveau du plancher terrasse. Il forme une paroi contre toute chute. Il est considéré comme une console encastrée au plancher terrasse, soumis à son Poids propre(G) et une surcharge horizontale (Q) due à la main courante. Le calcul s'effectue pour une bande de 1m Linéaire en flexion composée et la fissuration est considérée comme préjudiciable car l'acrotère est soumis aux



intempéries. Dans ce cas le calcul se fera à l'ELU et à l'ELS.

Figure III.1 : schéma réel et statique de l'acrotère:

## III.2.1 Evaluation des charges :

-La surface :  $S = 0.0675 \ m^2$ 

-Poids propre: G=  $\gamma_{b\acute{e}ton} \times S=25 \times 0.0675 = 1.68 \text{ KN / ml}$ 

-La charge due à la main courante : Q=1KN

-La force sismique horizontale Fp qui est donnée par la

formule:

 $Fp = 4 \times A \times Cp \times Wp (RPA99/V2003 Art 6.2.3)$ 

Avec:

A= 0,15 Coefficient d'accélération en fonction de la zone (groupe d'usage 2, zone IIa).

Cp= 0,8 Facteur de force horizontale.

W<sub>P</sub>: Poids total de l'acrotère.

 $W_P = 1.7 \text{ kn/ml}$ 

Donc:  $Fp = 4 \times 0.15 \times 0.8 \times 1.7 = 0.816 \text{ KN}$ 

 $F_p \le 1.5Q$ ;

**■ ELU**:

 $N_u = 1,35 \times G =$ 

2.295 KN/ml

 $M_u = 1.5 \times Q \times h = 0.9$ 

KN.m

■ <u>ELS</u>:

 $N_{ser} = G = 1.7 \text{ KN/ml}$ 

 $M_{ser} = Q x h = 0.6$ 

KN.m

### III .2.2 Calcul du ferraillage :

> ELU:

Calcul de l'excentricité :

$$e = \frac{Mu}{Nu} \rightarrow e = 0.9 / 2.295 \rightarrow e =$$

0.392m

$$\frac{h}{6}$$
 = 10/6= 1.67 cm = 0.016m

e >  $\frac{h}{6}$   $\rightarrow$  La section est partiellement comprimée, parce que le centre de pression est appliqué à l'extérieur du noyau central.

### a. Ferraillage longitudinales:

<u>Le moment au centre de gravité</u> :  $M_a = N_u \times e_a$ 

$$e_a = e + d - h/2 = 0.392 + 0.09 - (0.1/2) = 0.432 \text{ m}$$

$$M_a = 2.295 \times 0.432 = 0.991 \text{ KN.m}$$

#### Moment réduit :

$$\mu_{bu} = \frac{M}{b \times d^2 \times f_{b0}}$$

$$\frac{0.000991}{1 \times 0.09^2 \times 14.17} = 0.0086$$

$$d = 0.9h = 0.9 \times 0.1 = 0.09 \text{ m}$$

$$\mu_l = 0.8 \ \alpha_1 \ (1-0.4 \ \alpha_1) \Rightarrow \mu_l = 0.392$$

$$\mu_{ub} = 0.0086 < \mu_l = 0.392$$

Donc:

les armatures comprimées ne sont pas nécessaire ( $A_s=0$ ).

La section est à simple armature.

$$\alpha$$
= 1,25  $(1-\sqrt{1-2\mu}) \rightarrow \alpha$  =1,25  $(1-\sqrt{(1-2(0.0086)}=0.01075)$ 

$$Z=d(1-0.4\alpha)=0.09(1-0.4\times0.01075)=0.0896$$

$$A_{\rm u} = \frac{M_{\rm u}}{Z \, \sigma_{\rm s}} = \frac{0.991 \times 10^{-3}}{0.0896 \times 348} = 3.17 \times 10^{-5} \, m^2 = 0.31 \, cm^2$$

- Détermination de la section des armatures à la flexion composée :

N est un effort de compression

$$A_s = A_u - \frac{N_u}{\sigma_{st}} = 3.17 \times 10^{-5} - \frac{2.295 \times 10^{-3}}{348} = 2,51 \times 10^{-5} \text{m}^2$$

$$A_s = 0.251 \text{ cm}^2$$

### -La condition de non fragilité :

A<sub>min</sub>= 0,23× b×d× 
$$\frac{f_{t28}}{400}$$
 =0,23×1×0,09×2,1/400 = 1,0867×10<sup>-4</sup>  $m^2$ 

$$A_{\min} = 1,086 \ cm^2$$

Les choix est de :  $4T8 = 2,01 \text{ cm}^2$  espacée de 25 cm.

### b. Les armatures de répartition :

$$Ar = \frac{A_{St}}{4} = \frac{2.01}{4} = 0,502 \ cm^2$$

On prend :  $4T6 = 1.13 \text{ cm}^2 \text{ et (S}_t = 15 \text{ cm)}$ 

### > ELS:

#### Calcul de l'excentricité :

$$e = Ms / Ns = 0.6 / 1.7 = 0.35 m$$

$$\frac{h}{6}$$
 = 10/6= 1.67 cm =0.0167cm

 $e > \frac{h}{6} \rightarrow La$  section est partiellement comprimée

Dans le béton : on doit vérifier que :  $\sigma_{bc} \le \overline{\sigma_{bc}} = 0.6 f c_{28} = 15 \text{ MPA}$ 

 $\sigma_{bc}$ : Contrainte maximale dans le béton comprimé (  $\sigma_{bc}$  = KY)

K=
$$\frac{Mser}{I}$$
 Avec:  $I_h = \frac{bys^2}{3} + n$ . As  $(d - ys)^2 + n$  As'  $(ys - d')^2$ 

Y : : position de l'axe neutre

-Position de l'axe neutre y :

$$\frac{b.ys^2}{3}$$
 + n. As  $(d - ys)^2$  + n As'  $(ys - d')^2 = 0$ 

$$\Rightarrow \frac{100}{2} \cdot y_s^2 + 15(2.01) (9 - ) = 0$$

$$\Rightarrow$$
 50.  $y_s^2 + 30.15y_s - 271.35 = 0 \Rightarrow y_s = 2.047$  cm

- Calcul de Moment d'inertie I :

$$I_h = \frac{b.ys^2}{3} + n. A_s (d - ys)^2 + n A_s' (ys - d')^2$$

$$\Rightarrow I_h = 100(2.047)^3 / 3 + 15(2.01)(9 - 2.047)^2$$

$$\Rightarrow I_h = 285.911 + 1457.577 \Rightarrow I_h = 1743.48cm^4$$

On doit vérifier : 
$$\sigma_{bc} \le \overline{\sigma_{bc}} \Rightarrow \frac{0.6 \times 10^6}{1743.48 \times 10^4} \times (20.47) = 0.70 \text{ MPA} \le 15 \text{ MPA}...\text{cv}$$

**Dans l'acier** : On doit vérifier  $\sigma < \sigma_s = 201.63$  MPa

On a:

$$\sigma_s = \eta$$
. K(d – y) = 15×0.034(90-20.47)

= 35.46 MPA < 201.63 *MPA*.....Condition vérifiée

### • Vérification au cisaillement :

$$\overline{\tau}_{\rm u} = \min (0.15 \, \frac{f_{c28}}{\gamma b} \, .4 \, \text{MPa}) = 2.5 \, \text{MPa}$$

$$V_u = 1.5 \times Q = 1.5 \text{ KN/ml}$$

$$\tau_{\rm u} = \frac{{\rm Vu}}{b_0 \times d} = \frac{1.5}{1 \times 0.09} = 0.017$$
 MPa

$$\tau_u < \ \overline{\tau}_u \ \Rightarrow$$

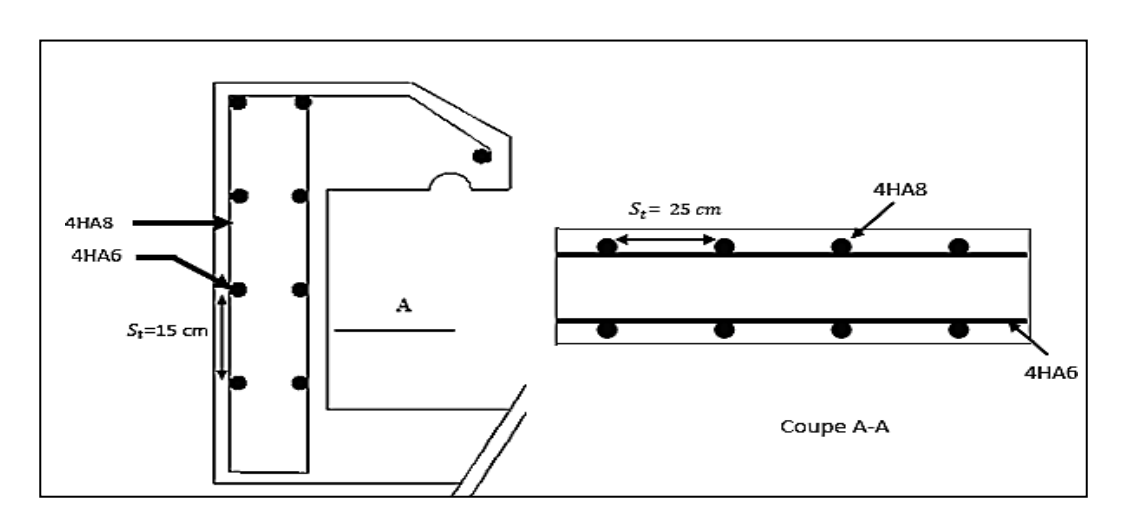


Figure III. 2 : Schéma de ferraillage d'un acrotère.

### III.3 les escaliers:

Un escalier est une suite de plans horizontaux disposés en gradins, afin de permettre aux

Usagers du bâtiment de se déplacer à pied d'un niveau à un autre.

## III.3.1 définition des éléments d'un escalier :

La montée : est la hauteur à gravir, elle est en général égale à une hauteur d'étage.

La marche : est le plan horizontal sur lequel se pose le pied.

La hauteur de marche : est la différence du niveau entre deux marchessuccessives (h)

La contre marche: est le plan vertical situé entre deux marches successives.

Le nez de marche: est l'arête qui limite l'avant du plan d'une marche.

**Le giron**: est la distance horizontale entre 2 nez de marches successifs ou entre 2 contre marches successives (g).

Une volée: est un ensemble continu de marches situé entre deux paliers successifs.

Un palier : est une plate-forme horizontale de repos entre deux volées.

**L'emmarchement** : est la longueur d'une marche.

La ligne de jour : est la plus courte des deux lignes conventionnelles qui passent par les nez de marches aux extrémités des marches.

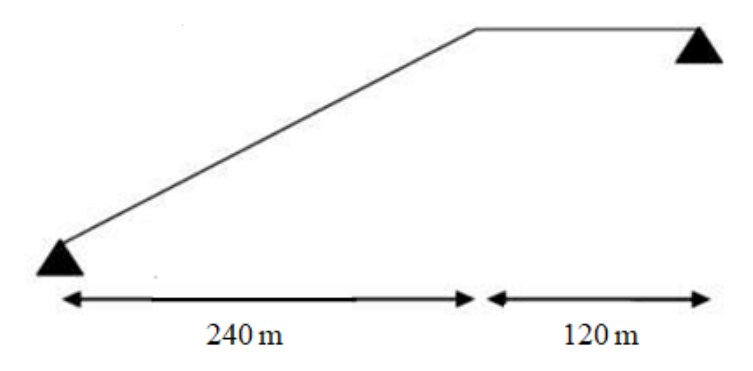
La ligne de foulée: est une ligne conventionnelle qui passe par le nez de marches.

L'échappée : est distance verticale entre les nez de marches.

La paillasse : est la dalle inclinée en béton armé qui porte les marches d'un escalier.

## III.3.2 schéma statique:

## a) Étage courant :



## III.3.3 charge et surcharge :

Paillasse : 
$$\begin{cases} G1=8.571 \text{ kn/m}^2\\ Q1=2.5 \text{ kn/m}^2 \end{cases}$$

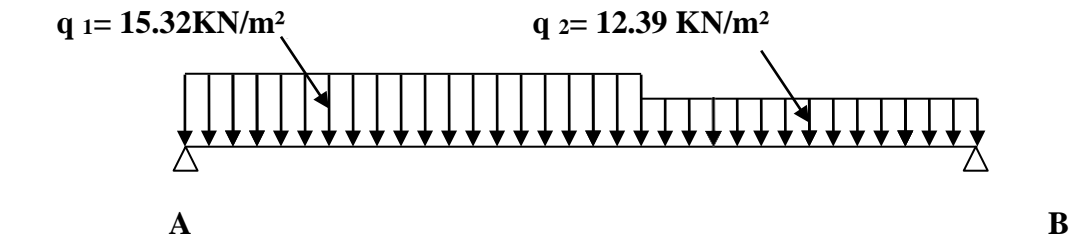
Palier: 
$$\begin{cases} G2 = 6.4 & kn/m^2 \\ Q2 = 2.5 & kn/m^2 \end{cases}$$

## III.3.4 combinaison des charges :

Tableau III. 1: calcul de la combinaison des charges.

	ELU	ELS	
Eléments	$q_u = 1.35G + 1.5Q(KN/m^2)$	$q_{ser} = G + Q(KN/m^2)$	
Palier	12.39	8.9	
Paillasse	15.320	11.071	

### III.3.5 calcul des sollicitations:



#### a. Calcul des réactions :

### > ELU:

$$\sum M/A = 0 \implies 3.60 R_B = \left(15.32 \times \frac{2.4^2}{2}\right) + (12.39 \times 1.20) \left(2.4 \times \frac{1.2}{2}\right)$$
  
 $\Rightarrow R_B = 24.646 \text{KN}.$ 

$$\sum F_{\nu} = 0 \Rightarrow R_A + R_B = (15.32 \times 2.4) + (12.39 \times 1.20)$$
  
 $\Rightarrow R_B = 26.984 \text{ KN}.$ 

#### > ELS:

$$\sum M/B = 0 \Rightarrow 3.60R_{\rm B} = \left(11.071 \times \frac{2.4^2}{2}\right) + \left(8.9 \times 1.2\right) \left(2.4 \times \frac{1.2}{2}\right)$$

$$\Rightarrow R_B = 17.756 \text{ KN}.$$

$$\sum F_v = 0 \Rightarrow R_A + R_B = (11.071 \times 2.4) + (8.9 \times 1.2)$$
  
 $\Rightarrow R_B = 19.494 \text{ KN}.$ 

## b. Calcul des moments et effort tranchant et moment fléchissant:

### > ELU:

## 1. Effort tranchant et moment fléchissant :

Tableau III. 2 : La valeur du moment fléchissant et l'effort tranchant à l'ELU

Distance	Schéma statique	Effort tranchant (T)	Moment fléchissant (M)
$0 \le x \le 2.4$	15.32	$T(x)=R_A-q_1.X$ $T(x)=0 \Rightarrow X = 1.76$ $X=0 \Rightarrow$ $T(x)=R_A = 26.984KN$ $X=(2,4) \Rightarrow$ $T(x)=-9.784 KN$	$M(x)=R_A.X-q_1.x^2/2$ $M(x=1.76)=23.76$ KN.m $M(0)=0$ $M(2,4)=20.64$ KN.m
$2.4 \le x \le 3.6$	15.32  12.39  M(x)  T(x)	$T(x) = R_A-2,4q_1-q_2(x-2,4)$ $X=2,4 \Rightarrow$ T(x)=-9.784  KN $X=3.6 \Rightarrow$ T(x)=-24.652  KN	$M(x)=R_{A}.x-q_{1}.2,4 (x-\frac{2.4}{2})$ $-\frac{(x-2,4)^{2}}{2} q_{2}$ $M(2.4) =20.64 \text{ KN.m}$ $M(3.6) = 0$

## 2. moment en travée :

$$M_t = 0.85 M_0 = 0.85 \times 23.76$$

 $M_t = 20.19 \text{ Kn .m}$ 

## 3. moment sur appuis :

$$M_a = 0.5 M_0 = 0.5 \times 23.76$$

 $M_a = 11.88 \text{ KN .m}$ 

 $\triangleright$  ELS:

## 1. Effort tranchant et fléchissant :

Tableau III. 3 : La valeur du moment fléchissant et l'effort tranchant à l'ELS

Distance	Schéma statique	Effort tranchant (T)	Moment fléchissant (M)
0≤ x ≤ 2.4	11.071 x  T(x)  19.494	$T(x)=R_A-q_1.x$ $T(x)=0 \Rightarrow x = 1.76m$ $X=0 \Rightarrow$ $T(x)=R_A$ $=19.494KN$ $X=(2,4) \Rightarrow$ $T(x)=-7.076 KN$	$M(x) = R_A.x-q_1. \ x^2/2$ $M(x=1.76) = 17.146 \ kN.m$ $M(0) = 0$ $M(2,4) = 14.90 \ KN.m$
2.4≤ x ≤ 3.6	11 <u>.</u> 071  8.9  M(x)  T(x)  19.494	$T(x)=R_A-2,4q_1-q_2(x-2,4)$ $x=2,4 \Rightarrow$ T(x)=-7.076  KN $x=3.6 \Rightarrow$ T(x)=-17.756  KN	$M(x) = R_{A}.x - q_{1}.2,4(x - \frac{2.4}{2})$ $-\frac{(x-2,4)^{2}}{2}q_{2}$ $M(2.4) = 14.90 \text{ KN.m}$ $M(3.6) = 0$

## 2. Moment en travée :

$$M_t = 0.85 M_0 = 0.85 \times 17.146$$
  
 $M_t = 14.574 \text{ KN.m}$ 

### 3. Moment sur appuis :

$$Ma = 0.5 M_0 = 0.5 \times 17.146$$

$$M_a = 8.573 \text{ KN .m}$$

Tableau III. 4: calcules des sollicitations du escalier

Etas	$M_0(\mathbf{KN}.\mathbf{m})$	$M_a=0.5 M_0$	$M_t = 0.85 M_0$	$V_u(\mathbf{KN})$
ELU	23.76	11.88	20.19	26.984
ELS	17.143	8.573	14.574	19.494

> ELU:

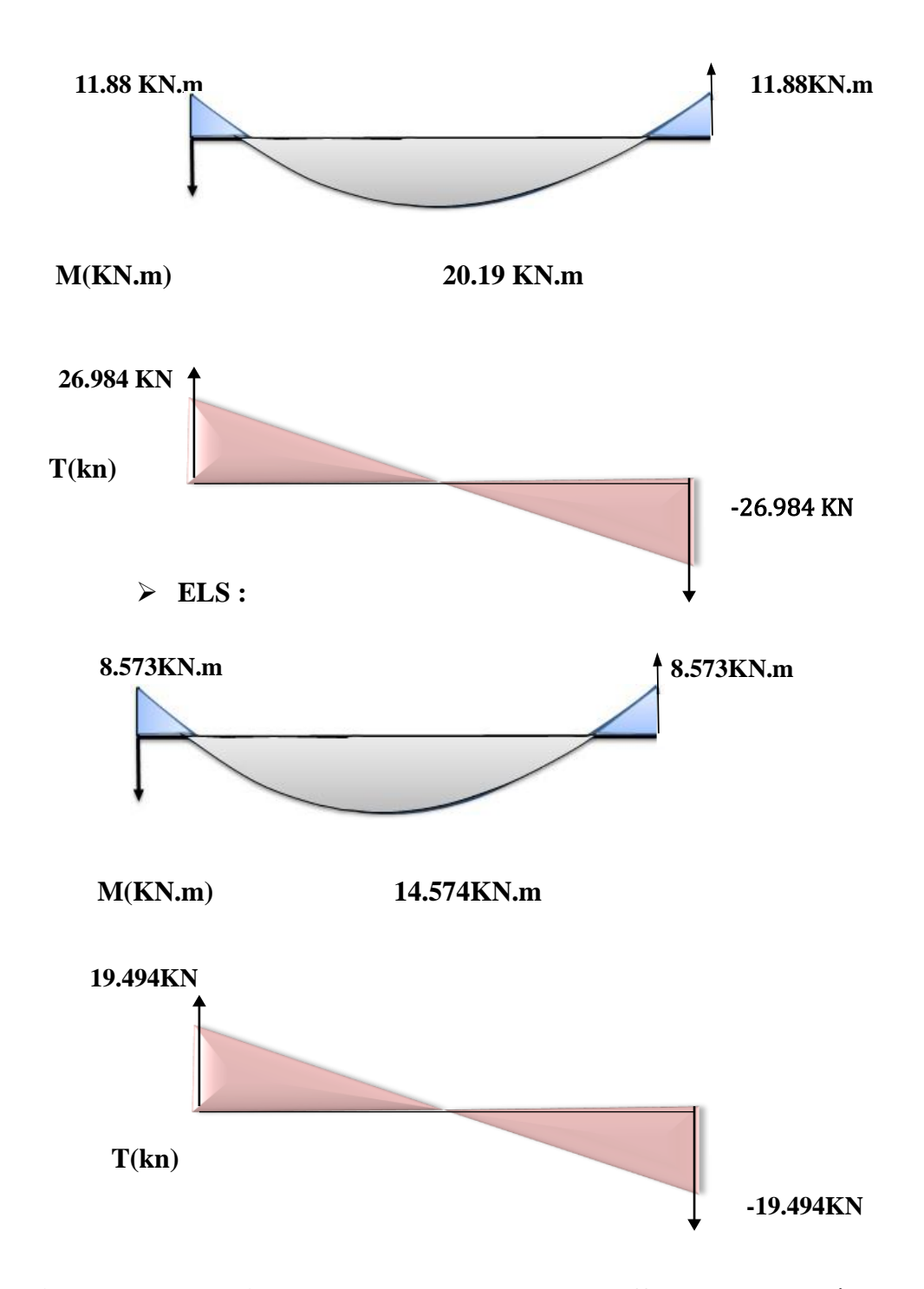
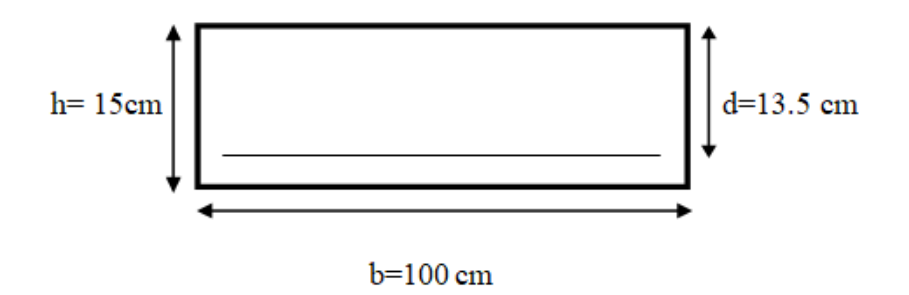


Figure III. 3 : les diagrammes des moments et des efforts tranchants à ELU et ELS

# **III.3.6 Ferraillage:**

Le calcul se fait en flexion simple pour une bande de **1ml.** La fissuration est considéréecomme peu nuisible.



## **ELU**:

$$f_e = 400 \text{ MPa}, f_s = \frac{\text{fe}}{\gamma b} = 348 \text{ MPa}, f_{c28} = 25 \text{MPa}; f_{bu} = 14.2 \text{ MPa}; \mathbf{b_0} = 15 \text{ cm}; \mathbf{c}$$

= 2 cm.

$$\mu_{u} = \frac{M u}{b \times d^{2} \times f bc}$$

$$d = 0.9h = 0.9 \times 15 = 13.5 \text{ cm}$$

$$\mu_{bu} < 0.186 \Rightarrow Pivot A$$

 $\mu_{bu} \le \mu_l = 0.392 \Rightarrow$  Les armatures comprimées ne sont pas nécessaires **A'=0** 

$$\alpha_u = 1.25 \; (1 - \sqrt{1 - 2\mu})$$

$$Z = d (1 - 0.4)$$

Section des armatures :

 $Z \sigma s$ 

Tableau III. 5 : Armatures longitudinale à l'ELU

	$M_u(N.m)$	μ	α	Z (mm)	A cal (cm²)
Travée	20.19	0.078	0.10	129.6	4.47
Appuis	11.88	0.046	0.058	131.8	2.58

# • condition de non fragilité : BAEL91 (art A.4.2,1)

A st (min) 
$$\geq 0.23 \times b \times d \times \frac{f_{t28}}{}$$

Ţ

Donc:  $As = max (A_{min}; A_{calcul})$ 

Tableau III. 6: Armatures longitudinale.

	A <sub>u</sub> (cm <sup>2</sup> )	$A_{min}(cm^2)$	$A_{max}(cm^2)$	A <sub>adp</sub> (cm <sup>2</sup> )
Travée	4.47	1.63	4.47	5HA12=5.65
Appuis	2.58	1.63	2.58	4HA10=3.14

# • les armatures de répartitions :

$$A_r = \frac{A_s}{4}$$
.

Tableau III. 7 : Armatures de répartitions.

Elément	A <sub>s</sub> (cm <sup>2</sup> )	A <sub>r</sub> (cm <sup>2</sup> )	A <sub>adp</sub> (cm²)
Travée	5.65	1.41	4HA8=2.01
Appuis	3.14	0.79	3HA8=1.51

# Espacement maximale :

# a- Armatures longitudinales:

$$S_t \le \text{Min (3h ; 33cm)} = \text{min (3} \times 15 ; 33cm) = 33cm$$

- Travée :

$$S_t = 20 \text{cm} \le 33 \text{ cm}$$
 condition vérifié.

- Appuis:

$$S_t = 25 \text{ cm} \le 33 \text{ cm}$$
 condition vérifié.

# **b-Armatures répartition :**

$$S_t \le Min (4h ; 45cm) = min (4 \times 15 ; 45cm) = 45cm$$

- Travée:

$$S_t = 25 \text{cm} \le 45 \text{ cm}$$
 condition vérifié.

- Appuis:

$$S_t = 33 \text{ cm} \le 45 \text{ cm}$$
 condition vérifié.

## III.3.7 Vérification à ELS:

$$\frac{b}{2} \times y^2 + h \times A'_s (y - c') - \eta \times A_s (d - y) = 0$$

Avec 
$$\rightarrow \eta = 15$$

$$h \times A'_s(y - c') = 0$$

Travée:

$$\frac{100}{2} \times y^2 - 15 \times A_s(d - y) = 0$$

$$50y^2 + 84.75 y - 1144.125 = 0$$

$$\Delta = b^2 - 4ac$$

$$y = \frac{-84.75 + 485.80}{100} = 4.01cm$$

$$I = \frac{b \times y^3}{3} + \eta \times A_s(d - y)^2$$

$$I = \frac{100 \times 4.01^3}{3} + 15 \times 5.65 (13.5 - 4.01)^2$$

$$I = 9781.967cm^4$$

$$\sigma_b = \frac{14.574 \times 10^3 \times 4.01}{9781.967} = 5.97 MPa < \sigma_b = 15 MPa.$$

Tableau III. 8: Vérification des contraintes à l'ELS.

	M <sub>ser</sub> (KN.m)	$\mathbf{A_s}$	Y (cm)	I (cm <sup>4</sup> )	σ <sub>bc</sub> (MPa)	$\sigma_b \leq \sigma_b$
		(cm <sup>2</sup> )				
Travée	14.574	5.65	4.01	9781.96	5.97	CV
Appuis	8.573	3.14	3.13	6087.13	4.40	

# III.3.8 Vérification de l'effort tranchant : (BAEL91.A.5.1, 1)

$$\tau_{\rm u} \le \overline{\tau}_{\rm u}$$
 
$$\tau_{\rm u} = \frac{{\rm Vu}}{b_0 \times d} = \frac{26.984 \times 10^3}{1000 \times 135} = 0.19 \text{ MPa}$$

# **✓** Fissuration peu nuisible

$$\overline{\tau}_{u} = \min \left\{ 0.2 \times \frac{f_{c28}}{\gamma_{b}}; 5 \text{ MPa} \right\}$$

$$= \min \quad 3.33 \text{MPa}; 5 \text{ MPa}$$

$$\left\{ \overline{\tau}_{u} = 3.33 \text{ MPa} \right\}$$

$$\tau_{u} = 0.19 \text{ MPa} \quad < 3.33 \text{ MPa} \quad \rightarrow \text{cv}.$$

# III.3.9 Vérification de la flèche: BAEL91 (art B.6.5, 1)

Si les trois conditions suivantes de la flèche sont vérifiées, le calcul de la flèche nes'imposera pas : h=0.15; l=3.6;  $A_s=5.65$ ;  $M_t=14.57$ ;  $M_o=17.14$ 

Tableau III. 9 : vérification de la flèche.

Condition	Vérification			
$h_t/l \ge \frac{M}{10M_0}$	0.0416<0.085	non vérifiée		
$h_t/1 \ge \frac{1}{6}$	0.0416 < 0,0625	non vérifiée		
$A_s/b.d \le 4,2 f_e$	0.004 <0,0105	Vérifiée		

Comme les conditions (1) et (2) ne sont pas vérifiées, donc on doit vérifier la condition :

# **\*** Evaluation des flèches (BAEL91 B.6.5, 2):

La part de la flèche totale ft qui doit être comparée aux limites admissibles a pour valeur:

$$\Delta f_{t} = f_{v} - f_{i} \le \bar{f} = \frac{l}{500}$$

Il faut avoir:

 $\bullet \quad \frac{\it l}{\rm 500} \dots L \leq 5m.$ 

Donc:  $f_{adm} = \frac{l}{500}$ 

Avec:

fi: La flèche sous charge de faible durée d'application.

fv : La flèche sous charge de longue durée d'application.

Ei: Module de déformation instantanée du béton.

*Ev* : Module de déformation différée du béton.

 $I_0$ : Moment d'inertie de la section totale homogène.

*I<sub>fi</sub>* , *I<sub>fv</sub>* : Module d'élasticité fictif.

#### Position de l'axe neutre :

$$b \times y^2 - 15(A + A')_1 - 15(d \times A - d' \times A') = 0 \longrightarrow y_1 = 4.01 \text{ cm} > 0....\text{CV}$$

Le moment d'inertie de la section homogène par rapport l'axe neutre

s'écrit:

$$I = \frac{b \times y_1^3}{3} + 15 \times [A \times (d - y_1)^2 + A' \times (y_1 - d^2)]$$

 $I= 9781.96 \text{ cm}^4$ ; d=13.5 cm; h=15 cm;  $As=5.65 \text{ cm}^2$ ; b=100cm;  $f_{t28}=2.1 \text{ MPa}$ .

# **❖** Calcule le moment d'inertie de la section homogène I₀:

$$I_{0} = \frac{bh^{3}}{12} + bh \left[\frac{h}{2} - V\right]^{2} + 15 A_{s} (d - V)^{2}$$

$$V = \frac{\left[\frac{bh^{2}}{2} + 15 A_{s} d\right]}{bd + 15 A_{s}}$$

$$V = \frac{\left[\frac{100 \times 15^{2}}{2} + 15 \times (5.65 \times 13.5)\right]}{100 \times 13.5 + 15 \times 5.65} \rightarrow V = 8.638 \text{cm}$$

$$I_{0} = \frac{100 \times 15^{3}}{12} + 100 \times 15 \left[\frac{15}{2} - 8.638\right]^{2} + 15 \times 5.65(13.5 - 8.638)^{2}$$

$$I_{0} = 32070.79 \text{ cm}$$

## Déformation instantanée :

$$\lambda = \lambda_i = \frac{0.05 f_{t28}}{(2+3\frac{b_0}{b})\rho}$$

$$\rho = \frac{A_s}{b_0 \times d} = \frac{5.65}{100 \times 13.5} = 0.0041$$

$$\lambda_i = \frac{0.05 f_{t28}}{(2+3\frac{b_0}{b})\rho} = \frac{0.05 \times 2.1}{(2+3)0.0041} = 5.121$$

$$\lambda_V = \frac{2}{5} \lambda_i = 2.048$$

$$E_i = 11000\sqrt[3]{f_{c28}} = 32164.2 \text{ MPa}$$

$$E_V = \frac{1}{3} E_i = 10721.4 \text{ MPa}$$

# • qeq Calcul les moments fléchissant à ELS :

Calcul (fi; 
$$f_v$$
):  $q = G$ 

q de palier = 6.04 KN/m Paillasse = 8.571KN/m

$$q_{eq} = \; \frac{8.571 \times 2.4 + 6.4 \times 1.2}{3.6} \; = 7.847 \; KN \; /m$$

$$Ms = 0.85 * M_0$$

$$M_0 = (q*l^2) / 8 = 12.71 \text{KN.m}$$

$$Ms = 10.80KN.m$$

$$\sigma_{s} = \frac{15.M_{s}(d-y)}{l}$$

$$\sigma_{s} = \frac{15 \times 10.80 \times (13.5 - 4.01)}{9781.97}$$

$$\sigma_{s} = 157.16 \text{ MPa}$$

$$\mu = 1 - \left(\frac{1,75 \text{ f}_{t28}}{4 \text{ p+ f}_{t28}}\right) \implies \mu = 0.214$$

$$I_{f} = \frac{1,1 I_{0}}{1 + \lambda \mu}$$

$$I_{fi} = \frac{1,1 I_{0}}{1 + \lambda_{i} \mu} = \frac{1,1 \times 32070.79}{1 + 5.121(0.214)} \implies I_{fi} = 16831.89 \text{ cm}^{2}.$$

$$I_{fv} = \frac{1,1 I_{0}}{1 + \lambda_{v} \mu} = \frac{1,1 \times 32070.79}{1 + 2.048(0.214)} \implies I_{fv} = 24527.95 \text{ cm}^{2}$$

$$f_{i} = \frac{M L^{2}}{10 \times E_{i} \times I_{fi}} = \frac{14.574 \times 10^{6} \times (3.6 \times 10^{3})^{2}}{10 \times 32164.19 \times 16831.89 \times 10^{4}}$$

$$\Rightarrow f_{i} = 3.48 \text{ cm} < f = \frac{l}{500} = 7.2 \text{ cm...cv}$$

$$f_{v} = \frac{M L^{2}}{10 \times E_{v} \times I_{fv}} = \frac{14.574 \times 10^{6} \times (3.6 \times 10^{3})^{2}}{10 \times 10721.4 \times 24527.95 \times 10^{4}} \implies f_{v} = 7.18 \text{ CM}$$

D'après BAEL 91 Article (B.6.5.3):

$$\Delta f_{\rm t} = f_{\rm v} - f_{\rm i} \leq \bar{f} = \frac{l}{500}$$

$$3.7 \le 7.2 \dots CV$$

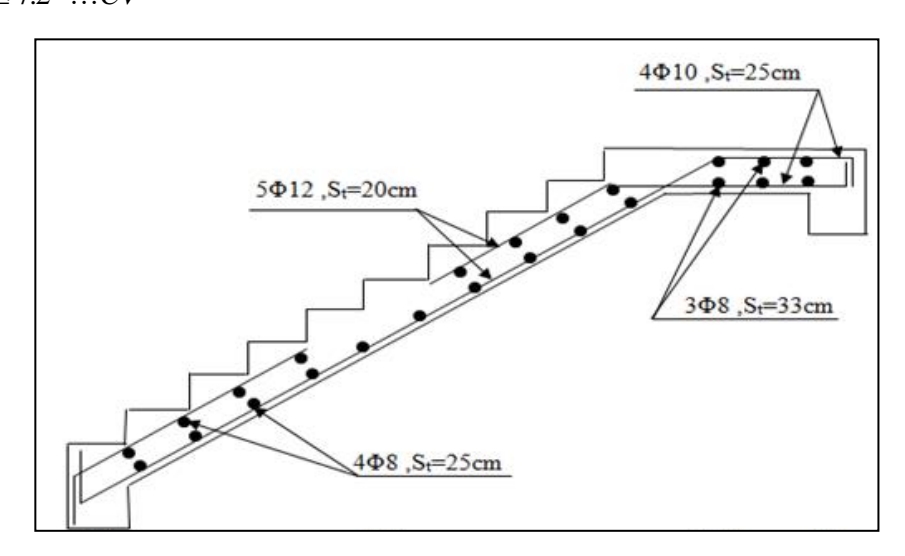


Figure III. 4: Schéma de ferraillage d'escalier

# III.3.10 Etude de la poutre palière :

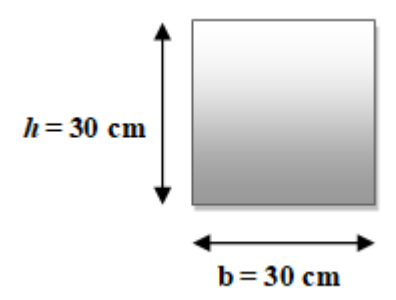
La poutre palière c'est la poutre qui supporte la paillasse d'escalier entre deux niveaux successifs. Elle est de section rectangulaire de dimension (bxh) ; uniformément chargée travaillant à la flexion simple et à la torsion, elle est soumise à :

- Son poids propre « Pp »;
- Poids du mur extérieur « Pm » ;
- La réaction de la volée.

Dans notre cas la poutre ne se trouve pas aux extrémités du palier donc elle ne supporte pas les poids du mur extérieure.

## a) Dimensionnement Moment de Torsion:

Le moment de torsion provoqué sur la poutre palière est transmis par la volée et le palier.



$$\frac{L}{15} \le h \le \frac{L}{10} \quad \Rightarrow \quad \frac{320}{15} \le h \le \frac{320}{10}$$

$$21.33 \le h \le 32 \implies h = 30 \text{ cm}$$

$$0.4h \le b \le 0.8 h$$

$$12 \le b \le 24$$
  $\Rightarrow$   $b = 30 \text{ cm}$ 

Les dimensions des poutres doivent respecter l'article 7.5.1 du RPA99/version 2003 suivant :

# • D'après le RPA

$$b \ge 20cm \Rightarrow b$$

$$=30cm \Rightarrow cvh$$

$$\geq 30cm \Rightarrow h =$$

$$30cm \Rightarrow cv$$

$$1 \le \frac{h}{b} \le 4 \implies \frac{h}{b} = 1 \implies cv$$

On adopte une section de (30\*30)cm<sup>2</sup>

# III.3.11 Evaluation des charges

Poids propre de la poutre g<sub>p</sub>:

 $G_{poutre} = (0.3) \times (0.3) \times 25 = 2.25 \text{ KN/ml}$ 

Calcul de la charge due au poids du mur :

Poids du mur extérieur :  $G = 2.81 \text{ KN/}m^2$ 

$$G_{\text{mur}} = 2.81 \times (3.06 - 0.3) / 2 = 3.88 \text{ KN}$$

Charge permanente du palier de repos :

$$R = \frac{q \times l}{2} KN/m$$

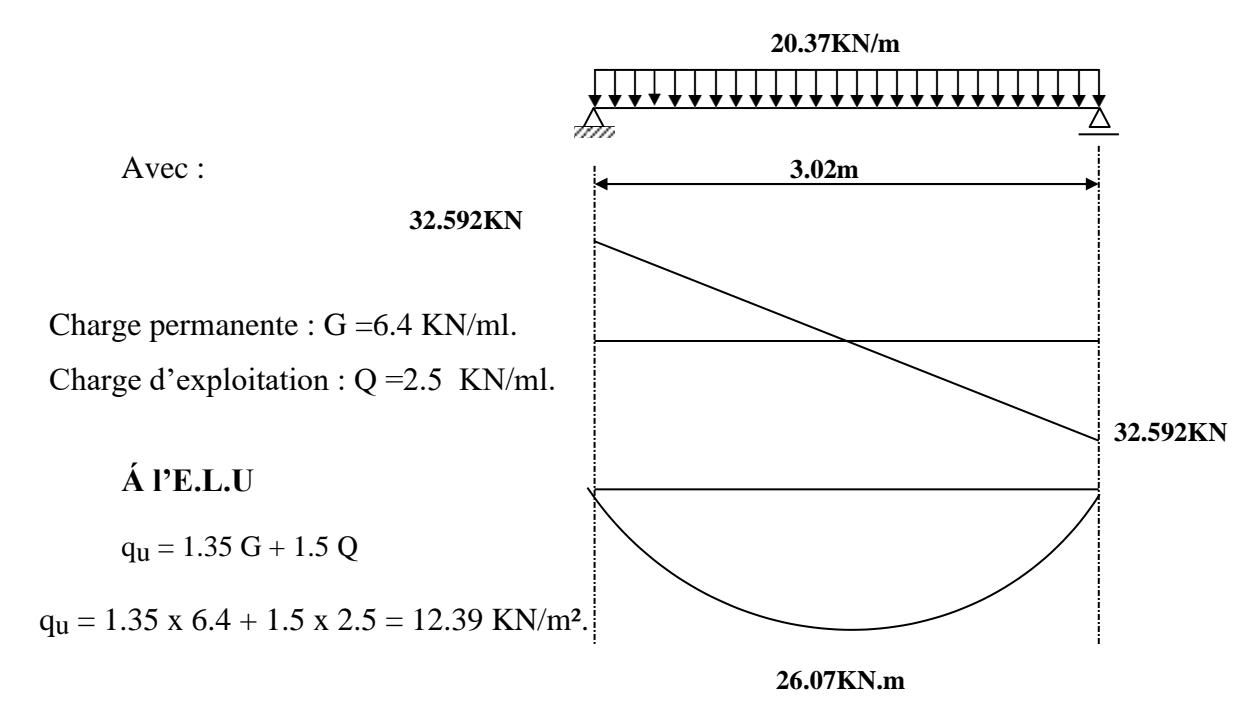


Figure III. 5: Diagrammes desMoments fléchissant et de l'effort tranchant de la palière.

# Á ľE.L.S

$$q_s = G + Q$$
  
 $q_s = 6.4 + 2.5 = 8.9 \text{ KN/m}^2$ 

- Réaction d'escalier ou niveau du palier

## E.L.U:

$$R_{\rm B} = \frac{12.39 \times 3.2}{2} = 19.824 \text{ KN/m}$$

## E.L.S:

$$R_B = \frac{8.9 \times 3.2}{2} = 14.24 \text{ KN/m}$$

- Combinaison à considérer :

# **Let a limite ultime (ELU):**

$$qu = 1.35 \text{ x } (g_{poutre} + g_{mur}) + R_B$$
  
 $qu = 1.35 \text{ x } (2.25 + 3.88) + 19.824 = 28.1 \text{ KN/m}$ 

$$q_u = 28.1 \text{ KN/m}$$

# **\*** Etat limite de service(ELS):

$$qs = (g_{poutre} + g_{mur}) + R_B$$

$$qs = (2.25 + 3.88) + 14.24$$

$$q_S = 20.37 \text{ KN/m}.$$

#### Calcul des moments max et efforts tranchants max

Moment (max) = 
$$\frac{q_e L^2}{8}$$

Effort tranchant (max)=  $\frac{q_e L}{2}$ 

✓ Moment en travée : M<sub>travée</sub>= 0,85M isostatique.

✓ Moment sur appui :  $M_{appui} = 0.5M$  isostatique.

Ce qui donne pour le cas traités les valeurs du tableau suivant :

Tableau III. 10: Les moments et l'effort tranchant

Etas	Qu	M 0	M <sub>t max</sub>	Ma max	T max (KN)	
	(KN/m)	(KN.m)	(KN.m)	(KN.m)		
ELU	28.1	35.968	30.57	17.984	44.96	
ELS	20.37	26.07	22.16	13.035	32.592	

# III.3.12 Ferraillage:

Le calcul de ferraillage se fait en flexion simple, la fissuration est considérée comme peu Préjudiciable, le calcul des armatures se fera uniquement à l'état limite ultime.

✓ **b** : largeur de la section ; b=30 cm.

$$\checkmark$$
 c = c' : enrobage ; c=c'= 2 cm.

✓ 
$$d = 0.9*h$$
: hauteur utile ;  $d = 0.9*30 = 27cm$ .

$$\checkmark \sigma_s = 348$$
MPa.

✓ 
$$f_{bu} = 14,17 \text{ MPa.}$$

# a. Armatures longitudinales:

# a.1En travée:

$$M_t = KN.m$$

$$\mu = \frac{M t}{b \times d^2 \times f bc}$$

$$= \frac{_{30.57\,\times 10^3}}{_{30\times 27^2\ \times 14.17}} =\ 0.098 < \mu_l = \text{0,392} \Rightarrow\ A'_s = \text{0 Section simplement arm\'e}.$$

$$\alpha = 1.25 \; (1 \text{-} \sqrt{1 - 2\mu} \;) = 0.13$$

$$Z = d(1-0.4\alpha) = 0.948$$

$$A = \ \underline{\ \ M\ \mathfrak{u}}$$

$$Z \times d \times \sigma_s$$

$$A_s = 3.43 \text{ cm}^2$$

On prend :  $3HA14 = 4.62 \text{ cm}^2$ 

# a.2 Sur appuis:

$$M_{a} = 17.984 \text{ KN.m}$$

$$\mu = \frac{M a}{b \times d^2 \times f bc}$$

$$=\frac{17.984\times 10^3}{30\times 27^2\times 348}=0.058 \quad <\mu_l=0.392 \Rightarrow \text{ A'}_s=0 \text{ Section simplement arm\'e}.$$

$$\alpha = 1.25 \; (1 \text{-} \sqrt{1 - 2 \mu} \;) = 0.075$$

$$Z = (1-0.4* 0.075) = 0.97$$

$$A_s = \underline{\qquad M_a}$$

$$Z \times d \times \sigma_S$$

$$A_s = \frac{17.984 \times 10^3}{0.97 \times 27 \times 348} = 1.97 \text{ cm}^2$$

On prend :  $3HA12 = 3.39 \text{ cm}^2$ 

#### b. Armatures transversales

$$\phi_{t} \le \min \begin{cases} h/35 = 8.57 \text{ mm} \\ \phi = 12 \text{ mm} \Rightarrow \phi_{t} = 8 \text{ mm} \\ b/10 = 30 \text{ mm} \end{cases}$$

## • Calcul des espacements :

Généralement, si la fissuration n'est pas très préjudiciable et il n'y a pas de reprise de bétonnage on utilise la formule suivante :

$$\frac{A_t}{S_t} \ge \frac{b (\tau_u - 0.3 f_{t28})}{0.8 f_e}$$

$$A_t = 0.003 \text{ .S.b} = 0.003 \times \frac{30}{2} \times 30 = 1.35 \text{ cm}^2$$
 (Minimum de RPA)

Donc on prend  $\phi = 8 \ mm \implies A_t = 3.02 \ cm^2$ 

Par condition:

$$S < \min(\frac{h}{4}; 12\phi_t; 30cm) = 7.5 cm$$
 (zone nodale)

$$S' < \frac{h}{2} = 15 \text{ cm} \text{ (zone courante)}$$

$$S' = 15 \text{ cm}$$

On prend 
$$\begin{cases} S = 7 \text{ cm} & (L_{ZN} = 2 \times h = 60 \text{ cm}) \\ S' = 15 \text{ cm} & (L_{ZC} = 1,35 \text{ cm}) \end{cases}$$

# Vérifications nécessaires :

#### a. Vérification de la contrainte :

Considérons le cas préjudiciable.

#### • En travée :

$$A_s = 4.62$$
  $cm^2$ ;  $M_{ser} = 22.16$  kN.m;

La position de l'axe neutre :

$$(b/2) y^2 - 15A_S (d + y) = 0$$
  $\Rightarrow y = 9.09 \text{ cm}$ 

Le moment d'inertie I :

$$I = (b/3) y^3 + 15A_s (d-y)^2$$
  $\Rightarrow I = 29740.12 \text{ cm}^4$ 

On vérifie que : 
$$\Box_b = \frac{M_{ser}}{l} \ y \le \sigma_{bc}$$
 et  $\sigma_a = n \frac{M_{ser}}{l} \ (d - y) \le \overline{\sigma_a}$ 

$$\sigma_b = \frac{22.16 \times 9.09}{29740.12} \times 10^3 = 6.77 \text{ MPa} \le \overline{\sigma_{bc}} = 15 \ MPa \implies \text{OK}$$

$$\sigma_a = 15 \frac{22.16}{29740.12} (27 - 9.09) \times 10^3 = 200.1 \ MPa \le \overline{\sigma_a} = 201.63 \ MPa \implies \text{OK}$$

# • Sur appuis:

$$A_s = 3.39 \ cm^2; M_{ser} = 13.035 \ kN.m$$

# La position de l'axe neutre :

$$(b/2) y^2 - 15A_S (d + y) = 0$$
  $\Rightarrow y = 8.02 \text{ cm}$ 

## Le moment d'inertie I :

$$I = (b/3) y^3 + 15A_s (d-y)^2 \implies I = 23476.72 cm^4$$

On vérifie que : 
$$\Box_b = \frac{M_{ser}}{I} \ y \le \overline{\sigma_{bc}}$$
 et  $\sigma_a = n \frac{M_{ser}}{I} \ (d - y) \le \overline{\sigma_a}$ 

$$\sigma_b = \frac{13.035 \times 8.02}{23476.72} \times 10^3 = 4.45 \text{ MPa} \le \overline{\sigma_{bc}} = 15 \ MPa \implies \text{OK}$$

$$\sigma_a = 15 \frac{13.035}{23476.72} \ (27 - 8.02) = 158.07 \ MPa \le \overline{\sigma_a} = 201.63 \ MPa \implies \text{OK}$$

## b. Vérification de la condition de non fragilité :

$$A_s \ge A_s^{min} = 0.23b \ d \ \frac{f_{t28}}{f_e}$$

$$A_s = \min \left\{ A_s^t ; A_s^a \right\} = A_s^a = 3.39 \ cm^2$$

$$\Rightarrow A_s^{min} = 0.23 \times 30 \times 27 \times \frac{2.1}{400} = 0.97 \ cm^2 < A_s = 3.39 \ cm^2 \Rightarrow 0 \ K$$

#### c. Vérification de la flèche :

On doit vérifier dans les deux sens

$$\frac{h}{L} \ge \frac{1}{16} \Rightarrow \frac{0.3}{3.2} = 0.093 > \frac{1}{16} = 0,0625 \Rightarrow 0K$$

$$\frac{A_S}{b_0 d} \le \frac{4.2}{f_e} \Rightarrow \frac{4.62}{30 \times 27} = 0.0057 \le \frac{4.2}{f_e} = 0,0105 \Rightarrow 0K$$

$$\checkmark \frac{h}{L} \ge \frac{M_t}{10M_0} \Rightarrow \frac{0.3}{3.2} = 0.093 \ge \frac{30.57}{10 \times 35.969} = 0.085 \Rightarrow OK$$

# d. Vérification de la contrainte de cisaillement (effort tranchant) :

Il faut vérifier que :

$$\tau_u \leq \overline{\tau_u}$$
 
$$\tau_u = \frac{Tu}{b \; d}$$

• Fissuration peu nuisible

$$\begin{split} \overline{\tau}_{u} &= \min \left\{ 0.2 \times \frac{f_{c28}}{\gamma_{b}} \; ; \; 5 \; \text{MPa} \; \right\} \\ &= \min \left\{ \; 3.33 \, \text{MPa} \; ; \; 5 \; \text{MPa} \; \right\} \\ \overline{\tau}_{u} &= \; 3.33 \; \text{MPa} \\ T_{a} &= \; 32.592 \; \text{KN} \; \; ; \; b = \; 30 \; \text{cm} \; ; \; \; d = \; 27 \; \text{cm} \\ \tau_{u} &= \; \frac{32.592 \times 10^{3}}{300 \times 270} \; = \; 0.402 \; \text{MPa} \; < \; 3.33 \, \text{MPa} \; \rightarrow \; \text{cv}. \end{split}$$

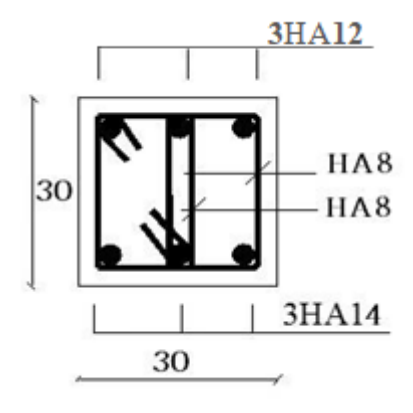


Figure III. 6 : Ferraillage de poutre palière.

# III.4 Calcul des balcons:

Le balcon est constitué d'une dalle pleine encastré dans les poutres, l'épaisseur est conditionnée par :  $L/35 < e < L/30 \Rightarrow$  avec L = 1.2 m  $3.42 \le e \le 4$  on prend : e = 15 cm.

Avec des considérations pratiques (expérience) ; on a vu que l'épaisseur ainsi obtenue n'est pas plus pratique alors on doit major---er à : e = 15 cm. Les balcons sont des éléments décoration dans les bâtiments, ils sont calculés comme desconsoles encastrées.

# • 1<sup>er</sup> type : Balcon encastré sur 1 seul sens (console)

$$L_x = 1.2m$$
 $L_y = 4.20$ 

$$\rho = \frac{L_x}{L_y} = \frac{120}{420} = 0.311$$

 $\rho = 0.28 < 0.4$  La dalle travaille dans un seul sens (comme une console) 168.75

# • Evaluation des charges :

$$G = 5.33 \text{ KN/m}^2$$

$$\mathbf{Q} = 3.5 \text{ KN/m}^2$$

Pour 1 ml:

G = 5.33 KN/m

Q = 3.50 KN/m

P = 1 KN

Le calcul peut se fait pour une bande de 1m.

## III.4.1 Sollicitations 1:

Puisque le balcon est exposé aux intempéries, donc le calcul se fera à L'E.L.S.

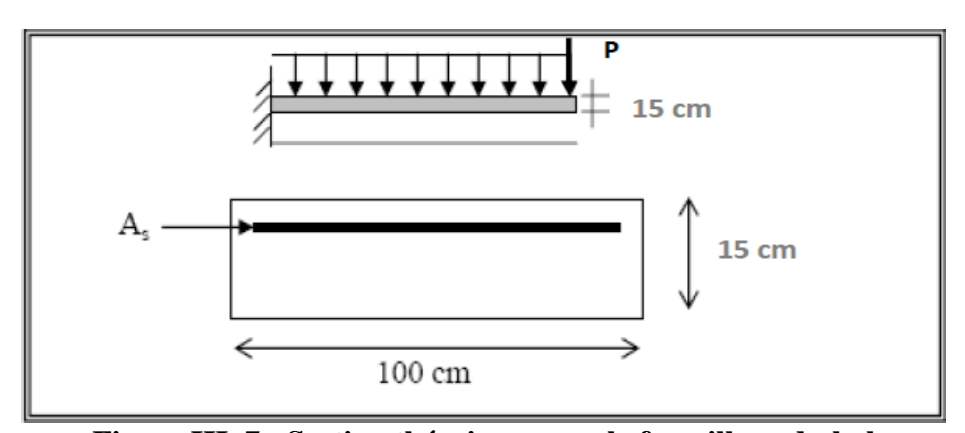


Figure III. 7 : Section théorique pour le ferraillage du balcon.

## • Combinaisons:

$$q_u = (1,35G+1,5Q) * 1$$
  
 $q_u = (1,35\times5.33+1,5\times3,5)* 1= 12.445 \text{ KN/m}$   
 $P_u = 1,35\times P$   
 $P_u = 1,35\times1 = 1,35 \text{ KN}$   
**b/ E.L.S**  
 $q_S = (G+Q) *1 = (5.33+3,5) *1 = 8.83 \text{ KN}$   
 $P_S = P = 1 \text{KN}$ 

## • Calcul des sollicitations :

# a/E.L.U

$$M_u = \frac{q_u L^2}{2} + P_u \times L$$
 $M_u = \frac{12.445 \times 1.2^2}{2} + 1,35 \times 1.2 = 10,580 \text{ KN.m}$ 
 $V_u = q_u L + P_u$ 
 $V_u = 12.445 \times 1,2 + 1,35 = 16.284 \text{ KN}$ 

## b/ELS

$$M_{\rm S} = \frac{q_{\rm S} L^2}{2} + P_{\rm S} \times L$$

$$M_{\rm S} = \frac{8,83 \times 1,2^2}{2} + 1,2 = 7,557 \text{ KN.m}$$

$$V_{\rm S} = q_{\rm S} L + P_{\rm S}$$

$$V_{\rm s} = 8.83 \times 1.2 + 1 = 11.596 KN$$

Le calcul des armatures se fait à la

flexion simple :

$$d = 0.9 h = 13.5 cm$$

$$M_u$$
= 10,580 KN.  $m$ 

$$\mu_{bu} = \frac{Mu}{h \times d^2 \times fbc}$$

$$\mu_{b~u} = \frac{10,58 \times 10^{-3}}{1 \times 0.135^2 \times 14.17}$$

 $\mu_{bu}=0.040<\mu_l=0.392\Rightarrow$  (les armatures comprimée ne sont pas nécessaires).

$$\alpha = 1.25 (1 - \sqrt{1 - 2\mu_{bu}}) = 0.051$$

$$Z= d \times (1-0.4\alpha) = 0.132 \text{ m}$$

$$A_s = \frac{M_t}{M_t}$$

$$Z \times \sigma_S$$

$$A_{s} = \frac{10,58 \times 10^{-3}}{0.132 \times 348}$$

$$A_s = 2$$
 ,  $3\ 0\ c\ m^2$ 

# Condition non fragilité:

$$A_{\min} \ge 0.23b \ d \ \frac{f_{t28}}{f_e}$$

$$A_{min} \ge 0.23 \times 100 \times 13.5 \times \frac{2.1}{400}$$

$$A_{min} = 1.630 \text{ cm}^2$$

Soit : 
$$3HA12 (Au = 4.52 cm^2)$$

## **Espacement:**

$$\delta_t \leq \min(3 \times h; 33cm)$$

$$\delta_t = 33cm$$

# Armature de répartition :

$$A_r = \frac{A_s}{4}$$
.

$$A_r = \frac{4,52}{4} = 1,13 \text{ cm}^2$$

Soit :  $3HA8 (As = 1.51 cm^2)$ 

- Vérification à L'ELU:
- Vérification des contraintes de cisaillement

$$\tau_u \leq \ \overline{\tau}_u$$

$$\tau_{\rm u} = \frac{{\rm Vu}}{b_0 \times d} = \frac{16,284 \times 10^3}{1000 \times 135} = 0,12 \text{ MPa}$$

# ✓ Fissuration préjudiciable

$$\overline{\tau}_{u} = \min \left\{ 0.15 \times \frac{f_{c28}}{\gamma_{b}} ; 4 \text{ MPa} \right\}$$

$$= \min \left\{ 2.5 \text{MPa} ; 4 \text{ MPa} \right\}$$

$$\overline{\tau}_{u} = 2.5 \text{ MPa}$$

$$\tau_{u} = 0.12 < 2.5 \text{MPa} \rightarrow \text{cv}.$$

Pas de risque de rupture par cisaillement.

## **Vérification des contraintes :**

$$\sigma_{b} = \frac{\textit{Mser}}{\textit{I}} \ \textit{y} \leq \ \ \ \overset{-}{\sigma_{bc}}$$

Position de l'axe neutre :

$$\frac{b}{2}\times y^{2}+\eta\times A_{s}^{\prime}\left( y-c^{\prime}\right) -\eta\times A_{s}(d-y)=0$$

$$50 \times y^2 + 15(13,5 - y) \times 0 - 15(13,5 - y) \times 3.39 = 0$$

$$Y = 3,23cm$$

#### Moment d'inertie :

$$I = \frac{b \times y_1^3}{3} + \eta [A \times (d - y_1)^2 + A' \times (y_1 - d^2)]$$

$$I = \frac{100 \times 3,23^3}{3} + 15 \times 3.39 \times (13.5 - 3.23)^2$$

$$I = 6486.57 \ cm^4$$

$$\sigma_b = \frac{7.557 \times 10^3 \times 3.23}{6486.57} = 3.76 \ \textit{MPa} < \bar{\sigma}_b = 15 \ \text{MPa} \ . \ \text{cv}$$

## La contraint dans l'acier :

$$\sigma_{st} \leq \overline{\sigma_{st}}$$

$$\overline{\sigma_{st}} = \min(\frac{2}{3}f_e; 110\sqrt{\eta f_{t28}})$$

$$\overline{\sigma_{st}} = \min(\frac{2}{3}400; 110\sqrt{1,6 \times 2,1})$$

$$\overline{\sigma_{st}} = \min(266, 67; 201, 63)$$

$$\overline{\sigma_{st}} = 201.63 MPa$$

$$\sigma_{b} = \frac{15 Mser \times (d-y)}{I}$$

$$\sigma_{b} = \frac{15 \times 7.557 \times 10^{3}(13.5 - 3.23)}{6486.57}$$

$$\sigma_b = 179.47 \text{ MPa}$$

$$\Rightarrow \sigma_{st} \leq \bar{\sigma}_{st}$$
 .....cv

• Vérification de la flèche :

$$\checkmark \quad \frac{h}{L} \ge \frac{1}{16} \Rightarrow \frac{0.15}{1.2} = 0.125 > \frac{1}{16} = 0.0625 \implies OK$$

$$\checkmark \quad \frac{A_s}{b_0 d} \le \frac{4.2}{f_e} \Rightarrow \frac{3.39}{100 \times 13.5} = 0.0025 \le \frac{4.2}{f_e} = 0.0105 \Rightarrow OK$$

$$\checkmark \quad \frac{h}{L} \ge \frac{M_t}{10M_0} \Rightarrow \frac{0.15}{1.2} = 0.125 \ge \frac{10.85}{10 \times 10.85} = 0.1 \Rightarrow OK$$

Les trios condition de la flèche sont vérifier donc le calcul de la flèche ne s'impose pas.

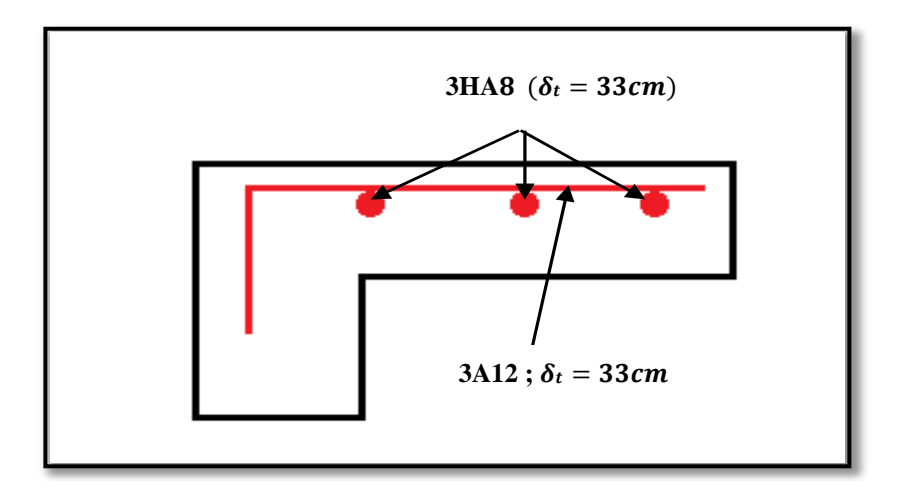


Figure III. 8 : Schéma de ferraillage du balcon Type 1.

• 2ème type : Balcon encastré sur deux sens.

$$L_x = 1,65 m$$
 $L_y = 3.3 m$ 

$$\rho = \frac{L_x}{L_x} = \frac{165}{300} = 0,5$$

 $\rho = 0.5 > 0.4$  donc La dalle portent en deux sens

• Panneau de la dalle :

$$\oint_{\text{max}} \leq \frac{h_d}{10} \implies h_d = 15$$

On prend :  $\phi$ = 12 mm

• Moment sur les panneaux : [[1]; Annexe E3]

$$M_{0X} = \mu_X$$
. p.  $l_X^2$  Suivant la direction  $l_X$ 

 $M_{0y} = \mu_y$ .  $M_{0x}$  Suivant la direction ly

• Coefficient de poisson :

 $v = 0 \rightarrow$  états limites ultime (béton fissuré)

 $v = 0.2 \rightarrow$  états limites service (béton non fissuré)

Après le tableau :  $\alpha = 0.5$  [[1]; Annexe E3]

**- E. L.U**: 
$$\mu_X = 0.0966$$
 ;  $\mu_Y = 0.2500$ 

**- E. L.S**: 
$$\mu_X = 0.1000$$
;  $\mu_Y = 0.3671$ 

• Evaluation des charges :

$$G = 5.33 \text{ KN/m}^2$$

$$\mathbf{Q} = 3.5 \text{ KN/m}^2$$

Le calcul peut se fait pour une bande de 1m.

# III.4.1 Sollicitations 2:

Puisque le balcon est exposé aux intempéries, donc le calcul se fera à L'E.L.S.

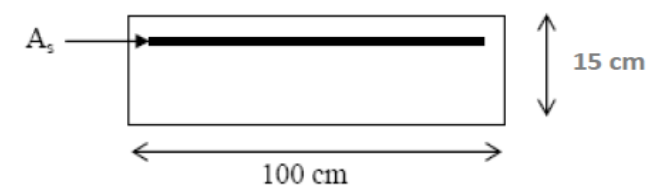


Figure III. 9: Section théorique pour le ferraillage du balcon.

• Combinaisons:

$$q_u = (1,35G+1,5Q) * 1$$

$$q_u = (1, 35 \times 5.33 + 1, 5 \times 3.5) * 1 = 12.445 \text{ KN/m}$$

# b/E.L.S

a/E.L.U

$$q_S = (G+Q) *1 = (5.33+3.5) *1 = 8.83 \text{ KN}$$

#### • Calcul des sollicitations :

#### Moment en

# appuis:

$$M_{0X} = 0.0966 \times 12.445 \times 1.65^2 = 3.272 \text{ KN.m}$$

$$M_{0v} = 0.2500 \times 3.272 = 0.818 \text{ KN.m}$$

Avec:

Ma = 0.5 M0 (Appuis intermédiaire)

Ma = 0.3 M0 (Appuis de rive)

$$\label{eq:max} \begin{cases} M_{ax} = 0.5 \ M_{0X} = 0.5 \times 3.272 = 1.636 \ KN.m \\ \\ M_{ay} = 0.5 \ M_{0y} = 0.5 \times 0.818 = 0.409 \ KN.m \\ \end{cases}$$

$$\label{eq:max} \begin{cases} M_{ax} = 0.3 \ M_{0X} = 0.3 \times 3.272 \ = 0.981 \ KN.m \\ \\ M_{ay} = 0.3 \ M_{0y} = 0.3 \times 0.181 = 0.245 \ KN.m \end{cases}$$

#### Moment sur travée :

$$M_{tx} = 0.85 \ M_{0X} = 0.85 \ \times 3.272 = 2.781 \ KN.m$$

$$M_{ty} = 0.85 \; M_{0}y = 0.85 \times 0.818 = 0.695 \; KN.m$$

#### **Vérification:**

$$M_{\rm ty} \ge \frac{M_{tX}}{4} \Rightarrow \frac{2.118}{4} = 0.695 \dots {\rm CV}$$

## b/ELS:

# Moment en appuis :

$$M_{0X} = 0.1000 \times 8.83 \times 1.65^2 = 2.403 \text{ KN.m}$$

$$M_{0y} = 0.3671 \times 2.403 = 0.882 \text{ KN.m}$$

$$\label{eq:max} Ma = Max \qquad \begin{cases} M_{ax} = 0.5 \ M_{0X} = 0.5 \times 2.403 = 1.201 \ KN.m \\ \\ M_{ay} = 0.5 \ M_{0y} = 0.5 \times 0.882 = 0.441 \ KN.m \end{cases}$$

$$\label{eq:max} Ma = Max \qquad \left\{ \begin{array}{l} M_{ax} = 0.3 \ M_{0X} = 0.3 \times 2.403 = 0.720 \ KN.m \\ \\ M_{ay} = 0.3 \ M_{0y} = 0.3 \times 0.882 = 0.264 \ KN.m \end{array} \right.$$

# Moment sur travée :

$$M_{tx} = 0.85 \ M_{0X} = 0.85 \ \times 2.403 \ = 2.042 \ KN.m$$
 
$$M_{ty} = 0.85 \ M_{0y} = 0.85 \times 0.882 = 0.749 \ KN.m$$

# III.4.2 Ferraillage:

• Calcul le ferraillage de la dalle pleine :

# Sens x-x:

• **En travée** : Mt = 2.781 KN.m

$$\mu_{bu} = \frac{M_t}{b \times d^2 \times fbc}$$

$$= \frac{2.781 \times 10^{-3}}{1 \times (0.135^2) \times 14.17}$$

$$\mu_{bu} = 0.0107 < \mu_{l} = 0.392$$

 $\Rightarrow$  (les armature comprimée ne sont pas nécessaires A'= 0).

$$\alpha = 1.25 (1 - \sqrt{1 - 2\mu_{\text{bu}}}) = 0.013$$

$$Z=d \times (1-0.4) = 0.1342 \text{ m}$$

$$A_s = \frac{M t}{Z \times \sigma_S}$$

$$A_s = \frac{2.781 \times 10^{-3}}{0.1342 \times 348}$$

$$A_s = 0.595 \text{ cm}^2$$

Tableau III. 11: Ferraillage dans les deux sens.

		M(KN.m)	$\mu_{bu}$	а	<b>Z</b> (m)	A <sub>cal</sub> (cm <sup>2</sup> )	A <sub>adop</sub> (cm <sup>2</sup> )
Trovác	X-X	2,781	0,0107	0,013	0.1342	0,59	4HA8= 2,01
Travée	у-у	0,695	0,0026	0,003	0,1348	0,14	4HA8= 2,01
Annuig	X-X	1.636	0,0063	0,007	0,1346	0,34	4HA8= 2,01
Appuis	у-у	0,409	0,0015	0,001	0.1348	0,08	4HA8= 2,01

# Condition non fragilité:

$$A_{y \text{ min}} \qquad \begin{cases} 12 \text{ h}_0 \rightarrow \text{R.L (rend lisse)} \\ 8 \text{ h}_0 \rightarrow \text{FeE 400.} \\ 6 \text{ h}_0 \rightarrow \text{FeE500.} \end{cases}$$

Ay min =  $0.0008 \times 0.15 = 1.2 \ cm^2 / ml$ 

Ax min = 
$$\frac{3-\alpha}{2}$$
 × A ymin =  $\frac{3-0.5}{2}$  × 1,2 = 1.50 cm<sup>2</sup>

 $A_{min x} = 1,50 \text{ cm}^2 < 2,01 \text{ cm}^2$ ......Condition vérifiée.

 $A_{min\,y} = 1{,}20~cm^2 < 2{,}01~cm^2......Condition~v\'{e}rifi\'{e}e.$ 

## **Espacement:**

$$\delta_t \leq \min(3 \times h_0; 33cm)$$

$$\delta_t = 33cm$$

On prendre : St = 25 cm

## • Vérification à L'ELU:

# • Vérification des contraintes de cisaillement

$$\tau_u \leq \ \overline{\tau}_u$$

$$\tau_{\rm u} = \frac{v_{\rm u}}{{}_{b0\times d}} = 0.071 \text{ MPa}$$

$$V_{u} = V_{max} = \frac{q_{u}L_{X}}{2} \times \frac{L_{y}^{4}}{(L_{y}^{4} + L_{X}^{4})}$$

$$V_u = V_{max} = \frac{12.445 \times 1.65}{2} \times \frac{3.3^4}{(3.3^4 + 1.65^4)} = 9.663 \text{ KN}$$

$$\tau_u = \frac{9.663 \times 10^3}{1000 \times 135} = 0.071 \text{ MPa}$$

# ✓ Fissuration préjudiciable

$$\overline{\tau}_{u} = \min \left\{ 0.15 \frac{f_{c28}}{\gamma_{b}} \text{ MPa} ; 4 \text{ MPa} \right\}$$

$$\overline{\tau}_{u} = 2,5 \text{ MPa}$$

$$\tau_u = 0.071 \text{ MPa} < 2.5 \text{MPa} \rightarrow \text{cv}.$$

Pas de risque de rupture par cisaillement.

#### • Vérification des contraintes dans le béton :

$$\sigma_b = \frac{Mser}{I} y \leq \overline{\sigma}_{bc} = 15 \text{ MPa}.$$

## Position de l'axe neutre :

$$\frac{b}{2} \times y^2 + h \times A'_s (y - c') - \eta \times A_s (d - y) = 0$$

$$50 \times y^2 + 15(13.5 - y) \times 0 + (13.5 - y) \times 2.01 = 0$$

$$Y = 2.56 \text{ cm}$$

## Moment d'inertie :

$$I = \frac{b \times y_1^3}{3} + \eta \times [A \times (d - y_1)^2 + A' \times (y_1 - d^2)]$$

$$I = \frac{b \times 2.56_1^3}{3} + 15 \times (2.01)(13.5 - 2.56)^2$$

$$I = 4167.70^{-4}$$

Tableau III. 12 : Vérification à L'ELS de la dalle pleine type 2

Sens	M (KN.m)	Y (cm)	I (cm <sup>4</sup> )	σ <sub>bc</sub> (MPa)	$\sigma_{bc}$ (MPa)	Observation	σ <sub>st</sub> (MPa)	$\sigma_{\rm st}$ (MPa)	Observation
	En travée								
X-X	2,042	2,56	4167,7	1.25	15	Vérifiée	80,40	201.63	Vérifiée
Y-Y	0,749	2,56	4167,7	0,46	15	Vérifiée	29,49	201.63	Vérifiée
	Sur appuis								
X-X	1,201	2,56	4167,7	0,73	15	Vérifiée	47.28	201.63	Vérifiée
Y-Y	0,441	2,56	4167,7	0,27	15	Vérifiée	17.36	201.63	Vérifiée

## • Vérification de la flèche :

$$\checkmark \qquad \frac{h}{L} \ge \frac{1}{16} \implies \frac{0,15}{1,65} = 0.0909 > \frac{1}{16} = 0,0625 \implies OK$$

$$\checkmark \qquad \frac{A_s}{b_0 d} \le \frac{4.2}{f_e} \Rightarrow \frac{2.01}{100 \times 13.5} = 0.0014 \le \frac{4.2}{f_e} = 0.0105 \Rightarrow OK$$

$$\checkmark \qquad \frac{h}{L} \ge \frac{M_t}{10M_0} \Rightarrow 0.0909 \ge 0.085 \Rightarrow OK$$

Les trios condition de la flèche sont vérifier donc le calcul de la flèche ne s'impose pas.

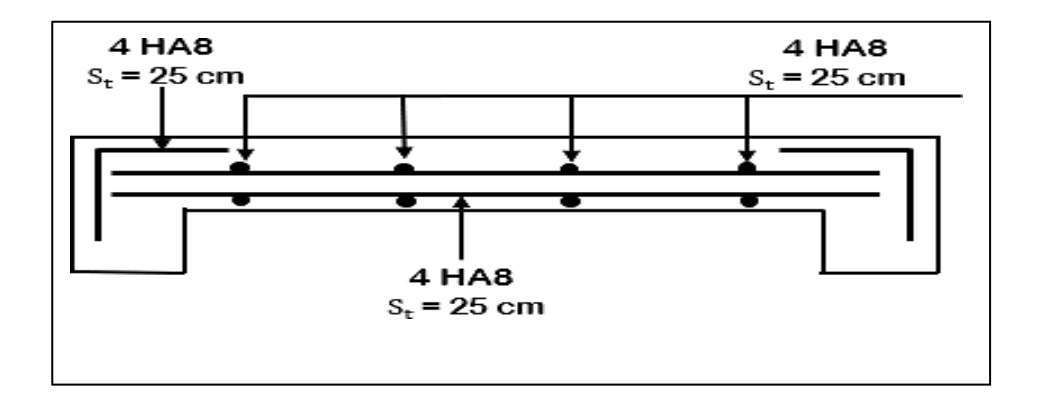


Figure III. 10: Schéma de ferraillage du balcon.

#### III.5 L'ascenseur:

La dalle machine est une dalle pleine, qui reprend un chargement important par rapport à celle des dalles de l'étage courant ou terrasse, cela est due au mouvement de l'ascenseur ainsi qu'à son poids, en tenant compte de la variation des efforts de la machine par rapport à la dalle.

#### III.5.1 Redimensionnement:

La dalle d'ascenseur doit avoir une certaine rigidité vu le poids de la machine, nous avons deux conditions à vérifier : Résistance à la flexion :

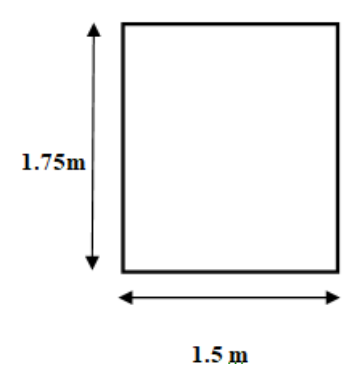


Figure III. 11 : vue en plan de la dalle machine.

$$\frac{L_x}{50} \le e \le \frac{L_x}{40} \implies \frac{150}{50} \le e \le \frac{150}{40} \implies 3 \text{ cm} \le e \le 3.75 cm$$

# a) Condition de l'E.N.A:

L'entreprise nationale des ascenseurs (E.N.A) préconise que l'épaisseur de la dallemachine est  $e \ge 25 \ cm$ .

On prend : e = 25 cm

# III.5.2 Détermination des charges et surcharges :

# a-Charges permanentes

- Poids de la dalle machine supportée ...... 50,00 KN  $/m^2$
- Poids propre de la dalle......<u>0,25×25=6,25 KN /m</u><sup>2</sup>

 $G = 56,25 \text{ KN} / m^2$ 

b-Surcharge d'exploitation :

$$Q = 1,00 \text{ KN/}m^2$$

III.5.3 Combinaison des charges :

**E.L.U**: 
$$q_u = 1,35G + 1,5Q = 77,44 \text{ KN }/m^2$$

**E L.S**: 
$$q_{ser} = G + Q = 57,25 \text{ KN } / m^2$$

## III.5.4 Calcul des efforts:

Le calcul des efforts de la dalle se fait selon la méthode de calcul des dalles reposantes sur 4 côtés.

Calcul de «p»:

$$0.4 < \rho = \frac{L_x}{L_y} < 1$$

$$0.4 < \rho = \frac{150}{175} < 1$$

$$0.4 < \rho = 0.85 < 1$$

⇒La dalle travail dans les deux sens

$$M_X = \mu_x \ q_\mu L^2_x$$

$$M_y = \mu_v M_x$$

ELU:

$$\begin{cases} \mu_x = 0.068 \implies M_X = 11.85 \text{ KN. } m \\ \mu_x = 0.436 \implies M_y = 5.16 \text{ KN. } m \end{cases}$$

Selon les conditions d'encastrement d'appuis, on obtient les moments suivants :

-Moments en travées :

$$M_{tX} = 0.85 M_{X} = 10.07 KN .m$$

$$M_{\rm ty}$$
=0,85  $M_{\rm y}$  = 4.386 KN .m

-Moments sur appuis :

$$M_{aX} = 0.3 M_X = 3.55 \text{ KN .m}$$

$$M_{\text{ay}} = 0.3 M_{\text{y}} = 1.32 \text{KN} .\text{m}$$

$$M_a = \max(M_{ax}, M_{ay}) = 3.55 \text{ KN .m}$$

# III.5.5 Ferraillage de la dalle :

Le ferraillage de la dalle machine se fait comme suit :

Pour une bande de 1m, on aura une section (b x h) = (100x25)  $cm^2$  qui travaille en flexion simple. On a : b = 100 cm, h= 25 cm, d= 0.9h = 22.5cm, c = 2cm,= 14.17MPa,  $\sigma_s$ =348MPa

$$\mu_{b u} = \frac{M u}{b \times d^2 \times f bc}$$

 $\mu_{bu} < \mu_l = 0.392 \Rightarrow$  (les armature comprimée ne sont pas nécessaires).

$$\alpha = 1.25 (1 - \sqrt{1 - 2\mu_{bu}})$$

$$Z=d\times(1-0.4\alpha)$$

$$A_s =$$
  $M_t$ 

$$Z \times \sigma_S$$

Tableau III. 13 : tableau récapitulatif des résultants de ferraillage

		$M_t$	μ	а	Z (cm)	$A^{cal}$	$A^{adp}$
		(KN.m)				$(cm^2)$	$(cm^2)$
Travée	Sens x-x	10.07	0.0014	0.025	22.275	1.29	5HA8=2.51
	Sens y-y	4.386	0.006	0.012	22.392	0.56	5HA8=2.51
Appuis	Sens x-x	3.55	0.004	0.01	22.41	0.45	5HA8=2.51
	Sens y-y	3.55	0.004	0.01	22.41	0.45	5HA8=2.51

### • Espacement :

-En travée

$$S_t = \begin{cases} \frac{100}{5} = 20 & < min (3h; 33cm) = 33 \ cm (sens \ x - x) \dots v\'{e}rifi\'{e}e \\ \frac{100}{5} = 20 & < min (4h; 45cm) = 45 \ cm (sens \ y - y) \dots v\'{e}rifi\'{e}e \end{cases}$$

-en appuis

$$S_t = \begin{cases} \frac{100}{5} = 20 & < min (3h; 33cm) = 33 \ cm (sens \ x - x) \dots v\'{e}rifi\'{e}e \\ \frac{100}{5} = 20 & < min (4h; 45cm) = 45 \ cm (sens \ y - y) \dots v\'{e}rifi\'{e}e \end{cases}$$

#### 1. Calcul des armatures transversales :

Les armatures transversales ne sont pas nécessaires si la condition ci-dessous est vérifiée :

$$\tau_{u} \leq \overline{\tau_{u}}$$

$$\tau_{u} = \frac{T_{u}^{max}}{b d}$$

$$T_{x} = \frac{q_{u}L_{x}L_{y}}{2L_{x}+L_{y}} =$$

$$\frac{77.44 \times 1.5 \times 1.75}{2 \times 1.5 + 1.75}$$

$$T_{x} = 42.79KN$$

$$T_{y} = \frac{q_{u}L_{x}}{3} = \frac{77.44 \times 1.5}{3} = 38.72KN$$

$$T_{u} = \max \left( T_{x}; T_{y} \right) = 42.79 \text{ KN}$$

$$\tau_{u} = \frac{T_{u}^{max}}{b d} = \frac{42.79 \times 10^{3}}{1000 \times 225} = 0.19 \text{ MPa} < \overline{\tau_{u}} = 0.5 f_{c28} = 1,25 \text{ MPa} \dots \text{ vérifiée}$$

Les armatures transversales ne sont pas nécessaires.

# III.5.6 vérification:

Vérification des contraintes :

$$\sigma_{\rm b} \leq \bar{\sigma}_{\rm bc}$$

a- **Béton**:

$$\sigma_{\rm b} = \frac{Mser}{I} y \leq \bar{\sigma}_{\rm bc} = 15 \,\mathrm{MPa}$$

b- Acier:

$$\sigma_{\rm s} = n \frac{Mser}{I} (d - y) \leq \bar{\sigma_{\rm s}}$$

La fissuration est considérée comme préjudiciable.

$$\bar{\sigma}_s = \min(\frac{2}{3}f_e; 150 \, \eta) = 240 \text{MPa}$$

Avec:

 $\eta = 1.6$  pour HA = 400MPa

Détermination de la valeur de « y» :

$$\frac{b}{2} \times y^{2} + \eta \times A_{s} (d - y)^{2} - \eta \times A'_{s} (y - d) = 0$$

$$I = \frac{b \times y_1^3}{3} + n \times [A \times (d - y_1)^2 + A' \times (y_1 - d^2)]$$

Les résultats trouvés en travée et sur appui dans les deux sens sont regroupés dans le tableau suivant:

Tableau III. 14: Vérification des contraintes de la dalle en travée et sur appuis dans les deux sens

		$M_t(\mathbf{KNm})$	$\mathbf{A}(cm^2)$	Y (cm)	I (cm <sup>4</sup> )	$\sigma_{bc}(\mathbf{MPa})$	$\sigma_{bc} \leq \stackrel{-}{\sigma}_{ m bc}$
Travée	(x-x)	8.10	2.51	3.75	14994.13	2.02	
	(y-y)	4.73	2.51	3.75	14994.13	1.18	vérifiée
Appuis		2.858	2.51	3.75	14994.13	0.71	

# Vérification de la condition de non fragilité :

h= 25 cm; b= 100cm  

$$A_x \ge \rho_0 \frac{3-\rho}{2} bh = 2.15 cm^2$$

$$\begin{cases} A_x \geq \rho_0 \; \frac{3-\rho}{2} \; bh = 2,15 \; cm^2 \\ A_y \geq \rho_0 \; bh = 2 \; cm^2 \end{cases}$$
 Avec: 
$$\begin{cases} \rho_0 = 0.08\% \quad pour \; les \; barres \; \grave{a} \; haute \; adhérence \\ \rho = \frac{L_x}{L_y} = 0,85 \end{cases}$$

#### Sens Lx-x:

Sur appuis : $A_x = 2.51cm^2 / ml > 2.15cm^2 \cdots v$ érifiée

En travée :  $A_x = 2.51 cm^2 / ml > 2.15 cm^2 .....$  vérifiée

### Sens Ly-y:

Sur appuis :  $A_y = 2.51cm^2 / \text{ml} > 2.00cm^2 \cdots$  vérifiée

En travée :  $A_y = 2.51 \text{ cm}^2 / \text{ml} > 2.00 \text{cm}^2 \cdots \text{vérifiée}$ 

## Vérification de la flèche : (BAEL91) :

La vérification de la flèche n'est pas nécessaire si les conditions suivantes sont vérifiées(**B.A.E.L.91modifié 99**) :

$$h = 0.25m$$
 et  $l = 2.51m$ 

 $A_{st} = 2.51 cm^2$ 

$$\checkmark \quad \frac{h}{L} \ge \frac{1}{16} \Rightarrow \frac{0.25}{1.5} = 0.16 > \frac{1}{16} = 0.0625 \dots cv$$

$$\checkmark \quad \frac{A_s}{b_0 d} \le \frac{4.2}{f_e} \Rightarrow \frac{2.51}{100 \times 25} = 0.001 \le \frac{4.2}{f_e} = 0.0105 \dots cv$$

$$\checkmark \quad \frac{h}{L} \ge \frac{M_t}{10M_0} \Rightarrow \frac{0.25}{1.5} = 0.16 \ge \frac{10.07}{10 \times 10.07} = 0.1 \dots cv$$

Les trois conditions sont vérifiées donc le calcul de la flèche n'est pas nécessaire.

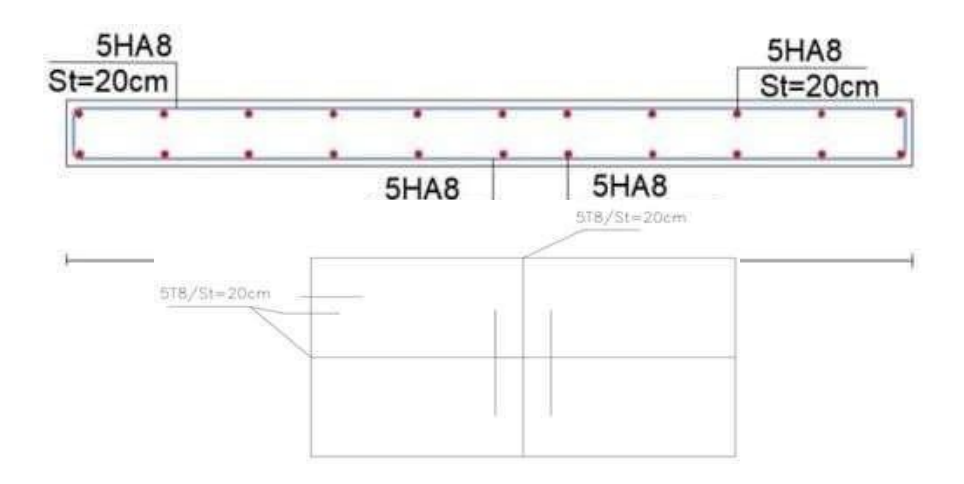


Figure III. 12: disposition constructive des armatures de l'ascenseur

## III.6.Plancher:

#### III.6.1 définition:

Les planchers sont des éléments plans horizontaux supposes infiniment rigides leur plan. Ils ont pour rôle :

• Isolation des différents étages du point de vue thermique et acoustique.

- Répartir les charges horizontales dans les contreventements.
- Assurer la compatibilité des déplacements horizontaux.

Il existe plusieurs types de plancher en béton armé :

- Plancher à corps creux
- Plancher à dalle pleine
- Plancher champignons et /ou plancher dalle.

# III.6.2 Plancher à corps creux :

Ce type de plancher est constitué d'éléments porteurs (poutrelle) et éléments de remplissage (corps creux) de dimensions  $(16 \times 20 \times 65)$  cm3, le tout sur monté d'une dalle de compression de 4 cm d'épaisseur.

✓ Planchers à corps creux (16+4=20cm) Plancher = Poutrelle + Corps-creux Dalle de compression.

# III.6.3 Etude des poutrelles :

Les poutrelles sont des éléments préfabriqués, leur calcul est associé à celui d'une poutre Continue semi encastrée aux poutres de rives.

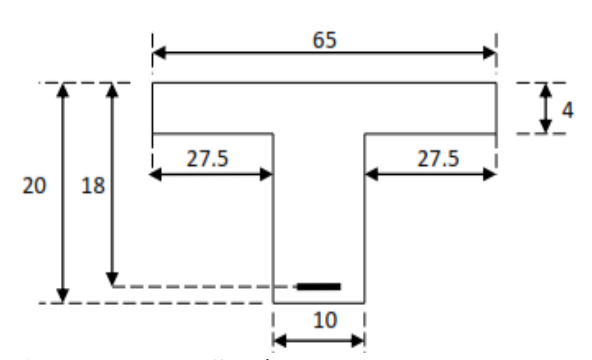


Figure III. 13: Schéma d'une poutrelle.

# III.6.4 Calcul des planchers (poutrelles):

Pour le calcul des moments et d'efforts tranchants: On utilise les méthodes suivantes :

#### III.6.4.1 Méthode forfaitaire :

## **Domaine d'application:**

• Fissuration n'est pas préjudiciable

• Les portes successives des travées dans un rapport 0.8 à 1.25; m s

 $(0.8 \le \left(\frac{L_i}{L_{i-1}}, \frac{L_i}{L_{i+1}}\right) \le 1.25)$ 

m

• Les éléments d'inertie dans les sections transversales sont les e

• La charge d'exploitation est au plus égale à deux fois la charge permanente ou à  $5 \text{ KN/m}^2$  Q $\leq$  max [2G,  $5 \text{ KN/m}^2$ ]

# Application de la méthode :

: Moment fléchissent de la poutre isostatique.

Soit: 
$$M_0 = \frac{qL^2}{8}$$

$$\alpha = Q_B$$

$$Q_B + Q_B$$

Les moments:

- Les moments en travées :
- > Pour les travées de rive:

$$M_t + \left(\frac{M_w + M_e}{2}\right) \ge \max[(1 + 0.3\alpha)M_0; 1.05 M_0]$$
  
 $M_t \ge \frac{1.2 + 0.3\alpha}{2} M_0$ 

**Pour les travées intermédiaires :**  $M_t + \left(\frac{M_w + M_e}{2}\right) \ge \max[(1 + 0.3\alpha)M_0; 1.05 M_0]$ 

$$M_t \ge \frac{1+0.3\alpha}{2} M_0$$

Les moments en appuis :

Pour une poutre à deux travée

0.15 M<sub>0</sub>: pour les appuis de rive

$$egin{array}{cccc} 0.15\,M_{ heta} & & & & 0.15\,M_{ heta} \ & igsim & igo & igsim & igsim & igsim & igsim & igsim & igsim & igsi$$

 $0.6M_0$ : Pour une poutre à deux travées

$$egin{array}{ccc} 0.6\,M_0 \ igtriangle & igtriangle &$$

 $0.5M_0$ : Pour les appuis de rive pour une poutre  $\rangle 2$  travées

$$egin{array}{cccc} 0.5\,M_{ heta} & 0.5\,M_{ heta} \ & igtriangle & ig$$

 $0.4M_0$ : Pour les appuis intermédiaires pour une poutre  $\rangle 3$  travées

$$egin{array}{ccccc} 0.5\,M_0 & 0.4\,M_0 & 0.5\,M_0 \ & \Delta & \Delta & \Delta & \Delta \end{array}$$

### L'effort tranchant :

$$T_{W} = \frac{q L}{2} + \left| \frac{M_{W} - M_{e}}{L} \right| T_{e} = \frac{-qL}{2} + \left| \frac{M_{W} - M_{e}}{L} \right|$$

# Tel que:

 $\mathbf{M}_0$ : Le maximum des deux moments isostatique encadrant l'appui considéré.  $\mathbf{M}_0 = \frac{q l^2}{8}$ 

## **Les efforts tranchants:**

Pour calculer l'effort tranchant par la méthode forfaitaire, nous supposons que sur tous les appuis l'effort tranchant hyperstatique V' est égale à l'effort tranchant isostatique V' sauf sur les appuis voisin de rive où l'effort tranchant isostatique doit être majoré comme suit :

•  $15\% \rightarrow \text{s'il s'agit d'une poutre à deux travées.}$ 

•  $10\% \rightarrow \text{s'il s'agit d'une poutre à plus de deux travées.}$ 

On note que : $V_0 = \frac{q_u \times l_i}{2}$ 

Avec:

 $V_0$ : effort tranchant isostatique;

qu: la charge sur les poutrelles ;

l<sub>i</sub>: la longueur de la travée considérée.

Les diagrammes des efforts tranchants sont représentés dans les figures suivantes :

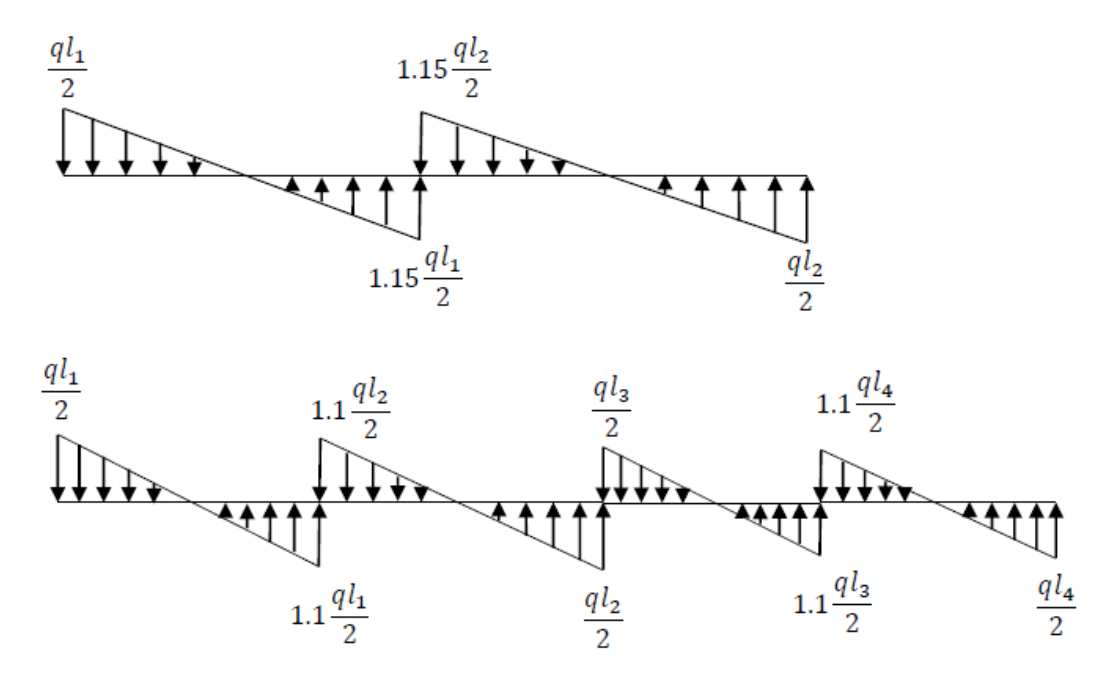


Figure III. 14: Evaluation des efforts tranchants.

# III.6.4.2 Méthode Caquot:

# Application de la méthode :

### Les moments :

- Les moments en appuis :
- Appuis de rive :  $M_A = M_H = 0$ 
  - Appuis intermédiaires :

$$M_{appuis} = \frac{q_W \ l_W^{'3} + q_e \ l_e^{'3}}{8.5 \ (l_W + l_e^{'})}$$

Avec l'=1 pour les deux travées de rive l'=0.81 pour les travées d'intermédiaire

• Les moments en travée :

$$M(x) = \frac{-qx^2}{2} + \frac{ql}{2} x + M_w + \frac{M_e - M_w}{L} X$$

Avec: 
$$T(x)=0 \Rightarrow X = \frac{l}{2} + \frac{M_e - M_w}{qL}$$

Les efforts tranchants:

$$T(x) = \frac{ql^2}{2} - qx + \frac{M_e - M_w}{L}$$

Avec: 
$$T_w(x=0) = \frac{q l}{2} + \frac{M_e - M_w}{L}$$

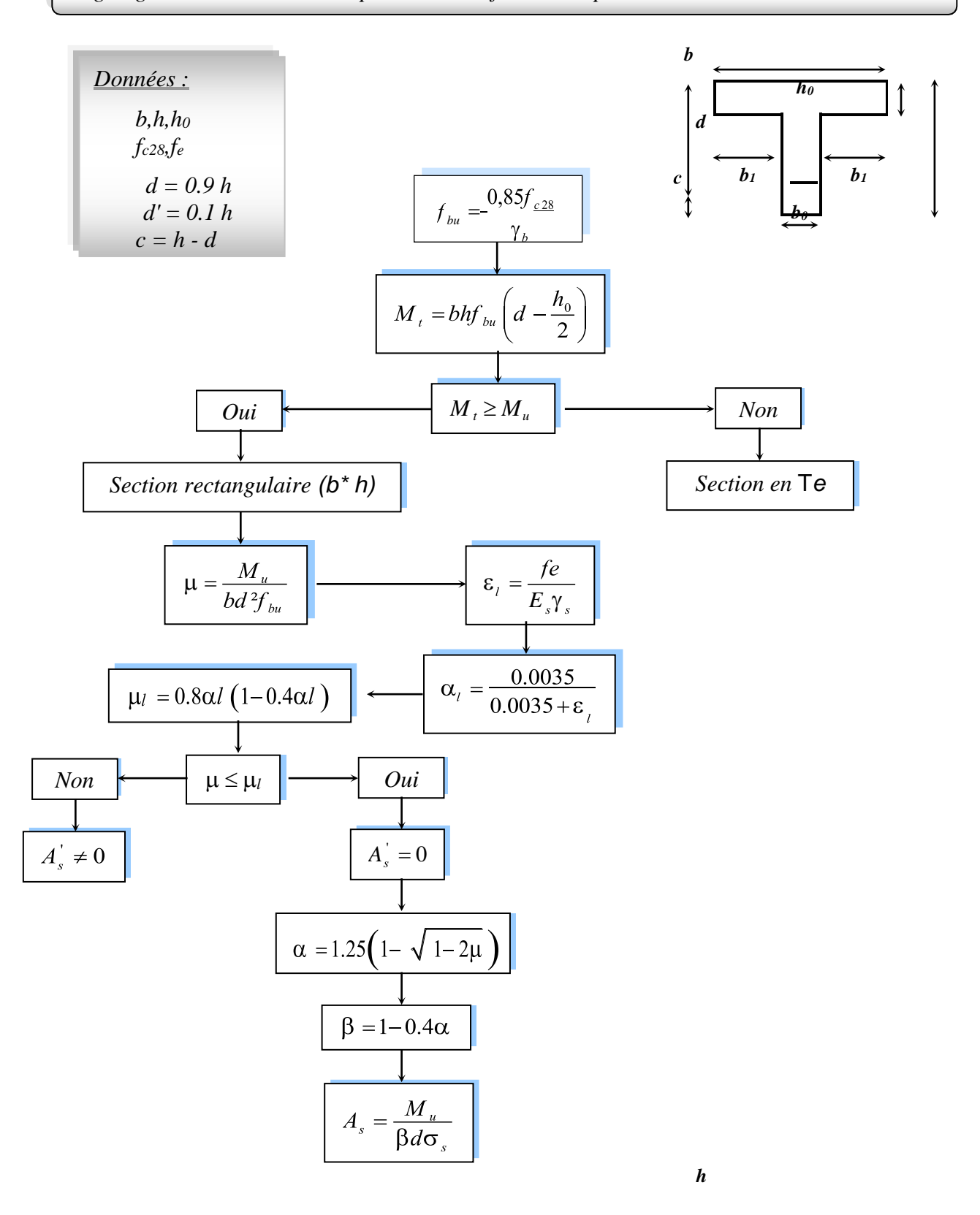
$$T_w(x=l) = \frac{-q l}{2} + \frac{M_e - M_w}{L}$$

 $M_e$ ;  $M_w$ : Sont des moments des appuis à droite et à gauche de la travée considérée

# III.6.4.3 Ferraillage:

Les poutrelles sont ferraillées à la flexion simple, avec une fissuration peu nuisible organigramme de la flexion simple (section en T):

Organigramme de calcul de la poutrelle à la flexion simple avec FPN -section en Te-



# III.6.4.4 Vérification des conditions de la méthode forfaitaire :

- 1) Plancher à surcharge modérée :  $Q \le max(2G; 5KN/m^2)$
- ✓ Plancher terrasse inaccessible :  $G = 6.33 \text{KN/m}^2$

$$Q = \max(2 \times 6.33; 5KN/m^2) = \max(12,66; 5KN/m^2)$$

$$Q = \frac{1KN}{m^2} < 12,66 \dots$$
 Condition vérifiée.

✓ Plancher étage courant :  $G = 5.38 \text{ KN/m}^2$ 

$$Q = max (2 \times 5.38; 5KN/m^2) = max (10.76; 5KN/m^2)$$
  
 $Q = 1.5KN/m^2 < 10.76$  ... Condition vérifiée.

Les moments d'inertie constante .....CV

$$0.8 \le \text{Li /Li+1} \le 1.25 \dots \text{CV}$$

Fissurations sont considérées comme peu préjudiciables puisque les planches sontprotégées.....CV

Absence de charge rapidement variable dans le temps et de position..... CV

$$0.8 \le \frac{2,90}{3,15} = 0,92 \le 1.25$$
 ... condition vérifiée.

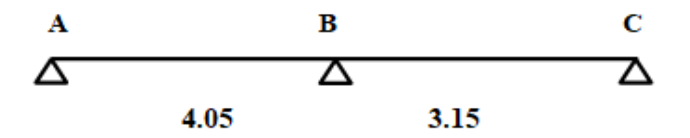
$$0.8 \le \frac{3,15}{4,05} = 0,77 \le 1.25$$
 ... condition vérifiée.

$$0.8 \le \frac{4,05}{3,15} = 1,28 \le 1.25$$
 ... condition Non vérifiée.

3<sup>eme</sup> condition n'est pas vérifiée

- Type des planchers :
- a. Plancher terrasse:

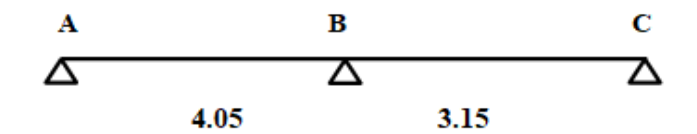
**Type 1:** 



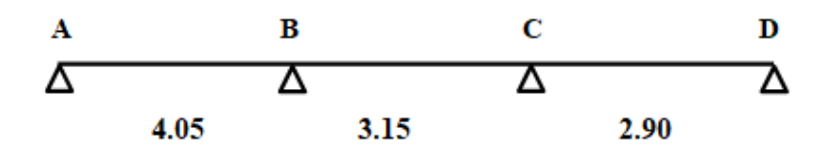
Type 2:

**b.** Etage courant + RDC:

**Type 1:** 



**Type 2:** 



**Type 3:** 

III.6.4.5 Evaluation des charges :

### a) Plancher terrasse:

$$G = 6.33KN / m^2$$
$$Q = 1KN / m$$

### a) Plancher étage :

$$G = 5.38 \ KN / m^2$$
$$Q = 1.5KN / m^2$$

### III.6.4.6 Combinaisons d'action :

Tableau III. 15: Les charges et surcharges revenants aux poutrelles.

				Combinaison de	s charges	
Niveaux	G [KN/m <sup>2</sup> ]	Q [KN/m <sup>2</sup> ]	b [m]	ELU [KN/ml] $q_u=b\times (1,35G+1,5Q)$	ELS [KN/ml] $q_s=b\times (G+Q)$	
Terrasse inaccessible	6.33	1.00	0.65	6.53	4.76	
Etage courant d'habitation	5.38	1.50	0.65	6.18	4.47	

### III.6.4.7 Détermination des sollicitations des planchées :

### Plancher terrasse :

### <u>Type 1</u>:

### a. Calcul des longueurs fictives

Les deux travées sont de rive donc :

✓ 
$$L'_{AB} = L_{AB} = 4.05 \text{ m}.$$

✓ 
$$L'_{BC} = L_{BC} 3.15 \text{ m}.$$

### b. Calcul des moments

**Moments aux appuis : M0** = 
$$\frac{qL^2}{8}$$

> Les appuis de rive

### + Appui A:

$$M_A = 0 = -0.15 \ M_0 \ \begin{cases} ELU = -0.15 \ (12.98) = -1.94 \\ ELS = -0.15 \ (9.76) = -1.46 \end{cases}$$

### + Appui C:

$$M_{C} = 0 = -0.15 \ M_{0} \begin{cases} ELU = -0.15 \ (8.09) = -1.21 \\ ELS = -0.15 \ (5.90) = -0.88 \end{cases}$$

### > Appui intermédiaire

### + Appui B:

$$M_{B} = -\frac{q_{g} \times L_{g}^{\prime 3} + q_{d} \times L_{d}^{\prime 3}}{8.5(L_{g}^{\prime} + L_{d}^{\prime})}$$

$$\begin{cases} ELU : M_{B} = -\frac{6.53 \times 4.05^{3} + 6.53 \times 3.15^{3}}{8.5(4.05 + 3.15)} = -11.07 \text{ KN.m} \end{cases}$$

$$ELS: M_{B} = -\frac{4.76 \times 4.05^{3} + 4.76 \times 3.15^{3}}{8.5(4.05 + 3.15)} = -8.07 \text{ KN.m}$$

### \* Moment en travée :

$$M_t(x) = \frac{q x}{2} (L - x) + M_d \times \frac{x}{L}$$

### + travée AB

#### A l'ELU:

$$x = \frac{\text{Li}}{2} + \frac{M_g - M_d}{q \text{Li}} = \frac{4.05}{2} + \frac{-11.07 - 0}{6.53(4.05)} = 1.60 \text{ m}$$

$$M_0(x) = q \times \frac{x}{2} (L - x) = 6.53 \times \frac{1.60}{2} (4.05 - 1.60) = 12.97 \text{ KN..m}$$

$$M_t(x) = \frac{qx}{2}(L-x) + M_d \times \frac{x}{L} = 12.79 + (-11.07) \frac{1.60}{4.05} = 8.42 \text{ KN .m}$$

### A l'ELS:

$$x = \frac{\text{Li}}{2} + \frac{\text{M}_g - \text{M}_d}{\text{qLi}} = \frac{4.05}{2} + \frac{-8.07 - 0}{4.76(4.05)} = 1.60 \text{ m}$$

$$M_0(x) = q \times \frac{x}{2} \text{ (L-x)} = 4.76 \times \frac{1.60}{2} \text{ (4.05 - 1.60)} = 9.32 \text{ KN.m}$$

$$M_t(x) = \frac{q x}{2} \text{ (L-x)} + M_d \times \frac{x}{L} = 9.32 + (-8.07) \frac{1.60}{4.05} = 6.14 \text{ KN.m}$$

### + travée BC

#### A l'ELU:

$$x = \frac{\text{Li}}{2} + \frac{M_g - M_d}{q \text{Li}} = \frac{3.15}{2} + \frac{0 - (-11.07)}{6.53(3.15)} = 2.11 \text{ m}$$

$$M_0(x) = q \times \frac{x}{2} (L - x) = 6.53 \times \frac{2.11}{2} (3.15 - 2.11) = 13.36 \text{ KN.m}$$

$$M_t(x) = \frac{q x}{2} (L - x) + M_d \times \frac{x}{L} = 13.36 + (-11.07) \frac{2.11}{3.15} = 3.50 \text{ KN .m}$$

### A l'ELS:

$$x = \frac{\text{Li}}{2} + \frac{M_g - M_d}{q\text{Li}} = \frac{3.15}{2} + \frac{0 - (-8.07)}{4.76(3.15)} = 2.11\text{m}$$

$$M_0(x) = q \times \frac{x}{2} (L - x) = 4.76 \times \frac{2.11}{2} (3.15 - 2.11) = 5.22 \text{ KN.m}$$

$$M_t(x) = \frac{q x}{2} (L - x) + M_d \times \frac{x}{L} = 5.22 + (-8.07) \frac{2.11}{3.15} = 2.56 \text{ KN .m}$$

### c. Les efforts tranchants

$$T_{w} = \frac{q. L}{2} - qx + \frac{M_{d} - M_{g}}{L}$$

### ❖ A l'ELU:

+ Travée AB:  $0 \le x \le 4.05$ 

$$T_{w} = \frac{q.L}{2} - qx + \frac{M_{d} - M_{g}}{L}$$

$$T(x) = \begin{cases} x = 0 \Rightarrow T(0) = 10.49 \text{ KN.} \\ x = 4.05 \Rightarrow T(4.05) = -15.96 \text{ KN.} \end{cases}$$

+ Travée BC: 0 < x < 3.15

$$T_{w} = \frac{q.L}{2} - qx + \frac{M_{d} - M_{g}}{L}$$

$$T(x) = \begin{cases} x = 0 \Rightarrow T(0) = -6.77 \text{ KN.} \\ x = 4.05 \Rightarrow T(3.15) = 13.80 \text{ KN.} \end{cases}$$

### \* A l'ELS:

+ Travée AB :  $0 \le x \le 4.05$ 

$$T_{w} = \frac{q.L}{2} - qx + \frac{M_{d} - M_{g}}{L}$$

$$T(x) = \begin{cases} x = 0 => T(0) = 7.65 \text{ KN.} \\ x = 4.05 => T(4.05) = -11.63 \text{ KN.} \end{cases}$$

+ Travée BC: 0 < x < 3.15

$$T_{w} = \frac{q.L}{2} - qx + \frac{M_{d} - M_{g}}{L}$$

$$T(x) = \begin{cases} x = 0 \Rightarrow T(0) = 4.93 \text{ KN.} \\ x = 4.05 \Rightarrow T(3.15) = -11.63 \text{ KN.} \end{cases}$$

Les résultats de calcul sont résumés dans le tableau suivant :

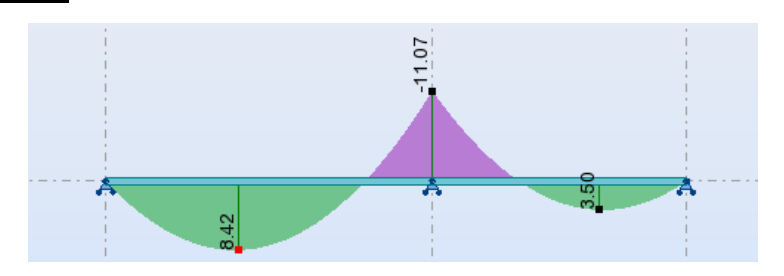
<u>ELU</u>:
Tableau III. 16: Les sollicitations à ELU et ELS, poutrelle type 1(Plancher Terrasse).

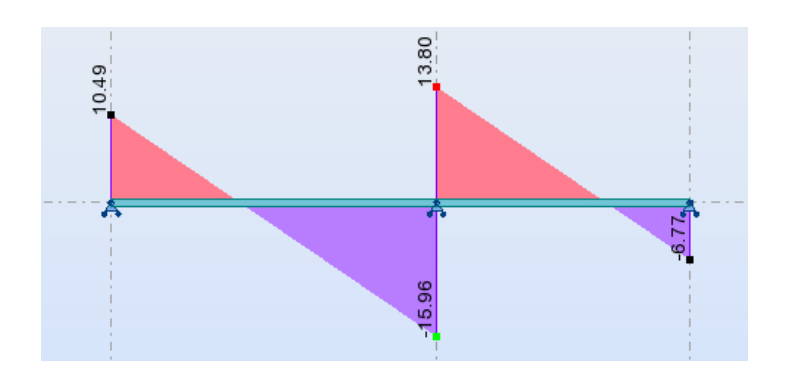
Travée	L(m)	Moments aux Appuis		Moment en travée	Les effort	s tranchants
		M <sub>g</sub> (KN.m)	M <sub>d</sub> (KN.m)	Mtu (KN.m)	T <sub>g</sub> (KN)	T <sub>d</sub> (KN)
A-B	4.05	0	-11.07	8.42	10.49	-15.96
В-С	3.15	-11.07	0	3.50	13.80	- 6.77

# A l'ELS:

Travée	L(m)	Moments a Appuis	ux	Moment en travée	Les effort	s tranchants
		Mg (KN.m)	M <sub>d</sub> (KN.m)	Mtu (KN.m)	T <sub>g</sub> (KN)	T <sub>d</sub> (KN)
A-B	4.05	0	-8.07	6.14	7.65	-11.63
В-С	3.15	-8.07	0	2.56	-11.63	- 4.93

# **ELU**:





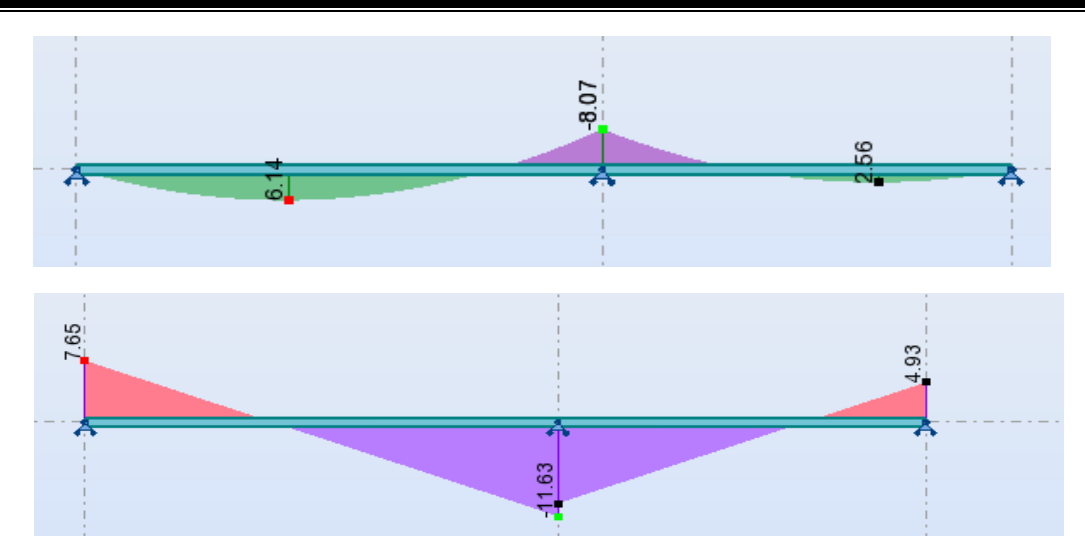


Figure III. 15 : Evaluation des moments et efforts tranchants type 01(plancher terrasse).

Type 2:

**ELU:** 

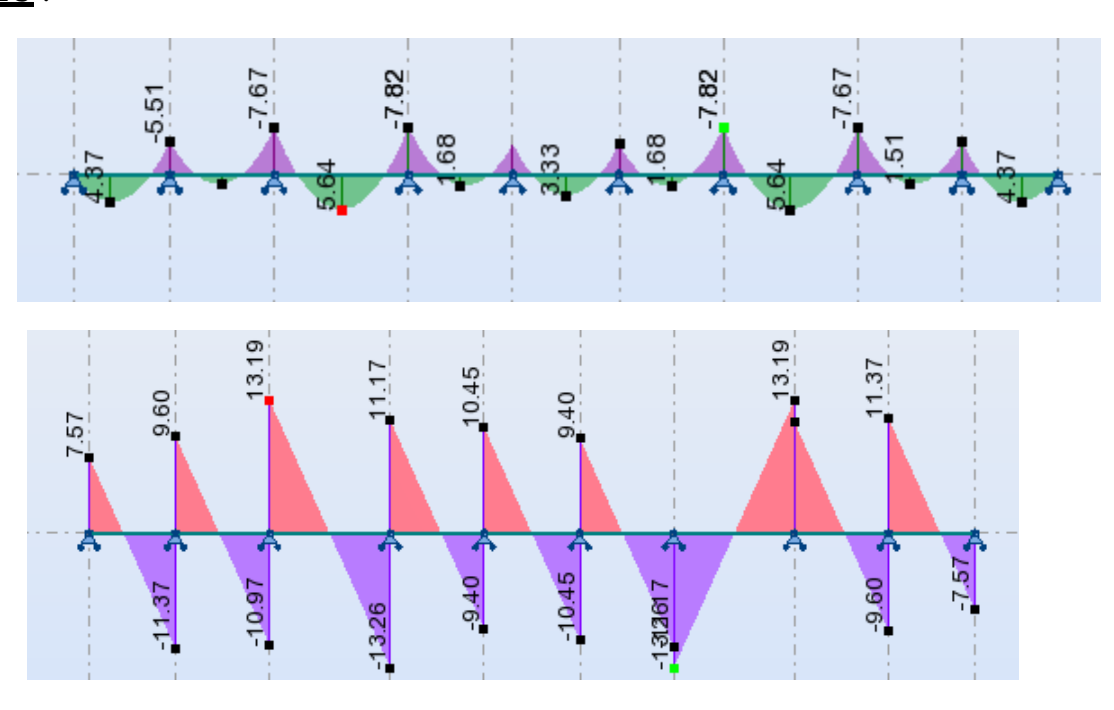
Tableau III. 17: Les sollicitations à ELU et ELS, poutrelle type 2(Plancher Terrasse).

Travée	L(m)	Qu (KN.m)	Mg (KN.m)	M <sub>d</sub> (KN.m)	M <sub>tu</sub> (KN.m)	T <sub>g</sub> (KN)	T <sub>d</sub> (KN)
A-B	2.9	6.53	0	-5.51	4.37	7.57	-11.37
В-С	3.15	6.53	- 5.51	-7.67	1.51	9.60	-10.97
С-D	4.05	6.53	-7.67	-7.82	5.64	13.19	- 13.26
D-E	3.15	6.53	- 7.82	-5.51	1.68	11.17	- 9.40
E-F	3.2	6.53	- 5.51	-5.51	3.33	10.41	-10.45
F-G	3.15	6.53	-5.51	-7.82	1.68	9.40	-11.17
G-H	4.05	6.53	-7.82	-7.67	5.64	-13.26	13.19
H-I	3.15	6.53	-7.67	-5.51	1.51	13.19	-9.60
I-J	2.9	6.53	-5.51	0	4.37	11.37	-7.57

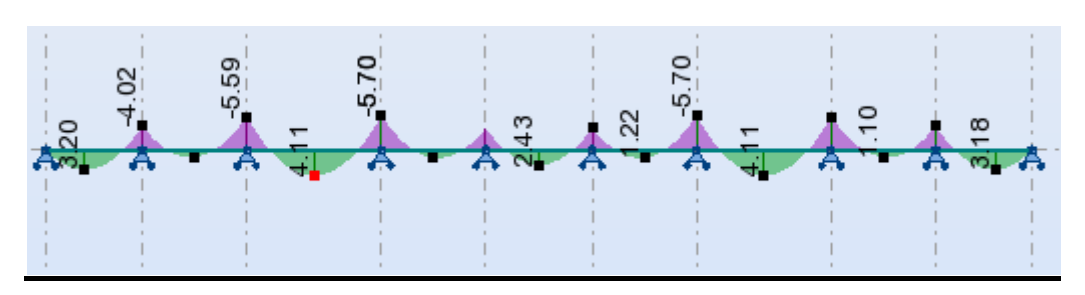
ELS:

Travée	L(m)	Qu (KN.m)	Mg (KN.m)	M <sub>d</sub> (KN.m)	Mtu (KN.m)	T <sub>g</sub> (KN)	T <sub>d</sub> (KN)
A-B	2.9	4.76	0	- 4.02	3.20	7.57	-11.37
В-С	3.15	4.76	-4.02	-5.59	1.10	9.60	-10.97
C-D	4.05	4.76	- 5.59	-5.70	4.11	13.19	- 13.26
D-E	3.15	4.76	-5.70	-4.02	1.22	11.17	- 9.40
E-F	3.2	4.76	-4.02	-4.02	2.43	10.41	-10.45
F-G	3.15	4.76	-4.02	-5.70	1.22	9.40	11.17
G-H	4.05	4.76	-5.70	-5.59	4.11	13.26	13.19
H-I	3.15	4.76	-5.59	-4.02	1.10	13.19	-9.60
I-J	2.9	4.76	-4.02	0	3.18	11.37	-7.57

# <u>ELU</u>:



# <u>ELS</u>:



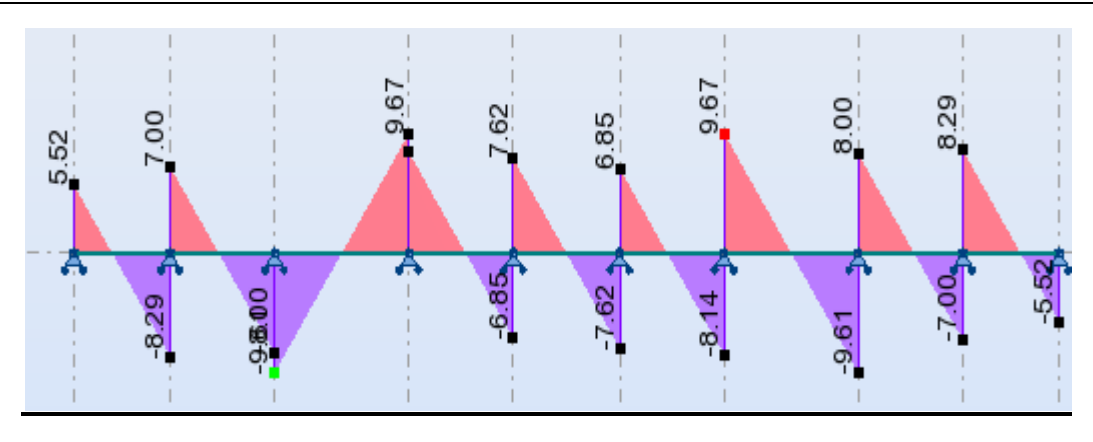


Figure III. 16: Evaluation des moments et efforts tranchants type 02(plancher terrasse).

III.6.4.8 Ferraillage des poutrelles (terrasse) :

Les armatures seront calculées sous les sollicitations les plus défavorables et le calcul estconduit pour une section en Té soumise à la flexion simple.

### ELU:

Calcule de moment résistant de la section en T:

$$M_0 = \overline{\delta_b} \times b \times h_0 \left( d - \frac{h_0}{2} \right) = 14.17 \times 0.65 \times 0.04 (0.18 - 0.02) = 58.947 N. m$$

$$M_{T max} = 8.42 \text{ KN.m} < 58.94 \text{ KN}$$

Par conséquent, seule une partie de la table est comprimée et la section en Té sera calculée comme une section rectangulaire de largeur b= 65cm et de hauteur d= 18 cm.

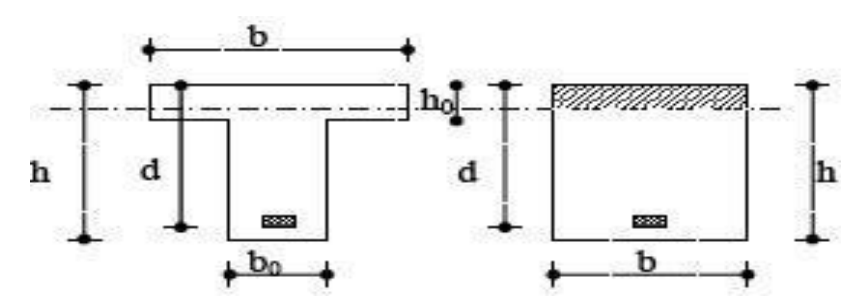


Figure III. 17: Coupe de Section Rectangulaire et Section en T

### Travée:

$$\mu = \frac{M_t}{\delta_b \times b \times d^2} = \frac{8.42 \times 10^6}{650 \times 180^2 \times 14.17} = 0.028 < 0.392$$

Donc les armatures comprimées sont pas nécessaire A'=0

$$\alpha = 1.25 \left( 1 - \sqrt{1 - 2\mu} \right) = 0.035$$
 
$$Z = d(1 - 0.4\alpha) = 180 \left( 1 - 0.4 \times 0.035 \right) = 177.4 \text{ mm}$$
 
$$A_u = \frac{M_t}{Z.\delta_s} = \frac{8.42 \times 10^6}{177.4 \times 348} = 136.38 \text{ mm}^2 = 1.36 \text{ cm}^2.$$

### Condition de non fragilité :

$$A_{min} \ge 0.23 \ b \ d \frac{f_{t28}}{f_e}$$

$$f_{t28} = 0.6 + 0.06 f_{c28} = 2.1 \text{ Mpa.}$$

$$A_{\min} \ge 0.23 \times 65 \times 18 \times \frac{2.1}{400} = 1.41 \text{ cm}^2$$

Amin = 
$$1.41$$
cm<sup>2</sup>

$$A_U = max (A_{cal} = 1.36; A_{min} = 1.41 cm^2)$$

$$A_{11} = 1.41 \text{ cm}^2$$

On adopte : 3 HA10 soit  $A_s = 2.36 \text{cm}^2$ 

Tableau III. 18: Ferraillage de la poutrelle type 1.

$M_t(N.m)$	μ	$\mu_l$	α	Z(mm)	Amin	A(cm <sup>2</sup> )	Aadopt
					(cm <sup>2</sup> )		(cm <sup>2</sup> )
8.42	0.028	0.392	0.035	177.4	0.22	1.36	3HA10
							= 2.36

### Sur appuis:

Le moment sur appui est négatif, donc le béton de la dalle se trouve dans la zone tendue, alors nous considérons une section de largeur  $b_0$ = 10 cm.

$$\mu = \frac{M_a}{\delta_b \times b \times d^2} = \frac{11.07}{100 \times 180^2 \times 14.17} = 0.241$$

$$\alpha = 0.350$$

$$Z = 154.77$$

$$A_u = \frac{M_t}{Z.\,\delta_s} = \,\, \frac{11.07\,\times 10^6}{154.77\times 348} = 250.53 \,\, mm^2 = 2.05 \, cm^2.$$

### Condition non fragilité:

$$A_{min} \ge 0.23 \times 10 \times 18 \times \frac{2.1}{400} = 0.22 cm^2$$

$$A_{min} = 0.22 \text{ cm}^2$$

Donc 
$$A_u = max (A_{cal} = 2.05 ; A_{min} = 0.22)$$

$$A_u=2.05\ cm^2$$

Tableau III. 19: Ferraillage de la poutrelle type 1.

M <sub>t</sub> (N.m)	μ	$\mu_l$	α	Z(mm)	A(cm <sup>2</sup> )	Amin	Aadopt
						(cm <sup>2</sup> )	(cm <sup>2</sup> )
11.07	0.0241	0.392	0.035	154.77	2.05	0.22	2HA12 = 2.26

### **Vérification de la l'effort tranchant :**

$$\tau_{\rm u} = \frac{T_{\rm u}}{b_0 \times d} = \frac{15.96 \times 10^3}{180 \times 100} = 0.88 \text{ MPa}$$

$$\overline{\tau}_u = 3.3 \text{ MPa}$$

$$\tau_{\rm u} < \ \bar{\tau}_{\rm u}$$

### \* Armature de répartition :

$$\phi_t \leq \min \left( \frac{h}{35}, \frac{b_0}{10}, \phi_t \right)$$

$$\phi_t = 6mm$$

### Travée:

$$A_r = \frac{A_{max}}{4} = \frac{2.36}{4} = 0.59 \text{ cm}^2$$

### Appui:

$$A_r = \frac{A_{max}}{4} = \frac{2.26}{4} = 0.56 \text{ cm}^2$$

On adopte : **2HA6.=0.57cm**<sup>2</sup>

### **Espacement entre cadre (St):**

L'espacement des armatures transversales St est définit par le minimum entre les trois conditions qui suivent:

$$\begin{cases} S_{t1} \leq \min\{0.9h; 40cm\} \\ S_{t2} \leq \frac{A_u \times f_e}{0.4b_0} \end{cases}$$

$$S_{t3} \leq \frac{0.8 \times A_u \times f_e}{b_0(\tau_u - 0.3f_{t28})}$$
CBA 93 (Article A.5.1.2.2)

$$\begin{cases} S_{t1} \le \min\{0.9 \times 18 = 16.2; 40\text{cm}\} \\ S_{t2} \le \frac{0.57 \times 400}{0.4 \times 10} = 57 \text{ cm} \\ S_{t3} \le \frac{0.8 \times 0.57 \times 400}{10(0.88 - 0.3 \times 2.1)} = 73\text{cm} \end{cases}$$

$$S_t = min \{S_{t1}; S_{t1}; S_{t1}\} = 16.2$$

Soit :  $S_t = 15$  cm

### Vérification de la bielle :

$$\begin{cases} \sigma_{bc} \leq \frac{0.8 \, f_{c28}}{\gamma_b} \\ \sigma_{bc} = \frac{2 \, T_u}{a b_0} \end{cases} \text{Avec} : a = \min \left\{ 0.9d \, ; (40 - 4) cm \right\} = 16.2 \, cm$$

Ce qui donne :  $T_u \le 0.267 \times$  a  $\times$  b $_0 \times$  f $_{c28} = (0.267 \times$   $162 \times$   $100 \times$   $25) \times$   $10^{-3} = 108.14$  KN

$$T_u = 15.96 \text{ KN} \le 108.14 \text{ KN}.....vérifie.}$$

Pas de risque d'écrasement du béton au niveau de l'appui.

#### Vérification de la jonction table-nervure :

On doit vérifier que :

$$\tau_{\rm u} = \frac{T_{\rm u}b_{\rm 1}}{0.9 \ {\rm b} \ {\rm d} \ {\rm h}_{\rm 0}} \le \bar{\tau_{\rm u}}$$

Avec: 
$$b_1 = \frac{b - b_0}{2} = \frac{65 - 10}{2} = 27.5 \text{ cm}$$

$$\tau_{\rm u} = \frac{(15.96 \times 10^3) \times 275}{0.9 \times 650 \times 180 \times 40} = 1.04 \text{ Mpa}$$

$$\tau_u = 1.04 \; \text{Mpa} \leq \overline{\tau_u} = 3.33 \; \text{Mpa}$$
 .....vérifié.

Pas de risque de rupture à la jonction table nervure.

### Vérification des contraintes à l'ELS:

### > En travée :

$$M_{ts}^{max} = 6.14 \text{ KN.m}$$

$$\sigma_{bc} \leq \overline{\sigma_{bc}}$$

$$\sigma_{bc} = \frac{M_{ser} \times y}{I}$$

$$\overline{\sigma_{bc}} = 0.6 f_{c28}$$

$$\overline{\sigma_{bc}} = 0.6 \times 25 = 15 \text{ Mpa}$$

$$\overline{\sigma_{bc}} = 15 \text{ Mpa}$$

### Position de l'axe neutre :

$$\eta = 15$$
  $A'_{s} = 0$ 

$$A_s = 2.36 \text{ cm}^2$$

$$H = \frac{bh_0^2}{2} - 15A_s(d - h_0) = \frac{65 \times 4^2}{2} - 15 \times 2.36 \times (18 - 4) = 24.4 \text{ cm}^3$$

 $H \ge 0$  l'axe neutre passe par la table; d'où calcul d'une section rectangulaire.

### Calcul y:

$$\frac{1}{2}$$
 b y<sup>2</sup> +  $\eta$  (d-y)A'<sub>s</sub> -  $\eta$  (d-y)A<sub>s</sub>= 0

$$\frac{1}{2} \times 65 \times y^2 - 15 \times (18 - y) \times 2.36 = 0$$

$$y = 3.91 \text{ cm}$$

### Moment d'inertie :

$$I = \frac{1}{3}by^3 + \eta(d-y)^2A_s + \eta(d-y)A_s$$

$$I = \frac{1}{3} \times 65 \times 3.91^{3} + 15 \times (18 - 3.84)^{2} \times 2.36 = 8323.04 \text{ cm}^{4}$$

Donc:

$$\sigma_{bc} = \frac{M_{ser} \times y}{I} = \frac{6.14 \times 10^6 \times 39.1}{8323.04 \times 10^4} = 2.88 \text{ Mpa}$$

$$\sigma_{bc} = 2.88 \; Mpa \leq \; \overline{\sigma_{bc}} = 15 \; Mpa \; ... \; ... \; ... \; ... \; vérifie.$$

### > Appui:

$$M_{ts}^{max} = 8.07 \text{ KN.m}$$

$$\sigma_{bc} \leq \overline{\sigma_{bc}}$$

$$\sigma_{bc} = \frac{M_{ser} \times y}{I}$$

$$\overline{\sigma_{bc}} = 15 \text{ Mpa}$$

### Position de l'axe neutre :

$$\eta = 15$$
  $A'_{s} = 0$   $A_{s} = 2.26 \text{ cm}^{2}$ 

$$A_s = 2.26 \text{ cm}^2$$

### Calcul y:

$$\frac{1}{2}by^{2} + \eta (d-y)A'_{s} - \eta (d-y)A_{s} = 0$$

$$\frac{1}{2} \times 10 \times y^{2} - 15 \times (18-y) \times 2.26 = 0$$

$$y = 8.16 \text{ cm}$$

### Moment d'inertie :

$$I = \frac{1}{3} b y^3 + \eta (d - y)^2 A_s + \eta (d - y) A_s'$$

$$I = \frac{1}{3} \times 10 \times 8.16^3 + 15 \times (18 - 8.16)^2 \times 2.26 = 5093.51 \text{ cm}^4$$

Donc:

$$\sigma_{bc} = \frac{M_{ser} \times y}{I} = \frac{8.07 \times 10^6 \times 81.6}{5093.51 \times 10^4} = 12.92 \text{ Mpa}$$

$$\sigma_{bc} = 12.92 \; Mpa \leq \; \overline{\sigma_{bc}} = 15 \; Mpa \; ... \; ... \; ... \; v\'{e}rifie.$$

Tableau III. 20: Vérification des contraintes à l'ELS

	Mser	As	Y	I	$\delta_{bc}$	$\delta_{bc} \leq \delta_{bc}$
	(KN.m)	(cm <sup>2</sup> )	(cm)	(cm <sup>4</sup> )		$O_{bc} = O_{bc}$
Travée	6.14	2.36	3.91	8323.04	2.88	CV
Appuis	8.07	2.26	8.16	5093.51	12.92	CV

### Vérification de la flèche : BAEL 91(article B.6.5.1)

$$\begin{cases} \frac{h}{l} \ge \frac{1}{16} \\ \frac{h}{l} \ge \frac{M_t}{10 M_0} \\ \frac{A_s}{bd} \le \frac{4.2}{f_e} \end{cases} \Rightarrow \begin{cases} \frac{0.20}{4.05} = 0.049 \ge \frac{1}{16} = 0.0625 \quad \text{c. n. v} \\ \frac{0.2}{3.05} = 0.049 \ge \frac{8.42}{10 \times 12.98} = 0.064 \quad \text{c. n. v} \\ \frac{2.36}{65 \times 18} = 0.002 \le \frac{4.2}{400} = 0.0105 \quad \text{c. v} \end{cases}$$

Comme les conditions (1) et (2) ne sont pas vérifiées, donc on doit vérifier la condition :

### **Evaluation des flèches (BAEL91 B.6.5, 2):**

La part de la flèche totale ft qui doit être comparée aux limites admissibles a pour valeur :

$$f \le \bar{f} = \frac{l}{500}$$

Il faut avoir:

$$\bullet \quad \frac{\it l}{\it 500} \dots L \leq 5m.$$

• 
$$\frac{l}{500}$$
 + 0.5......L  $\geq$  5m.

Donc: 
$$f_{adm} = \frac{l}{500} = 8.1 \ mm$$

Avec:

Ei: Module de déformation instantanée du béton.

### **❖** Calcule le moment d'inertie de la section homogène I₀:

$$I_0 = \frac{bh^3}{12} + bh \left[\frac{h}{2} - V\right]^2 + 15 A_s (d - V)^2$$

$$I_0 = 72246.09 cm$$

### Déformation instantanée :

$$\lambda = \lambda_i = \frac{0.05 f_{t28}}{(2+3\frac{b_0}{b})\rho}$$

$$\rho = \frac{A_s}{b_0 \times d} = 0.013$$

$$\lambda_i = \frac{0.05 f_{t28}}{(2+3\frac{b_0}{b})\rho} = \frac{0.05 \times 2.1}{(2+3)0.013} = 3.281$$

$$E_i = 11000\sqrt[3]{f_{c28}} = 32164.2 \text{ MPa}$$

$$\mu = 1 - \left(\frac{1.75 f_{t28}}{4 \rho + f_{t28}}\right) \implies \mu = 0.818$$

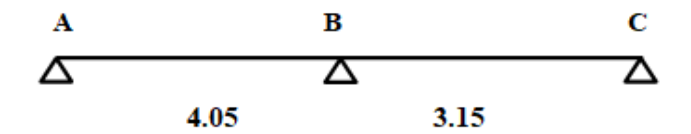
$$I_f = \frac{1.1 I_0}{1+\lambda \mu}$$

$$I_{fi} = \frac{1.1 I_0}{1+\lambda_i \mu} = \frac{1.1 \times 72246.09}{1+3.281(0.818)} \implies I_{fi} = 21571.85cm^4$$

$$f_{Terrasse} = \frac{M L^2}{10 \times E_i \times I_{fi}} = 1.961 \ mm < f = \frac{l}{500} = 8.1...\text{cv}$$

# **♣** Plancher étage :

# <u>Type 1</u>:



### ELU:

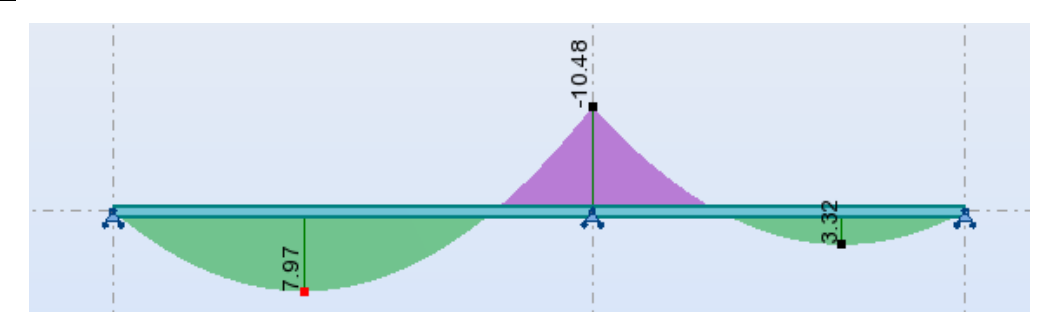
Tableau III. 21: Les sollicitations à ELU et ELS, poutrelle type 1(Plancher étage).

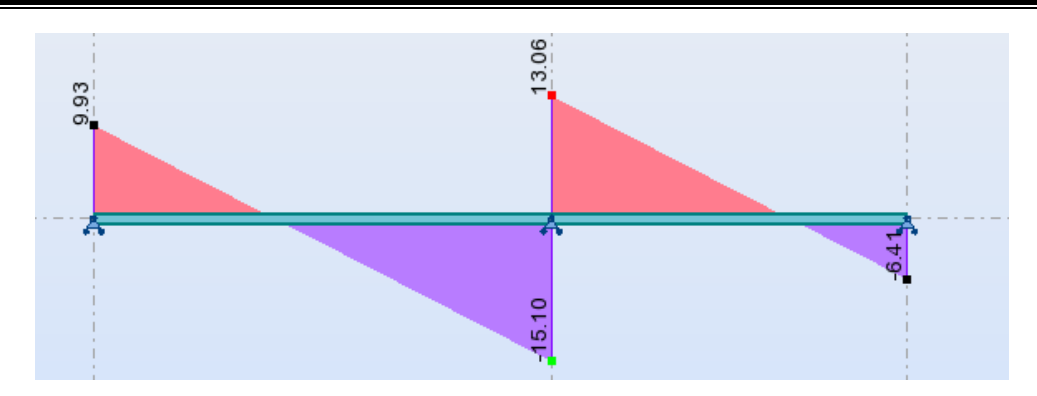
Travée	L(m)	Moments aux Appuis		Moment en	Les effort	s tranchants
				travée		
		Mg (KN.m)	M <sub>d</sub> (KN.m)	Mtu (KN.m)	T <sub>g</sub> (KN)	T <sub>d</sub> (KN)
A-B	4.05	0	-10.48	7.97	9.93	-15.10
В-С	3.15	-10.48	0	3.32	13.06	- 6.41

# <u>ELS :</u>

Travée	L(m)	Moments a Appuis	Moments aux Mo Appuis tı		Les effort	s tranchants
		Mg (KN.m)	M <sub>d</sub> (KN.m)	M <sub>tu</sub> (KN.m)	T <sub>g</sub> (KN)	T <sub>d</sub> (KN)
A-B	4.05	0	-7.58	5.77	7.18	-10.93
В-С	3.15	-7.58	0	2.40	9.45	- 4.64

# ELU:





### ELS:

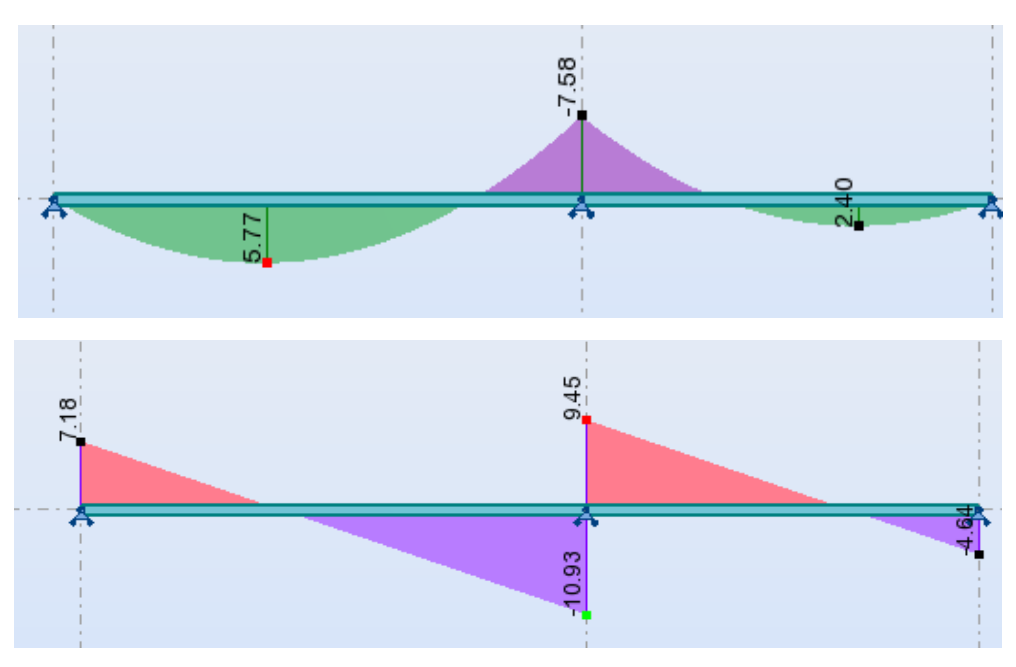
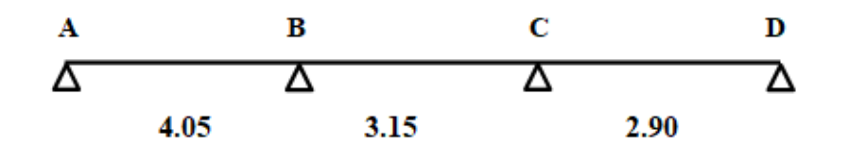


Figure III. 18: Evaluation des moments et efforts tranchants type 01(plancher étage)

**Type 2:** 



# ELU:

Tableau III. 22: Les sollicitations à ELU et ELS, poutrelle type 2 (Plancher étage).

Travée	L(m)	Moments aux Appuis		Moment en Travée	Les effort	s tranchants
		M <sub>g</sub> (KN.m)	M <sub>d</sub> (KN.m)	Mtu (KN.m)	T <sub>g</sub> (KN)	T <sub>d</sub> (KN)
A-B	4.05	0	-9.47	8.37	10.18	-15.96

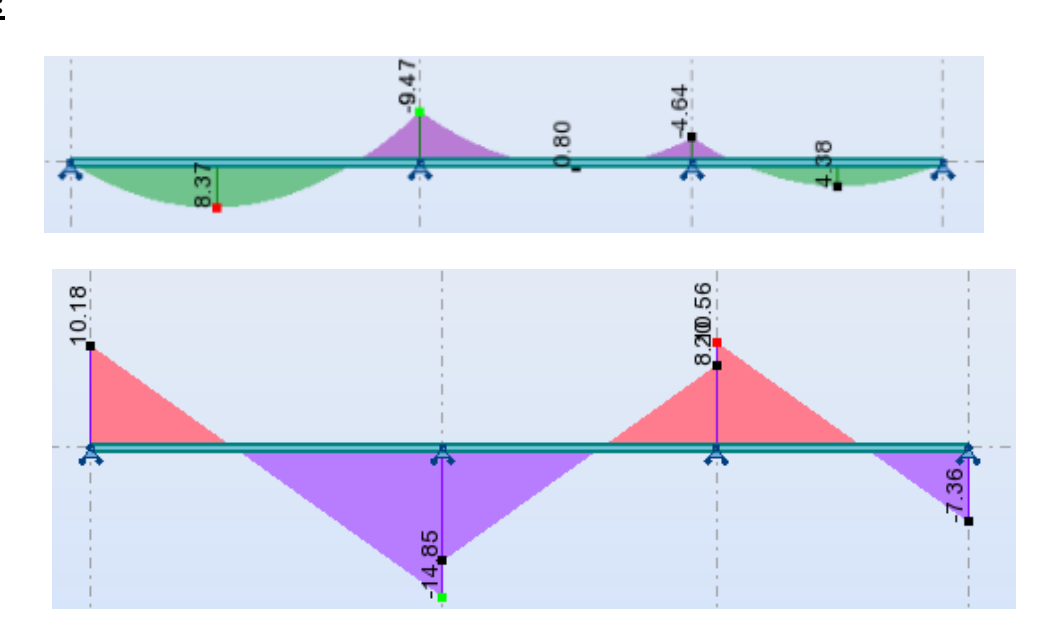
# Chapitre III : Calcul des éléments secondaires

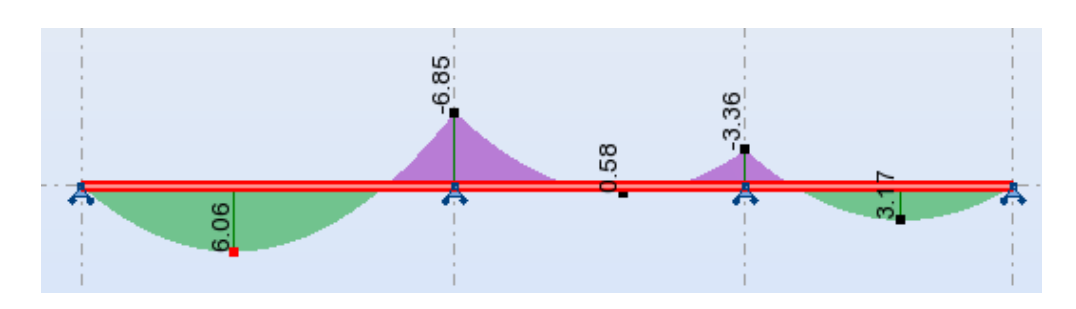
В-С	3.15	-9.47	- 4.64	0.8	-8.20	8.20
C-D	2.90	-4.64	0	4.38	10.56	-7.36

# ELS:

Travée	L(m)	Moments aux Appuis		Moment en Travée	Les effort	s tranchants
		M <sub>g</sub> (KN.m)	M <sub>d</sub> (KN.m)	M <sub>tu</sub> (KN.m)	T <sub>g</sub> (KN)	T <sub>d</sub> (KN)
A-B	4.05	0	-6.85	6.06	7.36	-10.75
В-С	3.15	-6.85	-3.36	0.58	8.15	<b>–</b> 5.94
C-D	2.90	- 3.36	0	3.17	7.64	-5.33

# ELU:





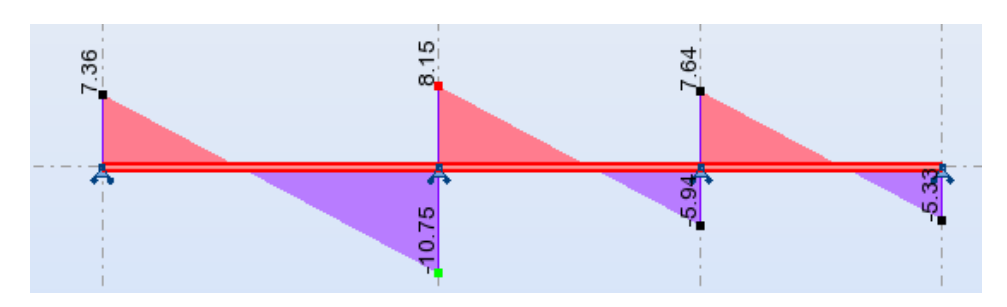


Figure III. 19: Evaluation des moments et efforts tranchants type 02(plancher étage)

Type 03:

### ELU:

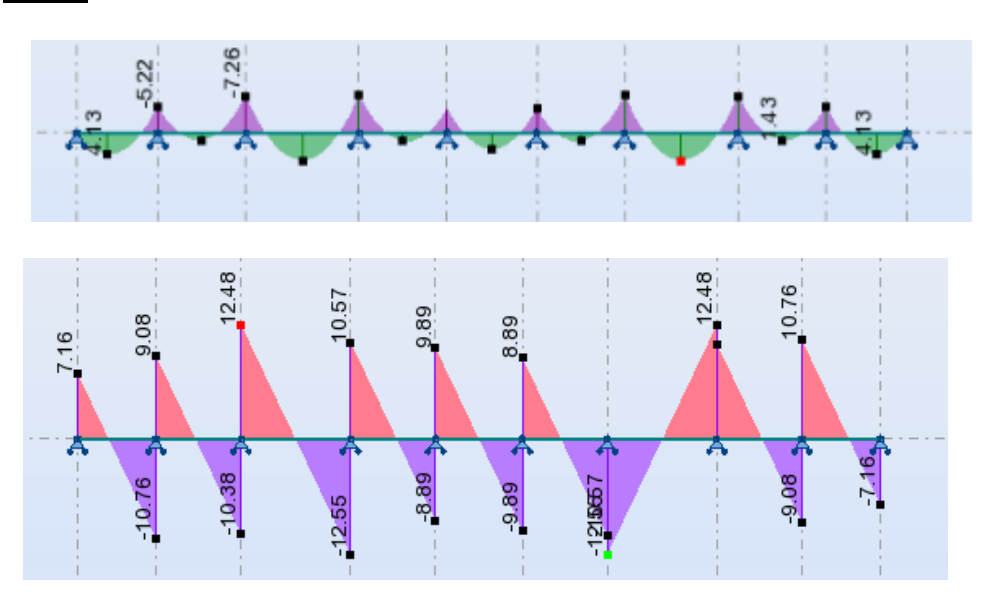
Tableau III. 23: Les sollicitations à ELU et ELS, poutrelle type 3 (Plancher étage).

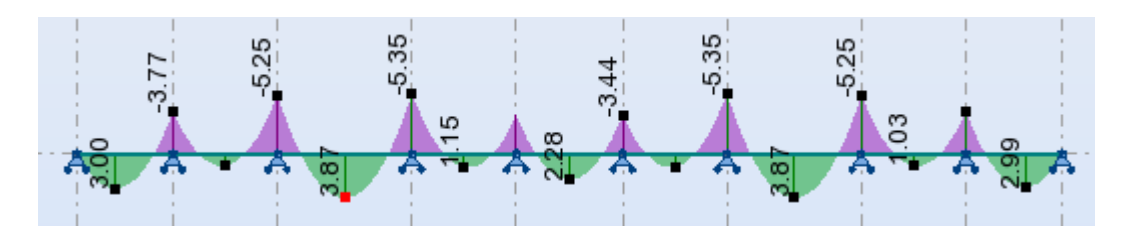
Travée	L(m)	Qu (KN.m)	Mg (KN.m)	M <sub>d</sub> (KN.m)	M <sub>tu</sub> (KN.m)	T <sub>g</sub> (KN)	T <sub>d</sub> (KN)
A-B	2.9	6.18	0	- 5.22	4.14	7.16	-10.76
В-С	3.15	6.18	- 5.22	-7.26	1.43	9.08	-10.38
C-D	4.05	6.18	- 7.26	-7.26	5.34	- 12.48	- 10.57
<b>D-E</b>	3.15	6.18	-7.26	-4.76	1.60	12.55	- 8.89
E-F	3.2	6.18	-4.76	-4.76	3.15	-8.89	8.89
F-G	3.15	6.18	-4.76	-7.26	1.60	8.89	- 10.57
G-H	4.05	6.18	-7.26	-7 .26	5.34	12.55	-12.48
H-I	3.15	6.18	-7.26	- 5.22	1.43	10.38	-9.08
I-J	2.9	6.18	- 5.22	0	4.14	- 10.76	-7.16

Travée	L(m)	Qu (KN.m)	Mg (KN.m)	M <sub>d</sub> (KN.m)	M <sub>tu</sub> (KN.m)	T <sub>g</sub> (KN)	T <sub>d</sub> (KN)
А-В	2.9	4.47	0	- 3.77	3.00	5.18	-7.79
В-С	3.15	4.47	- 3.77	-5.25	1.03	6.57	-7.51

C-D	4.05	4.47	- 5.25	-5.35	3.87	-9.08	- 9.03
D-E	3.15	4.47	-5.35	- 3.44	1.15	7.65	- 6.44
E-F	3.2	4.47	- 3.44	- 3.44	2.28	7.16	-7.16
F-G	3.15	4.47	- 3.44	-5.35	1.15	6.44	-7.63
G-H	4.05	4.47	-5.35	-5.25	3.87	9.08	- 9.03
H-I	3.15	4.47	-5.25	- 3.77	1.03	7.51	- 6.57
I-J	2.9	4.47	- 3.77	0	2.99	7.79	-5.18

### **ELU:**





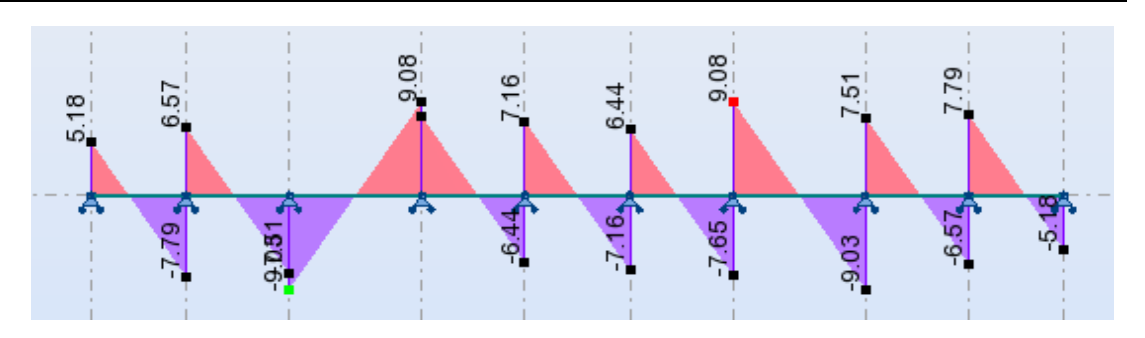


Figure III. 20: Evaluation des moments et efforts tranchants type 03(plancher étage)

### III.6.4.9 Ferraillage des poutrelles :

Les armatures seront calculées sous les sollicitations les plus défavorables et le calcul estconduit pour une section en Té soumise à la flexion simple.

### **ELU:**

Calcule de moment résistant de la section en T:

$$M_0 = \overline{\delta_b} \times b \times h_0 \left( d - \frac{h_0}{2} \right) = 14.17 \times 0.65 \times 0.04 (0.18 - 0.02) = 58.947 N.m$$
  
 $M_{Tmax} = 8.37 \text{ KN.m} < 58.94 \text{ KN}.$ 

Par conséquent, seule une partie de la table est comprimée et la section en Té sera calculée comme une section rectangulaire de largeur b= 65cm et de hauteur d= 18 cm.

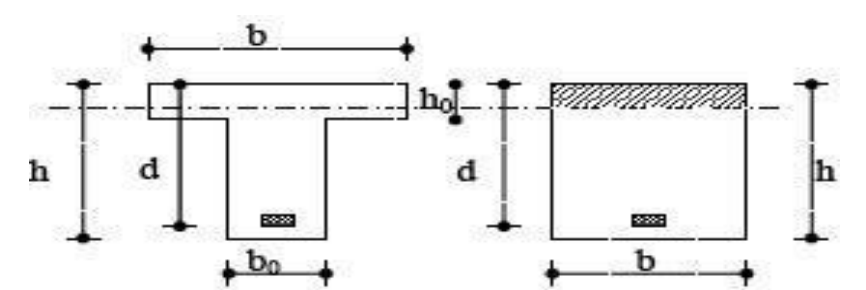


Figure III. 21: Coupe de Section Rectangulaire et Section en T

### Travée:

$$\mu = \frac{M_t}{\delta_h \times b \times d^2} = \frac{8.37 \times 10^6}{650 \times 180^2 \times 14.17} = 0.03 < 0.392$$

Donc les armatures comprimées sont pas nécessaire A'=0

$$\alpha = 1.25 \left( 1 - \sqrt{1 - 2\mu} \right) = 0.038$$

$$Z = d(1 - 0.4\alpha) = 180 (1 - 0.4 \times 0.038) = 177.3 \text{ mm}$$

$$A_u = \frac{M_t}{Z.\delta_s} = \frac{8.42 \times 10^6}{177.4 \times 348} = 1.35 \text{ cm}^2.$$

Condition de non fragilité :

$$\begin{array}{ll} 0.23 \text{ b d} \frac{f_{t28}}{f_e} & A_{min} \geq \\ & f_{t28} = \! 0.6 \! + \! 0.06 f_{c28} = \! 2.1 \text{ Mpa.} \\ & A_{min} \geq 0.23 \, \times 65 \times 18 \, \times \frac{2.1}{400} = 1.41 \, \text{cm}^2 \\ & = 1.41 \text{cm}^2 & A_{min} \\ & = \text{max} \; (\, A_{cal} = 1.35 \; ; \; A_{min} = 1.41 \, \text{cm}^2) & A_u \\ & A_u \! = 1.41 \, \text{cm}^2 \end{array}$$

On adopte : 3 HA10 soit  $A_s = 2.36 \text{cm}^2$ 

Tableau III. 24: Ferraillage de la poutrelle type 2.

$M_t(N.m)$	μ	$\mu_l$	α	Z(mm)	Amin	A(cm <sup>2</sup> )	Aadopt
					(cm <sup>2</sup> )		(cm <sup>2</sup> )
8.37	0.03	0.392	0.038	177.3	1.41	1.35	3HA10
							= 2.36

### Sur appuis:

Le moment sur appui est négatif, donc le béton de la dalle se trouve dans la zone tendue, alors nous considérons une section de largeur  $b_0$ = 10 cm.

$$\mu = \frac{M_a}{\delta_b \times b \times d^2} = \frac{9.47}{100 \times 180^2 \times 14.17} = 0.03$$

 $\alpha = 0.038$ 

Z = 177.3 mm

$$A_{\rm u} = \frac{M_{\rm t}}{Z.\,\delta_{\rm s}} = \frac{9.47\,\times 10^6}{154.77\times 348} = 1.53\,{\rm cm}^2.$$

### Condition non fragilité:

$$A_{min} \ge 0.23 \times 10 \times 18 \times \frac{2.1}{400} = 0.22 cm^2$$

$$A_{min} = 0.22 \text{ cm}^2$$

Donc 
$$A_u = \max (A_{cal} = 1.53 ; A_{min} = 0.22)$$

$$A_u = 2.26 \ cm^2$$

Tableau III. 25: Ferraillage de la poutrelle type 2

M <sub>t</sub> (N.m)	μ	$\mu_l$	α	Z(mm)	A(cm <sup>2</sup> )	Amin	Aadopt
						(cm <sup>2</sup> )	(cm <sup>2</sup> )
9.47	0.03	0.392	0.038	177.3	1.53	0.22	2HA12 = 2.26

### **Vérification de la l'effort tranchant :**

$$\tau_{\rm u} = \frac{T_{\rm u}}{b_0 \times d} = \frac{14.85 \times 10^3}{180 \times 100} = 0.825 \text{ MPa}$$

$$\overline{\tau}_u = 3.3 \text{ MPa}$$

$$\tau_u < \ \bar{\tau}_u$$

### **\*** Armature de répartition :

$$\phi_t \leq \min \left( \frac{h}{35}, \frac{b_0}{10}, \phi_t \right)$$

$$\phi_t = 6mm$$

### Travée:

$$A_r = \frac{A_{max}}{4} = \frac{2.36}{4} = 0.59 \text{ cm}^2$$

### Appui:

$$A_r = \frac{A_{max}}{4} = \frac{2.26}{4} = 0.56 \text{ cm}^2$$

On adopte : **2HA6.= 0.57cm**<sup>2</sup>

### **Espacement entre cadre (St):**

L'espacement des armatures transversales St est définit par le minimum entre les trois conditions qui suivent:

$$\begin{cases} S_{t1} \leq \min\{0.9h; 40cm\} \\ S_{t2} \leq \frac{A_u \times f_e}{0.4b_0} \end{cases}$$

$$S_{t3} \leq \frac{0.8 \times A_u \times f_e}{b_0(\tau_u - 0.3f_{t28})}$$
CBA 93 (Article A.5.1.2.2)

$$\begin{cases} S_{t1} \leq \min\{0.9 \times 18 = 16.2; 40cm\} \\ S_{t2} \leq \frac{0.57 \times 400}{0.4 \times 10} = 57 \text{ cm} \\ S_{t3} \leq \frac{0.8 \times 0.57 \times 400}{10(0.82 - 0.3 \times 2.1)} = 96cm \end{cases}$$

$$S_t = min \{S_{t1}; S_{t2}; S_{t3}\} = 16.2$$

Soit :  $S_t = 15$  cm

#### Vérification de la bielle :

$$\begin{cases} \sigma_{bc} \leq \frac{0.8 \, f_{c28}}{\gamma_b} \\ \sigma_{bc} = \frac{2 \, T_u}{a b_0} \end{cases} \text{Avec} : a = \min \{ 0.9d \, ; (40 - 4) \text{cm} \} = 16.2 \, \text{cm}$$

Ce qui donne :  $T_u \le 0.267 \times$  a  $\times$  b $_0 \times$  f $_{c28} = (0.267 \times$   $162 \times$   $100 \times$   $25) \times$   $10^{-3} = 108.14$  KN

$$T_u = 14.85 \text{ KN} \le 108.14 \text{ KN}.....vérifie.}$$

Pas de risque d'écrasement du béton au niveau de l'appui.

### Vérification de la jonction table-nervure :

On doit vérifier que :

$$\tau_u = \frac{T_u b_1}{0.9 \text{ b d } h_0} \le \overline{\tau_u}$$

Avec: 
$$b_1 = \frac{b - b_0}{2} = \frac{65 - 10}{2} = 27.5 \text{ cm}$$

$$\tau_{\rm u} = \frac{(14.85 \times 10^3) \times 275}{0.9 \times 650 \times 180 \times 40} = 0.96 \text{ Mpa}$$

$$\tau_u = 0.96 \; \text{Mpa} \leq \overline{\tau_u} = 3.33 \; \text{Mpa}$$
.....vérifié.

Pas de risque de rupture à la jonction table nervure.

### Vérification des contraintes à l'ELS:

### > En travée :

$$M_{ts}^{max} = 6.06 \text{ KN.m}$$

$$\sigma_{bc} \leq \overline{\sigma_{bc}}$$

$$\sigma_{bc} = \frac{M_{ser} \times y}{I}$$

$$\overline{\sigma_{bc}} = 15 \text{ Mpa}$$

### Position de l'axe neutre :

$$\eta = 15$$
  $A'_{s} = 0$ 

$$A_s = 2.36 \text{ cm}^2$$

$$H = \frac{bh_0^2}{2} - 15A_s(d - h_0) = \frac{65 \times 4^2}{2} - 15 \times 2.36 \times (18 - 4) = 24.4 \text{ cm}^3$$

 $H \ge 0$  l'axe neutre passe par la table; d'où calcul d'une section rectangulaire.

### Calcul y:

$$\frac{1}{2}$$
 b y<sup>2</sup>+  $\eta$  (d-y)A'<sub>s</sub> -  $\eta$  (d-y)A<sub>s</sub>= 0

$$y = 3.91 \text{ cm}$$

### Moment d'inertie :

$$I = \frac{1}{3}by^3 + \eta(d-y)^2A_s + \eta(d-y)A_s$$

$$I = 8323.04 \text{ cm}^4$$

Donc:

$$\sigma_{bc} = \frac{M_{ser} \times y}{I} = \frac{6.06 \times 10^6 \times 39.1}{8323.04 \times 10^4} = 2.68 \text{ Mpa}$$

$$\sigma_{bc} = 2.68 \; Mpa \leq \; \overline{\sigma_{bc}} = 15 \; Mpa \ldots \ldots v\acute{e}rifie.$$

### > Appui:

$$M_{ts}^{max} = 6.85 \text{ KN.m}$$

$$\sigma_{\rm hc} \leq \overline{\sigma_{\rm hc}}$$

$$\sigma_{bc} = \frac{M_{ser} \times y}{I}$$

$$\overline{\sigma_{bc}} = 15 \text{ Mpa}$$

### Position de l'axe neutre :

$$\eta = 15$$
  $A_{s} = 0$ 

$$\eta = 15$$
  $A'_s = 0$   $A_s = 2.26 \text{ cm}^2$ 

### Calcul y:

$$\frac{1}{2}by^{2} + \eta (d-y)A_{s}^{'} - \eta (d-y)A_{s} = 0$$

$$y = 8.16 \text{ cm}$$

#### Moment d'inertie :

$$I = \frac{1}{3}by^3 + \eta(d-y)^2A_s + \eta(d-y)A_s$$

$$I = 5093.51 \text{ cm}^4$$

Donc:

$$\sigma_{bc} = \frac{M_{ser} \times y}{I} = \frac{6.85 \times 10^6 \times 81.6}{5093.51 \times 10^4} = 10.97 \text{ Mpa}$$

$$\sigma_{bc} = 10.97 \; Mpa \leq \; \overline{\sigma_{bc}} = 15 \; Mpa \ldots \ldots v\acute{e}rifie.$$

Tableau III. 26: Vérification des contraintes à l'ELS

	Mser	$\mathbf{A}_{\mathbf{s}}$	Y	I	$\delta_{bc}$	$\delta_{bc} \leq \delta_{bc}$
	(KN.m)	(cm²)	(cm)	(cm <sup>4</sup> )		$O_{bc} = O_{bc}$
Travée	6.06	2.36	3.91	8323.04	2.68	CV
Appuis	6.85	2.26	8.16	5093.51	10.97	CV

### Vérification de la flèche : BAEL 91(article B.6.5.1)

$$\begin{cases} \frac{h}{l} \ge \frac{1}{16} \\ \frac{h}{l} \ge \frac{M_t}{10 M_0} \\ \frac{A_s}{bd} \le \frac{4.2}{f_e} \end{cases} \Rightarrow \begin{cases} \frac{0.20}{4.05} = 0.049 \ge \frac{1}{16} = 0.0625 \quad \text{c. n. v} \\ \frac{0.2}{4.05} = 0.049 \ge \frac{8.37}{10 \times 12.67} = 0.066 \quad \text{c. n. v} \\ \frac{2.36}{10 \times 18} = 0.013 \le \frac{4.2}{400} = 0.0105 \quad \text{c. n. v} \end{cases}$$

Comme les conditions (1) et (2) ne sont pas vérifiées, donc on doit vérifier la condition :

### **Evaluation des flèches (BAEL91 B.6.5, 2):**

La part de la flèche totale ft qui doit être comparée aux limites admissibles a pour valeur :

$$f \leq \bar{f} = \frac{l}{500}$$

Il faut avoir:

$$\bullet \quad \frac{\it l}{\rm 500} \ldots L \leq 5m.$$

Donc:  $f_{adm} = \frac{l}{500}$ 

### ❖ Calcule le moment d'inertie de la section homogène I₀:

$$I_0 = \frac{bh^3}{12} + bh\left[\frac{h}{2} - V\right]^2 + 15 A_s (d - V)^2$$

$$I_0 = 72246.09 \text{ cm}$$

### Déformation instantanée :

 $I_{fi} = \frac{1.1 \ I_0}{1 + \lambda_i \ \mu} = 21571.851 \text{ cm}$ 

$$\lambda = \lambda_i = \frac{0.05 f_{t28}}{(2+3\frac{b_0}{b})\rho}$$

$$\rho = \frac{A_s}{b_0 \times d} = 0.013$$

$$E_i = 11000\sqrt[3]{f_{c28}} = 32164.2 \text{ MPa}$$

$$\mu = 1 - (\frac{1.75 f_{t28}}{4 \rho + f_{t28}}) \implies \mu = 0.818$$

$$I_f = \frac{1.1 I_0}{1 + \lambda \mu}$$

$$f_i = \frac{M L^2}{10*E_i*I_{fi}} = 1.856 \text{ cm} < f = \frac{l}{500} = 8.1\text{cm}...\text{cv}$$

# ❖ Ferraillage de la dalle de compression des planchers avec hourdis et corps creux :

La vérification de la flèche n'est pas nécessaire si les conditions suivantes sont vérifiées:(**BAEL** B.6.5, 1) [3]

Avec: h=0.20 m et l=4.05 m.

Les ferraillages se fait par quadratique de barres, dont les dimensions des mailles nedoivent pas dépasser :

- 20cm dans le sens parallèle aux poutrelles.
- 33cm dans les sens perpendiculaires aux poutrelles
- L'espacement entre nervures est compris entre 53 et 8cm.
- a. La section d'acier perpendiculaire aux nervures doit satisfaire :

✓ Si 
$$50 < L \le 80 \ cm \Rightarrow A \perp Nervures \ge \frac{4 \ l}{f_e} \ cm^2$$

✓ Si L ≤ 50 cm 
$$\Rightarrow$$
 A  $\perp$ Nervures  $\geq \frac{200}{f_e}$  cm<sup>2</sup>

Avec: L = 65cm, Fe = 400MPa.

$$A > \frac{4 \times 65}{400} = 0.65 \text{ cm}^2/\text{ml}$$

### b. Les armatures parallèles aux nervures :

A //Nervures = 
$$\frac{A \perp Nervures}{2} = \frac{0.65}{2} = 0.325 cm^2 / ml$$

D'où on opte pour :  $4HA8/ml = 2.01cm^2/ml$ 

Donc  $A \perp Nervures = A //Nervures = 2.01 \text{cm}^2/\text{ml}$ .

$$S_{\rm t} = \frac{100}{5} = 20 \ cm$$

La maille choisie de (20x 20 cm) dans le sens parallèle aux nervures.

### Schéma de ferraillage :

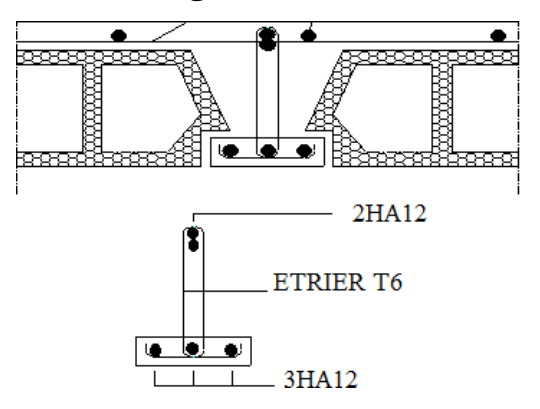


Figure III. 22: Ferraillage de poutrelle.

### III.7 Etude de la table de compression

La table de compression sera ferraillée d'un quadrillage de barres appelées

### **TREILLIS**

dont les dimensions de maillage ne doivent pas dépasser :

20cm pour les armatures perpendiculaires aux nervures 33cm pour les armaturesparallèles aux nervures.

La section d'armatures perpendiculaires aux nervures doit être :

$$A \ge \frac{4L}{f_e}$$

On adopte un treillis soudé de  $(150 \times 150)$  de diamètre  $\Phi 6$ 

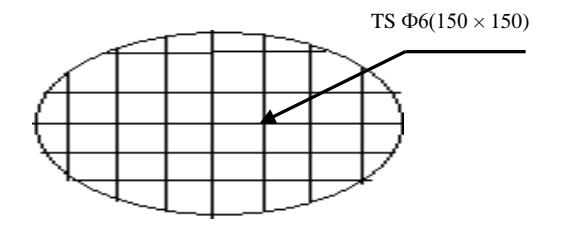
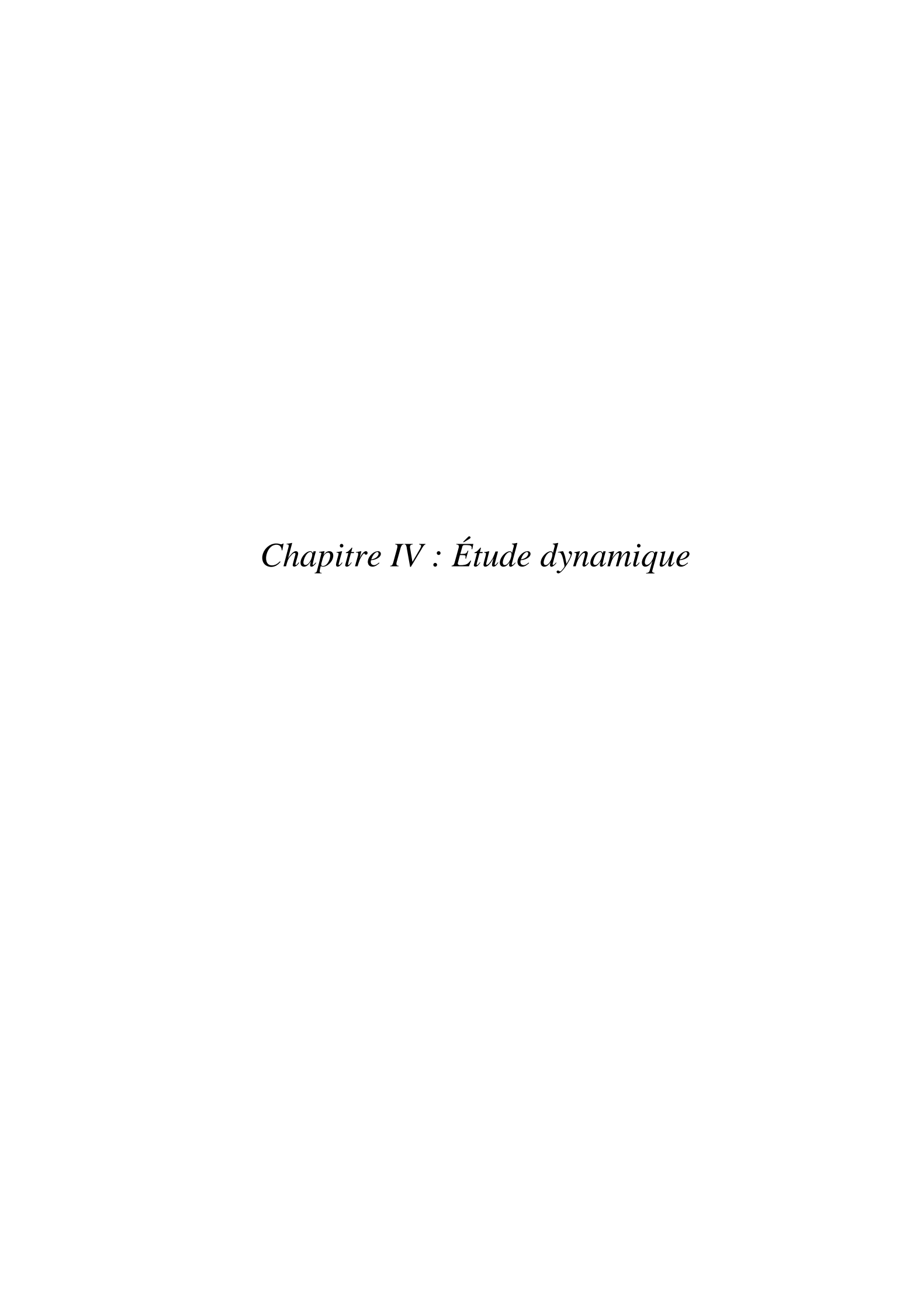


Figure III. 23: Ferraillage de la table de compression

### **III.8 Conclusion**

Dans ce chapitre, on a pour déterminer le ferraillage des éléments secondaires de notre structure, et ceci on répond à toutes les exigences du RPA99 version 2003, BAEL 91 modifié en 99, et le CBA 93.



#### **IV.1 Introduction**

Le séisme est l'un des problèmes majeur que l'ingénieur doit prendre en considération comme point primordial dans l'élaboration des calculs car toute structure implantée en zone sismique est susceptible de subir durant sa durée de vie a cette excitation dynamique de nature sismique ; ce dernier (le séisme ) ce traduit en surface par des vibrations du sol. Il provient de la fracturation des roches en profondeur. Cette fracturation est due à une grande accumulation d'énergie qui se libère, en créant ou en faisant rejouer des failles, au moment où le seuil de rupture mécanique des roches est atteint. La croûte terrestre est constituée de plusieurs grandes plaques qui évoluent les unes par rapport aux autres, certaines s'écartent, d'autres convergent, et d'autres coulissent. Environ90% des séismes sont localisés au voisinage des limites de ces plaques.

Lorsque les contraintes dépassent un certain seuil, une rupture d'équilibre se produit et donne naissance aux ondes sismiques qui se propagent dans toutes les directions et atteignent la surface du sol. Ces mouvements du sol excitent les ouvrages par déplacement de leurs appuis et sont plus ou moins amplifiés dans la structure. Le niveau d'amplification dépend essentiellement de la période de la structure et de la nature du sol. Ce qui implique de bien faire toute une étude pour essayer de mettre exergue le comportement dynamique l'ouvrage. - Effort séismique est un effort dynamique (varie en fonction du temps). Le calcul sismique dans notre étude sera effectué dans le cadre du règlement parasismique algérien [RPA99 version2003].

# IV.1 Étude dynamique:

L'analyse dynamique nécessite toujours initialement de créer un modèle de calcul représentant la structure. Ce modèle introduit en suite dans un programme de calcul Dynamique permet la détermination de ses modes propre de vibrations et des efforts Engendrés par l'action sismique.

# IV.2. Objectif de l'Étude dynamique

L'objectif initial de l'étude dynamique d'une structure est la détermination des caractéristiques dynamiques propres de la structure lors de ses vibrations. Une telle étude pour notre structure telle qu'elle se présente, est souvent très complexe c'est pourquoi on fait souvent appel à des

modélisations qui permettent de simplifier suffisamment les problèmes pour permettre l'analyse.

### IV.3 Choix de la méthode de calcul : [[2]; Art: 4.1.1]

Les règles parasismiques algériennes (RPA99, version 2003), présentent trois méthodes de calcul :

La méthode statique équivalente;

- La méthode d'analyse modale spectrale ;
- La méthode d'analyse dynamique par accélérogramme.

Le choix de la méthode de calcul dépend des conditions d'application de chacune d'elle

D'après le RPA99V2003, notre structure est implantée et classée dans la zone sismique

II.a (une zone de moyenne sismicité) et d'un Groupe d'usage 02

### IV.3.1. La méthode statique équivalente :

#### a. Principe de la méthode :

Selon cette méthode les forces réelles dynamiques qui se développent dans la construction sont remplacées par un système de forces statiques fictives appliquées successivement dans les deux directions orthogonales et horizontale et ayant des effets équivalents à ceux de l'action sismique. Le RPA99/version2003 permet sous certaines conditions de faire les calculs par cette méthode, qui consiste à considérer la structure comme soumise à un effort tranchant à sa base donné par la formule suivante:

$$V = \frac{A \times D \times Q}{R} W$$

Avec

- A : Coefficient d'accélération de zone le facteur dépend de deux paramètres :
  - Groupe d'usage
  - Zone sismique
  - R : Coefficient de comportement
    - Il est en fonction du système de contreventement [2]; Tableau: 4.3]
  - Q : Facteur de qualité de la structure déterminée par la formule suivante :

$$Q = 1 + \sum_{1}^{6} pq$$
 [ [2]; Formule (4-4)]

Pq : est la pénalité à retenir selon que le critère de qualité q est satisfait ou non

Tableau IV. 1 : Valeurs des pénalités Pq.

~	Pq					
Critère q	Critère observé	Critère non observé				
1 condition minimale des	0	0.05				
files porteuses						
2 Redondances en plan	0	0.05				
3 Régularité en plan	0	0.05				
4 Régularité en élévation	0	0.05				
5 Contrôle de la qualité des	0	0.05				
matériaux						
6 Contrôle de la qualité de	0	0.10				
l'exécution						

• W : Poids total de la structure.

- W = 
$$\sum Wi$$
 Avec :  $Wi = W_{Gi} + \beta W_{Gi}$  [ [2]; Formule (4-5)]

 $W_{Gi}$ : Poids dû aux charges permanentes totales

 $W_{0i}$ : Charge d'exploitation

 $\beta$ : Coefficient de pondération, fonction de la nature et de la durée de la charge

d'exploitation il est donné par [2]; Tableau: 4.5]

W = 0.2 pour usage d'habitation

**D**: Facteur d'amplification dynamique moyen :

Le coefficient D est le facteur d'amplification dynamique moyen. Il est fonction de la période fondamentale de la structure (T), de la nature du sol et du facteur de correction d'amortissement  $(\eta)$ 

$$\mathbf{D} = \begin{cases} 2.5 & 0 \le T \le T_2 \\ 2.5 & \left(\frac{T_2}{T}\right)^{2/3} \\ 2.5 & \left(\frac{T_2}{T}\right)^{2/3} \end{cases} \qquad \qquad \begin{aligned} 0 \le T \le T_2 \\ T_2 \le T \le 3 s \end{aligned} \qquad \qquad [\ [\mathbf{2}]\ ; \mathbf{Tableau}\ : \mathbf{(4-2)}] \\ T \ge 3 s \end{cases}$$

T2 : Période caractéristique, associée à la catégorie du site. [2]; Tableau: 4.7]

- Calcul de la période fondamentale de la structure :

Le facteur de correction d'amortissement  $\eta$  est donné par :

$$\eta = \sqrt{\frac{7}{2+\varepsilon}} \ge 0.7$$

Où  $\varepsilon$  % est le pourcentage d'amortissement critique fonction du matériau constitutif, du Type de structure et de l'importance des remplissages.

Tc = 
$$C_T h_n^{3/4}$$
 [ [2]; Formule (4-6)]

 $h_n$ : Hauteur mesurée en mètre à partir de la base de la structure jusqu'au dernier niveau  $\mathcal{C}_T$ : Coefficient, fonction du système de contreventement du type de remplissage et

donnée par le type de système de contreventement

On peut également utiliser aussi la formule suivante :

**T** = 0.09 
$$h_n / \sqrt{D}$$
 [ [2]; Formule (4-7)]

où D est la dimension du bâtiment mesurée à sa base dans la direction de calcul considérée

Cette méthode peut être utilisée dans les conditions suivantes :

### b.1.Régularité en plan :

- Le bâtiment doit présenter une configuration sensiblement symétrique vis à vis de deux directions orthogonales aussi bien pour la distribution des rigidités que pour celle des masses.
- Notre bâtiment présenter une configuration antisymétrique suivant l'axe Longitudinale et configuration symétrique suivant l'axe transversale. **Condition non vérifié**.
- A chaque niveau et pour chaque direction de calcul, la distance entre le centre de gravité des masses et le centre des rigidités ne dépasse pas 15% de la dimension du bâtiment mesurée perpendiculairement à la direction de l'action sismique considérée:
- La forme du bâtiment doit être compacte avec un rapport longueur/largeur du plancher

inférieur ou égal 4.

- longueur/largeur = 29.90/16.75 = 1.78 < 4. Condition vérifié
- La somme des dimensions des parties rentrantes ou saillantes du bâtiment dans une direction donnée ne doit pas excéder 25% de la dimension totale du bâtiment dans cette direction.

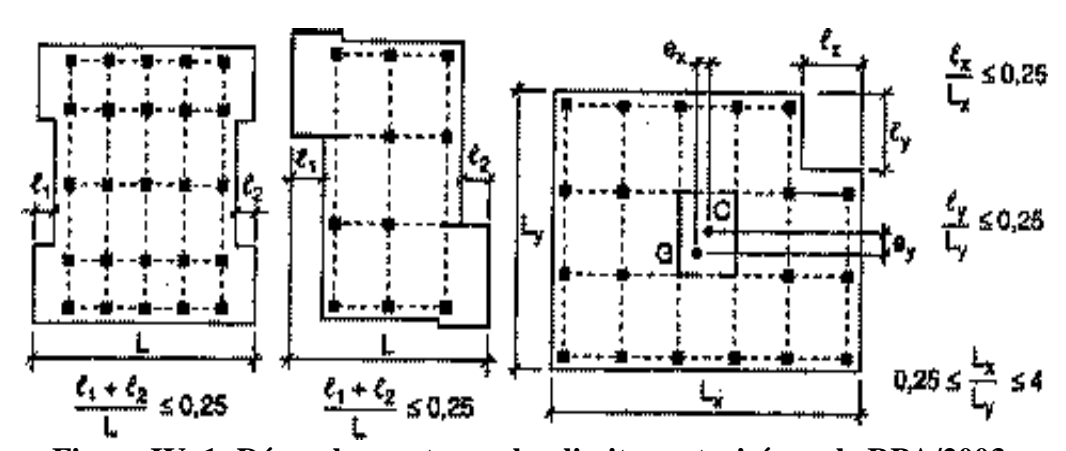


Figure IV. 1: Décrochements en plan limites autorisé par le RPA/2003.

#### **Notre structure:**

Zone: II.a; Groupe d'usage: 02; H = 24.48 m

• Selon RPA2003:

$$0.25 \le \frac{lx}{ly} \le 4 \longrightarrow 0.25 \le \frac{29.90}{16.75} \le 4 \longrightarrow 0.25 \le 1.78 \le 4 \dots \text{CV}$$

- Les planchers doivent présenter une rigidité suffisante vis à vis de celle des contreventements verticaux pour être considérés comme indéformables dans leur plan. Dans ce cadre la surface totale des ouvertures de plancher doit rester inférieure à 15% de celle de dernier.
- ✓ La structure est irrégulière en plan.

### b.2. Régularité en élévation :

[[2]; Art: b. 3.5.1]

- Le système de contreventement ne doit pas comporter d'élément porteur vertical discontinu, dont la charge ne se transmette pas directement à la fondation ;
- Les raideurs et masses des différents niveaux restent constantes ou diminuent progressivement de la base au sommet du bâtiment ;
- La variation de dimension en plan entre deux niveaux successifs ne dépasse pas 20%.
   La plus grande dimension latérale du bâtiment n'excède pas 1,5 fois sa plus petite dimension.
- ✓ La structure est régulière en élévation
- ♣ La structure est:

Irrégulière en plan et régulière en élévation

- La méthode statique équivalente peut être utilisée dans les conditions suivantes:
- Le bâtiment ou bloc étudié, satisfaisait aux conditions de régularité en plan et en élévation avec une hauteur au plus égale à 65m en zones I et II et à 30m en zones III.
   Malgré ces restrictions, la méthode statique équivalente reste cependant applicable aux bâtiments de configuration géométrique irrégulière sous réserve du respect des conditions complémentaires

[[2]; Art: 4.3.1]

### IV.3.2. La méthode d'analyse modale spectrale :

### a. Principe de la méthode :

Par cette méthode, il est recherché pour chaque mode de vibration, le maximum des effets engendrés dans la structure par les forces sismiques représentées par un spectre de réponse de Calcul. Ces effets sont par la suite combinés pour obtenir la réponse de la structure.

### b. Domaine d'application:

La méthode dynamique est une méthode générale et plus particulièrement quand la méthode Statique équivalente n'est pas appliquée.

#### **Conclusion:**

Dans notre projet nous avons utilisé la méthode statique équivalente en utilisant un logiciel de calcule des structures Auto desk Robot Structural Analyses Professional 2014.

# IV.4. Étape de calcul par la méthode statique équivalent

### IV.4.1. Modélisation:

[[2]; Art: 4.2.2]

- a) Le modèle du bâtiment à utiliser dans chacune des deux directions de calcul est plan avec les masses concentrées au centre de gravité des planchers et un seul degré de liberté en translation horizontale par niveau sous réserve que les systèmes de contreventement dans les deux (2) directions puissent être découplées.
- b) La rigidité latérale des éléments porteurs du système de contreventement est calculée à partir de sections non fissurées pour les structures en béton armé ou en maçonnerie.
  c) Seul le mode fondamental de vibration de la structure est à considérer dans le calcul de la force sismique totale.
- Notre structure est irrégulière en plan donc d'après [[2]; Art: b. 4.3.2], on doit la représenter par un modèle tridimensionnel encastré à la base avec des masses concentrées au niveau des centres du nœud maître de la structure (notion de diaphragme).



Figure IV. 2: Interface de la structure sur Robot 2014. Source : Auteures

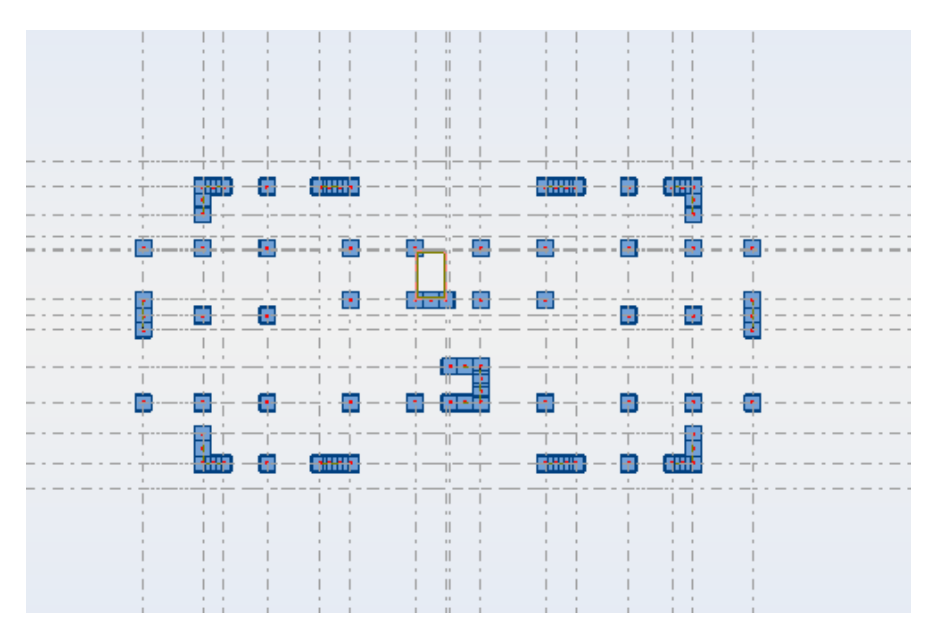


Figure IV. 3: Système de contreventement. Source : Auteures

Tableau IV. 2: Périodes et facteurs de participation modale (Résultats Robot 2014). Source Auteures

Mod e	Fréquenc e (Hz)	Périod e (sec)	Masses cumulée s UX(%)	Masses cumulée s UY(%)	Masses cumulée s UZ(%)	Masse s modal e UX (%)	Masse s modal e UY (%)	Masse s modal e UZ (%)
1	1.57	0.63	68.06	0.01	0.0	68.06	0.01	0.0
2	1.79	0.56	68.12	67.72	0.0	0.05	67.71	0.0
3	1.93	0.52	69.67	68.92	0.0	1.55	1.21	0.0
4	2.80	0.36	69.68	69.47	0.0	0.01	0.54	0.0
5	3.27	031	71.97	69.50	0.0	2.29	0.03	0.0
6	3.40	0.29	74.26	69.50	0.0	2.29	0.00	0.0
7	3.57	0.28	74.26	69.50	0.0	0.00	0.00	0.0
8	3.58	0.28	74.26	69.53	0.0	0.00	0.03	0.0
9	3.66	0.27	75.28	69.53	0.0	1.03	0.00	0.0
10	3 .76	0.27	75.28	69.53	0.0	0.00	0.00	0.0

### **Analyse des résultats :**

Ce modèle présente une période fondamentale T = 0.63 s

- Les 1eret 2ème modes sont des modes de translation ;
- Le 3ème mode est un mode de rotation ;
- On doit retenir les 09 premiers modes, pour que le coefficient de participation massique atteigne les 90% (selon le RPA99/2003)

# **❖** Nombre des modes considérées : [2]; Art : 4.3.4]

Pour les structures représentées par des modèles plans dans deux directions orthogonales, le nombre des modes de vibration à retenir dans chacune des deux directions d'excitation doit être tel que :

- La somme des masses modales effectives pour les modes retenus soit égale à **90%** au moins de la masse totale de la structure.
- Tous les modes ayant une masse modale effective supérieure à 5% de la masse totale de la structure soient retenus pour la détermination de la réponse totale de la structure. Le minimum de modes à retenir est de **trois** (3) dans chaque direction considérée.

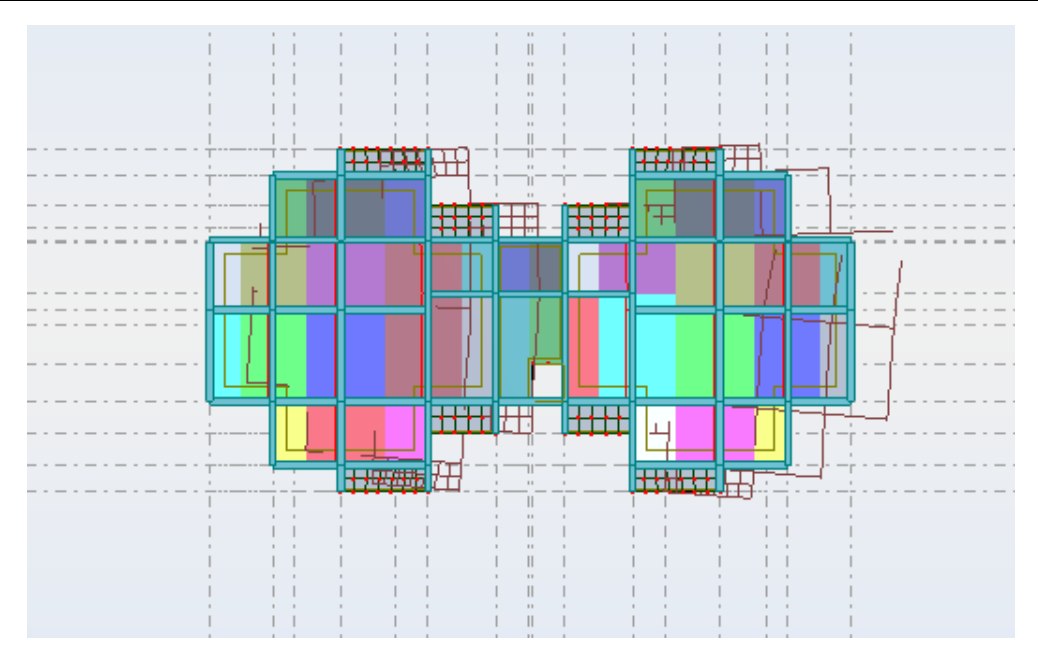


Figure IV. 4: 1<sup>er</sup> mode de déformation de la structure à cause des efforts sismiques dans le plan X-Y (résultats de Robot 2014). Source Auteures.

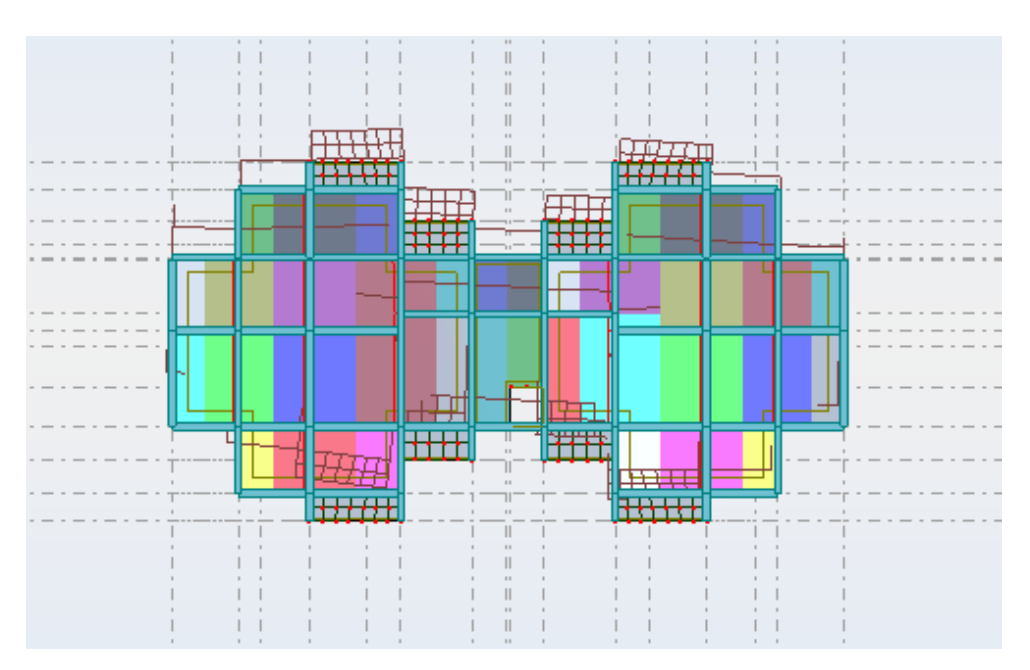


Figure IV. 5:  $2^{\acute{e}me}$  mode de déformation de la structure à cause des efforts sismiques dans le plan X-Y (résultats de Robot 2014). Source Auteures.

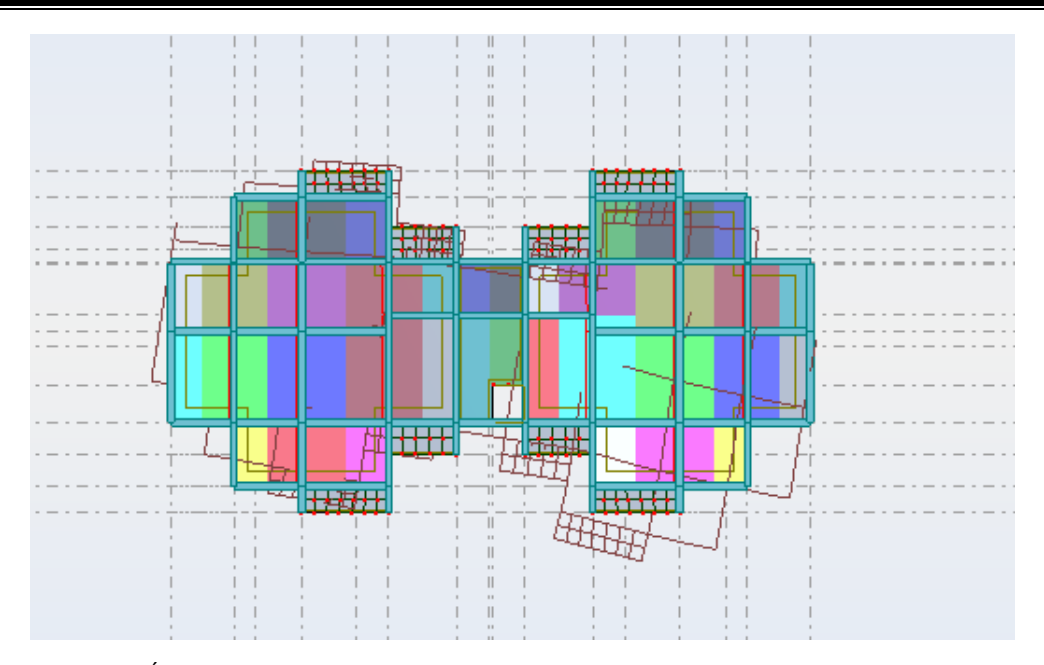


Figure IV. 6: 3<sup>éme</sup> mode de déformation de la structure à cause des efforts sismiques dans le plan X-Y (résultats de Robot 2014). Source : Auteures.

# IV.4.2. Calcul de la force sismique totale :

[[2]; Art: 4.4.3]

La force sismique totale "V "appliquée à la base de la structure, doit être calculée successivement dans les deux directions; horizontales et orthogonales, selon la formule suivante:

$$V = \frac{A \times D \times Q}{R} W$$

Avec:

• A : Coefficient d'accélération de zone [ [2] ; Tableau : 4.1]

Le facteur dépend de deux paramètres :

- Groupe d'usage : groupe 
$$02$$
- Zone sismique : Zone II.a

A = 0.15

• D : Facteur d'amplification dynamique moyen.

Le coefficient D est le facteur d'amplification dynamique moyen. Il est fonction de la période;

fondamentale de la structure (T), de la nature du sol et du facteur de correction d'amortissement ( $\Pi$ ).

$$\mathbf{D} = \begin{cases} 2.5 \eta & 0 \le T \le T_2 \\ 2.5 \eta \left(\frac{T_2}{T}\right)^{2/3} & T_2 \le T \le 3 s \\ 2.5 \eta \left(\frac{T_2}{3}\right)^{2/3} \left(\frac{3}{T}\right)^{2/3} & T \ge 3 s \end{cases}$$
 [ [2] ; Formule : (4-2)]

- T<sub>2</sub> période caractéristique associée à la catégorie du site et donnée par

 $T_2 = 0.50s$  (Site S3). [[2]; Tableau: (4-7)]

- Le facteur D est par ailleurs donné sous forme graphique à [2] ; Figure 4.1]

 $\eta$ : Le facteur de correction d'amortissement  $\eta$  est donné par la formule:

$$\eta = \sqrt{\frac{7}{2+\varepsilon}} \ge 0.7$$

Où  $\varepsilon$  (%) est le pourcentage d'amortissement critique fonction du matériau constitutif, du type de structure et de l'importance des remplissages.

ε =7% (Portiques en Béton armé avec Remplissage Dense) [[2]; Tableau: 4.2]

Donc: 
$$\eta = \sqrt{\frac{7}{2+7}} = 0.88 \ge 0.7$$

- ♦ Estimation de la période fondamentale de la structure :
- **1.** La valeur de la période fondamentale (T) de la structure peut être estimée à partir de formules empiriques ou calculée par des méthodes analytiques ou numériques.
- 2. La formule empirique à utiliser selon les cas est la suivante:

$$T = C_T H_N^{3/4}$$
 [2]; Formule: (4-6)]

 $h_n$ : Hauteur mesurée en mètre à partir de la base de la structure jusqu'au dernier niveau.

$$h_n = 24.48 \text{ m}$$

 $C_T$ : Coefficient, fonction du système de contreventement du type de remplissage et donnée Par le type de système de contreventement. [2]; **Tableau: 4.6**]

système de contreventement : Portiques auto-stables en béton armé ou en acier avec remplissage en maçonnerie  $\rightarrow$   $C_T = 0.05$ 

Donc: 
$$T = C_T h_n^{3/4} = 0.05 \times 24.48^{3/4} \rightarrow T = 0.55 \text{ s}$$

On peut également utiliser aussi la formule :  $T = 0.09 \frac{h_n}{\sqrt{D}}$  [ [2]; Formule : (4-6) ]

Avec:

D : la dimension du bâtiment mesurée à sa base dans la direction de calcul considérée  $h_N$ : la hauteur mesurée en mêtre à partir de la base de la structure jusqu'au dernier niveau (n).

- Dans ce cas de figure il y a lieu de retenir dans chaque directions considérée la plus petite des deux valeurs données respectivement par les deux formules (4.6) et (4.7).
- T<sub>2</sub> période caractéristique associée à la catégorie du site et donnée par [ [2] ; Tableau
  : 4.7 ]

$$T_2 = 0.50$$
s (site S3)

On a: 
$$T_2 = 0.50s \le T = 0.63 \le 3s \rightarrow D = 2.5 \eta \left(\frac{T_2}{T}\right)^{2/3}$$

$$D=2.5 \times 0.88 \left(\frac{0.5}{0.63}\right)^{2/3} = 1.84$$

• R : coefficient de comportement global de la structure sa valeur unique est donnée par

le [2]; Tableau: 4.3] en fonction du système de contreventement.

## **Remarque**:

Système de contreventement de structures en Portique par des voiles en béton armé (RPA ver 2003 ) ( $\mathbf{R} = \mathbf{4}$ )

- Q : Facteur de qualité de la structure dépend de :
  - la redondance et de la géométrie des éléments qui la constituent ;
  - la régularité en plan et en élévation ;
  - la qualité du contrôle de la construction

Déterminée par la formule suivante :

$$Q = 1 + \sum_{1}^{6} pq$$
 [2]; Formule: (4-4)]

Pq : est la pénalité à retenir selon que le critère de qualité q est satisfait ou non.

Tableau IV. 3 : Valeurs des pénalités Pq.

Critère q	Pq				
Cruere q	observé	Non observé			
1. Condition minimale des	/				
files porteuses		0.05			
2 .Redondance en plan	0	/			
3. Régularité en plan	/	0.05			
4. Régularité en	0	/			
Elévation					
5. Contrôle de la	/	0.05			
qualité des matériaux					
6 .Contrôle de la	/	0.10			
qualité de L'exécution					
$\sum =$	0	0.25			

Q = 1 + 0.25 = 1.25

• W: Poids total de la structure

- W est égal à la somme des poids Wi, calculés à chaque niveau (i)

- W = 
$$\sum Wi$$
 Avec:  $Wi = W_{Gi} + \beta W_{Oi}$ 

 $W_{Gi}$ : Poids dû aux charges permanentes totales

 $W_{Oi}$ : Charge d'exploitation

 $\beta$ : Coefficient de pondération, fonction de la nature et de la durée de la charge d'exploitation

$$\beta = 0.2$$
 pour usage d'habitation [2]; **Tableau**: 4.5]

Pour le calcul des poids des différents niveaux de la structure, les masses sont calculées par

le Logiciel Auto desk Robot Structural Analysis Professional 2014.

- W = 
$$\sum Wi$$
 Avec :  $Wi = W_{Gi} + \beta W_{Qi}$  [ [2] ; Formule (4-5)] 
$$\begin{cases} W_{Gi} = 24539.66KN \\ W_{Qi} = 3621.06KN \\ WT = 24539.66 + 0.2 \times 3621.06 = 25263.87KN \end{cases}$$

La force sismique totale V, appliquée à la base de la structure, doit être calculée successivement dans deux directions horizontales orthogonales selon la formule :

$$V = \frac{A \times D \times Q}{R} W$$

$$V = \frac{0.15 \times 1.84 \times 1.25}{4} \times 25263.87 = 2179.008 \, KN$$

# IV.4.3. Distribution de la résultante des forces sismiques selon la hauteur:

La résultante des forces sismiques à la base V doit être distribuée sur la hauteur de la structure selon les formules suivantes :

$$V = F_t + \sum F_I$$
 [2]; Formule (4-12)]

La force concentrée  $F_t$  au sommet de la structure permet de tenir compte de l'influence des modes supérieurs de vibration. Elle doit être déterminée par la formule :

 $F_t = 0.07.T \text{ V}$  où T est la période fondamentale de la structure (en secondes).

La valeur de  $F_t$  ne dépassera en aucun cas 0,25 V et sera prise égale à 0 quand T est plus petit ou égale à 0,7 secondes.

La partie restante de V soit  $(V - F_t)$  doit être distribuée sur la hauteur de la structure suivant :

$$F_{i} = \frac{(v-F_{t}) W h_{j}}{\sum_{j=1}^{n} W_{j} h_{j}}$$
 [ [2]; Formule (4-11)] 
$$T = 0.63s < 0.7 \text{ s} \rightarrow F_{t} = 0$$

Tableau IV. 4: Distribution de la résultante des forces sismiques selon la hauteur.

Niveaux	V (Kn)	Wi (Kn)	hi (m)	Wi*hi	∑ Wi *hi	Fi (Kn)
Niveau 7	2179.008	2140.168	24.48	52391.312	1075322.4	106.16
Niveau 6	2179.008	4638.894	21 .42	99365.109	1075322.4	201.35
Niveau 5	2179.008	7945.776	18.36	145884.447	1075322.4	295.61
Niveau 4	2179.008	12034.086	15.03	180872.313	1075322.4	366.51
Niveau 3	2179.008	16903.826	12.24	206902.830	1075322.4	419.26

Niveau 2	2179.008	19429.278	9.18	173453.713	1075322.4	351.48
Niveau 1	2179.008	22736.148	6.12	139145.226	1075322.4	281.96
RDC	2179.008	25263.872	3.06	77307.448	1075322.4	156.65

### **Vérification de l'effort tranchant à la base :**

La résultante des forces sismiques à la base  $V_t$  obtenue par combinaison des valeurs modales ne doit pas être inférieure à 80 % de la résultante des forces sismiques déterminée par la méthode statique équivalente V pour une valeur de la période fondamentale donnée par la formule empirique appropriée.

 $V_{\rm dynamique} \ge 0.8 \ V_{\rm statique}$ 

Tableau IV. 5 : Vérification de la résultante des forces sismique.

	V <sub>statique</sub> (kn)	$0.8 V_{\text{statique}}(\text{kn})$	$V_{ m dynamique}$	Vérification
Sens x-x	2179.008	1743.20	2761.46	cv
Sens y-y	2179.008	1743.20	2978.09	Cv

# IV.4.4.Distribution horizontale des forces sismique:

### A. L'effort tranchant au niveau de l'étage k:

$$V = F_t + \sum_{i=k}^n F_i$$

Tell que Ft est La force concentrée au sommet de la structure

$$V_7 = F_7 = 106.16$$
 KN  
 $V_6 = F_6 + F_7 = 307.52$  KN  
 $V_5 = F_5 + F_6 + F_7 = 603.12$  KN  
 $V_4 = F_4 + F_5 + F_6 + F_7 = 969.63$  KN  
 $V_3 = F_3 + F_4 + F_5 + F_6 + F_7 = 1388.89$  KN  
 $V_2 = F_2 + F_3 + F_4 + F_5 + F_6 + F_7 = 1740.37$  KN  
 $V_1 = F_1 + F_2 + F_3 + F_4 + F_5 + F_6 + F_7 = 2022.33$ KN  
VRDC =  $F_1 + F_2 + F_3 + F_4 + F_5 + F_6 + F_7 = 2178.98$  KN

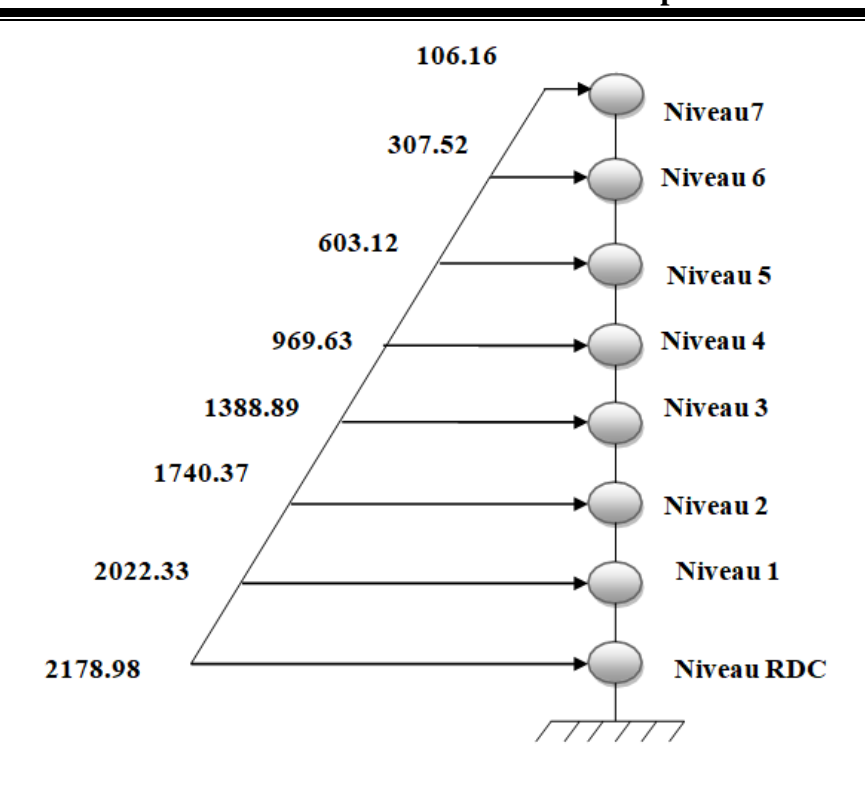


Figure IV. 7: Distribution de l'effort tranchant au niveau de l'étage k.

#### B.L'effet de la torsion :

La torsion se produit lorsqu'il ya une excentricité entre le centre de masse et le centre de torsion.

Tableau IV. 6 : Centre de masse et centre de torsion.

Niveau	$X_G$	$Y_G$	$X_R$	$Y_R$
7éme	14.86	8.06	15.10	7.73
6éme	14.86	8.08	15.13	7.69
5éme	14.86	8.06	15.13	7.69
4éme	4.85	8.10	5.16	7.64
3éme	4.86	8.09	5.16	7.64
2éme	4.86	8.07	5.18	7.61
1 <sup>er</sup>	4.80	8.01	5.18	7.61
RDC	4.86	7.97	5.20	7.22

Avec:

G (x, y): Les cordonnées de centre de masse

R (x, y): Les cordonnées de centre de torsion

### **Calcul de l'excentricité :**

<u>L'excentricité théorique</u>:

$$\mathbf{ex} = |X_G - X_R|$$
 ;  $\mathbf{ey} = |Y_G - Y_R|$ 

<u>L'excentricité accidentelle</u>: [2]; Art: 4.3.7]

 $e_{acc} = 0.05 \times L$ 

L : étant la dimension du plancher perpendiculaire à la

direction de.l'action sismique.

Tableau IV. 7: vérification de L'excentricité dans chaque niveau

Niveau	L'excentricité théorique		L'excentricité	é accidentelle
	X-X	у-у	X-X	у-у
7éme	0.24	0.33	1.49	0.80
6éme	0.28	0.39	1.49	0.80
5éme	0.27	0.37	1.49	0.80
4éme	0.31	0.46	1.49	0.80
3éme	0.30	0.44	1.49	0.80
2éme	0.33	0.47	1.49	0.80
1 <sup>er</sup>	0.39	0.40	1.49	0.80
RDC	0.34	0.75	1.49	0.80

#### IV.4.5. Justification de la sécurité :

IV.4.5. 1. Vérification de la période : [2]; Art : 4.2.4.4]

La valeur de (T) calculé à partir de la méthode numérique ne doit pas dépasser celle estimée à partir des formules empiriques appropriées de plus de 30%

On a : T.numérique = 0.63 s (calculé par le logiciel robot structural analysais 2014)

Et  $1.3 \times T$ .empérique =  $1.3 \times 0.550 = 0.715 \times 0.550 = 0.715$ 

Donc: T.numérique = 0.63 s < T.empérique = 0.715 s CV

 $\checkmark$  T = T.analitique = 0.63 s

IV.4.5. 2. vérification des déplacements : [2]; Art : 4.4.3]

#### Déplacements et Efforts tranchant de chaque Diaphragme :

Tableau IV. 8 : Déplacements et Efforts tranchant de chaque Diaphragme.

Niveau	<i>δk</i> x (cm)	δy (cm)	Vx (KN)	Vy (KN)
RDC	1	0.3	2761.46	2978.09
1 <sup>er</sup>	2.9	1.1	2729.74	2946.20
2éme	5.2	2.0	2599.65	2816.08
3éme	8.1	3.0	2419.73	2633.22
4éme	9.9	3.8	1925.72	2114.29
5éme	11.3	4.5	1398.89	1541.05
6éme	12.6	5.1	884.18	971.94
7éme	14.0	5.5	433.42	471.31

Les déplacements relatifs latéraux d'un étage par rapport aux autres qui lui sont adjacents, ne doivent pas dépasser 1% de la hauteur d'étage (h).

- Le déplacement horizontal à chaque niveau « k » de la structure est calculé comme suit :

 $\delta k = R \times \delta e k$ 

[2]; Art: 4.1.9]

[[2]; Art: 5.9]

δk: Déplacement horizontal au niveau k;

δek : Déplacement horizontal dû aux forces sismiques ;

R : coefficient de comportement de la structure

- Le déplacement relatif au niveau « k » par rapport au niveau « k-1 » est égal à :

$$\Delta \mathbf{k} = \delta \mathbf{k} - \delta_{\mathbf{k}-1}$$
 [2]; Art: 4.2.0]

Les déplacements relatifs latéraux d'un étage par rapport aux étages qui lui sont adjacent, ne doivent pas dépasser 1% de la hauteur de l'étage à moins qu'il puisse être prouvé qu'un plus grand déplacement relatif peut être toléré.

$$\Delta k = \delta k - \delta_{k-1} \leq \overline{\Delta} = 0.01 \; hj$$
 avec : hj est la hauteur d'étage.   
 R = 4

	Sens x-x			Sens y-y	Sens y-y		
	$\delta_{x}$ (m)	δek (m)	$\Delta k_{\chi}(\mathrm{m})$	$\delta_y(m)$	δek (m)	$\Delta k_y(m)$	Condition
7éme	0.14	0.56	0.02	0.055	0.22	0.004	CV
6éme	0.12	0.48	0.01	0.051	0.204	0.006	CV
5éme	0.11	0.44	0.011	0.045	0. 18	0.007	CV
4éme	0.099	0.396	0.018	0.038	0.152	0.008	CV
3éme	0.081	0.324	0.029	0.03	0.12	0.01	CV
2éme	0.052	0.208	0.023	0.02	0.08	0.009	CV
1 <sup>er</sup>	0.029	0.116	0.019	0.011	0.044	0.008	CV
RDC	0.01	0.04	0.01	0.003	0.012	0.003	CV

Tableau IV. 9: Déplacements relatifs.

**Remarque:** Le règlement parasismique algérien « RPA 99 version 2003 » impose un déplacement admissible qui de l'ordre de 1% de la hauteur d'étage.

A partir de l'analyse des résultats de déplacement horizontal calculé pour chaque niveau de la structure et suivant les deux directions on constat:

Les déplacements horizontaux de chaque niveau dans la direction x sont plus grande que celle de la direction y, qui peut être justifie par le système de contreventement que nous avons dispose que dans la direction y, qui rigidifie la structure et induit des faible déplacements dans cette direction. Par contre dans la direction x la structure est plus souple qui conduit des grandes valeurs de déplacements, même il dépasser la valeur admissible comme le cas pour le 1<sup>er</sup>Etage. ✓ La stabilité de l'ouvrage sous charge horizontales est assurée.

# IV.4.5. 3. Justification vis à vis de l'effet $(p - \Delta)$ :

Les effets du  $2^{\circ}$  ordre (ou effet **P-\Delta**) peuvent être négligés dans le cas des bâtiments si la condition suivante est satisfaite à tous les niveaux :

$$\theta$$
= Pk  $\Delta$  k / Vk hk  $\leq$  0.10

Pk: poids total de la structure et des charges d'exploitation associées au dessus du niveau k

$$Pk = \sum W_{Gi} + \beta W_{Oi}$$

Vk : effort tranchant d'étage au niveau « k »

Δk : Le déplacement relatif au niveau « k » par rapport au niveau « k-1 »

hk: Hauteur d'étage au niveau « k »

- Si  $\kappa\theta$  < 1.0 Les effets de 2éme ordre sont négligés

- Si  $0.10 < \kappa\theta \le 2.0\,$  il faut augmenter les effets de l'action sismique calculés par un facteur égale à 1/1-  $\kappa\theta$ 

-Si  $\kappa\theta > 2.0$  La structure est potentiellement instable et doit être redimensionnée Sens x-x:

Tableau IV. 10: L'effet P- $\Delta$  dans les sens longitudinal.

Niveau	Pk (KN)	Δkx (m)	Vkx (KN)	hk (m)	Δ
7éme	2140.168	0.02	433.42	3.06	0.032
6éme	4638.894	0.01	884.18	3.06	0.017
5éme	7945.776	0.011	1398.89	3.06	0.020
4éme	12034.086	0.018	1925.72	3.06	0.036
3éme	16903.826	0.029	2419.73	3.06	0.066
2éme	19429.278	0.023	2599.65	3.06	0.056
1 <sup>ére</sup>	22736.148	0.019	2729.74	3.06	0.051
RDC	25263.872	0.01	2761.46	3.06	0.029

### Sens y-y:

Tableau IV. 11: L'effet P-∆ dans les sens transversal.

Niveau	Pk (KN)	<b>Δky</b> (m)	Vky (KN)	$\mathbf{h}_{k}$ (m)	θ
7éme	2140.168	0.004	471.31	3.06	0.005
6éme	4638.894	0.006	971.31	3.06	0.009
5éme	7945.776	0.007	1541.05	3.06	0.011
4éme	12034.086	0.008	2114.29	3.06	0.014
3éme	16903.826	0.01	2633.22	3.06	0.020
2éme	19429.278	0.009	2816.08	3.06	0.020
1 <sup>ére</sup>	22736.148	0.008	2946.20	3.06	0.020
RDC	25263.872	0 .003	2978.09	3.06	0.008

On a trouvé que  $\theta < 0.10$ , on peut donc négligés l'effet du  $2^{\circ}$  ordre (ou effet P- $\Delta$ ) dans toutes les niveaux du bâtiment.

### IV.4.5. 4. Vérification de la stabilité au renversement : [[2]; Art : 4.4.1]

- Le moment de renversement (Mr) qui peut être causé par l'action sismique doit être calculé par rapport au niveau du contacte sol – fondation.

- Le moment stabilisant (Ms) sera calculé en prenant compte le poids total équivalent au poids de la construction.

Avec:

$$Ms = M_{w/o} = \sum_{i=1}^{n} W_i \times bi$$

$$Mr = M_{Fi/o} = \sum_{i=1}^{n} F_i \times hi$$

Wi : le poids calculé à chaque niveau (i) ; Wi =  $W_{Gi}$ + 0.2  $W_{Oi}$ 

 $W_{Gi}$ : Poids de la charge permanente

 $W_{Oi}$ : poids du charge d'exploitation

bi : centre de gravité

Fi: la somme des charges sismiques à chaque niveau (i)

hi : la hauteur de l'étage (i)

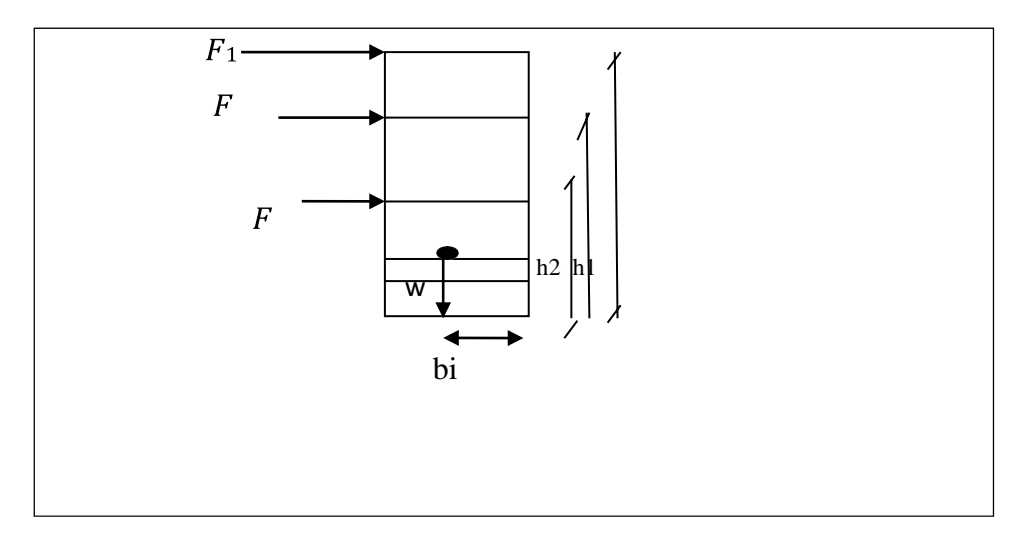


Figure IV. 8: Représentation des forces pour le calcul du moment de renversement et le moment stabilisant.

Il faut vérifier que :  $\frac{\sum moment \ stabilisant}{\sum moment \ de \ renversement} \geq 1.5$ 

#### • Sens x-x:

Tableau IV. 12: Les moments stabilisant et renversement selon le sens x-x.

Niveau	Wi(kn)	bi(m)	Wi x bi	$\boldsymbol{F_{ix}}(kn)$	hi (m)	$oldsymbol{F_{ix}}$ x hi
7éme	2140.168	14.86	31802.89	106.16	3.06	324.84
6éme	4638.894	14.86	68933.96	201.35	3.06	616.13
5éme	7945.776	14.86	118074.23	295.61	3.06	904.56
4éme	12034.086	4.85	58365.31	366.51	3.06	1121.52
3éme	16903.826	4.86	82152.59	419.26	3.06	1282.93
2éme	19429.278	4.86	94426.29	351.48	3.06	1075.52
1ére	22736.148	4.80	109133.51	281.96	3.06	862.79
RDC	25263.872	4 .86	122782.41	156.65	3.06	479.34

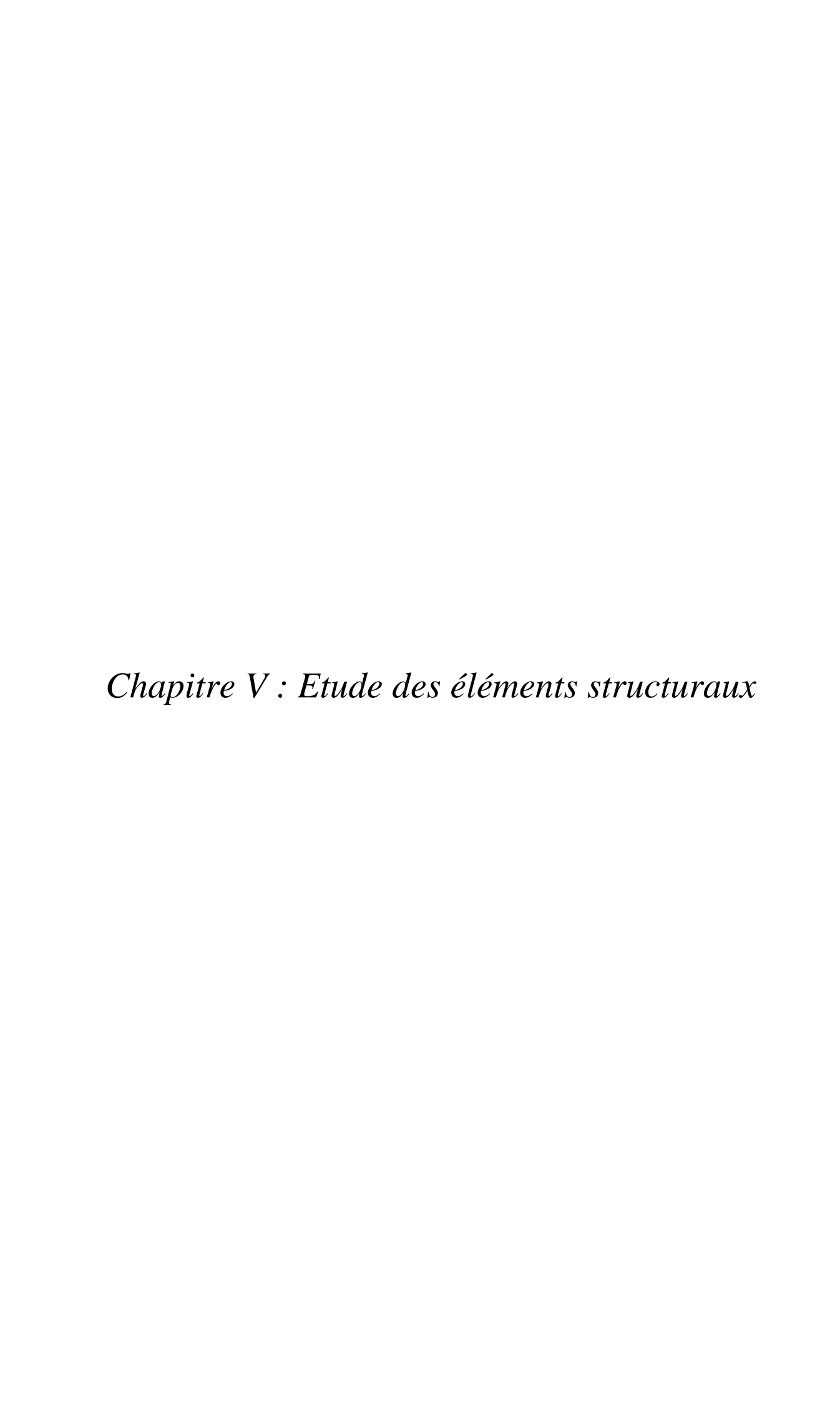
$\sum\nolimits_{i=1}^{n}W_{i}\times bi$	685671.19	$\sum\nolimits_{i=1}^{n} Fix \times hi$	6667.639	
-----------------------------------------	-----------	-----------------------------------------	----------	--

# • Sens y-y:

Tableau IV. 13: Les moments stabilisant et renversement selon le sens y-y.

Niveau	Wi(kn)	bi(m)	Wi x bi	$\boldsymbol{F_{iy}}(kn)$	hi (m)	$m{F}_{m{i}m{y}}$ x hi
7éme	2140.168	8.06	17249.75	106.16	3.06	324.84
6éme	4638.894	8.08	37482.26	201.35	3.06	616.13
5éme	7945.776	8.06	64042.95	295.61	3.06	904.56
4éme	12034.086	8.10	97476.09	366.51	3.06	1121.52
3éme	16903.826	8.09	13675.95	419.26	3.06	1282.93
2éme	19429.278	8.07	156794.27	351.48	3.06	1075.52
1ére	22736.148	8.01	182116.54	281.96	3.06	862.79
RDC	25263.872	7.97	201353.05	156.65	3.06	479.34
$\sum\nolimits_{i=1}^{n}W_{i}\times bi$		770190.86	$\sum_{i=1}^{n} F$	ix × hi	6667.639	

$$\frac{\sum 685671.19}{\sum 6667.639} = 115.51 \ge 1.5...$$
CV



#### V. Etude des éléments structuraux :

Les éléments structuraux sont des éléments porteurs qui constituent l'ensemble du bâtiment et Qui reçoivent la totalité des charges horizontales et verticales, en les transmettant par l'intermédiaire des fondations jusqu'au sol qui est considéré comme un absorbant des charges. L'ensemble poteau poutre appelé « portique » ; On distingue les poutres, les poteaux et les voiles. Pour la détermination du ferraillage on considère le cas le plus défavorable. On a utilisé l'outil informatique à travers le logiciel d'analyse des structures (Auto desk Robot Structural Analysis Professional 2010), qui permet la détermination des différents efforts internes de chaque section des éléments pour les différentes combinaisons de calcul.

# V.1. Ferraillage des portiques :

## Combinaisons d'actions :

Les combinaisons d'actions sismiques et les actions dues aux charges spécifiées doivent satisfaire les conditions de RPA 99 et BAEL 91

Tableau V.1 : Les différentes combinaisons.

	Combinaisons	s fondamentales			
	ELU	ELU ELS			
			Accidentelles		
Poutres	1.35G + 1.5Q	G+Q	G+Q±E		
Poteaux	1.35G + 1.5Q	G+Q	G+Q±E		
			0.8G±E		
	[ [1] ; Art : A.3.3.2 ]	[ [1] ; Art : A.3.3.2 ]	[ [2] ; Art :5.2 ]		

#### Avec:

G: charges permanente

Q: charges d'exploitations

E: Charge sismique

#### **Situation durable:**

Béton :  $\gamma b = 1.5 \text{ MPA}$  ;  $F_{bu} = 14.17 \text{ MPA}$  ;  $F_{c28} = 25 \text{ MPA}$ 

Acier:  $\gamma b = 1.15 \text{MPA}$ ;  $F_e = 400 \text{ MPA}$ ;  $\sigma s = 348 \text{ MPA}$ 

### **Situation accidentelle:**

Béton :  $\gamma$ b = 1.15 MPA ;  $F_{bu}$  = 18.48 MPA ;  $F_{c28}$  = 25 MPA

Acier:  $\gamma b = 1.00 \text{MPA}$ ;  $F_e = 400 \text{ MPA}$ ;  $\sigma s = 400 \text{ MPA}$ 

- Les efforts ont été calculés en tenant compte de ces combinaisons à l'aide de logiciel Robot.

#### V.1.1. Les poutres :

Dans le cas général les poutres sont sollicitées par un moment de flexion, un effort normal et un effort tranchant, le calcul doit se faire en flexion composée mais comme l'effort normal dans les poutres est très faible on le fait en flexion simple.

- Le moment fléchissant permet la détermination des dimensions des armatures longitudinales par contre l'effort tranchant permet de déterminer les armatures transversales.

#### **On distingue deux types des poutres :**

- Poutres principales :  $(30 \times 40) Cm^2$
- Poutres secondaires :  $(30 \times 30) Cm^2$

#### **\*** Ferraillage réglementaire :

#### A. Recommandation de [[2]; Art:7.5.2.1]

# A.1. Armatures longitudinales :

- Armatures minimales : 0.5% B en zone II

Avec:

B : La section de la poutre

 $\blacksquare$  Longueur de recouvrement est de 40 Ø en zone.

#### A.2. Armatures transversales : [1]; Art :7.5.2.1]

La quantité d'armatures transversales minimales est donnée par :

$$Amin = 0.003.s.b$$

Avec:

b : Largeur de la section

S : L'espacement des armatures transversales

- L'espacement maximal des armatures transversales est déterminé comme suit :
  - Dans la zone nodale et en travée si les armatures comprimées sont nécessaires :

$$S = \min\left(\frac{h}{4}; 12\emptyset\right)$$

- En dehors de la zone nodale : S = h2

# B. Règlement BAEL.91 : [1]; Art : A.4.1.1]

La section minimale des armatures longitudinales en flexion simple est :

$$A_{min} = 0.23 \frac{F_{t28}}{F_0}$$
.b.d  $\longrightarrow$  Pour les armatures tendues (BAEL91)

## V.1.1.1. Ferraillage des poutres :

## A. Poutres principales:

# A.1. <u>Calcul des armatures longitudinales</u>:

✓ Conditions imposées par le RPA99/V2003 :

Poutres principales:

$$30 \times 40 \rightarrow A_{min} = 0.005 \times 30 \times 40 = 6 \ Cm^2$$

Poutres Secondaires:

$$30 \times 30 \rightarrow A_{min} = 0.005 \times 30 \times 30 = 4.5 \ Cm^2$$

Condition imposées par BAEL 91 :  $A_{min} = 0.23 \frac{F_{t28}}{F_e}$ .b.d

Poutres principales:

$$30\times40 \rightarrow A_{min} = 0.23 \frac{2.1}{400} \times 30 \times 36 = 1.30 \text{ Cm}^2$$

Poutres Secondaires:

$$30 \times 30 \rightarrow A_{min} = 0.23 \frac{2.1}{400} \times 30 \times 27 = 0.978 \ Cm^2$$

Avec:

$$F_{t28} = 2.1 \text{ MPA}$$
; Fe = 400 MPA; d = 0.9h

À l'aide du fichier des résultats donné par le logiciel "ROBOTBAT", on obtient les résultats suivants :

**Tableau V.2:** Sollicitations de la poutre principale.

	En travée	En appuis
Section	M <sub>max</sub>	$M_{max}$
30× 40	54.29	127.12

h=0.4m; b=0.3m; d=0.9h=0.9x0.4=0.36m;

### Ferraillage des poutres principales types 30x40 :

• En travée:  $M_u^t = 54.29 \text{ kn.m}$ 

$$u = \frac{M_u^t}{b \times d^2 \times Fbu} = \frac{54.29 \times 10^6}{300 \times 360^2 \times 14.17} = 0.098 \qquad ; \quad \text{Fbu} = \frac{F_{c28}}{1.5} \ 0.85 = 14.17 \text{ MPA}$$

u=0.098 < ul=0.186; La section est de simple armature, les armatures de compression ne sont pas nécessaires  $\longrightarrow$   $\grave{A}=0$ 

$$\alpha_t = 1.25 (1 - \sqrt{1 - 2 \times 0.098} = 0.129)$$

$$z = d(1 - 0.4 \times \alpha)$$

$$z = 360 (1-0.4 \times 0.129) = 341.28 \text{ mm}$$

$$A_t^u = \frac{M_t^u}{z \times \sigma s}$$

$$A_t^u = \frac{54.29 \times 10^6}{341.28 \times 348} = 457.11 \text{mm} = 4.57 \text{ Cm}^2$$

- ➤ Vérifications sur les armatures longitudinales des poutres principales :
  - Condition de non fragilité :

$$A_{min} \ge 0.23 \times b \times d \times \frac{F_{t28}}{F_e}$$

$$A_{min} \ge 0.23 \times 30 \times 36 \times \frac{2.1}{400}$$

$$A_{min} = 1.30Cm^2$$

# **Selon** [2] :

## - Pourcentage minimale:

Amin=  $0.005x30 \times 40 = 6 \text{ Cm}^2$ 

# - Pourcentage maximale :

Zone courante : Amax =  $4\% \times b \times h = 0.04 \times 30 \times 40 = 48 \text{Cm}^2$ 

Zone nodale : Amax =  $6\% \times b \times h = 0.06 \times 30 \times 40 = 72 \text{Cm}^2$ 

Toutes les conditions sur les armatures longitudinales sont respectées.

$$A_{adopt\acute{e}e} = \max \left( A_t^{cal}; A_{min}^{RPA}; A_{min}^{CBA} \right) \dots$$
en travée

$$A_{adopt\acute{e}e} = \max (4.57; 6; 1.30) = 6 \text{ Cm}^2$$

#### ✓ 3HA12 +3HA14 de section : 8.01cm<sup>2</sup>.

# • **En appuis :** $M_a^{acc} = 127.12 \text{ kn.m}$

$$u = \frac{M_a^{acc}}{b \times d^2 \times Fbu} = \frac{127.12 \times 10^6}{300 \times 360^2 \times 14.17} = 0.230$$

u = 0.230 < 0.392; La section est de simple armature, les armatures de compression

ne sont pas nécessaires  $\longrightarrow$   $\grave{A} = 0$ 

$$\alpha_a = 1.25 (1 - \sqrt{1 - 2 \times 0.230} = 0.332)$$

$$z = d(1 - 0.4 \times \alpha_u)$$

$$z = 360 (1-0.4 \times 0.332) = 312.09 \text{ mm}$$

$$A_a^u = \frac{M_t^u}{z \times \sigma s}$$

$$A_a^u = \frac{127.12 \times 10^6}{312.09 \times 400} = 11.70 \ Cm^2$$

- > Vérifications sur les armatures longitudinales des poutres principales :
- Condition de non fragilité :

$$A_{min} \ge 0.23 \times b \times d \times \frac{F_{t28}}{F_e}$$

$$A_{min} \ge 0.23 \times 30 \times 36 \times \frac{2.1}{400}$$

$$A_{min} = 1.30 \ Cm^2$$

# **Selon** [2]:

#### - Pourcentage minimale:

Amin=  $0.005x30x 40 = 6 \text{ Cm}^2$ 

## - Pourcentage maximale:

Zone courante : Amax =  $4\% \times b \times h = 0.04 \times 30 \times 40 = 48 \text{ Cm}^2$ 

Zone nodale : Amax =  $6\% \times b \times h = 0.06 \times 30 \times 40 = 72 \text{ Cm}^2$ 

Toutes les conditions sur les armatures longitudinales sont respectées.

$$A_{adopt\acute{e}e} = \max \left( A_a^{cal}; A_{min}^{RPA}; A_{min}^{CBA} \right) \dots$$
en travée

$$A_{adopt\acute{e}e} = \max (11.70; 6; 1.30) = 11.70 \text{Cm}^2$$

## ✓ On adopte en appuis : 6HA16 de section :12.06 cm²

**Tableau V.3:** Ferraillage des poutres principales

Position	Mu	В	h	D	Ubu	α	Z	$\mathbf{A_s}$	Amin	A
								(cm <sup>2</sup> )	(cm <sup>2</sup> )	(cm <sup>2</sup> )
Travée	54.29	30	40	36	0.098	0.129	341.28	4.57	1.30	6HA16
										= 12.06
Appuis	127.12	30	40	36	0.230	0.332	312.09	11.70	1.30	6HA16=12.06

#### A.2. Calcul des armatures transversales :

#### **Vérification au cisaillement :**

[[1]; Art: A.5.1.1]

Effort tranchant ultime  $T_{max}^{u} = 98.54$ Kn

Contraire de cisaillement ultime :  $au_u = \frac{T_{max}^u}{b \times d}$ 

$$\tau_u = \frac{98.54 \times 10^3}{300 \times 360} = 0.91 \text{ MPA}$$

Contrainte de cisaillement admissible dans le cas d'une fissuration peu nuisibles :

$$\overline{\tau_u} = \min(\frac{0.2 \, F_{c28}}{\gamma_b}; 5 \text{ MPA}) \longrightarrow \overline{\tau_u} = \min(\frac{0.2 \times 25}{1.5}; 5 \text{ MPA}). \quad [1]; \text{Art} : \text{A.5.1.1}]$$

$$\overline{\tau_u} = \min(\frac{0.2 \times 25}{1.5}; 5 \text{ MPA}) = 3.33 \text{MPA}$$

$$\tau_u = 0.91 \, MPA < \overline{\tau_u} = 3.33 \, MPA. \longrightarrow \text{Cv}$$

#### **Section et écartement des armatures transversales :**

• Diamètre des armatures transversales :

$$\emptyset_t \le \min(\frac{h}{35}; \frac{b_0}{10}; \emptyset_{lmin})$$
 [ [1]; Art: A.5.1,22]

$$\emptyset_t \le \min(\frac{400}{35}; \frac{300}{10}; 12) = \min(11.42; 30; 12) \implies \emptyset_t \le 10 \ mm$$

On prend :  $\emptyset_t = 8 \, mm$ 

## • Espacement des armatures transversales :

- Selon (R.P.A.99version2003):

En zone nodale: St 
$$\leq \min(\frac{h}{4}; 12 \emptyset)$$
.

- Soit un espacement choisit de : St = 10 cm
- La longueur de la zone nodale: 2\* h = 80 cm

$$ightharpoonup$$
 En zone courante : St  $\leq \frac{h}{2} = \frac{40}{2} = 20cm$ 

• Vérification des armatures transversales:

$$ightharpoonup$$
 En zone nodale :  $A_{min}^t = 0.003 \text{ x St x b} = 0.003 \text{x} 10 \text{ x} 30 = 0.9 \text{ cm}^2$ 

En zone courante : 
$$A_{min}^t = 0.003 \text{ x St x b} = 0.003 \text{ x } 20 \text{ x} 30 = 1.8 \text{ cm}^2$$

• La section de ferraillage transversal : [[1]; Art : A.5.1, 22]

At 
$$\geq 0.4$$
 .b.  $\frac{St}{Fe} = 0.4 \times 30 \times \frac{20}{400} = 0.6 \text{ cm}^2$ 

- **Selon** [2]: At 
$$\geq 0.003$$
. St. b = 0.003 x 20 x 30 = 1.8 cm<sup>2</sup>

At 
$$\geq$$
 Max  $(A_t^{BAEL}, A_t^{RPA}) = 1.8 \text{ cm}^2$ 

Donc On adopte pour les armatures transversales : At = 4HA8 = 2.01 cm

#### ➤ Vérification de la flèche : BAEL 91(article B.6.5.1)

Si les trois conditions suivantes de la flèche sont vérifiées, le calcul de la flèche ne s'imposera pas:

$$h=40cm$$
;  $L=4.70 m$ ;  $b=30cm$ ;  $A_s=12.06cm^2$ ;

$$-\frac{h}{L} > \frac{1}{16} = 0.06$$
  $\frac{0.40}{4.70} = 0.085 \ge \frac{1}{16} = 0.0625 \implies OK$ 

$$-\frac{A_s}{b_0 d} \le \frac{4.2}{f_e} \Rightarrow \frac{12.06}{30 \times 36} = 0.010 \le \frac{4.2}{f_e} = 0.0105 \Rightarrow 0K$$

$$-\frac{h}{L} \ge \frac{M_0}{10M_0} \Rightarrow \frac{h}{L} = \frac{0.4}{4.70} = 0.078 \ge \frac{0.85 \times 127.12}{10 \times 127.12} = 0.085 \Rightarrow OK$$

## B. Poutres secondaires: type (30 x 30) cm<sup>2</sup>

- À l'aide du fichier des résultats donné par le logiciel "ROBOTBAT", on obtient les résultats Suivants :

**Tableau V.4:** Sollicitations Des poutres Secondaires.

	En travée	En appuis
Section	M <sub>max</sub>	M <sub>max</sub>
30×30	27.94	90.062

$$h=0.3 \text{ m}$$
;  $b=0.3 \text{ m}$ ;  $d=0.9 \text{ h} = 0.9 \text{ x} = 0.27 \text{ m}$ ;

# Vérifications sur les armatures longitudinales des poutres principales :

• Condition de non fragilité :

$$A_{min} \ge 0.23 \times b \times d \times \frac{F_{t28}}{F_e}$$

$$A_{min} \ge 0.23 \times 30 \times 27 \times \frac{2.1}{400}$$

$$A_{min} = 0.97cm^2$$

# **Selon** [2]:

#### - Pourcentage minimale :

Amin= 
$$0.005x30 \times 30 = 4.5 \text{ Cm}^2$$

#### - Pourcentage maximale:

Zone courante : Amax =  $4\% \times b \times h = 0.04 \times 30 \times 30 = 36 \text{Cm}^2$ 

Zone nodale : Amax =  $6\% \times b \times h = 0.06 \times 30 \times 30 = 54 \text{Cm}^2$ 

Toutes les conditions sur les armatures longitudinales sont respectées.

$$A_{adopt\acute{e}e} = \max \left( A_t^{cal}; A_{min}^{RPA}; A_{min}^{CBA} \right) \dots$$
en travée

$$A_{adopt\acute{e}e} = \max (3.12; 4.5; 0.97) = 4.5 \text{ Cm}^2$$

#### $\checkmark$ 3HA12 + 3HA14 de section : 8.01cm<sup>2</sup>.

#### • En appuis :

Toutes les conditions sur les armatures longitudinales sont respectées.

$$A_{adopt\acute{e}e} = \max (A_a^{cal}; A_{min}^{RPA}; A_{min}^{CBA})....$$
 en travée

$$A_{adopt\acute{e}e} = \max (11.63; 4.5; 0.97) = 11.63 \text{ Cm}^2$$

#### ✓ On adopte en appuis : 6HA16 de section :12.06 cm²

Tableau V.5: Ferraillage des poutres Secandaires

Position	$M_{\rm u}$	В	h	D	Ubu	α	Z	$\mathbf{A_s}$	Amin	A
								(cm <sup>2</sup> )	(cm <sup>2</sup> )	(cm <sup>2</sup> )
Travée	27.94	30	30	27	0.090	0.118	257.24	4.50	0.97	6HA16
										= 12.06
Appuis	90.062	30	30	27	0.290	0.439	222.4	11.63	0.97	6HA16=12.06

Tableau V.6 : Vérification de la contrainte de cisaillement pour les poutres secondaires.

Section (cm <sup>2</sup> )	Tu (kn)	τ <sub>u</sub> (MPA)	T (MPA)	Vérification
30x30	49.86	0.61	3.33	Cv

#### **Section et écartement des armatures transversales :**

• Diamètre des armatures transversales :

$$\emptyset_t \le \min(\frac{h}{35}; \frac{b_0}{10}; \emptyset_{lmin})$$
 [1]; Art: A.5.1,22]

$$\emptyset_t \le \min(\frac{300}{35}; \frac{300}{10}; 12) = \min(8.57; 30; 12) \implies \emptyset_t \le 8 \, mm$$

On prend :  $\emptyset_t = 8 \, mm$ 

• Espacement des armatures transversales :

- Selon (R.P.A.99version2003):

➤ En zone nodale : St 
$$\leq \min(\frac{h}{4}; 12 \emptyset)$$
.

- Soit un espacement choisit de : St = 7 cm

- La longueur de la zone nodale: 2\* h = 60 cm

ightharpoonup En zone courante : St  $\leq \frac{h}{2} = \frac{30}{2} = 15cm$ 

• Vérification des armatures transversales:

ightharpoonup En zone nodale :  $A_{min}^t = 0.003 \text{ x St x b} = 0.003 \text{ x} 7 \text{ x} 30 = 0.63 \text{ cm}^2$ 

➤ En zone courante :  $A_{min}^t = 0.003 \text{ x St x b} = 0.003 \text{ x } 15 \text{ x} 30 = 1.35 \text{ cm}^2$ 

• La section de ferraillage transversal : [[1]; Art: A.5.1, 22]

At 
$$\geq 0.4$$
 .b.  $\frac{St}{Fe} = 0.4 \times 30 \times \frac{15}{400} = 0.45 \text{ cm}^2$ 

- **Selon** [2]: At  $\ge 0.003$ . St. b = 0.003x 15 x30 = 1.35cm<sup>2</sup>

At 
$$\geq$$
 Max  $(A_t^{BAEL}, A_t^{RPA}) = 1.35 \text{ cm}^2$ 

Donc On adopte pour les armatures transversales : At = 4HA8 = 2.01 cm

### Recouvrement des armatures longitudinales

D'après l'RPA99V2003 le longueur minimal de recouvrement dans la zone IIb est de  $40\Phi$ 

Poutre longitudinale: 40Φ

$$\begin{split} L_r &= 40 \Phi_L = 40 \times \ 1.2 = 48 \ cm \rightarrow on \ adopte & L_r = 50 \ cm \\ L_r &= 40 \Phi_L = 40 \times \ 1.6 = 48 \ cm \rightarrow on \ adopte & L_r = 70 \ cm \\ L_r &= 40 \Phi_L = 40 \times \ 2 = 48 \ cm \rightarrow on \ adopte & L_r = 80 \ cm \end{split}$$

### ➤ Vérification de la flèche : BAEL 91(article B.6.5.1)

Si les trois conditions suivantes de la flèche sont vérifiées, le calcul de la flèche ne s'imposera pas:

h= 30cm ; L = 4.70 m ; b= 30cm ; 
$$A_s$$
= 12.06cm² ; 
$$-\frac{h}{L} > \frac{1}{16} = 0.06 \qquad \frac{0.30}{4.70} = 0.063 \ \ge \frac{1}{16} = 0.0625 \ \Rightarrow 0 \text{K}$$
 
$$-\frac{A_s}{b_0 \text{ d}} \le \frac{4.2}{f_e} \Rightarrow \frac{12.06}{30 \times 27} = 0.0098 \ \le \frac{4.2}{f_e} = 0.0105 \Rightarrow 0 \text{K}$$
 
$$-\frac{h}{L} \ge \frac{M_0}{10 M_0} \Rightarrow \frac{h}{L} = \frac{0.4}{4.70} = 0.078 \ \ge \frac{0.85 \times 90.062}{10 \times 90.062} = 0.085 \ \Rightarrow 0 \text{K}$$

### Shéma feraillage

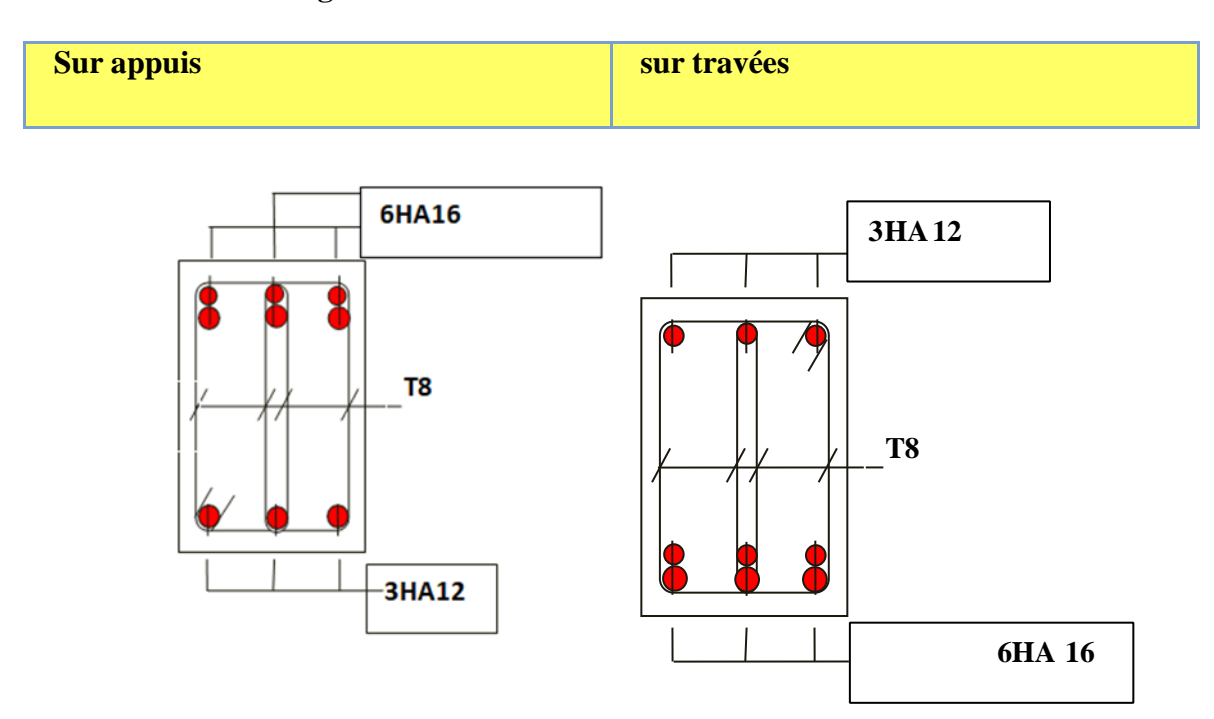


Figure V.1 : Ferraillage de la poutre principale

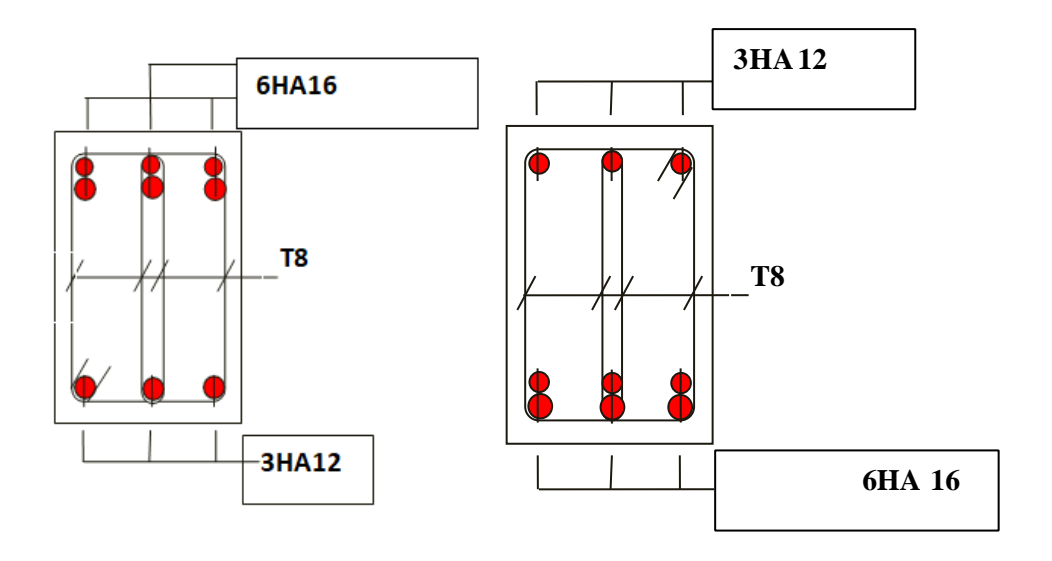


Figure V.2 : Ferraillage de poutre secandaire .

### V.1.2. Les poteaux :

Les poteaux sont des éléments structuraux assurant la transmission des efforts à la base de la structure. Ils sont calculés en flexion composé sous l'action des sollicitations les plus défavorables obtenus par les différentes combinaisons suivantes :

#### Selon B.A.E.L 91:

#### Selon RPA99V2003:

 $G+Q\pm E$ 

 $0.8Q \pm E$ 

- La section d'acier sera calculée pour différents combinaisons d'effort internes pour les deux sens x et y comme suite :

Effort normal maximal et le moment correspondant.[ $N_{max} \longrightarrow M_{corr}$ ]

Effort normal minimal et le moment correspondant. .[  $N_{max} \longrightarrow M_{corr}$  ]

Moment fléchissant maximal et l'effort normal correspondant. [ $N_{max} \longrightarrow M_{corr}$ ] Explication :

- Chacune des trois combinaisons donne une section d'acier. La section finale choisit correspondra au maximum des trois valeurs (cas défavorable).
- Une section soumise à la flexion composée peut être :
- Une section partiellement comprimée (s.p.c);
- Une section entièrement comprimée (s.e.c);

- Une section entièrement tendue (s.e.t).
- **❖** Pour savoir si la section est SPC ou SEC il faut vérifier :

$$u_a = \frac{Mu_a}{fb_u.b.d^2} < u_{bc} = 0.8 \frac{h}{d} (1 - 0.4 \frac{h}{d})$$
SEC  $\longrightarrow$  SPC

# Recommandations et exigences du RPA99v2003 en zone II.a :

### A. Armatures longitudinales : [[2]; Art : A.7.4, 21]

• Les armatures longitudinales doivent être à haute adhérence, droites et sans crochets.

Les pourcentages d'armatures recommandés par rapport à la section du béton sont :

Le pourcentage minimal d'armatures sera de 0.8 % x b x h.

Le pourcentage maximal en zone de recouvrement sera de 6 % x b x h.

Le pourcentage maximal en zone courante sera de 4 % x b x h .

- Le diamètre minimal est de 12 mm
- La longueur minimale des recouvrements  $Lr = 40 \, \emptyset$ .(zone II.a)
- La distance entre les barres verticales dans une surface du poteau ne doit pas dépasser

25 cm en zone II.a

Les jonctions par recouvrement doivent être si possibles, à l'extérieur des zones nodales (zone critique) avec : h' = max (he/6; b; h; 60cm)

#### **B.** Armatures transversales:

- Le rôle des armatures transversales consiste à :
- Empêcher les déformations transversales du béton et le flambement des armatures Longitudinales ;
- Reprendre les efforts tranchants et les sollicitations des poteaux au cisaillement ;
- Positionner les armatures longitudinales.

Elles sont calculées à l'aide de la formule suivante :

$$\frac{A_t}{t} = \frac{\rho_a v_u}{h_{1.fe}}$$
 [[2]; Art: A.7.4,21]

Avec:

 $v_u$ : L'effort tranchant de calcul

 $h_1$ : Hauteur totale de la section brute

Fe : contrainte limites élastique de l'acier d'armatures transversale

pa : Coefficient correcteur qui tient compte du mode de rupture fragile par effort tranchant; il est pris égal à 2,5 si l'élancement géométrique λg dans la direction considérée

est supérieur ou égal à 5 et à 3,75 dans le cas contraire.

t : L'espacement des armatures transversales dont la valeur est déterminé dans la formule précédente; par ailleurs la valeur max de cet espacement est fixée comme suit :

Dans la zone nodale :  $t \le \min (10\emptyset l; 15cm)$  Dans la zone courante :  $t' \le 15\emptyset l$ 

Où  $\emptyset l$  est le diamètre minimal des armatures longitudinales du poteau

- La quantité d'armatures transversales minimales  $\frac{At}{t.b_1}$  en pourcentage est donnée comme suite :

$$A_t^{min} = 0.3 \% \text{ (t x } b_1) \text{ si } \lambda_g \geq 5 \quad ; \qquad A_t^{min} = 0.8 \% \text{ (t x } b_1) \text{ si } \lambda_g \leq 3$$

 $\lambda_g = \frac{l_f}{a}$  ou  $\frac{l_f}{b}$  Où a et b, dimensions de la section droite du poteau dans la direction de déformation considérée;  $l_f$  est la longueur de flambement du poteau.

- Si  $3 \le \lambda_g \le 5$  interpolé entre les valeurs limitent précédentes

## V.1.2.1. Ferraillage des poteaux :

# A. Sollicitations dans les poteaux :

Les sollicitations dans les poteaux sont extraites du logiciel Robot structural analyses 2014 qui a été utilisé dans la modélisation de notre structure au chapitre étude sismique (les résultats sont pour le poteau le plus sollicité pour chaque type dans les différents niveaux).

Tableau V.7: Sollicitations des poteaux.

	1er cas		2eme cas		3eme cas	
Poteaux 55x50	Nmax	Mcorr	Nmin	Mcorr	Mmax	Ncorr
	ELU	N° 126	0.8G+Ey	N° 131	G+Q+Ey	N° 135
	2182,55	-66,49	203,11	-32,10	183,38	1943,69
	Mg	Mq	Mg	Mq	Mg	Mq
	-38,99	-9,23	4,12	-0,42	-32,76	-5,05

	1er cas		2eme cas		3eme cas	
	Nmax	Mcorr	Nmin	Mcorr	Mmax	Ncorr
Dotoowy 45 v 50	ELU	N° 260	ELS	N° 399	G+Q+Ey	N° 387
Poteaux 45 x 50	1898,32	-59,60	141,52	4,70	-131,03	1048,05
	Mg	Mq	Mg	Mq	Mg	Mq
	-34,98	-8,25	4,63	-0,13	-3,94	-1,23

	1 <sup>er</sup> cas		2eme cas		3eme cas	
	Nmax	Mcorr	Nmin	Mcorr	Mmax	Ncorr
Poteaux 40 x 45	ELU	N° 528	ELS	N° 643	G+Q+Ey	N° 537
Poleaux 40 x 43	1341,75	-55,84	76,42	-1,03	-111,57	983,73
	Mg	Mq	Mg	Mq	Mg	Mq
	28,81	6,72	-0,90	-0,13	-15,77	-3,09

	1 <sup>er</sup> cas		2eme cas		3eme cas	
	Nmax	Mcorr	Nmin	Mcorr	Mmax	Ncorr
Dotoowy 25 v 40	ELU	N° 793	ELS	N° 912	G+Q+Ey	N° 800
Poteaux 35 x 40	798,12	-51,54	10,30	0,66	-76,84	441,61
	Mg	Mq	Mg	Mq	Mg	Mq
	-30,47	-6,94	0,58	-0,13	24,68	-4,43

	1er cas		2eme cas		3eme cas	
Poteaux 30x35	Nmax	Mcorr	Nmin	Mcorr	Mmax	Ncorr
	ELU	N° 1061	ELU	N° 1062	G+Q+Ey	N° 1063
	254,40	-61,90	-34,14	-12,89	-68,09	171,23
	Mg	Mq	Mg	Mq	Mg	Mq
	-39,44	-5,78	-7,94	-1,45	-32,71	-4,79

### Exemple de calcul:

Le calcul du ferraillage se fera pour un seul poteau comme exemple de calcul et les autres seront résumés dans un tableau.

Tableau V.8 : Caractéristiques mécanique des matériaux.

Situation	Béton			Acier			
	γь	F <sub>c28</sub> (MPA)	Fbu(MPa)	$\sigma$ s	Fe (MPa)	γ <sub>s</sub> (MPa)	
Durable	1,5	25	14,2	1,15	400	348	
Accidentelle	1,15	25	18,47	1	400	400	

Exemple de calcul : poteau (50x55) cm<sup>2</sup>  $\longrightarrow$  RDC

#### **B.1.**Armatures longitudinales:

$$a = 50 \text{ cm}$$
;  $b = 55 \text{ cm}$ ;  $d = 49.5 \text{ cm}$ ;  $L = 408 \text{ cm}$ ;  $c = h - d = 5.5 \text{ cm}$ 

Cas 1: 1.35G+1.5Q 
$$\longrightarrow$$
 Nmin = 2182.55 KN;  $M_{corr}$  = 66.49KN.m

#### <u>Calcul l'excentricité</u>:

$$e_G = \frac{Mcorr}{Nmin} = \frac{66.49}{2182.55} = 0.03$$
m

 $e_G = 0.03 \ m < \frac{h}{2} = 0.275 \ m \rightarrow \text{ Le centre de pression est à l'intérieur de la section .}$ 

N est un effort de traction donc la section est entièrement tendue (SET).

Une section sera dite entièrement tendue, si l'effort appliqué est un effort de traction et si le centre de pression se trouve entre les armatures. Le béton étant entièrement tendue, il n'intervient pas dans la résistance de la section, donc quelle que soit la forme de la section, le calcule des armatures est le même.

 $N_u$  ( Traction) et c est compris entre les armatures théoriques  $A_1$  et  $A_2$ , le calcule sera fait comme suit :

$$e_{a1} = \left(\frac{h}{2} - d'\right) + \left|e_{G}\right| = 0.255$$
  
 $e_{a2} = (d - d') - e_{1} = 0.185 m$ 

$$A_1 = \frac{N \times e_{a2}}{(d-d')\sigma_s} = 26.37 \ cm^2$$

$$A_2 = \frac{N \times e_{a1}}{(d - dt)\sigma_s} = 36.35 \ cm^2$$

$$A = max (A_1; A_2) = 36.35 cm^2$$

#### Calcul l'excentricité:

$$e_G = \frac{Mcorr}{Nmin} = \frac{32.10}{203.11} = 0.16$$
m

 $e_G = 0.16 \, m \, < \frac{h}{2} = 0.275 \, m \rightarrow \text{ Le centre de pression est à l'intérieur de la section .}$ 

N est un effort de traction donc la section est entièrement tendue (SET).

Une section sera dite entièrement tendue, si l'effort appliqué est un effort de traction et si le centre de pression se trouve entre les armatures. Le béton étant entièrement tendue, il n'intervient pas dans la résistance de la section, donc quelle que soit la forme de la section, le calcule des armatures est le même.

 $N_u$  (Traction) et c est compris entre les armatures théoriques  $A_1$  et  $A_2$ , le calcule sera fait comme suit :

$$e_{a1} = \left(\frac{h}{2} - d'\right) + \left|e_G\right| = 0.383$$
  
 $e_{a2} = (d - d') - e_1 = 0.057 m$ 

$$A_1 = \frac{N \times e_{a2}}{(d-di)\sigma_s} = 0.7cm^2$$

$$A_2 = \frac{N \times e_{a1}}{(d-di)\sigma_s} = 5.08 \ cm^2$$

$$A = max \; (\; A_1 \, ; A_2 \, ) = 5.08 \; cm^2$$

**Cas 3:** Mmax = 183.38 KN.m;  $N_{corr} = 1943.69$ KN

#### <u>Calcul l'excentricité</u>:

$$e_G = \frac{Mcorr}{Nmin} = \frac{183.38}{1943.69} = 0.094$$
m

 $e_G = 0.094 \, m \, < \frac{h}{2} = 0.275 \, m \rightarrow \text{Le centre de pression est à l'intérieur de la section}$ 

N est un effort de traction donc la section est entièrement tendue (SET).

Une section sera dite entièrement tendue, si l'effort appliqué est un effort de traction et si le centre de pression se trouve entre les armatures. Le béton étant entièrement tendue, il n'intervient pas dans la résistance de la section, donc quelle que soit la forme de la section, le

calcule des armatures est le même.

 $N_u$  ( Traction) et c est compris entre les armatures théoriques  $A_1$  et  $A_2$ , le calcule sera fait comme suit :

$$e_{a1} = \left(\frac{h}{2} - d'\right) + \left|e_G\right| = 0.319$$
  
 $e_{a2} = (d - d') - e_1 = 0.121 m$ 

$$A_1 = \frac{N \times e_{a2}}{(d-dt)\sigma_s} = 15.36cm^2$$

$$A_2 = \frac{N \times e_{a1}}{(d-d')\sigma_s} = 40.49 \ cm^2$$

$$A = max (A_1; A_2) = 40.49 cm^2$$

#### a. Armatures minimales et maximales : (zone II.a)

Vérification de la section minimale selon RPA99v2003 :

$$As_{min}^{RPA} = 0.8\% \text{ x bx h} = 0.008 \text{ x } 50 \text{ x } 55 = 22 \text{ cm}^2$$

$$As_{min}^{RPA} = 4\% \text{ x bx h} = 0.04 \text{ x } 50 \text{ x } 55 = 110 \text{ cm}^2$$
. (Zone courante)

$$As_{min}^{RPA} = 6\% \text{ x bx h} = 0.06 \text{ x } 50 \text{ x } 55 = 165 \text{ cm}^2$$
. (Zone de recouvrement)

#### b. Armatures Finale:

$$As = Max (As_{min}^{RPA}; As_{cal})$$

$$As = Max (22; 40.49) = 40.49 \text{ cm}^2$$

Choix d'armarure : on prend 4 HA14+4HA16  $\longrightarrow$  As = 14.2m<sup>2</sup>

#### **Vérification:**

- Vérification vis-à-vis à l'effort tranchant : « fissuration non préjudiciable ».
- <u>Selon BAEL91r99</u> :

$$\overline{\tau_u} = \min (0.2 \frac{f_{c28}}{v_b}; 4\text{MPA}) = 3.33\text{MPA}$$
 [[1]; Art: A.5.1,21]

$$Tmax = 78.22 \text{ KN}$$
;  $b = 50 \text{ cm}$ ;  $d = 49.5 \text{ cm}$ 

$$\tau_u = \frac{T_{max}}{h d} = 0.316 \text{MPA}$$

$$\tau_u = 0.316 \text{MPA} < \overline{\tau_u} = 3.33 \text{MPA}.....\text{Cv}$$

### • <u>Selon RPA2003art7.4.3.2</u>:

La contrainte de cisaillement conventionnelle de calcul dans le béton  $\tau_{bu}$  sous combinaison sismique doit être inférieure ou égale à la valeur limite suivante :

$$\tau_u \le \tau_{bu} = \rho_d \times f_{c28} = \text{Mpa}$$
;  $\rho_d = 0.04$ 

Avec : 
$$\tau u = 0.316$$
 Mpa

$$\tau_u$$
=0.316 Mpa  $\leq \tau_{bu}$  = 1Mpa .....CV

### **B.2.Armatures transversal:**

#### Diamètre transversal :

le diamètre des armatures transversales calculé à l'aide de la formule suivante :

$$\Phi_t = \min\left(\frac{h}{35}; \frac{b}{10}; \Phi_l\right)$$
 [1]

Avec  $\Phi 1$ : le diamètre minimal des armatures longitudinal du poteau.

$$\Phi_t = \min\left(\frac{h}{35}; \frac{b}{10}; \Phi_l\right) = \min\left(\frac{55}{35}; \frac{50}{10}; 1.14\right) = 1.14$$

Donc on prendra  $\Phi = 8$ mm avec une nuance d'acier FeE235 mm

## > Espacement des armatures transversales :

## - Selon les règles BAEL 91 :

 $t \le min (15\Phi Lmin; 40 cm; b+10cm)$ 

 $t \le min (15\Phi_{Lmin}; 40 cm; 60cm) = \Rightarrow t = 15cm$ 

# - <u>D'après les règles RPA 99/V2003</u>: (zone II.a); [2]; Art: A.7.4,22]

**Zone nodale :**  $t \le min(10\Phi Lmin; 15cm) = min(10 \times 1.4; 15) = 10cm$ 

**Zone courant :**  $t \le 15\Phi_{Lmin} = 15 \times 1.4 = 15 \text{cm}$ 

#### **Armatures transversales minimales:**

Les armatures transversales sont calculées à l'aide de formule suivante :

$$[2]$$
; Art: A.7.4,22

$$\frac{A_t}{t} = \frac{\rho_{a.vu}}{h_{.fe}}$$

= l'effort tranchant de calcul

 $\frac{A_t}{t} = \frac{\rho_{a.vu}}{h_{.fe}}$  h: hauteur totale de la section brute  $\rho_a: Coefficient correcteur qui tient compte du mode fragile de rupture
par effort tranchant$ 

$$\rho_a = \begin{cases} 2.5 & \text{si } \lambda_g \ge 5 \\ 3.5 & \text{si } \lambda_g < 5 \end{cases} \Rightarrow \lambda_g \text{ (L'élancement géométrique du poteau)}$$

t : est l'espacement des armatures transversales.

zone II : 
$$\begin{cases} & t \le 10 \text{ cm } \dots \text{zone nodale} \\ & t' \le \min\left(\frac{b}{2}; \frac{b}{2}; 10 \emptyset l\right) \dots \text{zone courant} \end{cases}$$

 $\emptyset l$ : Diamètre minimal des armatures longitudinales

• La quantité d'armature transversale minimale :

$$\frac{A_t}{b.t} \ge \begin{cases} 0.30\%(t \times b) \dots \sin \lambda g \ge 5 \\ 0.8\%(t \times b) \dots \sin \lambda g \le 3 \\ \text{Interpolation } \dots \sin 3 < \lambda g < 5 \end{cases}$$

$$\lambda g = \frac{l_f}{a} = \frac{0.7 \times 3.06}{0.5} = 4.284 < 5 \implies \rho_a = 3.5$$

$$Vu = 78.22 \text{ kN}$$

Zone nodale : t = 10 cm

zone courante : t'  $\leq \min(\frac{50}{2}; 50; 10\emptyset) = 15 \text{ cm}$ 

donc:

At = 
$$\frac{\rho_{a.vu}}{h_{.fe}} = \frac{3.5 \times 100 \times 78.22 \times 10^3}{550 \times 400} = 1.24 \text{ cm}^2 \Rightarrow \text{Zone nodale}$$

On adopte :  $6T8 = 3.02 \text{ cm}^2$ .

At = 
$$\frac{\rho_{a.vu}}{h_{.fe}} = \frac{3.5 \times 150 \times 78.22 \times 10^3}{550 \times 400} = 1.86 \text{ cm}^2 \Rightarrow \text{Zone courante}$$

Tableau V.9: Tableaux récapitulatifs des résultats pour le ferraillage longitudinal des poteaux.

Section Cm <sup>2</sup>		A <sub>cal</sub> (Cm <sup>2</sup> )	As RPA min (Cm <sup>2</sup> )	A <sub>CHOISIE</sub> (Cm <sup>2</sup> )	A <sub>adopté</sub> (Cm²)	Choix d'armatures
	Cas 1	36.35				
50x55	Cas2	5.08	22	40.49	44.18	8HA20+4HA25
	Cas3	40.49				
	Cas 1	31.37				
45x50	Cas2	2.34	18	31.37	39.27	8HA25
	Cas3	24.09				
	Cas 1	23.76				
40x45	Cas2	1.16	14.4	23.76	25.13	8HA20
	Cas3	22.85				
	Cas 1	15.77				
35x40	Cas2	0.20	11.2	15.77	16.08	8HA16
	Cas3	13.09				
	Cas 1	11.32				
30x35	Cas2	1.31	8.4	11.32	12.31	8HA14
	Cas3	7.16				

Les cardes doivent être fermés par des crochets à 135° ayant une longueur droite de 10 $\emptyset$ t.  $\emptyset$ t = 8 mm  $\Rightarrow$ 10 $\emptyset$ t = 10 x8= 8cm

 $Tableau\ v.10: Calcul\ du\ ferraillage\ transversal\ pour\ les\ poteaux\ .$ 

	Vu	$\lambda_{m{g}}$	$ ho_{\mathrm{a}}$	zone	St	At	Aadop	choix
Section	(kn)				cm	cm <sup>2</sup>	(cm <sup>2</sup> )	
(cm <sup>2</sup> )								
50x55	78.22	0.075	3.5	nodal	10	1.24	3.02	6HA8
			3.3	courante	15	1.86	3.02	6HA8
45x50	93.34	0.075	3.5	nodal	10	1.63	3.02	6HA8
			3.3	courante	15	2.45	3.02	6HA8
40x45	99.23	0.075	3.5	nodal	10	1.37	3.02	6HA8
			3.3	courante	15	2.06	3.02	6HA8
35x40	70.69	0.075	2.5	nodal	10	1.1	3.02	6HA8
				courante	15	1.65	3.02	6НА8
30x35	42.51	0.075	2.5	nodal	10	0.75	3.02	6HA8
				courante	15	1.13	3.02	6НА8

Tableau v.11 : Tableau récapulatif pour la Vérification de cisaillement.

Section	$v_u$ (kn)	τ <sub>u</sub> (Mpa)	λ	$\bar{\tau}_u(Mpa)$	τ <sub>bu</sub> (Mpa	Vérification
(cm <sup>2</sup> )			$oldsymbol{g}$		)	
50x55	78.22	0.316	2.5			cv
45x50	93.22	0.460	2.5	3.33	1.87	cv
40x45	99.23	0.612	2.5	. 3.33	1.07	cv
35x40	70.69	0.561	2.5			cv
30x35	42.51	0.449	2.5			cv

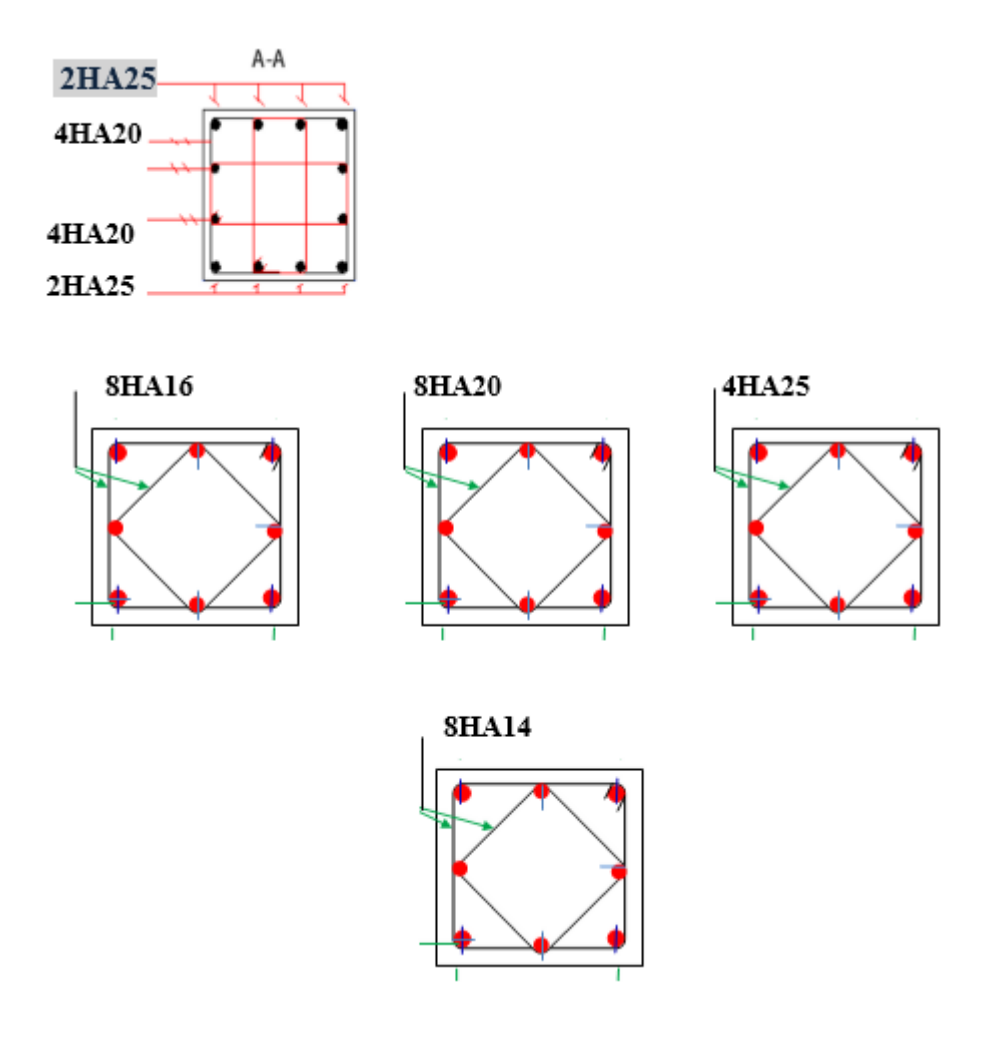


Figure V.3: Ferraillage des poteaux.

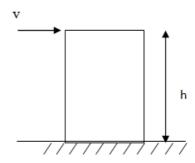
### V.2 Les voiles:

#### **V.2.1 Introduction**

Le voile est un élément structural de contreventement soumis à des forces verticales et des forces horizontales. Le ferraillage des voiles consiste à déterminer les armatures en flexion composée sous l'action des sollicitations verticales et aux charges permanentes(G) et aux surcharges d'exploitation(Q) ainsi que sous l'action des sollicitations horizontales dues au séisme

Pour faire face à ces sollicitations, on prévoit trois types d'armatures:

- Armatures verticales
- Armatures horizontales
- Armatures de montages



#### Les armatures verticales

Elles sont destinées à reprendre les effets de flexion, elles sont disposées en deux nappes parallèles aux faces des voiles. Ces armatures doivent respecter les prescriptions suivantes:

- $A_{min} = 0.2\% \times e \times L_t$ 
  - e: épaisseur du voile.

Lt: longueur de zone tendue.

- les barres verticales des zones extrêmes doivent être ligaturées avec des cadres horizontaux( $S_t < e$ ).
- A chaque extrémité du voile, l'espacement des barres doit être réduit de <sup>1</sup>/<sub>2</sub> sur <sup>1</sup>/<sub>10</sub> de la longueur du voile.
  - Les barres du dernier niveau doivent être munies des crochets à la partie supérieure.



Figure V.4 Disposition des armatures verticales (vue en plan).

#### V.2.2 Stabilité des constructions vis-à-vis des charges latérale:

Du point de vue de la stabilité sous charges horizontales (vent, séisme), on distingue différents types des structures en béton armé:

- Structures auto-stables.
- Structures contreventées par des voiles.

Dans notre projet, la structure est contreventée par les voiles dont le but est assurer la stabilité (et la rigidité) de l'ouvrage vis-à-vis des charges horizontales.

#### V.2.3 Rôle de contreventement:

Le contreventement a principalement pour objet :

- Assure la stabilité des constructions non auto-stables vis-à-vis des charges horizontales et de transmettre jusqu'au sol.
- Raidir les constructions, car les déformations excessives sont sources des dommages aux éléments non structuraux et à l'équipement.

#### V.2.4 Avantages des voiles:

- Leur présence limite les déformations latérales.
- Leur rigidité permet de protéger les éléments non structuraux et quelques poteaux existant. Leur présence permet de s'affranchir du difficile problème posé par la réalisation du ferraillage des nœuds des portiques.
- Elle permettre de ne pas être pénalisées dans le choix du coefficient de comportement en cas du panneau de remplissage.

#### V.2.5 Combinaisons des actions:

Selon le règlement parasismique algérien (RPA99/V2003) et le BAEL 99, les combinaisons des actions ont considéré pour la détermination des sollicitations et des déformations sont :

O Selon le BAEL91 [3] :  $\{G + Q \pm E\}$ 

 $0.8G \pm E$ 

o Selon le RPA 99 [1] : {1.35G + 1.5Q

G + Q

#### V.2.6 Recommandations du RPA99 [1]:

#### **Aciers verticaux:**

La disposition du ferraillage vertical se fera de telle qu'il reprendra les contraintes de la flexion composée en tenant compte des prescriptions imposées par le RPA99/V2003.

- L'effort de traction engendré dans une partie du voile doit être repris en totalité par les armatures dont le pourcentage minimal est de 0.2% de la section horizontale du béton tendu. Les barres verticales des zones extrêmes devraient être ligaturées avec des cadres horizontaux dont l'espacement ne doit pas être supérieur à l'épaisseur des voiles.
- Si des efforts importants des compressions agissent sur l'extrémité, les barres verticales doivent respecter les conditions imposées aux poteaux. Les barres verticales du dernier niveau doivent être munies de crochets à partie supérieure. Toutes les autres barres n'ont pas de crochets (jonction par recouvrement).

• À chaque extrémité du voile l'espacement des barres doit être réduit de moitié sur (1/10) de la largeur du voile, cet espacement doit être au plus égal à 15 cm.

#### **Aciers horizontaux:**

- Les aciers horizontaux seront disposés perpendiculairement aux faces des voiles
- Elles doivent être munies de crochets à  $90^{\circ}$  ayant une longueur de  $10\Phi$ .
- Dans le cas où il existe des talons de rigidité, les barres horizontales devront être ancrées sans crochets si les dimensions des talons permettent la réalisation d'un ancrage droit.

### V.2.7 Règles communes:

- Le pourcentage minimal des armatures verticales et horizontales est :  $A_{min} = 0.15$  % section globale du voile.  $A_{min} = 0.1$  % zone courante.
- L'espacement des barres (horizontales et verticales)  $St \le min (1.5e; 30cm)$ .
- Diamètre des barres (horizontales et verticales) ne devrait pas dépasser 1/10 de l'épaisseur du voile. Le calcul se fera pour des bandes verticales dont la largeur d est déterminée à partir de:

 $d \le \min(h_e, 2L/3)$ 

L': est la longueur de la zone comprimée.

### • Longueur de recouvrement:

 $L_r$ = 40: En zone qui peut être tendue.

L<sub>r</sub>= 20: En zone comprimée sous toutes les combinaisons.

### V.2.8 Disposition des voiles:

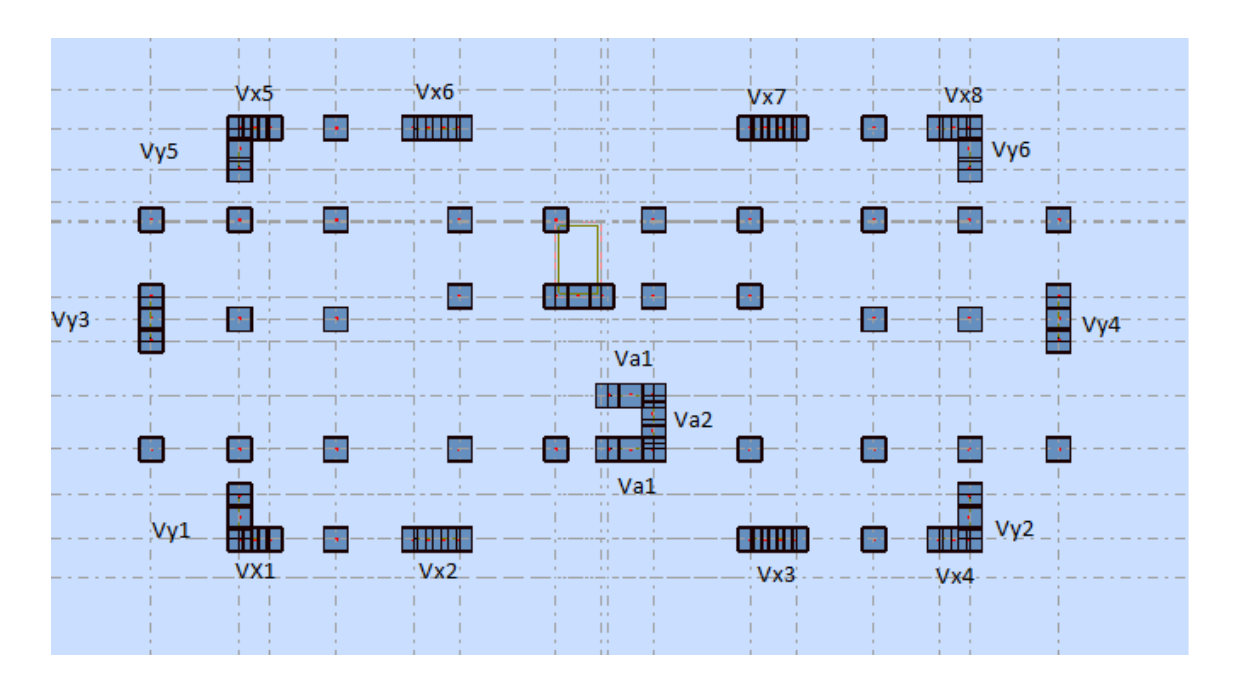


Figure V.5: Disposition des voiles

### V.2.9 Ferraillage des voiles:

Pour déterminer les armatures verticales, on utilisera la méthode des contraintes. Cette méthode consiste à déterminer le diagramme des contraintes à partir des sollicitations les plus défavorables (N, M) et Pour connaître la nature de la section on utilise la méthode de la RDM dite « **formule de Navier Bernoulli** »:

Avec:

$$\sigma_a = \frac{N}{A} + \frac{M \times Y}{I} \quad \sigma_b = \frac{N}{A} - \frac{M \times Y}{I}$$

N: effort normal agissant sur le voile considéré.

M: moment de flexion agissant sur le voile considéré.

I: moment d'inertie du voile considéré.

Y : centre de gravité de la section du voile dans les sens du plan moyen.

On distingue 3 cas:

### 1er cas

Si:  $(\sigma_1 \text{ et } \sigma_2) >> 0$  la section du voile est entièrement comprimée «pas de zone tendue».

La zone courante est armée par le minimum exigé par le R.P.A 99 (version 2003)

$$A_{min} = 0.15.a.L$$

### 2<sup>éme</sup> cas

Si:  $(\sigma_1 \text{ et } \sigma_2) \ll 0$  la section du voile est entièrement tendue «pas de zone comprimée».

On calcule le volume des contraintes de traction, d'où la section des armatures verticales :

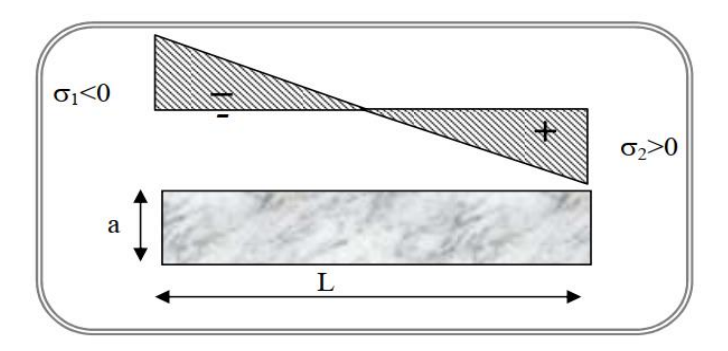
$$A_v = F_t / f_e$$

On compare Av par la section minimale exigée par le R.P.A 99 (version 2003).

- Si  $A_v < A_{min} = 0.15\%$  a.L. On ferraille avec la section minimale.
- $A_{\nu} > A_{\min}$  On ferraille avec  $A_{\nu}$

### 3<sup>éme</sup> cas

Si:  $(\sigma_1 \text{ et } \sigma_2) = 0$  sont de signe différent, la section du voile est partiellement comprimée, donc on calcule le volume des contraintes la zone tendue



### V.2.9.1 Armatures verticales:

Nous allons déterminer les contraintes sollicitant le voile selon la formule suivante :

$$\sigma_{a} = \frac{N}{A} + \frac{M \times Y}{I}$$

$$\sigma_{b} = \frac{N}{A} - \frac{M \times Y}{I}$$

On remarque qu'on a juste les contraintes de compression alors notre section est entièrement comprimée. Le calcul se fera pour des bandes verticales dont la largeur d est déterminée à partir de: (RPA Article 7.7.4) [1]

• On a trois types de voile leurs Caractéristiques géométriques sont afficheé dans le tableau suivant

Les sollicitations dans les voiles sont tirées directement dans le logiciel ROBOT, ils sont regroupés dans les tableaux ci-dessous.

Tableau V.12 : Sollicitations de calcul dans les voiles (RDC à 7<sup>éme</sup> étage).

	M <sub>max</sub>	N <sub>max</sub>	T <sub>max</sub>
V <sub>y1</sub>	534.72	806.62	191.05
$V_{y2}$	503.07	750.68	179.72
$V_{y3}$	610.1	234.89	54.37
V <sub>y4</sub>	582.34	220.79	51.90
$V_{y5}$	245.58	379.32	80.28
V <sub>y6</sub>	216.63	326.64	69.63
V <sub>x1</sub>	153.62	827.96	51.3
V <sub>x2</sub>	479.61	658.5	70.73
$V_{x3}$	460.55	685.93	267.75
V <sub>x4</sub>	712.7	1147.43	226.8
$V_{x5}$	187.24	494.19	198.12
$V_{x6}$	584.22	865.76	86.46
V <sub>x7</sub>	575.65	871.76	181.25
V <sub>x8</sub>	183.25	488.2	59
V <sub>a1</sub>	530.74	919.16	119.66
V <sub>a1</sub>	537.52	1348.49	103.68
V <sub>a2</sub>	484.32	990.1	267.75

### Ferraillage des voiles

Le calcul des armatures verticales se fait en flexion composée sous M et N pour une section  $(b \times h)$ .

Les résultats du ferraillage sont représentés dans les tableaux ci-dessous avec:

- $A_v^{min} = 0.15\% \times b \times L$ : section d'armatures verticales minimale dans le voile.
- A<sup>cal</sup> : section d'armature calculée dans l'élément.
- $A_v^{adop}$ : section d'armature adoptée pour une seule face de voile.
- $S_t$ : espacement.
- $A_h^{min} = 0.15\% \times b \times h$ : section d'armature adoptée pour une seule face de voile.
- $A_h^{cal} = \frac{A_v^{adp}}{4}$ : section d'armature calculée.
- $\bullet \quad A_h^{adp}: section \ d'armature \ adopt\'ee.$

N<sup>bre</sup> : nombre de barre adoptée.

### Exemple de calcul

On prend comme exemple le voile  $V_{y3}$ :  $KN. m \text{ et } N_{cor} = 234.89 \quad KN \text{ et } V = 54.37 \quad KN$  $M_{\text{max}} = 610.1$ 

#### Calcul des armatures verticales

Le calcul des armatures verticales se fait à la flexion composée sous les sollicitations les plus défavorables (M, N) pour une section (e x l). La section trouvée (A) sera répartie sur toute la zone tendue de la section en respectant les recommandations du RPA99.

$$\begin{array}{l} L=\ 1.5\ m\ ;\ d=0.9\times h=1.35\ m\ ;\ e=0.15\,m\\ e_G=\frac{M}{N}=\frac{610.1}{234.58}=2.60\,m\\ e_G>\frac{L}{2}=0.75\,m\implies N\ est\ un\ effort\ de\ traction\ et\ c\ en\ dehors\ de\ la\ section\implies section\\ partiellement\ tendue. \end{array}$$

Le calcul ce fait par assimilation a la flexion simple avec  $M_{UA}$ :

Le calcul ce l'ait par assimilation à la flexion simple avec 
$$M_{UA}$$
: 
$$M_{UA} = M + N \times (d - \frac{L}{2})$$

$$M_{UA} = 610.1 + 234.89 \times \left(1.35 - \frac{1.5}{2}\right) = 751.034 \text{ KN. m}$$

$$\mu_{bu} = \frac{M_{UA}}{b \times d^2 \times f_{bu}} = \frac{751.034 \times 10^{-3}}{0.15 \times 1.35^2 \times 14.17} = 0.193 < 0.392 \Longrightarrow A' = 0$$

$$\alpha = 1.25 \left(1 - \sqrt{1 - 2\mu_{bu}}\right) = 0.271$$

$$z = d(1 - 0.4\alpha) = 1.20m$$

$$A_v^{cal} = \frac{M_{UA}}{7 \times f_{ct}} = \frac{751.034 \times 10}{1.20 \times 347.8} = 17.93 \text{ cm}^2$$

### Calcul des armatures minimales

$$\begin{aligned} &A_v^{min} = 0.15\% \times e \times L = 3.37 \text{ cm}^2 \\ &A_{min}^t = 0.2\% \times e \times L_t \end{aligned}$$

Pour le calcul de L<sub>t</sub> on doit déterminer les contraintes :

$$\begin{split} \sigma &= \frac{N}{B} \pm \frac{M}{I} \times V \\ V &= \frac{h}{2} = \frac{1.5}{2} = 0.75 \text{ m} \\ \sigma^+ &= \frac{234.89 \times 10^{-3}}{0.15 \times 1.5} + \frac{610.1 \times 10^{-3}}{\frac{0.15 \times 1.5^3}{12}} \times 0.75 = 11.89 \text{ MPa} \end{split}$$

$$\sigma^{-} = \frac{234.89 \times 10^{-3}}{0.15 \times 1.5} - \frac{610.1 \times 10^{-3}}{\frac{0.15 \times 1.5^{3}}{12}} \times 0.75 = -9.80 \text{ MPa}$$

$$L_{t} = \frac{\sigma_{min} \times L}{\sigma_{max} + \sigma_{min}} = \frac{9.80 \times 1.5}{11.89 + 9.80} = 0.67m$$

$$A_{min}^{t} = 0.2\% \times e \times L_{t} = 0.2\% \times 0.15 \times 67 = 2.01 cm^{2}$$

$$A_{min}^t = 2.03 \text{ cm}^2 < A_v^{cal} = 17.93 \text{cm}^2$$

On choisit :  $12T14 = 18.47 \text{ cm}^2$ 

$$A_{min}^c = 0.1\% \times e \times L_c \ \text{avec} : L_c = L-2 \times L_t = 1.5-2 \times 0.67 = 0.14 m$$

$$A_{min}^c=0.14\ cm^2$$

On choisit :  $1T12 = 1.13 \text{ cm}^2$ 

$$A_v^{adp} = 18.47 + 1.13 = 19.6 \text{ cm}^2$$

#### Calcul des armatures horizontales

On a: V = 54.37KN

$$\tau_u = \frac{V}{b \times d} = \frac{54.37 \times 10^{-3}}{0.15 \times 1.35} = 0.26 \text{MPa} < \overline{\tau} = 0.2 \times f_{c28} = 5 \text{ MPa .....v\'erifi\'ee}$$
 Pour  $S_t = 15 \text{ cm}^2$  on aura :

• 
$$A_h^{min} = 0.15\% \times b \times h = 0.15\% \times 15 \times 306 = 6.88 \text{cm}^2$$

• 
$$A_h^{cal} = \frac{A_v^{adp}}{4} = \frac{19.6}{4} = 4.9 \text{ cm}^2$$

On choisit :  $9T12 = 10.18 \text{ cm}^2$ 

$$A_h^{adp} = 10.18 \text{ cm}^2$$

Tableau V.13 : Ferraillage des voiles à yy et xx (RDC à  $7^{\rm \acute{e}me}$  étage).

	$V_{y1}$	$V_{y2}$	$V_{y3}$	$V_{y4}$	$V_{y5}$	$V_{y6}$
L(m)	1	1	1.5	1.5	1	1
M KN.m	534.72	503.07	610.1	582.34	245.58	216.63
N (KN)	806.62	750.68	234.89	220.79	379.32	326.64
V (KN)	191.05	179.72	54.37	51.90	80.28	69.63
τ <sub>u</sub>	1.14	1.32	0.26	0.25	0.59	0.51
τ̄	5	5	5	5	5	5
A <sup>cal</sup>	50.77	40.64	17.93	16.95	14.62	12.51
A <sub>v</sub> <sup>min</sup>	2.25	2.25	3.37	3.37	2.25	2.25
A <sub>v</sub> <sup>adp</sup>	51.15	41.09	19.6	19.6	19.6	19.6
N <sup>barre</sup>	20T14+18T12	12T14+20T12	12T14+1T12	12T14+1T12	12T14+1T12	12T14+1T12
S <sub>t</sub>	20	20	20	20	20	20
A <sup>cal</sup>	12.78	10.27	12.95	4.9	4.9	4.9
A <sub>h</sub> <sup>min</sup>	6.88	6.88	6.88	6.88	6.88	6.88
A <sub>h</sub> <sup>adop</sup>	10.18	10.18	10.18	10.18	10.18	10.18
N <sup>barre</sup>	9T12	9T12	9T12	9T12	9T12	9T12
S <sub>t</sub>	20	20	20	20	20	20

	$V_{x1}$	V <sub>x2</sub>	V <sub>x3</sub>	V <sub>x4</sub>	V <sub>x5</sub>	V <sub>x6</sub>	V <sub>x</sub> 7	$V_{x8}$
<b>L(m</b> )	1	1.5	1.5	1	1	1.5	1.5	1
M KN. m	153.62	479.61	460.55	712.7	187.24	584.22	575.65	183.25
N (KN	827.96	658.5	685.93	1147.43	494.19	865.68	871.76	488.2

)								
V (KN )	51.3	70.73	267.75	226.8	198.12	86.46	181.25	59
τ <sub>u</sub>	0.38	0.34	1.36	1.68	1.46	0.42	0.89	0.43
ī	5	5	5	5	5	5	5	5
A <sup>cal</sup>	18.63	21.39	21.31	12.9	14.1	28.36	28.20	13.82
A <sub>v</sub> <sup>min</sup>	2.25	3.37	3.37	2.25	2.25	3.37	3.37	2.25
A <sub>v</sub> <sup>adp</sup>	25.26	25.26	25.26	19.6	19.6	37.58	31.92	19.6
N <sup>barre</sup>	12T14+6 T12	12T14+6 T12	12T14+6 T12	12T14+1 T12	12T14+1 T12	20T14+6 T12	20T14+1 T12	12T14+1 T12
S <sub>t</sub>	20	20	20	20	20	20	20	20
A <sup>cal</sup>	6.13	6.13	6.13	4.9	4.9	9.39	7.98	4.9
A <sub>h</sub> <sup>min</sup>	6.88	6.88	6.88	6.88	6.88	6.88	6.88	6.88
A <sub>h</sub> adop	10.18	10.18	10.18	10.18	10.18	10.18	10.18	10.18
N <sup>barre</sup>	9T12							
S <sub>t</sub>	20	20	20	20	20	20	20	20

	L(m	M(KN. m)	N(K N)	V (KN)	$ au_{\mathrm{u}}$	τ u	A <sub>v</sub> <sup>cal</sup>	A <sub>v</sub> <sup>mir</sup>	A <sub>v</sub> <sup>adp</sup>	N <sup>barre</sup>	S <sub>t</sub>	A <sup>cal</sup>	$A_h^{min}$	A <sub>h</sub> <sup>adop</sup>	N <sup>barre</sup>	S <sub>t</sub>
V <sub>a</sub>	1.5	530.74	919.1 6	119.6 6	0.51	5	27. 7	3. 37	40. 97	20T 14+ 9T1 2	2 0	10. 24	6.8	10 . 18	9T1 2	20
V <sub>a</sub>	1.5	537.52	1348. 5	103.6 8	0.59	5	36. 9	3. 37	41. 09	12T 14+ 20T 12	2 0	10. 27	6.8	10.1	9T1 2	20
<b>V</b> <sub>a</sub>	1.5	484.32	990.1	267.7 5	1.36	5		3. 37	28. 65	12T 14+ 9T1 2	2 0	7.1 6	6.8	10.1	9T1 2	20

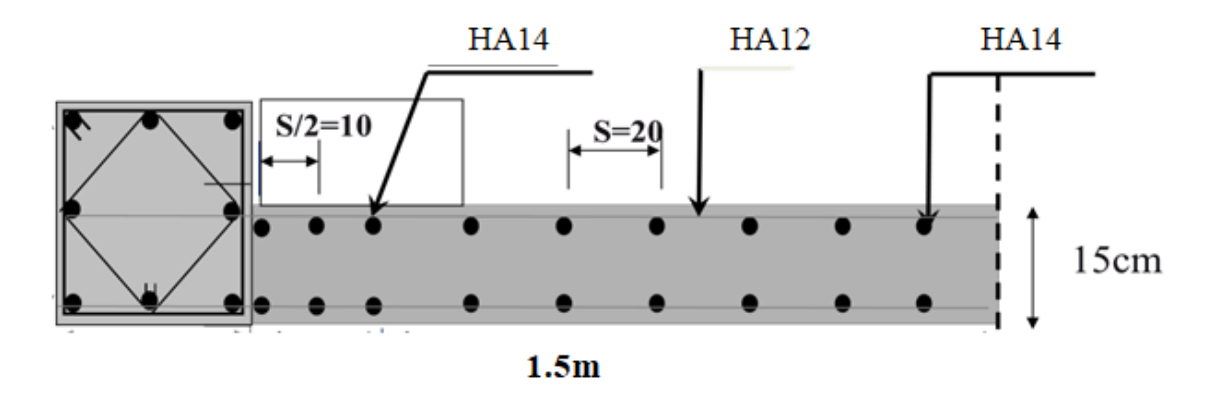


Figure V .6 : Ferraillage du voile .

### **V.3 Conclusion:**

Les éléments principaux (poutres, poteaux et voiles) jouent un rôle prépondérant dans la résistance et la transmission des sollicitations. Ils doivent donc être correctement dimensionnés et bien armés.

Dans la détermination des ferraillages des différents éléments Principaux; il a été tenu compte des ferraillages obtenus par logiciels de calcul (ROBOT) ainsi que le ferraillage minimum établie par RPA



### VI.I Introduction:

La fondation d'un bâtiment est constituée des parties structurelles en contact avec le sol, qui transmettent les charges de la superstructure au sol. Un choix judicieux du système de base doit toujours répondre aux exigences de sécurité (capacité de charge) et de facilité d'entretien. De plus, les considérations d'impact économique, esthétique et environnemental doivent être respectées. Les ingénieurs en structure sont souvent confrontés à plusieurs solutions possibles et doivent faire les choix suivants :

- Taux de travail au sol.
- Type de construction (souple, rigide).
- Type de base.

### Le choix de la fondation doit satisfaire les -critères suivants :

- Stabilité de l'ouvrage (rigide).
- facilite d'exécution (coffrage).
- Économie (ferraillage).

#### Etude du laboratoire du sol

- Le terrain est plat.
- La contrainte admissible recommandée est de : 1.5 bar.
- le laboratoire conseille de projeter les fondations dans sol à partir de 1.5m deprofondeur.

### **VI.II.** Choix et type de fondations :

Pour le choix de type de semelle, nous supposons en premier lieu, que les semelles de notre projet sont des semelles isolées. Le dimensionnement du coffrage de ces semelles s'effectuera à l'état limite de service sous l'effort normal maximal dans les éléments les plus chargés statiquement.

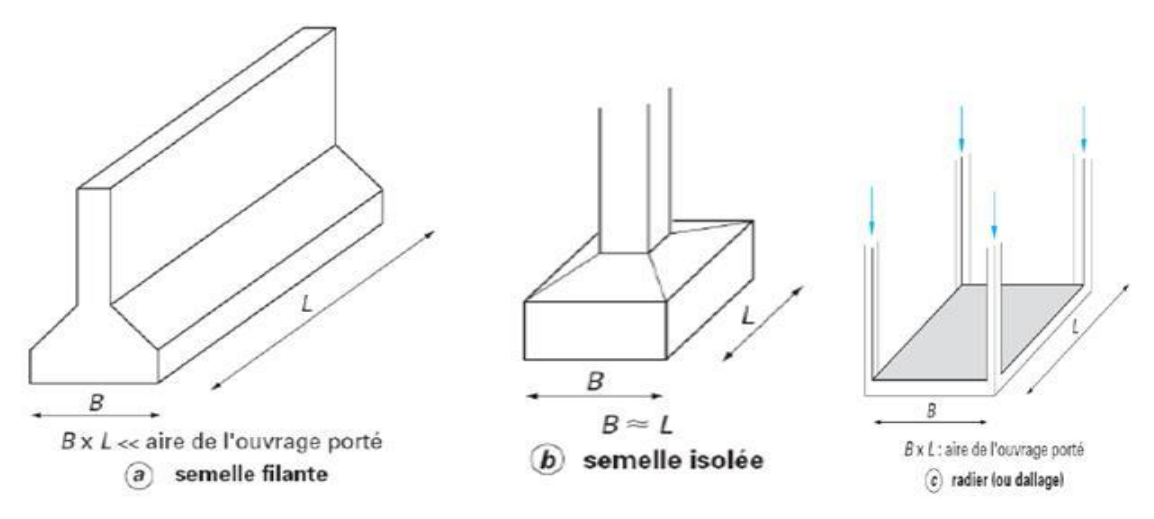


Figure VI. 1: Types des fondations.

Avec un taux de travail admissible du sol d'assise qui est égale à 1.5 bar, il y a lieu deprojeter à priori, des fondations superficielles de type :

- Semelle isolée.
- Semelle filante.
- Radier général.

Nous proposons en premier lieu des semelles isolées et semelles filantes pour cela, nous allons procéder à une petite vérification tell que :

La surface des semelles doit être inférieure à 50% de la surface totale du bâtiment.

$$\frac{\sum surface\ des\ semelles}{surface\ de\ batiment} \times 100\ \leq 50\ \%$$

### VI.3. Dimensionnement et calcul des semelles :

### VI.3.1. semelles isolées :

Pour le pré-dimensionnement, il faut considérer uniquement l'effort normal N qui est obtenu à la base de poteau le plus sollicité de RDC.

La vérification à faire est :

$$\sigma_{sol = \frac{N}{S} \le \bar{\sigma}_{sol}}$$

$$S = A \times B \le \frac{N}{\bar{\sigma}_{sol}}$$

$$\frac{A}{B} = \frac{a}{b} \to A = \frac{a}{b} \times B$$
Avec:

(a, b): les dimensions du poteau

(A, B): les dimensions de la semelle isolées

S : surface de la semelle isolée

N : L'effort normal agissant sur la semelle calculé selon la combinaison G+Q

 $\bar{\bar{\sigma}}_{sol}$ : Contrainte du sol

On a:

$$\bar{\bar{\sigma}}_{sol} = 1.5 \text{ bar} = 150 \text{ KN/m}^2 \text{ ; N} = 1199.22 \text{ KN}$$

$$S \ge \frac{N}{\bar{\sigma}_{sol}}$$

$$A \times B \ge \frac{N}{\bar{\sigma}_{sol}} = \frac{1199.22}{150} = 9.77 \ m^2$$

$$\frac{A}{B} = \frac{a}{b} \to A = \frac{35}{40} \times B \to A = 0.875 B$$

$$0.875 \text{ B}^2 \ge 9.77$$

$$B = \sqrt{11.16} = 3.34 m$$

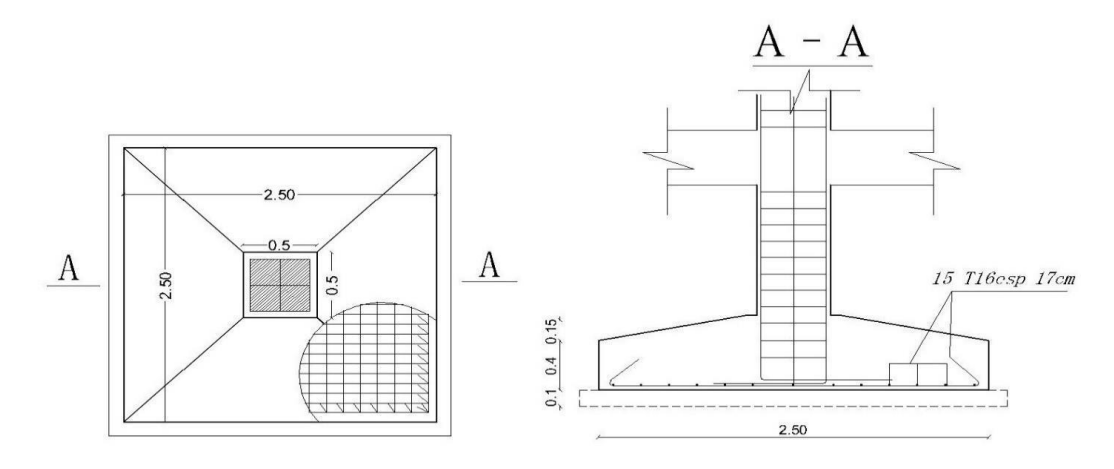


Figure VI.2 : Shéma ferraillage de semelle isolé.

### **Conclusion:**

Vu que l'entraxe minimal des poteaux est de 1,3 m, on remarque qu'il va avoir un chevauchement entre les semelles, ce qui revient à dire que ce type de semelles ne convient pas à notre cas. On passe alors à l'étude des semelles filantes.

### VI.3.2. Semelles Filantes:

## Qu'est-ce que c'est qu'une semelle filante :

La semelle filante est une fondation superficielle, composée de béton uniquement (pour les habitations en général) ou de béton armé (pour les plus gros bâtiments).

La semelle filante est une semelle continue rectiligne portant un mur ou une rangée de piliers. Son rôle est de répartir les charges qui lui sont appliquées sur une plus grande surface que ne le ferait le mur qu'elle soutient, afin de ne pas s'enfoncer dans le sol.

#### Méthode de calcul:

- La surface des semelles doit être inférieure à 50% de la surface totale du bâtiment.

$$\frac{S_{semelle}}{S_{hatiment}} \le 50 \%$$

Détermination de la largeur de la semelle :

$$B \ge \frac{N}{L \times \bar{\sigma}_{sol}}$$

Détermination de la hauteur de la semelle :

$$\frac{L}{9} \le h \le \frac{L}{6}$$

Avec:

L : distance entre les poteaux

 $N=\Sigma$  N<sub>i</sub> de chaque file de poteaux

 $S=B\times L$ .

B : Largeur de la semelle

L : Longueur de la file considérée

 $\bar{\bar{\sigma}}$ : Contrainte du sol

La méthode de calcul d'une semelle filante est la même que pour une semelle isolée sauf que le calcul se fait dans un sens : le sens transversal. (On utilise la Méthode de bielle).

Les armatures principales sont les aciers transversaux, les armatures secondaires servent de chainages st d'aciers de répartition.

Le calcul du ferraillage est obtenu pour un mêtre de longueur de la semelle, la hauteur est calculée

de la même maniéré que pour une semelle isolée.

Une semelle est dite continue si B est très petite devant sa longueur, elle doit vérifier la Condition suivante : L/B > 5.

# Détermination de la charge totale transmise par les poteaux :

Tableau VI. 1 : Charge due sur la semelle.

Filante	Nser (kN)	L (m)	σsol	S (m <sup>2</sup> )	<b>B</b> (m)	L/B >
			(kN/m <sup>2</sup> )			5
1	643.23	8.8	150	4.286	0.487	cv
2	1713.73	14.8	150	11.411	0.771	cv
3	2453 .86	14.8	150	16.324	1.103	cv
4	2104.85	14.8	150	14.030	0.948	cv
5	1361.08	8.8	150	9.073	1.031	cv
6	1017.93	8.8	150	6.785	0.771	cv
7	2052.88	14.8	150	13.675	0.924	cv
8	2639.19	14.8	150	17.582	1.188	cv
9	1717.95	14.8	150	11.440	0.773	cv
10	642.89	8.8	150	4.286	0.487	cv

Note: On va prendre une valeur de B = 1 m

$$B \ge \frac{N}{L \times \bar{\sigma}_{sol}}$$

 $S_{emelle}\!=108.892~m^{2}$ 

 $B_{\text{\^{a}timent}} = 505.31 \text{ m}^2$ 

Le rapport de la surface des semelles par rapport a la surface totale de la structure est de :

$$\frac{S_{semelle}}{S_{hatiment}} = \frac{108.982}{505.31} = 0.21$$

La surface totale des semelles représente 21 % de la surface du bâtiment.

Donc : Le type des fondations adéquates pour notre structure sera les semelles filantes.

### VI.3.3. Calcul de la hauteur de la semelle :

h= d+0.05 Avec : 
$$d = \frac{B-b}{4}$$
 Et : B = 1m

$$h \ge \frac{B-b}{4} + 5 \ cm$$
  $\to$   $h \ge \frac{1-0.35}{4} + 0.05 = 0.21$  on prend: h = 30 cm

d: hauteur utile

b: coté du Poteau

## • <u>Vérification du poinçonnement</u> :

$$Q_u \le 0.045 \text{ x h x } \mu c \times \frac{F_{c28}}{\gamma_b}$$

Qu : charge de calcul à l'ELU

 $\mu c$  : périmètre du contour sur lequel agit la

charge

h : hauteur de la semelle filante

**Note :** La vérification se fait pour le point le plus sollicité du la semelle en effort normal appliqué Par le poteau le plus sollicité.

$$\mu c = (a + b + 2 x h) x 2$$
  $\rightarrow$   $u_c = (0.4 + 0.35 + 2 x 0.3) x 2 = 2.7 m$ 

$$Q_u = 585 \text{ KN} \le 0.045 \times 0.3 \times 2.7 \times \frac{25}{1.5} = 607.5 \text{KN}.....\text{CV}$$

Donc on prend: h=0,30 m.

# • <u>Vérification au renversement</u>:

On doit vérifier que :  $e = \frac{M}{N} \le \frac{B}{4}$ 

M = 24.25 KN.m

N = 2228.36 KN

$$e = \frac{24.25}{2228.36} = 0.011 \le \frac{1}{4} = 0.25 \dots CV$$

Donc il n'y a pas de risque de renversement.

# VI.3.4.Calcul de Ferraillage:

## > Ferraillage principal :

Avec:

Nu= effort amené par l'ouvrage sur la semelle

A= largeur de la semelle

d= hauteur de la semelle moins l'enrobage

Fe= Limite élastique de l'acier

As//B 
$$= \frac{N (B-b)}{8 \times d \times \sigma_s} = \frac{2639.19 \times (100-35)}{8 \times 360 \times 348} = 17.1 \text{ cm}^2$$

Choix d'armature: 9HA16

Avec : 
$$As = 18.10cm^2$$

$$St = 15 cm$$

### > Ferraillage de répartition :

Puisque il existe une poutre de rigidité dans ce sens qui reprend les différents Ni donc On met seulement des aciers de construction.

$$A_r = \frac{17.1}{4} = 4.28 \text{ cm}^2$$

Choix d'armature : 6HA12

Avec : 
$$As = 6.79 \text{ cm}^2$$

$$St = 20 cm$$

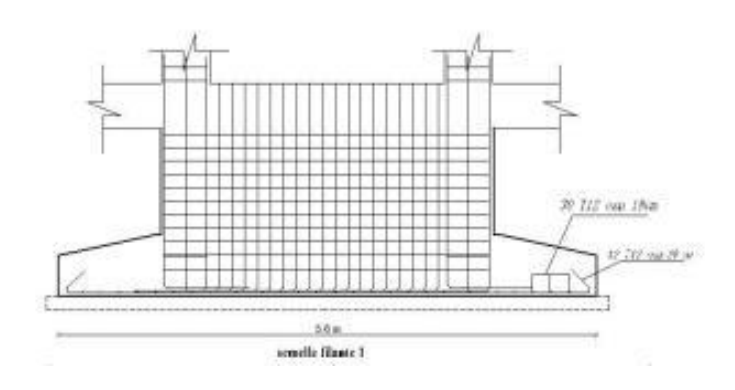


Figure VI. 3 : schéma ferraillage de semelle filante

### VI.3.5.Poutre de redressement :

### **Définition:**

C'est une poutre disposé le long de la semelle .Elle est nécessaire pour reprendre les efforts ramenés par les poteaux et les répartir sur toute la semelle.

- La poutre de rigidités est généralement noyée dans la semelle.

### **Dimensionnement:**

La hauteur (h) de la poutre de rigidités est déterminée à partir de la formule suivant :

$$\frac{L}{9} \le h \le \frac{L}{6}$$

L : la plus grande distance entre axe de deux poteaux dans la semelle .

L = 405 cm: 
$$\frac{405}{9} \le h \le \frac{405}{6}$$

$$45 \text{ cm} \le h \le 67.5 \text{ cm}$$

On prend h = 70 cm et b = 30 cm

Tableau VI. 2: Résultats du moment maximal.

Sens	zone	$M_{max}$ (KN.m)
Sens Y-Y	Appuis	12.42
	Travée	6.21

Tableau VI. 3: Calcul de Ferraillage

Sens	Zone	M <sub>u</sub> (KN.m)	H (m)	B (m)	A <sub>s</sub> (cm <sup>2</sup> )	A <sub>s</sub> min	choix	A <sub>s</sub> réel
Sens Y-Y	appuis	12.42	0.6	0.3	0.66	1.95	3HA12+3HA12	6.79
1-1	travée	6.21	0.6	0.3	0.33	1.95	3HA12+3HA12	6.79

### Vérification de la contrainte de cisaillement :

Contrainte tangente :

$$T_{u=\frac{T_{ux}^{max}}{b.d_x} = \frac{14.72 \times 0.001}{0.3 \times 0.54} = 0.092 MPa$$

Armature droite :  $\alpha = 90^{\circ}$ 

$$\tau_{lim} = \min \{ 0.15 f_{c28}/\gamma_b : 4\text{MPa} \} = 2.5\text{MPa}$$

$$\tau_{\rm u} = 0.0092~{\rm MPa} \leq \tau_{\it lim} = 2.5~{\it MPa}$$

### **Armature transversale:**

$$\Phi_t = \min\left(\frac{h}{35}; \frac{B}{10}; \Phi_1\right)$$

 $\Phi_1$ : Représentant le diamètre minimal de l'armature tendue de premier lit

$$\Phi_t \le \min\left(\frac{60}{35}; \frac{30}{10}; 1.2\right) = 1.2 \text{ cm} \rightarrow \text{on prend } \Phi_t = 8.00 \text{ mm}$$

- •Les armatures transversales sont réalisées par des cadres de T8.
- •Espacement des armatures transversales :

D'après le R.P.A 99.les armatures transversales ne doivent pas dépasser la valeur de :

**Zone nodale :** 
$$S_t \le \min(\frac{h}{4}; 12\varphi; 30) = \min(\frac{60}{4}; 12 \times 1.2; 30) = 14.5 \text{ cm}$$

On adopte : St = 15cm

**Zone courante :** 
$$S_t' \square \min (\frac{h}{4}; 12\Phi; 30)$$
, on adopte :  $'=15$  cm

> Section des armatures transversale minimale :

La quantité minimale des armatures transversales est de :

**Zone courante :** At min = 
$$0.003 \times ... b = 0.003 \times 15 \times 30 = 1.35 < 3.14 cm^2 ......CV$$

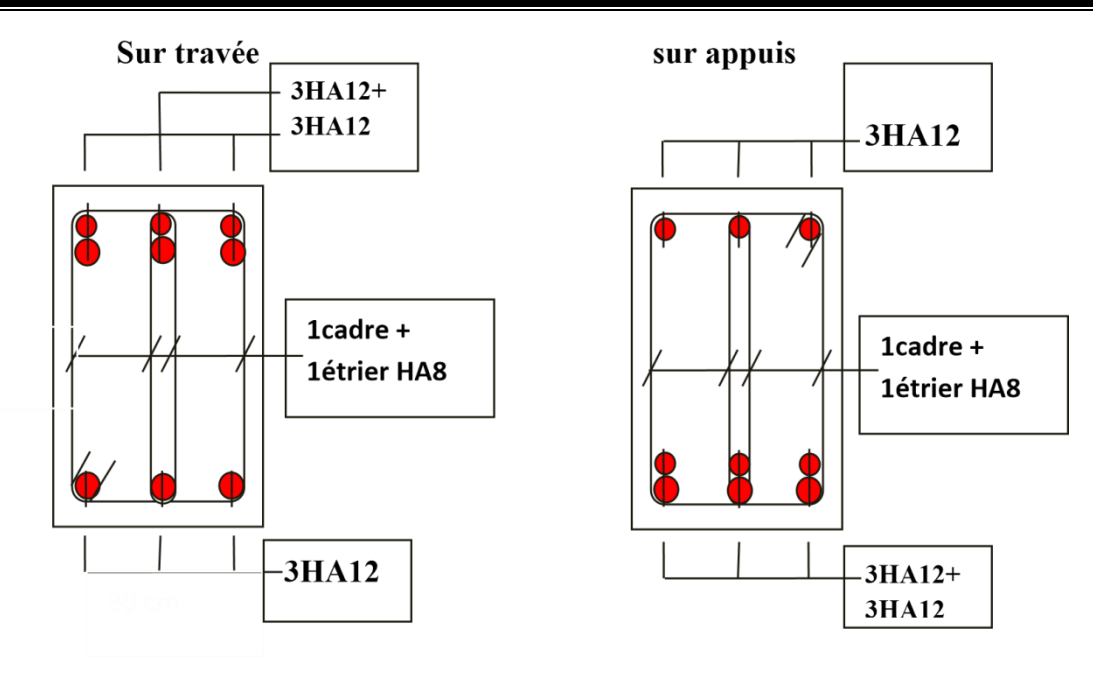


Figure VI.4: Schéma de ferraillage de poutre de redressement.

# VI.3.6. Etude de longrine :

### Généralités:

Les ponts d'appuis d'un même bloc doivent être solidarisés par un réseau bidirectionnel de longrine ou tous dispositifs équivalant tendant à s'opposer au déplacement relatif de ces points d'appuis dans le plan horizontal.

#### **Dimensionnement:**

Les dimensions minimales des de la section transversale des longrines sont :

25cm $\times$ 30 cm, site de catégories  $S_2$  et  $S_3$ 

 $30\text{cm}\times30\text{ cm}$ , site de catégories  $S_4$ 

On prend une section de (30×30) cm<sup>2</sup>

• Ferraillage : Les longrines doivent entre calculée pour résister à la traction sous l'action d'une force égale à :

 $F = N/\alpha \ge 20 \text{ KN}$ 

$$F=N/\;\alpha\geq 20\;KN$$

Avec:

N : égale à la valeur maximale des charges verticales de gravités apportées par les points d'appuis solidarisés.

 $\alpha$ : coefficient fonction de la zone séismique et de la catégories de site considérés ; dans notre cas  $\alpha=15$  (S<sub>2</sub>, zone II<sub>a</sub>).

### - Les armatures longitudinales :

### **Condition de résistance:**

$$F = \frac{1324.69}{15} = 88.31 \, KN$$

$$A = \frac{F}{\sigma_s} = \frac{88.31}{348} = 2.53 \text{ cm}^2$$

$$A_{scal} = 2.53 \text{ cm}^2$$

### Condition de non fragilités :

$$A_{\min} = \frac{0.23 \times b \times d \times f_{t28}}{f_e}$$

$$A_{\min} = \frac{0.23 \times 30 \times 27 \times 2.1}{400} = 0.97 cm^2$$

### **Condition de RPA**:

$$A_{RPA} = 0.6\% b \times h$$

$$A_{RPA} = 0.6\% 30 \times 30 = 5.40 \text{ cm}^2$$

$$A_S = Max (A_{scal}, A_{min}, A_{RPA}) = 5.40 \text{ cm}^2$$

✓ En prend : 
$$A_S = 6.78 c \text{ m}^2$$
 6HA12

### Armature transversale et espacement des cadres :

$$\emptyset_t \leq min(\frac{h}{35}; \frac{b}{10}; 12)$$

$$\emptyset_t \le min\left(\frac{300}{35}; \frac{300}{10}; 12\right) = 8.87 \ mm$$
.

$$Ø_t = 8 \text{ mm}.$$

L'espacement entre les armatures transversales est :

$$St \le min (20cm; 15 \Phi) = min (20cm; 18cm)$$

On adopte un espacement St = 15cm à tous les longueurs.

On prend en:

**Zone nodale :** St = 10 cm

**Zone courante :** St = 15 cm

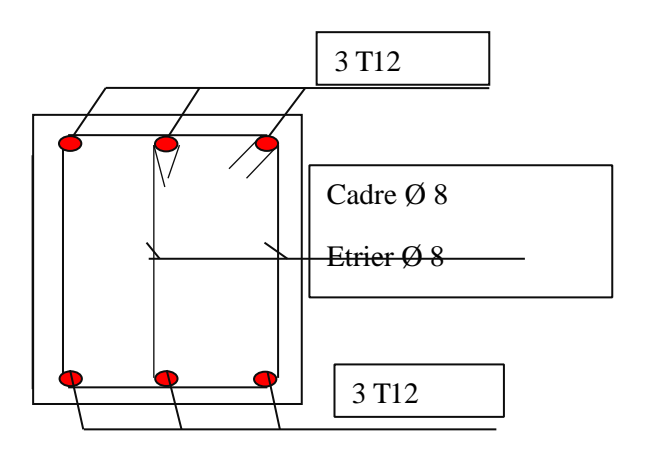


Figure VI. 5: Schéma de ferraillage de longrine.



### **Conclusion générale:**

Ce projet de fin d'étude, nous a permis de mettre en pratique toutes nos connaissances acquises durant notre cycle de formation, et de les approfondir en prenant comme base les documents techniques et réglementaires, afin de mettre en application les méthodes de calcul récentes, et de mettre en évidence les principes de base qui doivent être prises dans la conception des structures des bâtiments.

Cette étude nous a permis de tirer certaines conclusions qui sont :

La modélisation doit, autant que possible englober tous les éléments de la structure, secondaires soient ils ou structuraux, ceci permet d'avoir un comportement proche du réel.

La bonne disposition des voiles, joue un rôle important dans la vérification de la période, ainsi que dans la justification de l'interaction voiles-portiques.

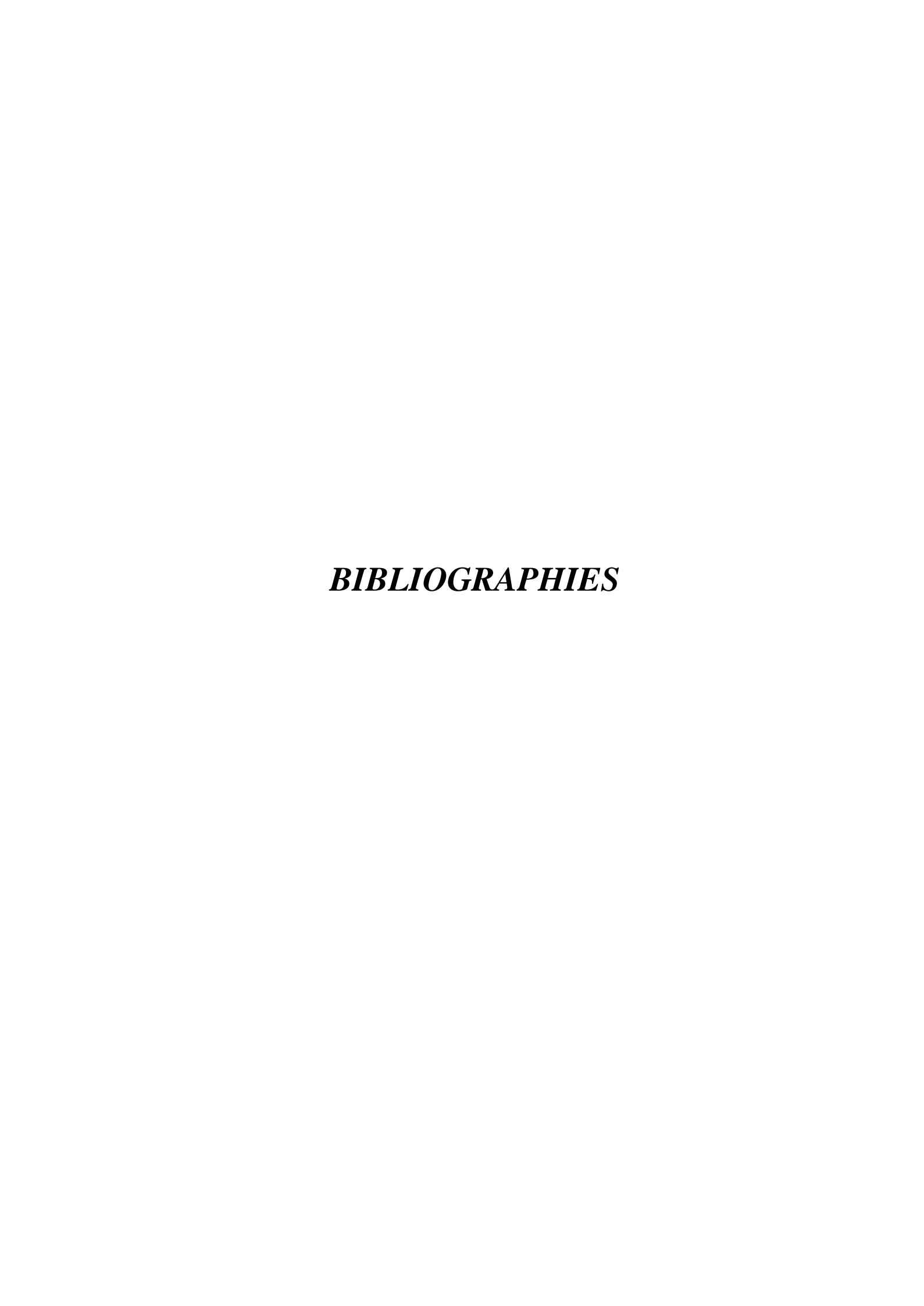
Si la justification de l'interaction et de la période de vibration de la structure simultanément sont satisfaites, dans ce cas la rigidité de la structure sera assurée.

Dans l'étude des éléments porteurs, on a constaté que les poteaux sont ferraillés avec le minimum du RPA, et que ce dernier favorise la sécurité devant l'économie.

Afin de limiter les dommages en cas de séisme, ou l'effondrement de la bâtisse, il est impérativement nécessaire de faire un bon choix du site d'implantation de la structure, avec des fondations adaptées aux préventions et aux recommandations.

Il est important de souligner la nécessité de garantir une meilleure qualité des matériaux qui à son tour garantira, avec la mise en place de procédures de contrôle adéquates, car il est clair que sans une mise en œuvre de qualité de la part de l'entrepreneur, la construction peut s'effondrer suite à l'utilisation des matériaux de qualité médiocre et/ou de qualité d'exécution dérisoire ; raison pour laquelle une démarche de conception parasismique dans la construction doit être mise en place en se basant sur trois points essentiels :

respect de la réglementation parasismique.
conception architecturale parasismique.
mise en œuvre soignée de la construction.



### **BIBLIOGRAPHIES**

### REGLEMENT

- [1] Règle parasismique Algérienne RPA99/version 2003.
- [2] Les Règles de calcul de Béton Armé aux Etats Limite. BAEL 91 modifié 99.
- [3] Règle de conception et de calcul des structures en béton armé CBA93.
- [5] Document technique règlementaire DTR BC2.2, Charge permanentes et charges d'exploitation, CGS. 1988.

### THÉSES DE FIN D'ETUDE

- Himuri Yousra et Khelaifiai Soulef, Etude d'un bâtiment à usage d'Habitation R+5,
   Université du 8 Mai 1945 Guelma, 2020 .
- Benzahra Wissal et Bennour Amel, étude d'un bâtiment R+6 à usage d'habitation en zone sismique IIa, Centre Universitaire Abdelhafid Boussouf –Mila, 2019/2020.

### **COURS**

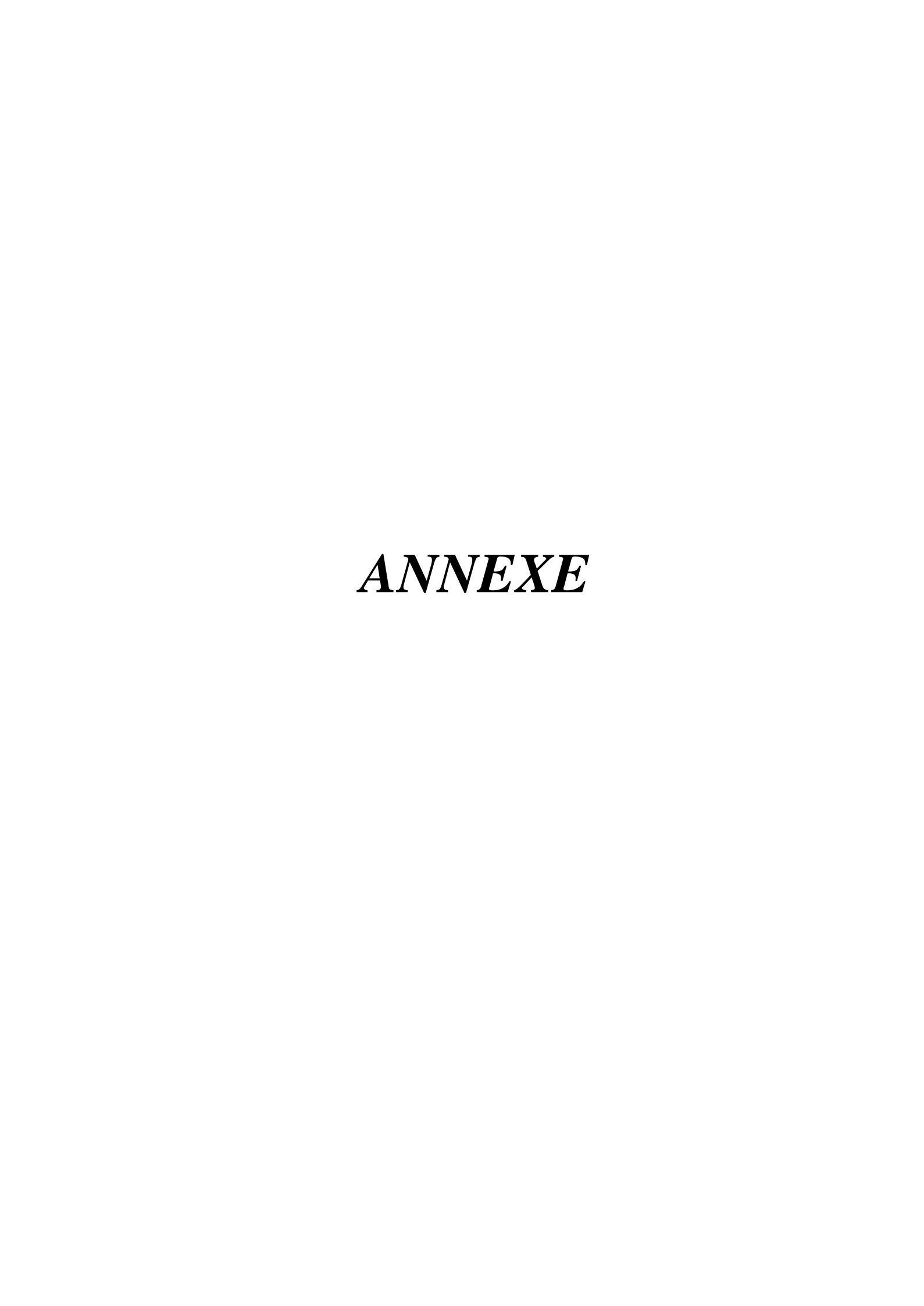
- Dr. Brahimi, Cours de projet structures en Béton Armé 2<sup>éme</sup> année Master génie civil,
   Université Abdelhafid Boussouf- Mila, s.n2018/2019.
- Dr. Guettiche, Cours de béton armé 3<sup>eme</sup>année génie civil, Université Abdelhafid Boussouf-Mila, s.n2018/2019.

### **LIVRES**

- Albert Fuentes, Calcul pratique des ossatures de bâtiment en Béton Armée., 4éme Edition, Edition Echyrolles, s.n 1983. p16
- Béton armé-Guide de calcul jacques lamirault, Henri Renaud.

### **LOGICIELS**

Logiciel d'analyse des structures Robot version 2014.
WORD 2010.
AUTO CAD 2010



ANNEXE 1: Section en cm<sup>2</sup> de N armature φ en mm

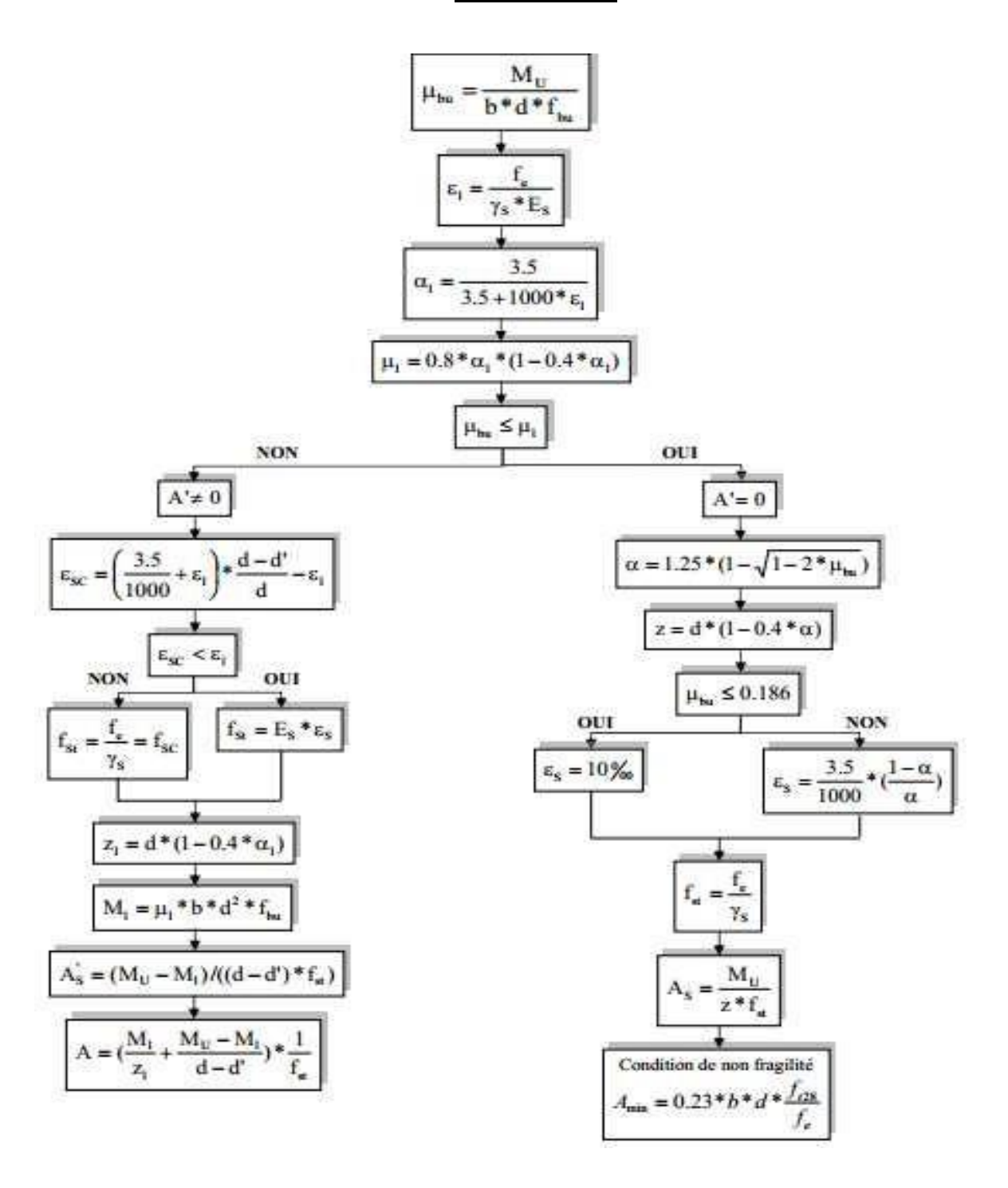
Φ	5	6	8	10	12	14	16	20	25	32	40
_	0.2	0.20	0.5	0.70	1 10	1.54	2.01	2 1 4	4.01	0.04	10.57
1	0,2	0,28	0,5	0,79	1,13	1,54	2,01	3,14	4,91	8,04	12,57
2	0,39	0,57	1,01	1,57	2,26	3,08	4,02	6,28	9,82	16,08	25,13
3	0,59	0,85	1,51	2,36	3,39	4,62	6,03	9,42	14,73	24,13	37,70
4	0,79	1,13	2,01	3,14	4,52	6,16	8,04	12,57	19,63	32,17	50,27
5	0,98	1,41	2,51	3,93	5,65	7,70	10,05	15,71	24,54	40,21	62,83
6	1,18	1,70	3,02	4,71	6,79	9,24	12,06	18,85	29,45	48,25	75,40
7	1,37	1,98	3,52	5,50	7,92	10,78	14,07	21,99	34,36	56,30	87,96
8	1,57	2,26	4,02	6,28	9,05	12,32	16,08	25,13	39,27	64,34	100,53
9	1,77	2,54	4,52	7,07	10,18	13,85	18,10	28,27	44,18	72,38	113,10
10	1,96	2,83	5,03	7,85	11,31	15,39	20,11	31,42	49,09	80,42	125,66
11	2,16	3,11	5,53	8,64	12,44	16,93	22,12	34,56	54,00	88,47	138,23
12	2,36	3,39	6,03	9,42	13,57	18,47	24,13	37,70	58,91	96,51	150,8
13	2,55	3,68	6,53	10,21	14,70	20,01	26,14	40,84	63,81	104,55	163,36
14	2,75	3,96	7,04	11,00	15,83	21,55	28,15	43,98	68,72	112,59	175,93
15	2,95	4,24	7,54	11,78	16,96	23,09	30,16	47,12	73,63	120,64	188,50
16	3,14	4,52	8,04	12,57	18,10	24,63	32,17	50,27	78,54	128,68	201,06
17	3,34	4,81	8,55	13,35	19,23	26,17	34,18	53,41	83,45	136,72	213,63
18	3,53	5,09	9,05	14,14	20,36	27,71	36,19	56,55	88,36	144,76	226,20
19	3,73	5,37	9,55	14,92	21,49	29,25	38,20	59,69	93,27	152,81	238,76
20	3,93	5,65	10,05	15,71	22,62	30,79	40,21	62,83	98,17	160,85	251,33

ANNEXE 2 : Dalles rectangulaires uniformément chargées

- , -	ELU \	v = 0	ELS $v = 0.2$			
$\alpha = Lx/L_y$	$\mu_x$	$\mu_{\rm y}$	$\mu_x$	$\mu_{\nu}$		
0.40	0.1101	0.2500	0.0121	0.2854		
				0.2834		
0.41	0.1088	0.2500	0.1110			
0.42	0.1075	0.2500	0.1098	0.3000		
0.43	0.1062	0.2500	0.1087	0.3077		
0.44	0.1049	0.2500	0.1075	0.3155		
0.45	0.1036	0.2500	0.1063	0.3234		
0.46	0.1022	0.2500	0.1051	0.3319		
0.47	0.1008	0.2500	0.1038	0.3402		
0.48	0.0994	0.2500	0.1026	0.3491		
0.49	0.0980	0.2500	0.1013	0.3580		
0.50	0.0966	0.2500	0.1000	0.3671		
0.51	0.0951	0.2500	0.0987	0.3758		
0.52	0.0937	0.2500	0.0974	0.3853		
0.53	0.0922	0.2500	0.0961	0.3949		
0.54	0.0908	0.2500	0.0948	0.4050		
0.55	0.0894	0.2500	0.0936	0.4150		
0.56	0.0880	0.2500	0.0923	0.4254		
0.57	0.0865	0.2582	0.0910	0.4357		
0.58	0.0851	0.2703	0.0897	0.4456		
0.59	0.0836	0.2822	0.0884	0.4565		
0.60	0.0822	0.2948	0.0870	0.4672		
0.61	0.0808	0.3075	0.0857	0.4781		
0.62	0.0794	0.3205	0.0844	0.4892		
0.63	0.0779	0.3338	0.0831	0.5004		
0.64	0.0765	0.3472	0.0819	0.5117		
0.65	0.0751	0.3613	0.0805	0.5235		
0.66	0.0737	0.3753	0.0792	0.5351		
0.67	0.0723	0.3895	0.0780	0.5469		
0.68	0.0710	0.4034	0.0767	0.5584		
0.69	0.0697	0.4181	0.0755	0.5704		
0.70	0.0684	0.4320	0.0743	0.5817		
0.71	0.0671	0.4471	0.0731	0.5940		
0.72	0.0658	0.4624	0.0719	0.6063		
0.73	0.0646	0.4780	0.0708	0.6188		
0.74	0.0633	0.4938	0.0696	0.6315		
0.75	0.0621	0.5105	0.0684	0.6447		
0.76	0.0608	0.5274	0.0672	0.6580		
0.77	0.0596	0.5440	0.0661	0.6710		
0.77	0.0584	0.5608	0.0650	0.6841		
			0.0.00			
0.79	0.0573	0.5786	0.0639	0.6978		
0.80	0.0561	0.5959	0.0628	0.7111		
0.81	0.0550	0.6135	0.0617	0.7246		
0.82	0.0539	0.6313	0.0607	0.7381		
0.83	0.0528	0.6494	0.0956	0.7518		
0.84	0.0517	0.6678	0.0586	0.7655		
0.85	0.0506	0.6864	0.0576	0.7794		
0.86	0.0496	0.7052	0.0566	0.7932		
0.87	0.0486	0.7244	0.0556	0.8074		
0.88	0.0476	0.7438	0.0546	0.8216		
0.89 0.90	0.0466 0.0456	0.7635 0.7834	0.0537 0.0528	0.8358 0.8502		
0.91 0.92	0.0447 0.0437	0.8036 0.8251	0.0518 0.0509	0.8646 0.8799		
0.92	0.0437	0.8450	0.0509	0.8939		
0.93	0.0428	0.8661	0.0300	0.8939		
0.95	0.0419	0.8875	0.0491	0.9236		
0.96	0.0401	0.9092	0.0474	0.9385		
0.96 0.97	0.0401	0.9092	0.0474	0.9385		
0.97	0.0392	0.9522	0.4065	0.9543		
0.98 0.99	0.0384	0.9545	0.0457	0.9847		
1.00	0.0368	1.0000	0.0441	0.1000		

# Flexion simple: Section rectangulaire

## Calcul à l'ELU



### EL MEHDI DRIOUICH

### CALCULE BETON ARMEE T.S.G.O et T.D.B

### SEMELLES DE FONDATION

 $\begin{array}{lll} \textbf{Donn\'ees:} & \text{Nu} = 1.35\text{G} + 1.5\text{Q} \\ \textbf{Combinaison de base} & \text{N_{ser}}, \text{Nu} & 1\text{N} = 10^{-3}\text{KN} = 10^{-4}\text{MN} \\ \textbf{Section de la semelle} & \text{A}, \text{B} \\ \textbf{Section du poteau} & \text{a}, \text{b} \\ \textbf{Mat\'eriaux} & \textbf{f_e}, \overline{\textbf{O}_{sol}}; \overline{\textbf{O}_{st}} & 1\text{Bar=0.1MPa} \\ \end{array}$ 

